

# Formas diferenciais e aplicações em eletromagnetismo e termodinâmica

Valmir Peixôto de Souza Sobrinho

Setembro 2022

## Sumário

<b>1</b>	<b>Revisão de cálculo vetorial</b>	<b>3</b>
1.1	Teorema fundamental do cálculo . . . . .	3
1.2	Cálculo em várias dimensões . . . . .	7
1.2.1	Produto escalar e vetorial . . . . .	7
1.2.2	Operador nabla . . . . .	9
1.2.3	Integrais de linha . . . . .	16
1.2.4	Teoremas fundamentais . . . . .	16
1.2.5	Integração por partes . . . . .	26
1.3	Jacobiano . . . . .	28
1.3.1	Áreas e volumes infinitesimais sob parametrização . . . . .	28
1.3.2	Áreas e volumes orientados . . . . .	31
1.4	Vetores contravariantes e covariantes . . . . .	32
1.4.1	Transformações contravariantes . . . . .	32
1.4.2	Transformações covariantes . . . . .	33
1.4.3	Vetores sob mudança de base . . . . .	34
1.5	Pseudovetores . . . . .	37
<b>2</b>	<b>Espaço dos p-vetores</b>	<b>38</b>
2.1	Determinantes . . . . .	40
2.2	Produto externo entre p-vetores . . . . .	42
2.3	Produto interno . . . . .	43
2.3.1	Produto entre 1-vetores . . . . .	43
2.3.2	Produto entre p-vetores . . . . .	47
2.4	Operador estrela . . . . .	50
2.4.1	Calculando o operador estrela . . . . .	51
2.5	Transformações lineares . . . . .	55

<b>3</b>	<b>Derivada exterior</b>	<b>58</b>
3.1	Espaço dual . . . . .	58
3.2	Espaço cotangente . . . . .	59
3.3	Álgebra de p-formas . . . . .	63
3.4	Mapeamento e mudança de coordenadas . . . . .	71
3.5	Inversa do lema de Poincaré . . . . .	77
3.6	Coordenadas generalizadas . . . . .	87
3.7	Gradiente, Divergente, Rotacional e Laplaciano . . . . .	93
3.8	Superfícies . . . . .	99
<b>4</b>	<b>Formas diferenciais e integração</b>	<b>107</b>
4.1	Variedades . . . . .	107
4.1.1	Diferenciabilidade . . . . .	109
4.1.2	Orientabilidade . . . . .	111
4.1.3	Vetores tangentes . . . . .	114
4.2	Formas diferenciais . . . . .	118
4.3	Simplexos . . . . .	121
4.4	Integração de formas diferenciais . . . . .	126
4.5	Teorema de Stokes generalizado . . . . .	130
4.6	Formas exatas e fechadas . . . . .	139
<b>5</b>	<b>Aplicações de formas diferenciais na Física</b>	<b>141</b>
5.1	Eletromagnetismo . . . . .	141
5.1.1	Equações no vácuo . . . . .	145
5.1.2	Teorema de Poynting . . . . .	149
5.2	Termodinâmica . . . . .	151
5.2.1	Relações de Maxwell . . . . .	151
5.2.2	Propriedades dos materiais . . . . .	152

# 1 Revisão de cálculo vetorial

## 1.1 Teorema fundamental do cálculo

**Teorema 1.1** (Primeiro teorema fundamental do cálculo). *Seja  $f$  uma função integrável em um intervalo  $[a, b]$ ,  $c$  um escalar tal que  $a \leq c \leq b$  e  $F$  uma função definida pela expressão*

$$F(x) = \int_c^x f(t) dt \quad \forall x, a \leq x \leq b$$

Então  $\frac{dF}{dx} = F'(x)$  existe para todo  $x$  em um subintervalo  $I$  de  $(a, b)$  onde  $f$  é contínua e

$$F'(x) = f(x) \quad \forall x \in I$$

*Demonstração.* Pela definição de derivada de uma função, temos

$$\frac{dF}{dx} = \lim_{h \rightarrow 0} \frac{F(x+h) - F(x)}{h}$$

onde

$$\begin{aligned} F(x+h) - F(x) &= \int_c^{x+h} f(t) dt - \int_c^x f(t) dt \\ &= \int_c^{x+h} f(t) dt + \int_x^c f(t) dt \\ &= \int_x^{x+h} f(t) dt \end{aligned}$$

Considerando  $x$  um valor fixo, podemos fazer  $f(t) = f(x) + [f(t) - f(x)]$  e então

$$\begin{aligned} F(x+h) - F(x) &= \int_x^{x+h} f(x) + [f(t) - f(x)] dt \\ &= f(x) \int_x^{x+h} dt + \int_x^{x+h} f(t) - f(x) dt \\ &= hf(x) + \int_x^{x+h} f(t) - f(x) dt \end{aligned}$$

de forma que

$$\frac{F(x+h) - F(x)}{h} = f(x) + \frac{1}{h} \int_x^{x+h} f(t) - f(x) dt$$

Como  $f$  é contínua em um intervalo  $I$ , tem-se, por definição, que  $\forall \epsilon > 0$  existe um  $\delta > 0$  tal que

$$x - \delta < t < x + \delta \implies |f(t) - f(x)| < \epsilon \quad (1)$$

para todo  $x, t$  em  $I$ . Agora escolhendo um  $h$  tal que  $x < x + h < x + \delta$ , ou equivalentemente  $0 < h < \delta$ , a proposição (1) será válida no intervalo de integração  $[x, x + h]$ , no que implica

$$\left| \int_x^{x+h} f(t) - f(x) dt \right| \leq \int_x^{x+h} |f(t) - f(x)| dt < \int_x^{x+h} \epsilon dt = h\epsilon$$

ou seja,

$$\frac{1}{h} \left| \int_x^{x+h} f(t) - f(x) dt \right| < \epsilon$$

Mas essa é a definição de limite de  $h$  e é equivalente a dizer que

$$\lim_{h \rightarrow 0^+} \frac{1}{h} \int_x^{x+h} f(t) - f(x) dt = 0$$

Analogamente, para esse mesmo  $\delta$  e  $\epsilon$ , podemos escolher  $h < 0$  tal que  $0 < -h < \delta$ , ou equivalentemente  $0 < |h| < \delta$  para chegarmos à conclusão que

$$\lim_{h \rightarrow 0^-} \frac{1}{h} \int_x^{x+h} f(t) - f(x) dt = 0$$

Como ambos os limites laterais são iguais, temos que

$$\lim_{h \rightarrow 0} \frac{1}{h} \int_x^{x+h} f(t) - f(x) dt = 0$$

e como consequência

$$\begin{aligned} \frac{dF}{dx} &= \lim_{h \rightarrow 0} \frac{F(x+h) - F(x)}{h} \\ &= \lim_{h \rightarrow 0} \left[ f(x) + \frac{1}{h} \int_x^{x+h} f(t) - f(x) dt \right] \\ &= f(x) \end{aligned}$$

para todo  $x$  em  $I$ . ■

**Teorema 1.2** (Teorema de Rolle). *Seja  $f$  uma função contínua em um intervalo  $[a, b]$  e diferenciável em  $(a, b)$  tal que  $f(a) = f(b)$ . Então existe  $c \in (a, b)$  tal que  $f'(c) = 0$ .*

*Demonstração.* Suponha que não exista  $c \in (a, b)$  tal que  $f'(c) = 0$ , isto é, a função  $f$  não tem mínimos ou máximos em  $(a, b)$ . Isso significa que  $f$  tem seu máximo e mínimo em  $[a, b]$  justamente nas extremidades. Mas como  $f(a) = f(b)$ , segue que  $f$  é constante em  $[a, b]$ , no que implica  $f'(x) = 0 \forall x \in (a, b)$ , o que contradiz a hipótese. ■

**Teorema 1.3** (Valor médio). *Se  $f$  é uma função contínua em  $[a, b]$  e  $f'$  existe em  $(a, b)$ , então existe algum  $c \in (a, b)$  tal que*

$$f(b) - f(a) = f'(c)(b - a)$$

*Demonstração.* Seja  $g$  uma função definida por

$$g(x) = bf(x) - af(x) - xf(b) + xf(a) = f(x)(b - a) - x[f(b) - f(a)]$$

Então  $g(a) = bf(a) - af(b) = g(b)$ . Como  $f$  é contínua em  $[a, b]$  e diferenciável em  $(a, b)$ , então multiplicar  $f$  por uma constante e somar com uma função afim  $x[f(b) - f(a)]$  manterá a continuidade e a diferenciabilidade de  $g$  em  $[a, b]$  e  $(a, b)$  respectivamente<sup>1</sup>. Aplicando o teorema de Rolle (1.2), temos que existe  $c \in (a, b)$  tal que  $g'(c) = 0$ . Mas também

$$g'(x) = f'(x)(b - a) - [f(b) - f(a)]$$

Substituindo  $x$  por  $c$ , obteremos

$$f(b) - f(a) = f'(c)(b - a)$$

Como  $f$  é integrável em  $[a, b]$ , segue que ■

**Teorema 1.4** (Derivada nula). *Se  $\frac{dF}{dx} = 0$  para todo  $x$  em um intervalo aberto  $I = (a, b)$ , então  $F$  é constante em  $I$ .*

*Demonstração.* Como  $\frac{dF}{dx} = F'(x)$  é uma função limitada em  $(a, b)$ , segue que  $F$  é uma função contínua. Então podemos usar o teorema do valor médio (1.3) para mostrar que para qualquer  $x$  em  $[a, b]$  existe algum  $c \in (a, b)$  tal que

$$F(x) - F(a) = F'(c)(x - a)$$

Mas  $F'(c) = 0$ , no que implica  $F(x) = F(a)$  para todo  $x$  em  $[a, b]$ , isto é  $F$  é constante em  $[a, b]$ . ■

**Definição 1.1** (Funções primitivas). *Se  $F$  é uma função tal que*

$$\frac{dF}{dx} = F'(x) = f(x) \quad \forall x \in I$$

*para alguma função  $f$ , então denominamos  $F$  uma função primitiva de  $f$  no intervalo  $I$ .*

**Teorema 1.5** (Diferença entre funções primitivas). *Se  $F$  e  $G$  são primitivas de  $f$  em um intervalo  $I$ , então  $F$  e  $G$  só diferem de uma constante em  $I$ .*

---

<sup>1</sup>Note que  $|f(x) + \alpha x - f(t) - \alpha t| \leq |f(x) - f(t)| + |\alpha| \cdot |x - t| < \epsilon$  se  $|f(x) - f(t)| < \epsilon/2$  e  $|x - t| < \delta$  para todo  $x$  tal que  $|x - t| < \delta = \frac{\epsilon}{2|\alpha|}$ , o que garante a continuidade de  $g$ .

*Demonstração.* Pela definição de primitiva, temos

$$F'(x) - G'(x) = f(x) - f(x) = 0$$

Usando a propriedade distributiva da derivada,

$$\frac{d}{dx} (F(x) - G(x)) = 0$$

Pelo teorema da derivada nula (1.4), temos que

$$F(x) - G(x) = C$$

onde  $C$  é uma constante. ■

**Teorema 1.6** (Segundo teorema fundamental do cálculo). *Seja  $f$  for uma função contínua em  $(a, b)$ ,  $c \in (a, b)$  e  $F$  qualquer primitiva de  $f$  em  $(a, b)$ . Então para todo  $x$  em  $I$*

$$F(x) = F(c) + \int_c^x f(t) dt$$

*Demonstração.* Seja  $A$  uma função definida pela expressão

$$A(x) = \int_c^x f(t) dt \quad \forall x \in (a, b)$$

Então pelo primeiro teorema fundamental do cálculo (1.1) temos que  $A'(x) = f(x)$  para todo  $x \in (a, b)$ . Além disso,  $A$  é uma primitiva de  $f$ . Como  $F$  também é uma primitiva de  $f$ , o teorema (1.5) nos garante que

$$F(x) - A(x) = C$$

onde  $C$  é uma constante. Mas quando  $x = c$ , temos  $A(c) = 0$ , no que implica

$$F(c) = C$$

Como consequência, temos

$$F(x) - A(x) = F(c)$$

ou equivalentemente

$$F(x) = F(c) + \int_c^x f(t) dt$$

■

O teorema (1.6) também aparece mais comumente na forma

$$\int_c^x f(t) dt = F(x) - F(c) \tag{2}$$

**Teorema 1.7** (Lema fundamental do cálculo variacional). *Se  $f$  é uma função contínua em  $[a, b]$  e para qualquer função contínua  $\eta(x)$  que satisfaz as condições de contorno  $\eta(a) = \eta(b) = 0$  for válido*

$$\int_a^b f(x)\eta(x) dx = 0$$

então  $f(x) = 0 \forall x \in [a, b]$ .

*Demonstração.* Suponha que  $f$  seja positiva em um intervalo  $(x_1, x_2) \subset [a, b]$  com  $x_1 \neq x_2$ . Seja  $\eta(x)$  a função definida por

$$\eta(x) = \begin{cases} (x - x_1)(x_2 - x) & \text{se } x \in [x_1, x_2] \\ 0 & \text{se } x \notin [x_1, x_2] \end{cases}$$

Se  $x \in (x_1, x_2)$ , segue que  $x_1 < x < x_2$  e consequentemente  $x - x_1 > 0$  e  $x_2 - x > 0$ , o que implica  $\eta(x) > 0 \forall x \in (a, b)$ . Então

$$\begin{aligned} \int_a^b f(x)\eta(x) dx &= \int_a^{x_1} f(x)\eta(x) dx + \int_{x_1}^{x_2} f(x)\eta(x) dx + \int_{x_2}^b f(x)\eta(x) dx \\ &= \int_{x_1}^{x_2} f(x)\eta(x) dx \end{aligned}$$

que é positivo, uma vez que  $f(x)\eta(x)$  é positivo em  $(x_1, x_2)$ . Isso contradiz a hipótese da integral ser zero e portanto  $f(x) = 0 \forall x \in [a, b]$ . ■

## 1.2 Cálculo em várias dimensões

Para facilitar a notação, iremos definir

$$\partial_i = \frac{\partial}{\partial q_i} \quad \text{com} \quad q_1 = e_1 = x \quad q_2 = e_2 = y \quad q_3 = e_3 = z$$

e também

$$\mathbf{e}_1 = \hat{\mathbf{i}} \quad \mathbf{e}_2 = \hat{\mathbf{j}} \quad \mathbf{e}_3 = \hat{\mathbf{k}}$$

### 1.2.1 Produto escalar e vetorial

**Definição 1.2** (Produto escalar). *Sejam  $\vec{\mathbf{u}} = (u_x, u_y, u_z)$  e  $\vec{\mathbf{v}} = (v_x, v_y, v_z)$  elementos do espaço  $\mathbb{R}^3$ . Definimos o produto escalar de  $\vec{\mathbf{u}}$  com  $\vec{\mathbf{v}}$  como sendo*

$$\vec{\mathbf{u}} \cdot \vec{\mathbf{v}} = \sum_{i=1}^3 u_i v_i$$

**Definição 1.3** (Produto vetorial). *Sejam  $\vec{\mathbf{u}} = (u_x, u_y, u_z)$  e  $\vec{\mathbf{v}} = (v_x, v_y, v_z)$  elementos do espaço  $\mathbb{R}^3$ . O produto vetorial de  $\vec{\mathbf{u}}$  com  $\vec{\mathbf{v}}$  é dado por*

$$\vec{\mathbf{u}} \times \vec{\mathbf{v}} = \sum_{i=1}^3 \sum_{j=1}^3 \sum_{k=1}^3 \epsilon_{ijk} u_i v_j \mathbf{e}_k$$

onde  $\epsilon_{ijk}$  é o símbolo de Levi-Civita, definido por

$$\epsilon_{ijk} = \begin{cases} 1 & \text{se } (i, j, k) \in \{(1, 2, 3), (2, 3, 1), (3, 1, 2)\} \\ -1 & \text{se } (i, j, k) \in \{(1, 3, 2), (2, 1, 3), (3, 2, 1)\} \\ 0 & \text{se } i = j \text{ ou } j = k \text{ ou } i = k \end{cases}$$

Permutações pares dos índices do símbolo de Levi-Civita não alteram o sinal, ao contrário das permutações ímpares. Quaisquer índices iguais levam a zero.

Desse modo, o produto escalar triplo  $\vec{u} \cdot (\vec{v} \times \vec{w})$  é dado por

$$\begin{aligned} \vec{u} \cdot (\vec{v} \times \vec{w}) &= \sum_{k=1}^3 u_k (\vec{v} \times \vec{w})_k \\ &= \sum_{i=1}^3 \sum_{j=1}^3 \sum_{k=1}^3 \epsilon_{ijk} u_k v_i w_j \end{aligned}$$

Permutando os índices  $k \longleftrightarrow i$  e em seguida  $k \longleftrightarrow j$ , temos que  $\epsilon_{kij} = \epsilon_{ijk}$  e então

$$\vec{u} \cdot (\vec{v} \times \vec{w}) = \sum_{i=1}^3 \sum_{j=1}^3 \sum_{k=1}^3 \epsilon_{ijk} u_i v_j w_k \quad (3)$$

Sobre o símbolo de Levi-Civita, note que  $(\hat{\mathbf{e}}_{\mathbf{p}})_q = \delta_{pq}$  implica

$$\hat{\mathbf{e}}_{\mathbf{i}} \cdot (\hat{\mathbf{e}}_{\mathbf{j}} \times \hat{\mathbf{e}}_{\mathbf{k}}) = \sum_{l=1}^3 \sum_{m=1}^3 \sum_{n=1}^3 \epsilon_{lmn} \delta_{il} \delta_{jm} \delta_{kn} = \epsilon_{ijk}$$

onde  $\delta_{il}$  é o delta de Kronecker, definido como sendo

$$\delta_{il} = \begin{cases} 0 & \text{se } i \neq l \\ 1 & \text{se } i = l \end{cases}$$

Com isso, temos que

$$\begin{aligned} \sum_{i=1}^3 \epsilon_{ijk} \epsilon_{ilm} &= \sum_{i=1}^3 \hat{\mathbf{e}}_{\mathbf{i}} \cdot (\hat{\mathbf{e}}_{\mathbf{j}} \times \hat{\mathbf{e}}_{\mathbf{k}}) \hat{\mathbf{e}}_{\mathbf{i}} \cdot (\hat{\mathbf{e}}_{\mathbf{l}} \times \hat{\mathbf{e}}_{\mathbf{m}}) = \sum_{i=1}^3 (\hat{\mathbf{e}}_{\mathbf{j}} \times \hat{\mathbf{e}}_{\mathbf{k}})_i (\hat{\mathbf{e}}_{\mathbf{l}} \times \hat{\mathbf{e}}_{\mathbf{m}})_i \\ &= (\hat{\mathbf{e}}_{\mathbf{j}} \times \hat{\mathbf{e}}_{\mathbf{k}}) \cdot (\hat{\mathbf{e}}_{\mathbf{l}} \times \hat{\mathbf{e}}_{\mathbf{m}}) \end{aligned}$$

Como os versores cartesianos são ortonormais entre si, segue que o segundo membro só pode ser diferente de zero se

$$\hat{\mathbf{e}}_{\mathbf{j}} \times \hat{\mathbf{e}}_{\mathbf{k}} = \hat{\mathbf{e}}_{\mathbf{l}} \times \hat{\mathbf{e}}_{\mathbf{m}} \quad \text{ou} \quad \hat{\mathbf{e}}_{\mathbf{j}} \times \hat{\mathbf{e}}_{\mathbf{k}} = -\hat{\mathbf{e}}_{\mathbf{l}} \times \hat{\mathbf{e}}_{\mathbf{m}}$$

No primeiro caso obteremos

$$\sum_{i=1}^3 \epsilon_{ijk} \epsilon_{ilm} = \delta_{jl} \delta_{km}$$



e no segundo,

$$\sum_{i=1}^3 \epsilon_{ijk} \epsilon_{ilm} = -\delta_{jm} \delta_{kl}$$

Como  $\hat{\mathbf{e}}_p \times \hat{\mathbf{e}}_p = \mathbf{0}$  para qualquer  $p$  (isto é, os dois casos são mutualmente exclusivos), podemos somar ambos para obter a forma mais geral

$$\sum_{i=1}^3 \epsilon_{ijk} \epsilon_{ilm} = \delta_{jl} \delta_{km} - \delta_{jm} \delta_{kl} \quad (4)$$

### 1.2.2 Operador nabla

**Definição 1.4** (Gradiente). *Seja  $V(x, y, z) : X \subseteq \mathbb{R}^3 \mapsto \mathbb{R}$  uma função cujas derivadas de primeira ordem existam em  $X$ . O gradiente de  $V$  em coordenadas cartesianas é definido pela expressão*

$$\nabla V(x, y, z) = \sum_{i=1}^3 \partial_i V \hat{\mathbf{e}}_i \quad (5)$$

**Definição 1.5** (Divergente). *Seja  $\mathbf{F} : X \subseteq \mathbb{R}^3 \mapsto \mathbb{R}^3$  um campo vetorial dado pela expressão*

$$\mathbf{F} = \mathbf{F}(F_1(x, y, z), F_2(x, y, z), F_3(x, y, z)) \quad (6)$$

*cujas derivadas de primeira ordem existam em  $X$ . O divergente de  $F$  em coordenadas cartesianas é definido por*

$$\nabla \cdot \mathbf{F} = \sum_{i=1}^3 \partial_i F_i$$

**Definição 1.6** (Rotacional). *Seja  $\mathbf{F} : X \subseteq \mathbb{R}^3 \mapsto \mathbb{R}^3$  um campo vetorial dado pela expressão (6). Definimos o rotacional de  $F$  em coordenadas cartesianas pela expressão*

$$\nabla \times \mathbf{F} = \sum_{i=1}^3 \sum_{j=1}^3 \sum_{k=1}^3 \epsilon_{ijk} \partial_i F_j \hat{\mathbf{e}}_k$$

**Definição 1.7** (Laplaciano escalar e laplaciano vetorial). *Sejam  $V : X \subseteq \mathbb{R}^3 \mapsto \mathbb{R}$  e  $\mathbf{F} : X \subseteq \mathbb{R}^3 \mapsto \mathbb{R}^3$  funções contínuas com derivadas de primeira e segunda ordem contínuas. Então definimos o laplaciano escalar de  $V$  em coordenadas cartesianas pela expressão*

$$\nabla^2 V = \nabla \cdot (\nabla V) = \sum_{i=1}^3 \partial_i \partial_i V$$

*e o laplaciano vetorial de  $\mathbf{F}$  por*

$$\nabla^2 \mathbf{F} = \sum_{i=1}^3 (\nabla^2 F_i) \hat{\mathbf{e}}_i$$

**Teorema 1.8** (Aplicações únicas de nabla). *Sejam  $f, g : \mathbb{R}^3 \mapsto \mathbb{R}$  funções com derivadas de primeira ordem contínuas e  $\vec{u}, \vec{v}$  campos vetoriais  $\mathbb{R}^3 \mapsto \mathbb{R}^3$  com primeiras derivadas contínuas. Então*

1.  $\nabla(fg) = f\nabla g + g\nabla f$
2.  $\nabla(\vec{u} \cdot \vec{v}) = \vec{u} \times (\nabla \times \vec{v}) + \vec{v} \times (\nabla \times \vec{u}) + (\vec{u} \cdot \nabla)\vec{v} + (\vec{v} \cdot \nabla)\vec{u}$
3.  $\nabla \cdot (f\vec{u}) = f(\nabla \cdot \vec{u}) + \vec{u} \cdot (\nabla f)$
4.  $\nabla \cdot (\vec{u} \times \vec{v}) = \vec{v} \cdot (\nabla \times \vec{u}) - \vec{u} \cdot (\nabla \times \vec{v})$
5.  $\nabla \times (f\vec{u}) = (\nabla f) \times \vec{u} + f(\nabla \times \vec{u})$
6.  $\nabla \times (\vec{u} \times \vec{v}) = \vec{u}(\nabla \cdot \vec{v}) - \vec{v}(\nabla \cdot \vec{u}) + (\vec{v} \cdot \nabla)\vec{u} - (\vec{u} \cdot \nabla)\vec{v}$

**Teorema 1.9** (Aplicações sucessivas de nabla). *Seja  $f : \mathbb{R}^3 \mapsto \mathbb{R}$  uma função real com derivadas primeira e segunda contínuas e  $\vec{u}$  um campo vetorial  $\mathbb{R}^3 \mapsto \mathbb{R}^3$  com primeira e segunda derivadas contínuas. Então*

1.  $\nabla \times (\nabla f) = \mathbf{0}$
2.  $\nabla \cdot (\nabla \times \vec{u}) = 0$
3.  $\nabla \times (\nabla \times \vec{u}) = \nabla(\nabla \cdot \vec{u}) - \nabla^2 \vec{u}$

*Demonstração.* Para o primeiro item, temos

$$\begin{aligned} \nabla \times (\nabla f) &= \sum_{i=1}^3 \sum_{j=1}^3 \sum_{k=1}^3 \epsilon_{ijk} \partial_i (\nabla f)_j \hat{\mathbf{e}}_k \\ &= \sum_{i=1}^3 \sum_{j=1}^3 \sum_{k=1}^3 \epsilon_{ijk} \partial_i \partial_j f \hat{\mathbf{e}}_k \end{aligned}$$

Trocando os índices mudos  $i$  por  $j$  e vice-versa, obtemos

$$\begin{aligned} \nabla \times (\nabla f) &= \sum_{i=1}^3 \sum_{j=1}^3 \sum_{k=1}^3 \epsilon_{jik} \partial_j \partial_i f \hat{\mathbf{e}}_k = - \sum_{i=1}^3 \sum_{j=1}^3 \sum_{k=1}^3 \epsilon_{ijk} \partial_i \partial_j f \hat{\mathbf{e}}_k \\ &= -\nabla \times (\nabla f) \end{aligned}$$

onde usamos o fato dos operadores  $\partial_i$  e  $\partial_j$  comutarem em funções com derivadas de primeira e segunda ordem contínuas e que uma permutação ímpar de  $\epsilon_{ijk}$  acarreta na mudança de sinal. Por consequência, temos

$$\nabla \times (\nabla f) = \mathbf{0}$$

Para o segundo item, temos

$$\begin{aligned} \nabla \cdot (\nabla \times \vec{u}) &= \sum_{k=1}^3 \partial_k (\nabla \times \vec{u})_k = \sum_{k=1}^3 \partial_k \sum_{i=1}^3 \sum_{j=1}^3 \epsilon_{ijk} \partial_i u_j \\ &= \sum_{i=1}^3 \sum_{j=1}^3 \sum_{k=1}^3 \epsilon_{ijk} \partial_k \partial_i u_j \end{aligned}$$

Trocando de lugar os índices mudos  $k$  e  $i$  e usando o mesmo raciocínio do primeiro item, chegaremos à conclusão que

$$\nabla \cdot (\nabla \times \vec{u}) = -\nabla \cdot (\nabla \times \vec{u}) \implies \nabla \cdot (\nabla \times \vec{u}) = 0$$

E quanto ao último item, temos

$$\begin{aligned} \nabla \times (\nabla \times \vec{u}) &= \sum_{i=1}^3 \sum_{j=1}^3 \sum_{k=1}^3 \epsilon_{ijk} \partial_i (\nabla \times \vec{u})_j \hat{e}_k \\ &= \sum_{i=1}^3 \sum_{j=1}^3 \sum_{k=1}^3 \sum_{l=1}^3 \sum_{m=1}^3 \epsilon_{ijk} \partial_i (\epsilon_{lmj} \partial_l u_m) \hat{e}_k \\ &= \sum_{i=1}^3 \sum_{k=1}^3 \sum_{l=1}^3 \sum_{m=1}^3 \left( \sum_{j=1}^3 \epsilon_{ijk} \epsilon_{lmj} \right) \partial_i \partial_l u_m \hat{e}_k \end{aligned}$$

Usando a propriedade (4) do símbolo de Levi-Civita e sabendo que  $\epsilon_{ijk} = \epsilon_{jki}$  e  $\epsilon_{lmj} = \epsilon_{jlm}$ , temos que

$$\begin{aligned} \nabla \times (\nabla \times \vec{u}) &= \sum_{i,k,l,m=1}^3 (\delta_{kl} \delta_{im} - \delta_{km} \delta_{il}) \partial_i \partial_l u_m \hat{e}_k \\ &= \sum_{i,k,l,m=1}^3 \delta_{kl} \delta_{im} \partial_i \partial_l u_m \hat{e}_k - \sum_{i,k,l,m=1}^3 \delta_{km} \delta_{il} \partial_i \partial_l u_m \hat{e}_k \\ &= \sum_{i,k=1}^3 \partial_i \partial_k u_i \hat{e}_k - \sum_{i,k=1}^3 \partial_i \partial_i u_k \hat{e}_k \end{aligned}$$

Como  $\vec{u}$  é um campo vetorial contínuo, o operador  $\partial_i$  comuta com  $\partial_k$  e então

$$\begin{aligned} \nabla \times (\nabla \times \vec{u}) &= \sum_{k=1}^3 \partial_k \left( \sum_{i=1}^3 \partial_i u_i \right) \hat{e}_k - \sum_{k=1}^3 \left( \sum_{i=1}^3 \partial_i \partial_i u_k \right) \hat{e}_k \\ &= \sum_{k=1}^3 \partial_k (\nabla \cdot \vec{u}) \hat{e}_k - \sum_{k=1}^3 (\nabla^2 u_k) \hat{e}_k \\ &= \nabla (\nabla \cdot \vec{u}) - \nabla^2 \vec{u} \end{aligned}$$

■

Como consequência, também podemos escrever o laplaciano vetorial usando a equação

$$\nabla^2 \vec{u} = \nabla (\nabla \cdot \vec{u}) - \nabla \times (\nabla \times \vec{u})$$

**Definição 1.8** (Conjunto estrelado). *Uma região  $C$  é denominado de estrelada se existir algum ponto  $P$  em  $C$  tal que qualquer reta que ligue  $P$  a qualquer outro ponto de  $C$  esteja inteiramente em  $C$ .*

**Teorema 1.10** (Campos irrotacionais). *Um campo vetorial com derivadas de primeira e segunda ordem contínuas em um subconjunto estrelado  $X \subseteq \mathbb{R}^3$ ,  $\mathbf{F} : X \mapsto \mathbb{R}^3$ , definido em (6) satisfaz*

$$\nabla \times \mathbf{F}(\mathbf{r}) = \mathbf{0}$$

*para todo  $\mathbf{r}$  em  $X$  se e somente se existir alguma função vetorial  $V$  tal que  $\forall \mathbf{r} \in X$  o campo vetorial  $\mathbf{F}$  pode ser escrito na forma*

$$\mathbf{F} = \nabla V$$

*Demonstração.* Seja  $V_0(\mathbf{r})$  uma função definida pela expressão

$$V_0(\mathbf{r}) = \int_0^1 \mathbf{F}_0(t \cdot \mathbf{r}) \cdot \mathbf{r} dt$$

com

$$\mathbf{F}_0(t \cdot \mathbf{r}) = \mathbf{F}(t(\mathbf{r} + \mathbf{r}_0))$$

onde  $\mathbf{r}_0$  é um vetor que aponte para algum ponto  $P$  em  $X$  tal que qualquer qualquer reta unindo  $P$  a qualquer outro ponto em  $X$  pertence inteiramente a  $X$ . Por  $X$  ser um conjunto estrelado, existe pelo menos um ponto de  $X$  que satisfaz essa condição.

Seja também  $X_0$  a translação da região  $X$  pelo vetor  $\mathbf{r}_0$  até a origem (de forma que  $\mathbf{0} \in X_0$ ). Dessa forma, qualquer vetor posição  $\mathbf{r} \in X_0$  obedecerá  $t(\mathbf{r} + \mathbf{r}_0) \in X \ \forall t \in [0, 1]$ .

Calculando o gradiente de  $V_0(\mathbf{r})$ , temos

$$\begin{aligned} \nabla V_0(\mathbf{r}) &= \nabla \int_0^1 \mathbf{F}_0(t \cdot \mathbf{r}) \cdot \mathbf{r} dt \\ &= \int_0^1 \nabla (\mathbf{F}_0(t \cdot \mathbf{r}) \cdot \mathbf{r}) dt \end{aligned}$$

uma vez que a integral é em  $t$  e os limites de integração não possuem dependência em  $x$ ,  $y$  ou  $z$ .

Usando o item 2 do teorema (1.8), iremos obter

$$\begin{aligned} \nabla V_0(\mathbf{r}) &= \int_0^1 \mathbf{F}_0(t \cdot \mathbf{r}) \times (\nabla \times \mathbf{r}) + \mathbf{r} \times (\nabla \times \mathbf{F}_0(t \cdot \mathbf{r})) + \\ &\quad (\mathbf{F}_0(t \cdot \mathbf{r}) \cdot \nabla) \mathbf{r} + (\mathbf{r} \cdot \nabla) \mathbf{F}_0(t \cdot \mathbf{r}) dt \end{aligned}$$

Do primeiro rotacional temos

$$\begin{aligned} \nabla \times \mathbf{F}_0(t \cdot \mathbf{r}) &= \nabla \times \mathbf{F}(t(\mathbf{r} + \mathbf{r}_0)) \\ &= \mathbf{0} \end{aligned}$$

para qualquer  $t \in [0, 1]$  já que qualquer ponto da reta  $t(\mathbf{r} + \mathbf{r}_0)$  nesse domínio sempre pertencerá a  $X$  devido a ser um conjunto estrelado. Além disso,  $\nabla \times \mathbf{r} = \mathbf{0}$ , no que implica

$$\nabla V_0(\mathbf{r}) = \int_0^1 (\mathbf{F}_0(t \cdot \mathbf{r}) \cdot \nabla) \mathbf{r} + (\mathbf{r} \cdot \nabla) \mathbf{F}_0(t \cdot \mathbf{r}) dt$$

onde

$$(\mathbf{F}_0(t \cdot \mathbf{r}) \cdot \nabla) \mathbf{r} = \sum_i \sum_j F_i \partial_i e_j \hat{\mathbf{e}}_j = \sum_i \sum_j F_i \delta_{ij} \hat{\mathbf{e}}_j = \sum_i F_i \hat{\mathbf{e}}_i = \mathbf{F}_0(t \cdot \mathbf{r})$$

e

$$\begin{aligned} (\mathbf{r} \cdot \nabla) \mathbf{F}_0(t \cdot \mathbf{r}) &= \sum_i \sum_j e_i \partial_i F_j \hat{\mathbf{e}}_j \\ &= \sum_i \sum_j e_i \frac{\partial F_j}{\partial (te_i)} \cdot \frac{\partial (te_i)}{\partial e_i} \hat{\mathbf{e}}_j \\ &= t \sum_j \left( \sum_i e_i \frac{\partial F_j}{\partial (te_i)} \right) \hat{\mathbf{e}}_j \end{aligned}$$

Mas também

$$\frac{d}{dt} F_j(t \cdot \mathbf{r}) = \sum_i \frac{\partial F_j}{\partial (te_i)} \cdot \frac{\partial (te_i)}{\partial t} = \sum_i e_i \frac{\partial F_j}{\partial (te_i)}$$

e portanto

$$(\mathbf{r} \cdot \nabla) \mathbf{F}_0(t \cdot \mathbf{r}) = t \sum_j \frac{dF_j}{dt} \hat{\mathbf{e}}_j = t \cdot \frac{d}{dt} \mathbf{F}_0(t \cdot \mathbf{r})$$

Consequentemente o gradiente de  $V_0$  fica

$$\nabla V_0(\mathbf{r}) = \int_0^1 \mathbf{F}_0(t \cdot \mathbf{r}) + t \cdot \frac{d}{dt} \mathbf{F}_0(t \cdot \mathbf{r}) dt$$

Usando integração por partes no segundo termo, temos

$$\nabla V_0(\mathbf{r}) = \int_0^1 \mathbf{F}_0(t \cdot \mathbf{r}) dt + \left( t \mathbf{F}_0(t \cdot \mathbf{r}) \Big|_0^1 - \int_0^1 \mathbf{F}_0(t \cdot \mathbf{r}) dt \right) = \mathbf{F}_0(\mathbf{r})$$

ou seja,

$$\nabla V_0(\mathbf{r}) = \mathbf{F}(\mathbf{r} + \mathbf{r}_0)$$

Agora definindo uma outra função  $V(\mathbf{r})$  tal que  $V(\mathbf{r} + \mathbf{r}_0) = V_0(\mathbf{r})$  para todo  $\mathbf{r} \in X_0$ , temos que

$$\nabla V(\mathbf{r} + \mathbf{r}_0) = \mathbf{F}(\mathbf{r} + \mathbf{r}_0)$$

Isto é, para qualquer vetor posição  $\mathbf{r}$  tal que  $\mathbf{r} \in X$  teremos

$$\nabla V(\mathbf{r}) = \mathbf{F}(\mathbf{r})$$

A recíproca é trivial, uma vez que

$$\nabla \times (\nabla V) = \mathbf{0}$$

devido ao primeiro item do teorema (1.9). ■

Um campo vetorial  $\mathbf{F}$  tal que  $\nabla \times \mathbf{F} = \mathbf{0}$  em um subconjunto  $X$  é denominado de irrotacional em  $X$ . E se  $\mathbf{F}(\mathbf{r})$  puder ser totalmente descrito meramente pelo gradiente de alguma função  $V(\mathbf{r})$  em um conjunto  $X$ , então ele é dito conservativo em  $X$ . Além disso, a família dessas funções  $V$  é denominada de funções potenciais de  $\mathbf{F}$ . Se  $X$  for um conjunto estrelado no qual  $\mathbf{F}$  é irrotacional, então o teorema (1.10) garante que  $\mathbf{F}$  é conservativo nessa região.

**Teorema 1.11** (Campos solenoidais). *Um campo vetorial com primeira e segunda derivadas contínuas em um subconjunto estrelado  $X \subseteq \mathbb{R}^3$ ,  $\mathbf{F} : X \mapsto \mathbb{R}^3$ , definido em (6) satisfaz*

$$\nabla \cdot \mathbf{F}(\mathbf{r}) = 0$$

para todo  $\mathbf{r}$  em um subconjunto  $X \subseteq \mathbb{R}^3$  se e somente se existir algum campo vetorial  $\mathbf{A}$  tal que  $\forall \mathbf{r} \in X$  o campo vetorial  $\mathbf{F}$  pode ser escrito na forma

$$\mathbf{F} = \nabla \times \mathbf{A}$$

*Demonstração.* Seja  $\mathbf{A}_0(\mathbf{r})$  um campo vetorial definido pela expressão

$$\mathbf{A}_0(\mathbf{r}) = \int_0^1 \mathbf{F}_0(t \cdot \mathbf{r}) \times (t \cdot \mathbf{r}) dt$$

onde novamente

$$\mathbf{F}_0(t \cdot \mathbf{r}) = \mathbf{F}(t(\mathbf{r} + \mathbf{r}_0))$$

com  $\mathbf{r}$  restrito ao conjunto  $X_0$  que é a translação de  $X$  por um vetor  $\mathbf{r}_0$  que aponta para um ponto  $P$  em  $X$  no qual qualquer reta que ligue  $P$  a qualquer outro em  $X$  esteja totalmente em  $X$ .

Calculando o rotacional de  $V(\mathbf{r})$ , temos

$$\begin{aligned} \nabla \times \mathbf{A}_0(\mathbf{r}) &= \nabla \times \int_0^1 \mathbf{F}_0(t \cdot \mathbf{r}) \times (t \cdot \mathbf{r}) dt \\ &= \int_0^1 \nabla \times (\mathbf{F}_0(t \cdot \mathbf{r}) \times (t \cdot \mathbf{r})) dt \end{aligned}$$

uma vez que a integral é independente das coordenadas.

Usando o sexto item do teorema (1.8), obteremos

$$\begin{aligned} \nabla \times \mathbf{A}_0(\mathbf{r}) &= \int_0^1 \mathbf{F}_0(t \cdot \mathbf{r}) (\nabla \cdot (t \cdot \mathbf{r})) - (t \cdot \mathbf{r}) (\nabla \cdot \mathbf{F}_0(t \cdot \mathbf{r})) + \\ &\quad ((t \cdot \mathbf{r}) \cdot \nabla) \mathbf{F}_0(t \cdot \mathbf{r}) - (\mathbf{F}_0(t \cdot \mathbf{r}) \cdot \nabla) (t \cdot \mathbf{r}) dt \end{aligned}$$

Como  $\nabla \cdot (t \cdot \mathbf{r}) = 3t$  e  $\nabla \cdot \mathbf{F}_0(t \cdot \mathbf{r}) = 0$ , então

$$\nabla \times \mathbf{A}_0(\mathbf{r}) = \int_0^1 3t\mathbf{F}_0(t \cdot \mathbf{r}) + t(\mathbf{r} \cdot \nabla)\mathbf{F}_0(t \cdot \mathbf{r}) - t(\mathbf{F}_0(t \cdot \mathbf{r}) \cdot \nabla)\mathbf{r} dt$$

Conforme calculado na demonstração do teorema (1.10), temos

$$(\mathbf{r} \cdot \nabla)\mathbf{F}_0(t \cdot \mathbf{r}) = t \frac{d}{dt} \mathbf{F}_0(t \cdot \mathbf{r}) \quad \text{e} \quad (\mathbf{F}_0(t \cdot \mathbf{r}) \cdot \nabla)\mathbf{r} = \mathbf{F}_0(t \cdot \mathbf{r})$$

e então

$$\begin{aligned} \nabla \times \mathbf{A}_0(\mathbf{r}) &= \int_0^1 3t\mathbf{F}_0(t \cdot \mathbf{r}) + t^2 \frac{d}{dt} \mathbf{F}_0(t \cdot \mathbf{r}) - t\mathbf{F}_0(t \cdot \mathbf{r}) dt \\ &= \int_0^1 t^2 \frac{d}{dt} \mathbf{F}_0(t \cdot \mathbf{r}) + 2t\mathbf{F}_0(t \cdot \mathbf{r}) dt \end{aligned}$$

Agora note que

$$t^2 \frac{d}{dt} \mathbf{F}_0(t \cdot \mathbf{r}) + 2t\mathbf{F}_0(t \cdot \mathbf{r}) = \frac{d}{dt} (t^2 \mathbf{F}_0(t \cdot \mathbf{r}))$$

e portanto

$$\nabla \times \mathbf{A}_0(\mathbf{r}) = \int_0^1 \frac{d}{dt} (t^2 \mathbf{F}_0(t \cdot \mathbf{r})) dt = \left[ t^2 \mathbf{F}_0(t \cdot \mathbf{r}) \right]_0^1 = \mathbf{F}_0(\mathbf{r})$$

Definindo um outro campo vetorial  $\mathbf{A}(\mathbf{r})$  tal que  $\mathbf{A}(\mathbf{r} + \mathbf{r}_0) = \mathbf{A}_0(\mathbf{r})$ , temos que

$$\nabla \times \mathbf{A}(\mathbf{r} + \mathbf{r}_0) = \mathbf{F}(\mathbf{r} + \mathbf{r}_0)$$

Ou seja, para qualquer vetor posição  $\mathbf{r}$  que aponte para um ponto pertencente a  $X$  temos

$$\mathbf{F} = \nabla \times \mathbf{A}$$

A recíproca é trivial, uma vez que

$$\nabla \cdot (\nabla \times \mathbf{A}) = 0$$

devido ao segundo item do teorema (1.9). ■

Um campo vetorial  $\mathbf{F}$  no qual  $\nabla \cdot \mathbf{F} = 0$  em um subconjunto  $X$  é chamado de solenoidal nessa região. O teorema (1.11) garante que se  $X$  for um conjunto estrelado, então existe algum campo vetorial  $\mathbf{A}$  tal que  $\mathbf{F} = \nabla \times \mathbf{A}$  em todo o conjunto  $X$ .

### 1.2.3 Integrais de linha

**Teorema 1.12.** *Se  $\mathbf{F}$  é uma função vetorial integrável em  $X$  tal que para toda curva fechada  $C$  contida em  $X$  for verdade*

$$\oint_C \mathbf{F} \cdot d\mathbf{r} = 0$$

então

$$\int_{C_1} \mathbf{F} \cdot d\mathbf{r} = \int_{C_2} \mathbf{F} \cdot d\mathbf{r}$$

para quaisquer curvas  $C_1$  e  $C_2$  em  $X$  que comecem em um mesmo ponto e terminem em outro ponto. A recíproca também é verdadeira.

*Demonstração.* Seja  $C_1$  qualquer curva que comece em um ponto  $\mathbf{p}$  e termine em  $\mathbf{q}$ , ambos em  $X$ . Seja também uma outra curva qualquer  $C_2$  que comece em  $\mathbf{q}$  e termine em  $\mathbf{p}$ . Então

$$\int_{C_1} \mathbf{F} \cdot d\mathbf{r} + \int_{C_2} \mathbf{F} \cdot d\mathbf{r} = \oint_C \mathbf{F} \cdot d\mathbf{r} = 0$$

Invertendo o sentido de  $C_2$  e obtendo uma nova curva  $\overline{C_2}$ , invertemos o sinal da integral, no que resulta

$$\int_{C_1} \mathbf{F} \cdot d\mathbf{r} - \int_{\overline{C_2}} \mathbf{F} \cdot d\mathbf{r} = 0$$

$$\int_{C_1} \mathbf{F} \cdot d\mathbf{r} = \int_{\overline{C_2}} \mathbf{F} \cdot d\mathbf{r}$$

Usando o mesmo raciocínio de trás para frente, pode-se provar a recíproca. ■

### 1.2.4 Teoremas fundamentais

**Teorema 1.13** (Teorema do gradiente). *Seja  $V : X \subseteq \mathbb{R}^3 \mapsto \mathbb{R}$  uma função diferenciável e  $C$  uma curva em  $X$  tal que comece em um ponto  $\mathbf{p}$ , termine em  $\mathbf{q}$  e seja suave por partes. Então*

$$\int_C \nabla V(\mathbf{r}) \cdot d\mathbf{r} = V(\mathbf{q}) - V(\mathbf{p})$$

*Demonstração.* Sejam  $C_i$  curvas retas no  $\mathbb{R}^3$  alinhadas de modo que  $C_i$  comece no término  $C_{i-1}$  e todos os pontos de começo e fim (denotados por  $x_i, y_i$  e  $z_i$ ) estão em  $C$ . Então podemos aproximar a integral de linha por

$$\int_C \nabla V(\mathbf{r}) \cdot d\mathbf{r} \approx \sum_i^n \int_{C_i} \nabla V(\mathbf{r}) \cdot d\mathbf{r}$$



onde  $d\mathbf{r} = \sum_l^3 dq_l \hat{\mathbf{e}}_{\mathbf{k}}$ , de modo que

$$\nabla V(\mathbf{r}) \cdot d\mathbf{r} = \frac{\partial V}{\partial x} dx + \frac{\partial V}{\partial y} dy + \frac{\partial V}{\partial z} dz = dV$$

e então

$$\int_C \nabla V(\mathbf{r}) \cdot d\mathbf{r} \approx \sum_i^n \int_{C_i} dV$$

Mas no limite infinitesimal

$$\int_{C_i} dV = \int_{(x_{i-1}, y_{i-1}, z_{i-1})}^{(x_i, y_i, z_i)} 1 dV = V(x_i, y_i, z_i) - V(x_{i-1}, y_{i-1}, z_{i-1})$$

Segue disso que

$$\int_C \nabla V(\mathbf{r}) \cdot d\mathbf{r} \approx \sum_i^n V(x_i, y_i, z_i) - V(x_{i-1}, y_{i-1}, z_{i-1})$$

Mas isso é uma soma telescópica, no que

$$\int_C \nabla V(\mathbf{r}) \cdot d\mathbf{r} \approx V(\mathbf{q}) - V(\mathbf{p})$$

No limite em que  $n$  tende ao infinito (refinar o conjunto das curvas  $C_i$ ), temos

$$\int_C \nabla V(\mathbf{r}) \cdot d\mathbf{r} = V(\mathbf{q}) - V(\mathbf{p})$$

■

**Corolário.** *Note que não foi preciso refinar o conjunto de curvas  $C_i$  para obter o resultado correto, ou seja a integral de linha poderia ter sido calculada em uma linha reta que une  $\mathbf{p}$  e  $\mathbf{q}$ . Além disso a integral de linha não depende do caminho mas exclusivamente dos pontos inicial e final. Como consequência do teorema (1.12) segue que*

$$\oint_C \nabla V(\mathbf{r}) \cdot d\mathbf{r} = 0$$

para qualquer curva fechada  $C$  onde  $\nabla V(\mathbf{r})$  está definido.

Os seguintes teoremas serão provados apenas para superfícies ou volumes retangulares, porém possuem validade para formas mais gerais.

**Teorema 1.14** (Teorema de Green). *Sejam  $P(x, y)$  e  $Q(x, y)$  funções definidas em uma região fechada  $\Sigma$  com fronteira  $\partial\Sigma$  e que possuem derivadas parciais de primeira ordem contínuas nessa superfície. Então*

$$\oint_{\partial\Sigma} P(x, y) dx + Q(x, y) dy = \iint_{\Sigma} \left( \frac{\partial Q}{\partial x} - \frac{\partial P}{\partial y} \right) dx dy$$

com a integral de linha orientada no sentido anti-horário.

*Demonstração.* Dada uma superfície retangular  $\Sigma$  no plano  $xy$  dada por  $[x_0, x_n] \times [y_0, y_m]$ , podemos dividi-la em regiões retangulares menores  $\Sigma_{ij}$  contidas em  $\Sigma$ . A soma de todas as integrais de linha que percorrem cada região  $\Sigma_{ij}$  devem se cancelar exceto nas bordas de  $\Sigma$ , no que implica

$$\oint_{\partial\Sigma} P(x, y) dx + Q(x, y) dy = \sum_i^n \sum_j^m \oint_{\Sigma_{ij}} P(x, y) dx + Q(x, y) dy$$

onde

$$\begin{aligned} \oint_{\Sigma_{ij}} P(x, y) dx + Q(x, y) dy &= \int_{x_{i-1}}^{x_i} P(x, y_{j-1}) dx + \int_{y_{j-1}}^{y_j} Q(x_i, y) dy + \\ &\quad \int_{x_i}^{x_{i-1}} P(x, y_j) dx + \int_{y_j}^{y_{j-1}} Q(x_{i-1}, y) dy \end{aligned}$$

com a ordem das integrais começando de  $x_{i-1}$  até  $x_i$  com  $y = y_{j-1}$  e percorrendo no sentido anti-horário, ou seja  $x_{i-1} < x_i$  e  $y_{j-1} < y_j$ .

Agora suponha que a grelha seja refinada o suficiente para que os valores de  $x_i$  sejam muito próximos de  $x_{i-1}$  e o mesmo para  $y_j$  e  $y_{j-1}$ . Então na primeira integral podemos fazer uma aproximação de  $P(x, y_{j-1})$  por série de Taylor<sup>2</sup> até a primeira ordem, isto é

$$P(x, y_{j-1}) = P(x_{i-1}, y_{j-1}) + \left. \frac{\partial P}{\partial x} \right|_{x_{i-1}} (x - x_{i-1}) + O(x^2)$$

onde  $O(x^2)$  são os termos que dependem de  $x^2$  ou potências maiores.

Denotando  $\Delta x_i = x_i - x_{i-1}$ , temos que

$$\int_{x_{i-1}}^{x_i} P(x, y_{j-1}) dx = \Delta x_i P(x_{i-1}, y_{j-1}) + \frac{(\Delta x_i)^2}{2} \left. \frac{\partial P}{\partial x} \right|_{x_{i-1}} + O((\Delta x_i)^3)$$

Analogamente temos que

$$\begin{aligned} \int_{y_{j-1}}^{y_j} Q(x_i, y) dy &= \Delta y_j Q(x_i, y_{j-1}) + \frac{(\Delta y_j)^2}{2} \left. \frac{\partial Q}{\partial y} \right|_{y_{j-1}} + O((\Delta y_j)^3) \\ \int_{x_i}^{x_{i-1}} P(x, y_j) dx &= -\Delta x_i P(x_{i-1}, y_j) - \frac{(\Delta x_i)^2}{2} \left. \frac{\partial P}{\partial x} \right|_{x_{i-1}} - O((\Delta x_i)^3) \\ \int_{y_j}^{y_{j-1}} Q(x_{i-1}, y) dy &= -\Delta y_j Q(x_{i-1}, y_{j-1}) - \frac{(\Delta y_j)^2}{2} \left. \frac{\partial Q}{\partial y} \right|_{y_{j-1}} - O((\Delta y_j)^3) \end{aligned}$$

---

<sup>2</sup>Em toda a demonstração, todas as expansões serão centradas no ponto  $(x_{i-1}, y_{j-1})$ .

e então

$$\oint_{\Sigma_{ij}} P(x, y) dx + Q(x, y) dy = \Delta x_i [P(x_{i-1}, y_{j-1}) - P(x_{i-1}, y_j)] +$$

$$\frac{(\Delta x_i)^2}{2} \left[ \left. \frac{\partial P}{\partial x} \right|_{x_{i-1}} - \left. \frac{\partial P}{\partial x} \right|_{x_{i-1}} \right] + \Delta y_j [Q(x_i, y_{j-1}) - Q(x_{i-1}, y_{j-1})] +$$

$$\frac{(\Delta y_j)^2}{2} \left[ \left. \frac{\partial Q}{\partial y} \right|_{y_{j-1}} - \left. \frac{\partial Q}{\partial y} \right|_{y_{j-1}} \right] + O((\Delta x_i)^3, (\Delta y_j)^3)$$

$$\oint_{\Sigma_{ij}} P(x, y) dx + Q(x, y) dy = \Delta x_i [P(x_{i-1}, y_{j-1}) - P(x_{i-1}, y_j)] +$$

$$\Delta y_j [Q(x_i, y_{j-1}) - Q(x_{i-1}, y_{j-1})] + O((\Delta x_i)^3, (\Delta y_j)^3)$$

Mas note que no limite infinitesimal, temos que

$$\frac{\partial P}{\partial y} = \frac{P(x_{i-1}, y_j) - P(x_{i-1}, y_{j-1})}{\Delta y_j}$$

no que implica

$$\Delta x_i [P(x_{i-1}, y_{j-1}) - P(x_{i-1}, y_j)] = -\frac{\partial P}{\partial y} \Delta x_i \Delta y_j$$

onde a derivada parcial é calculada no ponto  $(x_{i-1}, y_{i-1})$ . Analogamente temos

$$\Delta y_j [Q(x_i, y_{j-1}) - Q(x_{i-1}, y_{j-1})] = \frac{\partial Q}{\partial x} \Delta x_i \Delta y_j$$

Ou seja, a integral de linha em cada retângulo menor  $\Sigma_{ij}$  é dado por

$$\oint_{\Sigma_{ij}} P(x, y) dx + Q(x, y) dy = \left( \frac{\partial Q}{\partial x} - \frac{\partial P}{\partial y} \right) \Delta x_i \Delta y_j + O((\Delta x_i)^3, (\Delta y_j)^3)$$

No limite em que  $\Delta x_i \rightarrow 0$  e  $\Delta y_j \rightarrow 0$  (e consequentemente  $n$  e  $m$  tendem ao infinito), o termo  $O((\Delta x_i)^3, (\Delta y_j)^3)$  tende a zero rapidamente. Agora seja  $\delta x$ ,  $\delta y$  definidos por

$$\delta x = \max\{\Delta x_i, \forall i\} \quad \delta y = \max\{\Delta y_j, \forall j\}$$

Então temos

$$\oint_{\partial \Sigma} P(x, y) dx + Q(x, y) dy = \lim_{\delta x, \delta y \rightarrow 0} \sum_i^n \sum_j^m \left( \frac{\partial Q}{\partial x} - \frac{\partial P}{\partial y} \right) \Delta x_i \Delta y_j$$

Porém o membro direito é exatamente a definição de integral dupla na superfície  $\Sigma$ , ou seja

$$\oint_{\partial \Sigma} P(x, y) dx + Q(x, y) dy = \iint_{\Sigma} \left( \frac{\partial Q}{\partial x} - \frac{\partial P}{\partial y} \right) dx dy$$

■

**Teorema 1.15** (Teorema de Gauss da divergência). *Seja  $V \subseteq \mathbb{R}^n$  um conjunto compacto que possui uma fronteira suave e definida por partes  $\partial V$ . Se  $\mathbf{F}$  for uma função continuamente diferenciável em  $V$  e suas vizinhanças, então*

$$\oint_{\partial V} \mathbf{F} \cdot d\mathbf{a} = \iiint_V \nabla \cdot \mathbf{F} \, d\tau$$

onde o vetor  $d\mathbf{a}$  é normal à superfície  $\partial V$  e orientado para fora do volume.

*Demonstração.* Seja  $V$  um volume retangular dado por  $[x_0, x_n] \times [y_0, y_m] \times [z_0, z_l]$ . De maneira análoga à demonstração do teorema de Green, podemos repartir esse volume  $V$  em vários paralelepípedos menores  $V_{ijk}$  dados por  $[x_{i-1}, x_i] \times [y_{j-1}, y_j] \times [z_{k-1}, z_k]$ . As integrais de superfície desses volumes menores se anulam em diversas faces devido à orientação do vetor área, exceto as da fronteira  $\partial V$ . Então

$$\oint_{\partial V} \mathbf{F} \cdot d\mathbf{a} = \sum_i^n \sum_j^m \sum_k^l \oint_{V_{ijk}} \mathbf{F} \cdot d\mathbf{a}$$

Cada volume  $V_{ijk}$  é um paralelepípedo de 6 faces, então

$$\begin{aligned} \oint_{V_{ijk}} \mathbf{F} \cdot d\mathbf{a} = & \iint_{S_{x_{i-1}}} \mathbf{F} \cdot d\mathbf{a} + \iint_{S_{y_{j-1}}} \mathbf{F} \cdot d\mathbf{a} + \iint_{S_{z_{k-1}}} \mathbf{F} \cdot d\mathbf{a} + \\ & \iint_{S_{x_i}} \mathbf{F} \cdot d\mathbf{a} + \iint_{S_{y_j}} \mathbf{F} \cdot d\mathbf{a} + \iint_{S_{z_k}} \mathbf{F} \cdot d\mathbf{a} \end{aligned}$$

Agora denotando as componentes de  $\mathbf{F}$  por  $P, Q$  e  $R$ ,

$$\mathbf{F} = \mathbf{F}(P(x, y, z), Q(x, y, z), R(x, y, z)) \quad (7)$$

então na primeira integral temos  $d\mathbf{a} = -dx \, dy \, \hat{\mathbf{i}}$

$$\iint_{S_{x_{i-1}}} \mathbf{F} \cdot d\mathbf{a} = - \iint_{S_{x_{i-1}}} P(x_{i-1}, y, z) \, dy \, dz$$

Agora sejam  $y'_j$  e  $z'_k$  os pontos médios que delimitam  $\Delta y_j = y_j - y_{j-1}$  e  $\Delta z_k = z_k - z_{k-1}$  respectivamente, ou seja

$$y'_j = \frac{y_j + y_{j-1}}{2} \quad \text{e} \quad z'_k = \frac{z_k + z_{k-1}}{2}$$

Iremos expandir  $P$  para o centro do quadrado  $[y_{j-1}, y_j] \times [z_{k-1}, z_k]$ . Primeiramente, na variável  $y$  temos

$$P(x_{i-1}, y, z) = P(x_{i-1}, y'_j, z) + \left. \frac{\partial P}{\partial y} \right|_{y'_j} (y - y'_j) + O((y - y'_j)^2)$$

E agora expandindo em  $z$ , obteremos

$$P(x_{i-1}, y, z) = P(x_{i-1}, y'_j, z'_k) + \frac{\partial P}{\partial z} \Big|_{y'_j, z'_k} (z - z'_k) + \frac{\partial P}{\partial y} \Big|_{y'_j, z'_k} (y - y'_j) +$$

$$\frac{\partial^2 P}{\partial y \partial z} \Big|_{y'_j, z'_k} (y - y'_j)(z - z'_k) + O((y - y'_j)^2, (z - z'_k)^2)$$

Ao integrar  $P(x_{i-1}, y, z)$  de  $y_{j-1}$  até  $y_j$  e de  $z_{k-1}$  até  $z_k$ , teremos que

$$\int_{y_{j-1}}^{y_j} (y - y'_j) dy = 0 \quad \text{e} \quad \int_{z_{k-1}}^{z_k} (z - z'_k) dz = 0$$

devido à imparidade do integrando em relação ao centro do intervalo de integração.

No limite infinitesimal onde  $\Delta y_j$  e  $\Delta z_k$  tendem a zero, o termo  $O(\Delta y_j^2, \Delta z_k^2)$  tende a zero rapidamente. Nessas condições, isso implica

$$\iint_{S_{x_{i-1}}} \mathbf{F} \cdot d\mathbf{a} = -P(x_{i-1}, y'_j, z'_k) \Delta y_j \Delta z_k$$

A integral da superfície oposta, de maneira análoga, é dada por

$$\iint_{S_{x_i}} \mathbf{F} \cdot d\mathbf{a} = P(x_i, y'_j, z'_k) \Delta y_j \Delta z_k$$

de modo que

$$\iint_{S_{x_i}} \mathbf{F} \cdot d\mathbf{a} + \iint_{S_{x_{i-1}}} \mathbf{F} \cdot d\mathbf{a} = (P(x_i, y'_j, z'_k) - P(x_{i-1}, y'_j, z'_k)) \Delta y_j \Delta z_k$$

Mas no limite infinitesimal, temos

$$P(x_i, y'_j, z'_k) - P(x_{i-1}, y'_j, z'_k) = \frac{\partial P}{\partial x} \Delta x_i$$

onde a derivada parcial é calculada no ponto  $(x_i, y'_j, z'_k)$ . Uma vez que  $\Delta y_j$  e  $\Delta z_k$  tendem a zero e  $P$  tem derivadas contínuas, o valor da derivada parcial também tenderá à derivada no ponto  $(x_i, y_j, z_k)$ . Isso significa que

$$\iint_{S_{x_i}} \mathbf{F} \cdot d\mathbf{a} + \iint_{S_{x_{i-1}}} \mathbf{F} \cdot d\mathbf{a} = \frac{\partial P}{\partial x} \Delta x_i \Delta y_j \Delta z_k$$

De maneira totalmente análoga para as demais quatro superfícies, temos que

$$\iint_{S_{y_{j-1}}} \mathbf{F} \cdot d\mathbf{a} + \iint_{S_{y_j}} \mathbf{F} \cdot d\mathbf{a} = \frac{\partial Q}{\partial y} \Delta x_i \Delta y_j \Delta z_k$$

$$\iint_{S_{z_{k-1}}} \mathbf{F} \cdot d\mathbf{a} + \iint_{S_{z_k}} \mathbf{F} \cdot d\mathbf{a} = \frac{\partial R}{\partial z} \Delta x_i \Delta y_j \Delta z_k$$

e então

$$\oiint_{V_{ijk}} \mathbf{F} \cdot d\mathbf{a} = \left( \frac{\partial P}{\partial x} + \frac{\partial Q}{\partial y} + \frac{\partial R}{\partial z} \right) \Delta x_i \Delta y_j \Delta z_k = (\nabla \cdot \mathbf{F}) \Delta x_i \Delta y_j \Delta z_k$$

Novamente denotando  $\delta x$ ,  $\delta y$  e  $\delta z$  os maiores valores de cada  $\Delta x_i$ ,  $\Delta y_j$  e  $\Delta z_k$  respectivamente, temos

$$\oiint_{\partial V} \mathbf{F} \cdot d\mathbf{a} = \lim_{\delta x, \delta y, \delta z \rightarrow 0} \sum_i^n \sum_j^m \sum_k^l (\nabla \cdot \mathbf{F}) \Delta x_i \Delta y_j \Delta z_k$$

Porém o membro direito é justamente a definição de integral tripla em todo o volume  $V$ , no que acarreta

$$\oiint_{\partial V} \mathbf{F} \cdot d\mathbf{a} = \iiint_V \nabla \cdot \mathbf{F} \, d\tau$$

■

**Teorema 1.16** (Teorema de Stokes). *Seja  $\Sigma$  uma superfície suave orientada no  $\mathbb{R}^3$  com fronteira  $\partial\Sigma$ . Se  $\mathbf{F}(\mathbf{r})$  for um campo vetorial dado por (7) definido em  $\Sigma$  e possuir derivadas parciais contínuas em uma região que contém  $\Sigma$ , então*

$$\iint_{\Sigma} \nabla \times \mathbf{F} \cdot d\mathbf{a} = \oint_{\partial\Sigma} \mathbf{F} \cdot d\mathbf{r}$$

*Demonstração.* Podemos repartir a superfície  $\Sigma$  em várias outras menores  $\Sigma_{pq}$  que pode ser descrita por uma parametrização  $\mathbf{r}(u, v)$ , onde

$$\mathbf{r} = \mathbf{r}(x(u, v), y(u, v), z(u, v))$$

com  $(u, v)$  pertencendo a uma região  $\Pi_{pq}$  no plano  $uv$ .

Para parametrizar a fronteira de  $\Sigma_{pq}$ , suponha que  $u = u(t)$  e  $v = v(t)$ , de forma que descrevam  $\partial\Pi$  e também

$$\begin{aligned} d\mathbf{r} &= dx\hat{\mathbf{i}} + dy\hat{\mathbf{j}} + dz\hat{\mathbf{k}} = \left( \frac{dx}{dt}\hat{\mathbf{i}} + \frac{dy}{dt}\hat{\mathbf{j}} + \frac{dz}{dt}\hat{\mathbf{k}} \right) dt \\ d\mathbf{r} &= \left[ \left( \frac{\partial x}{\partial u} \frac{du}{dt} + \frac{\partial x}{\partial v} \frac{dv}{dt} \right) \hat{\mathbf{i}} + \left( \frac{\partial y}{\partial u} \frac{du}{dt} + \frac{\partial y}{\partial v} \frac{dv}{dt} \right) \hat{\mathbf{j}} + \left( \frac{\partial z}{\partial u} \frac{du}{dt} + \frac{\partial z}{\partial v} \frac{dv}{dt} \right) \hat{\mathbf{k}} \right] dt \end{aligned}$$

e então temos que

$$\begin{aligned} \mathbf{F} \cdot d\mathbf{r} &= P(x(u(t), v(t)), y(u(t), v(t)), z(u(t), v(t))) \left( \frac{\partial x}{\partial u} \frac{du}{dt} + \frac{\partial x}{\partial v} \frac{dv}{dt} \right) dt + \\ &\quad Q(x(u(t), v(t)), y(u(t), v(t)), z(u(t), v(t))) \left( \frac{\partial y}{\partial u} \frac{du}{dt} + \frac{\partial y}{\partial v} \frac{dv}{dt} \right) dt + \\ &\quad R(x(u(t), v(t)), y(u(t), v(t)), z(u(t), v(t))) \left( \frac{\partial z}{\partial u} \frac{du}{dt} + \frac{\partial z}{\partial v} \frac{dv}{dt} \right) dt \end{aligned}$$

$$\begin{aligned}\mathbf{F} \cdot d\mathbf{r} &= \left( P(x, y, z) \frac{\partial x}{\partial u} + Q(x, y, z) \frac{\partial y}{\partial u} + R(x, y, z) \frac{\partial z}{\partial u} \right) \frac{du}{dt} dt + \\ &\quad \left( P(x, y, z) \frac{\partial x}{\partial v} + Q(x, y, z) \frac{\partial y}{\partial v} + R(x, y, z) \frac{\partial z}{\partial v} \right) \frac{dv}{dt} dt \\ \mathbf{F} \cdot d\mathbf{r} &= \mathcal{P}(u, v) du + \mathcal{Q}(u, v) dv\end{aligned}$$

onde

$$\begin{aligned}\mathcal{P}(u, v) &= P(x, y, z) \frac{\partial x}{\partial u} + Q(x, y, z) \frac{\partial y}{\partial u} + R(x, y, z) \frac{\partial z}{\partial u} \\ \mathcal{Q}(u, v) &= P(x, y, z) \frac{\partial x}{\partial v} + Q(x, y, z) \frac{\partial y}{\partial v} + R(x, y, z) \frac{\partial z}{\partial v}\end{aligned}$$

com  $x = x(u, v)$ ,  $y = y(u, v)$  e  $z = z(u, v)$ . Segue disso que

$$\oint_{\partial \Sigma_{pq}} \mathbf{F} \cdot d\mathbf{r} = \oint_{\partial \Pi_{pq}} \mathcal{P}(u, v) du + \mathcal{Q}(u, v) dv$$

Por hipótese, as funções  $P$ ,  $Q$  e  $R$  são funções deriváveis. Idem para as parametrizações de  $x$ ,  $y$  e  $z$  em função de  $u$  e  $v$ , assim como estas em função de  $t$ . Portanto podemos usar o teorema de Green (1.14) na integral de linha do membro direito com a orientação tal que o vetor de área infinitesimal  $d\mathbf{a}$  seja  $d\mathbf{u} \times d\mathbf{v}$  e então

$$\oint_{\partial \Sigma_{pq}} \mathbf{F} \cdot d\mathbf{r} = \iint_{\Pi_{pq}} \left( \frac{\partial \mathcal{Q}}{\partial u} - \frac{\partial \mathcal{P}}{\partial v} \right) du dv \quad (8)$$

Agora note que podemos reescrever  $\mathcal{P}$  e  $\mathcal{Q}$  na forma

$$\mathcal{P}(u, v) = \mathbf{F} \cdot \frac{\partial \mathbf{r}}{\partial u} \quad \text{e} \quad \mathcal{Q}(u, v) = \mathbf{F} \cdot \frac{\partial \mathbf{r}}{\partial v}$$

de forma que

$$\frac{\partial \mathcal{Q}}{\partial u} = \frac{\partial}{\partial u} \left( \mathbf{F} \cdot \frac{\partial \mathbf{r}}{\partial v} \right) = \frac{\partial \mathbf{F}}{\partial u} \cdot \frac{\partial \mathbf{r}}{\partial v} + \mathbf{F} \cdot \frac{\partial^2 \mathbf{r}}{\partial u \partial v}$$

Analogamente temos

$$\frac{\partial \mathcal{P}}{\partial v} = \frac{\partial \mathbf{F}}{\partial v} \cdot \frac{\partial \mathbf{r}}{\partial u} + \mathbf{F} \cdot \frac{\partial^2 \mathbf{r}}{\partial v \partial u}$$

e então

$$\frac{\partial \mathcal{Q}}{\partial u} - \frac{\partial \mathcal{P}}{\partial v} = \frac{\partial \mathbf{F}}{\partial u} \cdot \frac{\partial \mathbf{r}}{\partial v} + \mathbf{F} \cdot \frac{\partial^2 \mathbf{r}}{\partial u \partial v} - \frac{\partial \mathbf{F}}{\partial v} \cdot \frac{\partial \mathbf{r}}{\partial u} - \mathbf{F} \cdot \frac{\partial^2 \mathbf{r}}{\partial v \partial u}$$

Como a parametrização de  $\mathbf{r}$  em  $u$  e  $v$  é suave, temos  $\frac{\partial^2 \mathbf{r}}{\partial v \partial u} = \frac{\partial^2 \mathbf{r}}{\partial u \partial v}$  e consequentemente

$$\frac{\partial \mathcal{Q}}{\partial u} - \frac{\partial \mathcal{P}}{\partial v} = \frac{\partial \mathbf{F}}{\partial u} \cdot \frac{\partial \mathbf{r}}{\partial v} - \frac{\partial \mathbf{F}}{\partial v} \cdot \frac{\partial \mathbf{r}}{\partial u}$$

Mas também, usando a regra da cadeia e denotando  $F_1 = P(u, v)$ ,  $F_2 = Q(u, v)$  e  $F_3 = R(u, v)$ , obteremos

$$\frac{\partial \mathbf{F}}{\partial u} = \sum_j^3 \frac{\partial F_j}{\partial u} \hat{\mathbf{e}}_j = \sum_{ij}^3 \frac{\partial F_j}{\partial q_i} \cdot \frac{\partial q_i}{\partial u} \hat{\mathbf{e}}_j$$

$$\frac{\partial \mathbf{F}}{\partial v} = \sum_{ij}^3 \frac{\partial F_j}{\partial q_i} \cdot \frac{\partial q_i}{\partial v} \hat{\mathbf{e}}_j$$

e também

$$\frac{\partial \mathbf{r}}{\partial u} = \sum_k^3 \frac{\partial q_k}{\partial u} \hat{\mathbf{e}}_k \quad \text{e} \quad \frac{\partial \mathbf{r}}{\partial v} = \sum_k^3 \frac{\partial q_k}{\partial v} \hat{\mathbf{e}}_k$$

Portanto temos

$$\begin{aligned} \frac{\partial \mathbf{F}}{\partial u} \cdot \frac{\partial \mathbf{r}}{\partial v} &= \left( \sum_{ij}^3 \frac{\partial F_j}{\partial q_i} \cdot \frac{\partial q_i}{\partial u} \hat{\mathbf{e}}_j \right) \cdot \left( \sum_k^3 \frac{\partial q_k}{\partial v} \hat{\mathbf{e}}_k \right) = \sum_{ijk}^3 \frac{\partial F_j}{\partial q_i} \frac{\partial q_i}{\partial u} \frac{\partial q_k}{\partial v} \hat{\mathbf{e}}_j \cdot \hat{\mathbf{e}}_k \\ \frac{\partial \mathbf{F}}{\partial u} \cdot \frac{\partial \mathbf{r}}{\partial v} &= \sum_{ijk}^3 \frac{\partial F_j}{\partial q_i} \frac{\partial q_i}{\partial u} \frac{\partial q_k}{\partial v} \delta_{jk} = \sum_{ij}^3 \frac{\partial F_j}{\partial q_i} \frac{\partial q_i}{\partial u} \frac{\partial q_j}{\partial v} \end{aligned}$$

De maneira totalmente análoga, obteremos

$$\frac{\partial \mathbf{F}}{\partial v} \cdot \frac{\partial \mathbf{r}}{\partial u} = \sum_{ij}^3 \frac{\partial F_j}{\partial q_i} \frac{\partial q_i}{\partial v} \frac{\partial q_j}{\partial u}$$

de forma que

$$\begin{aligned} \frac{\partial \mathbf{F}}{\partial u} \cdot \frac{\partial \mathbf{r}}{\partial v} - \frac{\partial \mathbf{F}}{\partial v} \cdot \frac{\partial \mathbf{r}}{\partial u} &= \sum_{ij}^3 \frac{\partial F_j}{\partial q_i} \frac{\partial q_i}{\partial u} \frac{\partial q_j}{\partial v} - \sum_{ij}^3 \frac{\partial F_j}{\partial q_i} \frac{\partial q_i}{\partial v} \frac{\partial q_j}{\partial u} \\ &= \sum_{ij}^3 (\partial_i F_j) \cdot \left( \frac{\partial q_i}{\partial u} \frac{\partial q_j}{\partial v} - \frac{\partial q_i}{\partial v} \frac{\partial q_j}{\partial u} \right) \end{aligned}$$

A equação (8) fica<sup>3</sup>

$$\oint_{\partial \Sigma_{pq}} \mathbf{F} \cdot d\mathbf{r} = \iint_{\Pi_{pq}} \sum_{ij}^3 (\partial_i F_j) \cdot \left( \frac{\partial q_i}{\partial u} \frac{\partial q_j}{\partial v} - \frac{\partial q_i}{\partial v} \frac{\partial q_j}{\partial u} \right) du dv \quad (9)$$

Por outro lado, o vetor de área infinitesimal  $d\mathbf{a}$  na superfície  $\Sigma_{pq}$  é dado pelo produto vetorial da variação do vetor posição  $\mathbf{r}$  sob um acréscimo  $du$  com a variação de  $\mathbf{r}$  sob um acréscimo  $dv$ , com a ordem do produto vetorial escolhida

---

<sup>3</sup>O termo entre parênteses com as derivadas parciais em  $u$  e  $v$  é o jacobiano das coordenadas  $u$  e  $v$  em relação às coordenadas cartesianas  $q_i$  e  $q_j$ . Isso será visto na seção (1.3).



com base na orientação escolhida da superfície devido ao teorema de Green. Isso significa que

$$\begin{aligned}\mathbf{da} &= (\mathbf{r}(u + du, v) - \mathbf{r}(u, v)) \times (\mathbf{r}(u, v + dv) - \mathbf{r}(u, v)) \\ \mathbf{da} &= \left( \frac{\partial \mathbf{r}}{\partial u} du \right) \times \left( \frac{\partial \mathbf{r}}{\partial v} dv \right) \\ \mathbf{da} &= \left( \frac{\partial \mathbf{r}}{\partial u} \times \frac{\partial \mathbf{r}}{\partial v} \right) du dv = \sum_{lmn}^3 \epsilon_{lmn} \left( \frac{\partial \mathbf{r}}{\partial u} \right)_l \left( \frac{\partial \mathbf{r}}{\partial v} \right)_m \hat{\mathbf{e}}_{\mathbf{n}} du dv\end{aligned}$$

Portanto

$$\begin{aligned}\nabla \times \mathbf{F} \cdot \mathbf{da} &= \left( \sum_{ijk}^3 \epsilon_{ijk} \partial_i F_j \hat{\mathbf{e}}_{\mathbf{k}} \right) \cdot \left( \sum_{lmn}^3 \epsilon_{lmn} \left( \frac{\partial \mathbf{r}}{\partial u} \right)_l \left( \frac{\partial \mathbf{r}}{\partial v} \right)_m \hat{\mathbf{e}}_{\mathbf{n}} du dv \right) \\ &= \sum_{ijklmn}^3 \epsilon_{ijk} \epsilon_{lmn} (\partial_i F_j) \left( \frac{\partial \mathbf{r}}{\partial u} \right)_l \left( \frac{\partial \mathbf{r}}{\partial v} \right)_m \hat{\mathbf{e}}_{\mathbf{k}} \cdot \hat{\mathbf{e}}_{\mathbf{n}} du dv \\ &= \sum_{ijklmn}^3 \epsilon_{ijk} \epsilon_{lmn} (\partial_i F_j) \left( \frac{\partial \mathbf{r}}{\partial u} \right)_l \left( \frac{\partial \mathbf{r}}{\partial v} \right)_m \delta_{kn} du dv \\ &= \sum_{ijklm}^3 \epsilon_{ijk} \epsilon_{lmk} (\partial_i F_j) \left( \frac{\partial \mathbf{r}}{\partial u} \right)_l \left( \frac{\partial \mathbf{r}}{\partial v} \right)_m du dv\end{aligned}$$

Usando a equação (4), temos

$$\sum_{k=1}^3 \epsilon_{ijk} \epsilon_{lmk} = \sum_{k=1}^3 \epsilon_{kij} \epsilon_{klm} = \delta_{il} \delta_{jm} - \delta_{im} \delta_{jl}$$

e portanto

$$\begin{aligned}\nabla \times \mathbf{F} \cdot \mathbf{da} &= \sum_{ijlm}^3 (\delta_{il} \delta_{jm} - \delta_{im} \delta_{jl}) (\partial_i F_j) \left( \frac{\partial \mathbf{r}}{\partial u} \right)_l \left( \frac{\partial \mathbf{r}}{\partial v} \right)_m du dv \\ \nabla \times \mathbf{F} \cdot \mathbf{da} &= \sum_{ijlm}^3 \delta_{il} \delta_{jm} (\partial_i F_j) \left( \frac{\partial \mathbf{r}}{\partial u} \right)_l \left( \frac{\partial \mathbf{r}}{\partial v} \right)_m du dv - \\ &\quad \sum_{ijlm}^3 \delta_{im} \delta_{jl} (\partial_i F_j) \left( \frac{\partial \mathbf{r}}{\partial u} \right)_l \left( \frac{\partial \mathbf{r}}{\partial v} \right)_m du dv \\ \nabla \times \mathbf{F} \cdot \mathbf{da} &= \sum_{ij}^3 (\partial_i F_j) \left( \frac{\partial \mathbf{r}}{\partial u} \right)_i \left( \frac{\partial \mathbf{r}}{\partial v} \right)_j du dv - \\ &\quad \sum_{ij}^3 (\partial_i F_j) \left( \frac{\partial \mathbf{r}}{\partial u} \right)_j \left( \frac{\partial \mathbf{r}}{\partial v} \right)_i du dv\end{aligned}$$

$$\begin{aligned}\nabla \times \mathbf{F} \cdot d\mathbf{a} &= \sum_{ij}^3 (\partial_i F_j) \frac{\partial q_i}{\partial u} \frac{\partial q_j}{\partial v} du dv - \sum_{ij}^3 (\partial_i F_j) \frac{\partial q_j}{\partial u} \frac{\partial q_i}{\partial v} du dv \\ \nabla \times \mathbf{F} \cdot d\mathbf{a} &= \sum_{ij}^3 (\partial_i F_j) \cdot \left( \frac{\partial q_i}{\partial u} \frac{\partial q_j}{\partial v} - \frac{\partial q_j}{\partial u} \frac{\partial q_i}{\partial v} \right) du dv\end{aligned}$$

Integrando ambos os lados em  $u$  e  $v$  na superfície  $\Pi_{pq}$ , obteremos

$$\iint_{\Pi_{pq}} \nabla \times \mathbf{F} \cdot d\mathbf{a} = \iint_{\Pi_{pq}} \sum_{ij}^3 (\partial_i F_j) \cdot \left( \frac{\partial q_i}{\partial u} \frac{\partial q_j}{\partial v} - \frac{\partial q_j}{\partial u} \frac{\partial q_i}{\partial v} \right) du dv \quad (10)$$

Agora compare o membro da direita da equação (9) com o da equação (10). Portanto

$$\oint_{\partial \Sigma_{pq}} \mathbf{F} \cdot d\mathbf{r} = \iint_{\Pi_{pq}} \nabla \times \mathbf{F} \cdot d\mathbf{a}$$

Mas integrar  $u$  e  $v$  na superfície  $\Pi_{pq}$  do plano  $uv$  é totalmente equivalente a integrar na superfície  $\Sigma_{pq}$  no espaço das coordenadas cartesianas, ou seja

$$\oint_{\partial \Sigma_{pq}} \mathbf{F} \cdot d\mathbf{r} = \iint_{\Sigma_{pq}} \nabla \times \mathbf{F} \cdot d\mathbf{a} \quad (11)$$

Para obtermos a integração em toda a superfície  $\Sigma$ , basta somarmos (11) em  $p$  e  $q$ . A integração nas fronteiras de  $\Sigma_{pq}$  se anularão exceto nas bordas de  $\Sigma$  enquanto que a soma das integrais das superfícies  $\Sigma_{pq}$  será a integral de toda a superfície  $\Sigma$ , resultando

$$\oint_{\partial \Sigma} \mathbf{F} \cdot d\mathbf{r} = \iint_{\Sigma} \nabla \times \mathbf{F} \cdot d\mathbf{a}$$

■

### 1.2.5 Integração por partes

**Teorema 1.17.** *Sejam  $\mathbf{A}$ ,  $\mathbf{B}$  e  $f$  funções contínuas com derivadas contínuas. Então é verdade que*

1.  $\iiint_V f(\nabla \cdot \mathbf{A}) d\tau = \oint_{\partial V} f \mathbf{A} \cdot d\mathbf{a} - \iiint_V \mathbf{A} \cdot (\nabla f) d\tau$
2.  $\iint_{\Sigma} f(\nabla \times \mathbf{A}) \cdot d\mathbf{a} = \iint_{\Sigma} [\mathbf{A} \times (\nabla f)] \cdot d\mathbf{a} + \oint_{\partial \Sigma} f \mathbf{A} \cdot d\mathbf{r}$
3.  $\iiint_V \mathbf{B} \cdot (\nabla \times \mathbf{A}) d\tau = \iiint_V \mathbf{A} \cdot (\nabla \times \mathbf{B}) d\tau + \oint_{\partial V} (\mathbf{A} \times \mathbf{B}) \cdot d\mathbf{a}$

*Demonstração.* Do terceiro item do teorema (1.8), temos que

$$\nabla \cdot (f \mathbf{A}) = f(\nabla \cdot \mathbf{A}) + \mathbf{A} \cdot (\nabla f)$$

Integrando ambos os membros em um volume  $V$  obteremos

$$\iiint_V \nabla \cdot (f \mathbf{A}) \, d\tau = \iiint_V f(\nabla \cdot \mathbf{A}) \, d\tau + \iiint_V \mathbf{A} \cdot (\nabla f) \, d\tau$$

Usando o teorema de Gauss (1.15) da divergência no primeiro membro, ficamos com

$$\oint_{\partial V} f \mathbf{A} \cdot d\mathbf{a} = \iiint_V f(\nabla \cdot \mathbf{A}) \, d\tau + \iiint_V \mathbf{A} \cdot (\nabla f) \, d\tau$$

e então

$$\iiint_V f(\nabla \cdot \mathbf{A}) \, d\tau = \oint_{\partial V} f \mathbf{A} \cdot d\mathbf{a} - \iiint_V \mathbf{A} \cdot (\nabla f) \, d\tau$$

o que demonstra o primeiro item.

Do quinto item do teorema (1.8), temos

$$\nabla \times (f \mathbf{A}) = (\nabla f) \times \mathbf{A} + f(\nabla \times \mathbf{A})$$

Integrando ambos os lados em uma superfície  $\Sigma$ , obteremos

$$\iint_{\Sigma} \nabla \times (f \mathbf{A}) \cdot d\mathbf{a} = \iint_{\Sigma} (\nabla f) \times \mathbf{A} \cdot d\mathbf{a} + \iint_{\Sigma} f(\nabla \times \mathbf{A}) \cdot d\mathbf{a}$$

Usando o teorema de Stokes (1.16) no primeiro membro, chegaremos na expressão

$$\oint_{\partial \Sigma} f \mathbf{A} \cdot d\mathbf{r} = \iint_{\Sigma} (\nabla f) \times \mathbf{A} \cdot d\mathbf{a} + \iint_{\Sigma} f(\nabla \times \mathbf{A}) \cdot d\mathbf{a}$$

Segue disso que

$$\begin{aligned} \iint_{\Sigma} f(\nabla \times \mathbf{A}) \cdot d\mathbf{a} &= - \iint_{\Sigma} (\nabla f) \times \mathbf{A} \cdot d\mathbf{a} + \oint_{\partial \Sigma} f \mathbf{A} \cdot d\mathbf{r} \\ &= \iint_{\Sigma} [\mathbf{A} \times (\nabla f)] \cdot d\mathbf{a} + \oint_{\partial \Sigma} f \mathbf{A} \cdot d\mathbf{r} \end{aligned}$$

o que prova o segundo item.

Do quarto item do teorema (1.8), temos

$$\nabla \cdot (\mathbf{A} \times \mathbf{B}) = \mathbf{B} \cdot (\nabla \times \mathbf{A}) - \mathbf{A} \cdot (\nabla \times \mathbf{B})$$

Integrando ambos os lados em um volume  $V$  e usando o teorema de Gauss (1.15) da divergência no primeiro membro, obteremos

$$\oint_{\partial V} (\mathbf{A} \times \mathbf{B}) \cdot d\mathbf{a} = \iiint_V \mathbf{B} \cdot (\nabla \times \mathbf{A}) \, d\tau - \iiint_V \mathbf{A} \cdot (\nabla \times \mathbf{B}) \, d\tau$$

e então

$$\iiint_V \mathbf{B} \cdot (\nabla \times \mathbf{A}) \, d\tau = \iiint_V \mathbf{A} \cdot (\nabla \times \mathbf{B}) \, d\tau + \oint_{\partial V} (\mathbf{A} \times \mathbf{B}) \cdot d\mathbf{a}$$

o que demonstra o terceiro item. ■

### 1.3 Jacobiano

#### 1.3.1 Áreas e volumes infinitesimais sob parametrização

Sejam  $u$  e  $v$  parametrizações suaves<sup>4</sup> das coordenadas cartesianas  $x$  e  $y$  no plano  $xy$ . Podemos expandir  $x$  e  $y$  em série de Taylor em termos de  $u$  e  $v$  a partir de um ponto  $(u_{i-1}, v_{j-1})$  para saber o comportamento dessas coordenadas sob uma pequena variação de  $u$  e  $v$ . Para a coordenada  $x$  temos

$$x(u, v) = x(u_{i-1}, v_{j-1}) + \frac{\partial x}{\partial u} \Big|_{u_{i-1}, v_{j-1}} (u - u_{i-1}) + \frac{\partial x}{\partial v} \Big|_{u_{i-1}, v_{j-1}} (v - v_{j-1}) + \frac{\partial^2 x}{\partial u \partial v} \Big|_{u_{i-1}, v_{j-1}} (u - u_{i-1})(v - v_{j-1}) + O(u^2, v^2)$$

e para a coordenada  $y$ ,

$$y(u, v) = y(u_{i-1}, v_{j-1}) + \frac{\partial y}{\partial u} \Big|_{u_{i-1}, v_{j-1}} (u - u_{i-1}) + \frac{\partial y}{\partial v} \Big|_{u_{i-1}, v_{j-1}} (v - v_{j-1}) + \frac{\partial^2 y}{\partial u \partial v} \Big|_{u_{i-1}, v_{j-1}} (u - u_{i-1})(v - v_{j-1}) + O(u^2, v^2)$$

Agora fixemos  $v = v_{j-1}$ . Variando  $u$  de  $u_{i-1}$  para  $u_i$ , as coordenadas  $x$  e  $y$  também irão variar. No caso de  $x$ , temos

$$x(u_i, v_{j-1}) = x(u_{i-1}, v_{j-1}) + \frac{\partial x}{\partial u} \Big|_{u_{i-1}, v_{j-1}} (u_i - u_{i-1}) + O(u^2, v^2)$$

$$x(u_i, v_{j-1}) = x(u_{i-1}, v_{j-1}) + \frac{\partial x}{\partial u} \Big|_{u_{i-1}, v_{j-1}} \Delta u + O(u^2, v^2)$$

de modo que

$$\Delta x_u = x(u_i, v_{j-1}) - x(u_{i-1}, v_{j-1}) = \frac{\partial x}{\partial u} \Big|_{u_{i-1}, v_{j-1}} \Delta u + O(u^2, v^2)$$

Similarmente, para  $y$  temos

$$\Delta y_u = y(u_i, v_{j-1}) - y(u_{i-1}, v_{j-1}) = \frac{\partial y}{\partial u} \Big|_{u_{i-1}, v_{j-1}} \Delta u + O(u^2, v^2)$$

---

<sup>4</sup>Parametrizações suaves são aquelas cujas derivadas parciais em  $u$  e  $v$  existam.

No limite em que  $\Delta u$  é infinitesimal, o termo  $O(u^2, v^2)$  rapidamente tenderá a zero. Então o vetor  $\vec{r}_{\Delta u}$  que liga os pontos em que houve uma variação infinitesimal  $\Delta u$  é dado por

$$\vec{r}_{\Delta u} = (\Delta x_u, \Delta y_u) = \left( \frac{\partial x}{\partial u}, \frac{\partial y}{\partial u} \right) \Delta u$$

De modo totalmente análogo, o vetor  $\vec{r}_{\Delta v}$  que liga os pontos em que houve uma variação infinitesimal  $\Delta v$  é dado por

$$\vec{r}_{\Delta v} = \left( \frac{\partial x}{\partial v}, \frac{\partial y}{\partial v} \right) \Delta v$$

A área  $A$  de um paralelogramo formado por dois vetores  $\vec{a}$  e  $\vec{b}$  é numericamente igual ao volume de um paralelepípedo cuja base é o paralelogramo formado pelos vetores  $\vec{a}$  e  $\vec{b}$  com altura dada pelo versor  $\hat{\mathbf{k}}$ . Isto é o produto escalar triplo

$$A = |\hat{\mathbf{k}} \cdot \vec{a} \times \vec{b}| = \left| \det \begin{bmatrix} a_x & a_y & 0 \\ b_x & b_y & 0 \\ 0 & 0 & 1 \end{bmatrix} \right| = \left| \det \begin{bmatrix} a_x & a_y \\ b_x & b_y \end{bmatrix} \right|$$

com o módulo aparecendo devido que a área  $A$  é não-negativa.

Portanto a área infinitesimal  $da$  de uma região formada no plano  $xy$  devido à uma região retangular infinitesimal no plano  $uv$  é dada por<sup>5</sup>

$$da = \left| \det \begin{bmatrix} \frac{\partial x}{\partial u} & \frac{\partial y}{\partial u} \\ \frac{\partial x}{\partial v} & \frac{\partial y}{\partial v} \end{bmatrix} \right| du dv$$

Mas como  $da = dx dy$  no plano cartesiano, temos

$$dx dy = \left| \det \begin{bmatrix} \frac{\partial x}{\partial u} & \frac{\partial y}{\partial u} \\ \frac{\partial x}{\partial v} & \frac{\partial y}{\partial v} \end{bmatrix} \right| du dv$$

Agora no caso tridimensional suponha uma parametrização suave do tipo  $x(u, v, w)$ ,  $y(u, v, w)$  e  $z(u, v, w)$ . Realizando o mesmo procedimento de expansão em série de Taylor, os vetores que ligam cada variação infinitesimal  $\Delta u$ ,  $\Delta v$  ou

---

<sup>5</sup>Os diferenciais aparecem fora do determinante devido à propriedade multiplicativa por escalar.

$\Delta w$  são dados por

$$\begin{aligned}\vec{r}_{\Delta u} &= \left( \frac{\partial x}{\partial u}, \frac{\partial y}{\partial u}, \frac{\partial z}{\partial u} \right) \Delta u \\ \vec{r}_{\Delta v} &= \left( \frac{\partial x}{\partial v}, \frac{\partial y}{\partial v}, \frac{\partial z}{\partial v} \right) \Delta v \\ \vec{r}_{\Delta w} &= \left( \frac{\partial x}{\partial w}, \frac{\partial y}{\partial w}, \frac{\partial z}{\partial w} \right) \Delta w\end{aligned}$$

O volume infinitesimal  $dV$  formado por esses três vetores é dado pelo produto escalar triplo

$$dV = |\vec{r}_{\Delta u} \cdot \vec{r}_{\Delta v} \times \vec{r}_{\Delta w}| = \left| \det \begin{bmatrix} \frac{\partial x}{\partial u} & \frac{\partial y}{\partial u} & \frac{\partial z}{\partial u} \\ \frac{\partial x}{\partial v} & \frac{\partial y}{\partial v} & \frac{\partial z}{\partial v} \\ \frac{\partial x}{\partial w} & \frac{\partial y}{\partial w} & \frac{\partial z}{\partial w} \end{bmatrix} \right| du dv dw$$

As duas matrizes que apareceram nos motiva a fazermos a seguinte definição:

**Definição 1.9** (Matriz jacobiana). *Sejam  $u$  e  $v$  parametrizações das coordenadas cartesianas  $x$  e  $y$  cujas derivadas parciais existam. Então denominamos o determinante da seguinte matriz de jacobiano:*

$$\frac{\partial(x, y)}{\partial(u, v)} = \det \begin{bmatrix} \frac{\partial x}{\partial u} & \frac{\partial y}{\partial u} \\ \frac{\partial x}{\partial v} & \frac{\partial y}{\partial v} \end{bmatrix} = \frac{\partial x}{\partial u} \frac{\partial y}{\partial v} - \frac{\partial y}{\partial u} \frac{\partial x}{\partial v} \quad (12)$$

No caso tridimensional em que há parâmetros  $u$ ,  $v$  e  $w$ , temos

$$\frac{\partial(x, y, z)}{\partial(u, v, w)} = \det \begin{bmatrix} \frac{\partial x}{\partial u} & \frac{\partial y}{\partial u} & \frac{\partial z}{\partial u} \\ \frac{\partial x}{\partial v} & \frac{\partial y}{\partial v} & \frac{\partial z}{\partial v} \\ \frac{\partial x}{\partial w} & \frac{\partial y}{\partial w} & \frac{\partial z}{\partial w} \end{bmatrix}$$

Dessa forma temos que

$$da = dx dy = \left| \frac{\partial(x, y)}{\partial(u, v)} \right| du dv$$

ou então no caso tridimensional

$$dV = dx dy dz = \left| \frac{\partial(x, y, z)}{\partial(u, v, w)} \right| du dv dw$$

### 1.3.2 Áreas e volumes orientados

A área  $A$  e volume  $V$  de uma região parametrizada  $\Sigma$  no espaço cartesiano (ou a região  $\Pi$  no espaço  $uvw$ ) pode ser calculada integrando as diferenciais  $dx$  e  $dy$ , ou seja

$$A = \iint_{\Sigma} dx \, dy = \iint_{\Pi} \left| \frac{\partial(x, y)}{\partial(u, v)} \right| du \, dv$$

$$V = \iiint_{\Sigma} dx \, dy \, dz = \iiint_{\Pi} \left| \frac{\partial(x, y, z)}{\partial(u, v, w)} \right| du \, dv \, dw$$

Entretanto podemos atribuir sinais negativos as essas quantidades se levarmos em conta a orientação (ou ordem de escolha) dos vetores  $\vec{r}_{\Delta u}$ ,  $\vec{r}_{\Delta v}$  e  $\vec{r}_{\Delta w}$ , e isso pode ser feito ao não aplicar o valor absoluto no jacobiano:

$$\mathcal{A} = \iint_{\Sigma} dx \, dy = \iint_{\Pi} \frac{\partial(x, y)}{\partial(u, v)} du \, dv$$

$$\mathcal{V} = \iiint_{\Sigma} dx \, dy \, dz = \iiint_{\Pi} \frac{\partial(x, y, z)}{\partial(u, v, w)} du \, dv \, dw$$

Denominamos  $\mathcal{A}$  e  $\mathcal{V}$  respectivamente de área e volume orientados.

**Exemplo 1.1** (Troca das coordenadas cartesianas). *Suponha  $x(u, v) = v$  e  $y(u, v) = u$ . Então*

$$\frac{\partial(x, y)}{\partial(u, v)} = \frac{\partial x}{\partial u} \frac{\partial y}{\partial v} - \frac{\partial y}{\partial u} \frac{\partial x}{\partial v} = 0 \cdot 0 - 1 \cdot 1 = -1$$

*Portanto*

$$\mathcal{A} = \iint_{\Sigma} dx \, dy = - \iint_{\Pi} du \, dv = - \iint_{\Sigma} dy \, dx$$

*Isso significa que inverter a ordem de integração altera o sinal da área orientada.*

**Exemplo 1.2** (Área de uma linha). *Suponha  $x(u, v) = u$  e  $y(u, v) = u$ . Então*

$$\frac{\partial(x, y)}{\partial(u, v)} = \frac{\partial x}{\partial u} \frac{\partial y}{\partial v} - \frac{\partial y}{\partial u} \frac{\partial x}{\partial v} = 1 \cdot 0 - 1 \cdot 0 = 0$$

*E então*

$$\mathcal{A} = \iint_{\Sigma} dx \, dy = \iint_{\Pi} 0 \, du \, dv = \iint_{\Sigma} 0 \, dx \, dx = 0$$

**Exemplo 1.3** (Área em coordenadas polares). *Suponha  $x(r, \theta) = r \cos(\theta)$  e  $y(r, \theta) = r \sin(\theta)$ . Então*

$$\frac{\partial(x, y)}{\partial(r, \theta)} = \frac{\partial x}{\partial r} \frac{\partial y}{\partial \theta} - \frac{\partial y}{\partial r} \frac{\partial x}{\partial \theta} = r \cos^2(\theta) + r \sin^2(\theta) = r$$

*Logo a área em coordenadas polares é dada por*

$$\mathcal{A} = \iint_{\Sigma} dx \, dy = \iint_{\Pi} r \, dr \, d\theta$$

## 1.4 Vetores contravariantes e covariantes

### 1.4.1 Transformações contravariantes

Sejam  $\xi = \{u_1, u_2, \dots, u_n\}$  e  $\beta = \{v_1, v_2, \dots, v_n\}$  duas bases de um espaço vetorial  $V$  cujo corpo é  $\mathbb{K}$ . Podemos escrever cada vetor de  $\beta$  como uma combinação linear dos elementos de  $\xi$ :

$$v_j = \sum_i^n a_j^i u_i \quad (13)$$

onde  $a_j^i$  é o elemento da  $i$ -ésima linha e  $j$ -ésima coluna de uma matriz  $A$ . Em outras palavras,  $A$  é a matriz que leva a base  $\xi$  para  $\beta$ .

Seja  $\gamma$  um elemento de  $V$  cujas coordenadas na base  $\beta$  são  $(y^1, y^2, \dots, y^n)$ , ou seja

$$\gamma = \sum_j^n y^j v_j$$

Segue disso que

$$\gamma = \sum_j^n \sum_i^n y^j a_j^i u_i = \sum_i^n \left( \sum_j^n y^j a_j^i \right) u_i = \sum_i^n x^i u_i$$

onde  $x^i = \sum_j^n y^j a_j^i$  é a  $i$ -ésima coordenada de  $\gamma$  na base  $\xi$ .

Usando a notação matricial, temos que

$$\mathbf{x} = A\mathbf{y}$$

onde  $\mathbf{x}$  e  $\mathbf{y}$  são os vetores coluna contendo as coordenadas de  $\gamma$  na base  $\xi$  e  $\beta$  respectivamente. Sabemos<sup>6</sup> que  $\det A \neq 0$  e portanto  $A$  possui uma inversa  $A^{-1}$ , de forma que

$$A^{-1}\mathbf{x} = \mathbf{y}$$

ou equivalentemente

$$y^i = \sum_j^n \tilde{a}_j^i x^j$$

onde  $\tilde{a}_j^i$  é o elemento da  $i$ -ésima linha e  $j$ -ésima coluna da matriz  $A^{-1}$ .

Agora note que a transformação das coordenadas do elemento  $\gamma$  de  $\xi$  para  $\beta$  se faz usando a matriz  $A^{-1}$ , apesar da base  $\xi$  se transformar para  $\beta$  usando a matriz  $A$ . Com isso, denominamos que as coordenadas do elemento  $\gamma$  se transformam *contravariantemente* sob uma mudança de base.

---

<sup>6</sup>Se  $\det A$  fosse nulo, então 0 seria um autovalor de  $A$  e portanto existiria algum autovetor coluna  $k$ , cujos elementos pertencem a  $\mathbb{K}$  e não todos nulos, tal que  $Ak = 0$ . Ou seja, existiria alguma  $n$ -upla não nula na base  $\beta$  que seria o vetor nulo na base  $\xi$  (e consequentemente o elemento nulo de  $V$ ), o que é falso.



### 1.4.2 Transformações covariantes

Seja  $\alpha : V \mapsto \mathbb{K}$  um funcional linear que leva um elemento de  $V$  ao corpo  $\mathbb{K}$ . No contexto da álgebra linear, esse funcional é uma transformação linear cujo contradomínio é o espaço vetorial formado pelo corpo  $\mathbb{K}$ . Podemos representar  $\alpha$  univocamente por meio de coordenadas em relação a uma base, de forma semelhante à coordenada de um vetor. Sejam  $p_i$  as coordenadas de  $\alpha$  na base  $\xi$ , isto é

$$p_i = \alpha(u_i)$$

Então a aplicação de  $\alpha$  no elemento  $\gamma$  resultará

$$\alpha(\gamma) = \alpha\left(\sum_i^n x^i u_i\right) = \sum_i^n x^i \alpha(u_i) = \sum_i^n x^i p_i$$

Por outro lado, substituindo  $x^i$  pela sua representação na base  $\beta$ , temos que

$$\alpha(\gamma) = \sum_i^n \sum_j^n y^j a_j^i p_i = \sum_j^n y^j \left(\sum_i^n a_j^i p_i\right)$$

Se denotarmos  $q_j = \alpha(v_j)$ , temos também

$$\alpha(\gamma) = \alpha\left(\sum_j^n y^j v_j\right) = \sum_j^n y^j \alpha(v_j) = \sum_j^n y^j q_j$$

Como  $\alpha(\gamma)$  é o mesmo independentemente da base escolhida, podemos igualar as duas expressões para obtermos

$$\sum_j^n \left(q_j - \sum_i^n a_j^i p_i\right) y^j = 0$$

Essa equação é verdadeira para qualquer  $\gamma$  de  $V$  (ou seja, é válida para qualquer escolha dos valores  $y^j$ ). Em particular, podemos escolher  $y^j = \delta_{jj'}$  e então

$$\sum_j^n \left(q_j - \sum_i^n a_j^i p_i\right) y^j = \sum_j^n \left(q_j - \sum_i^n a_j^i p_i\right) \delta_{jj'} = q_{j'} - \sum_i^n a_{j'}^i p_i = 0$$

Trocando o índice mudo  $j'$  para  $j$ , obteremos

$$q_j = \sum_i^n a_j^i p_i$$

Na notação matricial, essa expressão é equivalente a

$$\mathbf{q} = \mathbf{p}A$$

onde  $\mathbf{p}$  e  $\mathbf{q}$  são vetores linha contendo as coordenadas de  $\alpha$  na base  $\xi$  e  $\beta$  respectivamente.

Agora note que a transformação das coordenadas do funcional linear  $\alpha$  da base  $\xi$  para  $\beta$  se dá aplicando a matriz  $A$ , exatamente a mesma matriz usada para levar a base  $\xi$  para  $\beta$ . Nesse caso, denominamos que as coordenadas de  $\alpha$  se transformam *covariantemente* sob uma mudança de base.

### 1.4.3 Vetores sob mudança de base

Podemos separar os vetores em três grupos: um nos quais se transformam contravariantemente, outro nos que se transformam covariantemente e um terceiro no qual são invariantes sob mudança de base. Isso nos motiva a fazer as seguintes definições.

**Definição 1.10** (Vetores contravariantes). *Dada uma matriz  $A$  que leva uma base  $\xi$  para  $\beta$ , um vetor cuja  $n$ -upla se transforme da base  $\xi$  para  $\beta$  sob a aplicação de  $A^{-1}$  é denominado de contravariante. As coordenadas de um vetor contravariante são denotadas com um índice superior.*

**Exemplo 1.4** (Vetor posição). *Seja  $\gamma = (q^1, q^2, q^3)$  um vetor qualquer do  $\mathbb{R}^3$ , onde  $q^i$  são as coordenadas na base canônica  $\xi$  formada por*

$$\xi = \{(1, 0, 0); (0, 1, 0); (0, 0, 1)\} = \{\hat{\mathbf{e}}_1, \hat{\mathbf{e}}_2, \hat{\mathbf{e}}_3\}$$

*Então temos que*

$$\gamma = \sum_i^3 q^i \hat{\mathbf{e}}_i$$

*Agora seja a nova base  $\beta$  formada pelos elementos*

$$\beta = \{(2, 0, 0); (0, 2, 0); (0, 0, 2)\} = \{2\hat{\mathbf{e}}_1, 2\hat{\mathbf{e}}_2, 2\hat{\mathbf{e}}_3\} = \{\hat{\mathbf{f}}_1, \hat{\mathbf{f}}_2, \hat{\mathbf{f}}_3\}$$

*isto é, dobramos o módulo de cada elemento de  $\xi$ . Consequentemente*

$$\hat{\mathbf{e}}_i = \frac{1}{2} \hat{\mathbf{f}}_i$$

*e portanto*

$$\gamma = \sum_i^3 \frac{q^i}{2} \hat{\mathbf{f}}_i$$

*com agora  $f^i = \frac{q^i}{2}$  as coordenadas de  $\gamma$  na base  $\beta$ .*

*Note que aumentar o tamanho dos vetores da base canônica  $\xi$  implica em reduzir na mesma proporção as coordenadas para obtermos as novas coordenadas na base  $\beta$ . Esse comportamento invertido se mostra pela matriz  $A$  que leva  $\xi$  em  $\beta$ :*

$$A = \begin{bmatrix} 2 & 0 & 0 \\ 0 & 2 & 0 \\ 0 & 0 & 2 \end{bmatrix}$$

*enquanto que a matriz que leva as coordenadas de  $\gamma$  na base  $\xi$  para  $\beta$  é*

$$A^{-1} = \begin{bmatrix} 1/2 & 0 & 0 \\ 0 & 1/2 & 0 \\ 0 & 0 & 1/2 \end{bmatrix}$$

ou seja,

$$\mathbf{f} = A^{-1}\mathbf{q} \quad \text{com} \quad \mathbf{f} = \begin{bmatrix} f^1 \\ f^2 \\ f^n \end{bmatrix} \quad \mathbf{q} = \begin{bmatrix} q^1 \\ q^2 \\ q^n \end{bmatrix}$$

e consequentemente  $\gamma$  é um vetor contravariante.

**Definição 1.11** (Vetores covariantes). *Dada uma matriz  $A$  que leva uma base  $\xi$  para  $\beta$ , um vetor cuja  $n$ -upla se transforme da base  $\xi$  para  $\beta$  sob a aplicação de  $A$  é denominado de covariante. As coordenadas de um vetor covariante são denotadas com um índice inferior.*

**Exemplo 1.5** (Gradiente). *Seja  $(\nabla V)_\xi = \left( \frac{\partial V}{\partial q^1}, \frac{\partial V}{\partial q^2}, \frac{\partial V}{\partial q^3} \right)$  o gradiente de uma função  $V$  na base canônica  $\xi$  cujas derivadas existam, onde  $q^i$  são as coordenadas nessa base. Usando a mesma base  $\beta$  do exemplo (1.4), a regra da cadeia nos diz que*

$$\frac{\partial V}{\partial q^i} = \frac{\partial V}{\partial f^i} \cdot \frac{\partial f^i}{\partial q^i} = \frac{1}{2} \frac{\partial V}{\partial f^i}$$

no que implica

$$\frac{\partial V}{\partial f^i} = 2 \frac{\partial V}{\partial q^i}$$

Por outro lado, o gradiente de  $V$  na base  $\beta$  é

$$(\nabla V)_\beta = \left( \frac{\partial V}{\partial f^1}, \frac{\partial V}{\partial f^2}, \frac{\partial V}{\partial f^3} \right) = \left( 2 \frac{\partial V}{\partial q^1}, 2 \frac{\partial V}{\partial q^2}, 2 \frac{\partial V}{\partial q^3} \right) = 2(\nabla V)_\xi$$

Note que aumentar o tamanho dos vetores da base canônica  $\xi$  implica em aumentar na mesma proporção as coordenadas para obtermos as novas coordenadas do gradiente na base  $\beta$ . Na notação matricial, isso significa

$$(\nabla V)_\beta = (\nabla V)_\xi A$$

com

$$(\nabla V)_\beta = \begin{bmatrix} \frac{\partial V}{\partial f^1} & \frac{\partial V}{\partial f^2} & \frac{\partial V}{\partial f^3} \end{bmatrix}$$

$$(\nabla V)_\xi = \begin{bmatrix} \frac{\partial V}{\partial q^1} & \frac{\partial V}{\partial q^2} & \frac{\partial V}{\partial q^3} \end{bmatrix}$$

e portanto  $\nabla V$  é um vetor covariante.

Usando a notação com índice inferior, temos

$$y_i = 2x_i \quad \text{onde} \quad y_i = \frac{\partial V}{\partial f^i} \quad x_i = \frac{\partial V}{\partial q^i}$$

**Definição 1.12** (Escalaes). *Um vetor cuja  $n$ -upla é invariante sob qualquer mudança de base é denominado de escalar.*

**Exemplo 1.6** (Módulo de um vetor). Dado  $\gamma \in \mathbb{R}^3$ , o módulo quadrático de  $\gamma$  na base canônica  $\xi$  é dada por

$$\begin{aligned}\|\gamma\|_{\xi}^2 &= \gamma \cdot \gamma = \left( \sum_i^3 q^i \hat{\mathbf{e}}_i \right) \cdot \left( \sum_j^3 q^j \hat{\mathbf{e}}_j \right) = \sum_i^3 \sum_j^3 q^i q^j \hat{\mathbf{e}}_i \cdot \hat{\mathbf{e}}_j \\ \|\gamma\|_{\xi}^2 &= \sum_i^3 \sum_j^3 q^i q^j \delta_{ij} = \sum_i^3 (q^i)^2\end{aligned}$$

Já o módulo de  $\gamma$  numa outra base  $\beta$  qualquer é dado por

$$\|\gamma\|_{\beta}^2 = \gamma \cdot \gamma = \left( \sum_i^3 f^i \hat{\mathbf{f}}_i \right) \cdot \left( \sum_j^3 f^j \hat{\mathbf{f}}_j \right) = \sum_i^3 \sum_j^3 f^i f^j \hat{\mathbf{f}}_i \cdot \hat{\mathbf{f}}_j$$

Mas também os elementos da base  $\beta$  podem ser escrito na base canônica  $\xi$ ,

$$\hat{\mathbf{f}}_i = \sum_k^3 a_i^k \hat{\mathbf{e}}_k$$

de forma que

$$\begin{aligned}\hat{\mathbf{f}}_i \cdot \hat{\mathbf{f}}_j &= \left( \sum_k^3 a_i^k \hat{\mathbf{e}}_k \right) \cdot \left( \sum_m^3 a_j^m \hat{\mathbf{e}}_m \right) = \sum_k^3 \sum_m^3 a_i^k a_j^m \hat{\mathbf{e}}_k \cdot \hat{\mathbf{e}}_m \\ \hat{\mathbf{f}}_i \cdot \hat{\mathbf{f}}_j &= \sum_k^3 \sum_m^3 a_i^k a_j^m \delta_{km} = \sum_k^3 a_i^k a_j^k\end{aligned}$$

e então

$$\|\gamma\|_{\beta}^2 = \sum_i^3 \sum_j^3 \sum_k^3 f^i f^j a_i^k a_j^k = \sum_k^3 \left( \sum_i^3 f^i a_i^k \right) \cdot \left( \sum_j^3 f^j a_j^k \right)$$

Mas os coeficientes  $a_i^k$  são exatamente os que transformam as coordenadas de  $\gamma$  na base  $\beta$  para  $\xi$  (transformação contravariante), ou seja,

$$q^k = \sum_i^3 f^i a_i^k$$

e consequentemente

$$\|\gamma\|_{\beta}^2 = \sum_k^3 q^k q^k = \sum_i^3 (q^i)^2 = \|\gamma\|_{\xi}^2$$

Isso significa que a quantidade  $\|\gamma\|^2$  é invariante sob a mudança de base da canônica para outra qualquer e consequentemente também é invariante sob mudança entre quaisquer bases. Logo  $\|\gamma\|^2$  é um escalar. O vetor  $(h_1, \dots, h_n)$  onde  $h_i$  são funções que dependem apenas de  $\|\gamma\|$  também é um escalar.

## 1.5 Pseudovetores

Suponha um operador  $R : \mathbb{R}^3 \mapsto \mathbb{R}^3$  que reflete um vetor em relação à coordenada  $y$ , ou seja, cuja representação matricial é

$$R = \begin{bmatrix} 1 & 0 & 0 \\ 0 & -1 & 0 \\ 0 & 0 & 1 \end{bmatrix}$$

Se  $\vec{a} \in \mathbb{R}^3$ , então temos

$$R\vec{a} = \sum_i^3 \sum_j^3 R_{ij} a_j \hat{\mathbf{e}}_i$$

onde  $R_{ij} = (-1)^{i+1} \delta_{ij}$ .

Agora sejam  $\vec{a}, \vec{b} \in \mathbb{R}^3$ . Segue que

$$\begin{aligned} (R\vec{a}) \times (R\vec{b}) &= \sum_{ijk}^3 \epsilon_{ijk} (R\vec{a})_i (R\vec{b})_j \hat{\mathbf{e}}_k \\ &= \sum_{ijk}^3 \epsilon_{ijk} \sum_l^3 R_{il} A_l \sum_m^3 R_{jm} B_m \hat{\mathbf{e}}_k \\ &= \sum_{ijklm}^3 \epsilon_{ijk} (-1)^{i+1} \delta_{il} (-1)^{j+1} \delta_{jm} A_l B_m \hat{\mathbf{e}}_k \\ &= \sum_{ijk}^3 (-1)^{i+j} \epsilon_{ijk} A_i B_j \hat{\mathbf{e}}_k \end{aligned}$$

isto é, o vetor  $(R\vec{a}) \times (R\vec{b})$  possui as componentes  $x$  e  $z$  invertidas em relação ao vetor  $\vec{a} \times \vec{b}$ . Consequentemente temos

$$(R\vec{a}) \times (R\vec{b}) = \begin{bmatrix} -1 & 0 & 0 \\ 0 & 1 & 0 \\ 0 & 0 & -1 \end{bmatrix} (\vec{a} \times \vec{b}) = -R (\vec{a} \times \vec{b})$$

que é diferente de  $R (\vec{a} \times \vec{b})$ . Esse comportamento anômalo também fica nítido ao inverter o sentido de todas as componentes. Seja agora  $K$  a matriz

$$K = \begin{bmatrix} -1 & 0 & 0 \\ 0 & -1 & 0 \\ 0 & 0 & -1 \end{bmatrix}$$

Temos que  $K\vec{a} = -\vec{a}$  e portanto

$$(K\vec{a}) \times (K\vec{b}) = (-\vec{a}) \times (-\vec{b}) = \vec{a} \times \vec{b} \neq K (\vec{a} \times \vec{b})$$

ou seja, o elemento  $\vec{a} \times \vec{b}$  foi invariante sob a inversão dos eixos. Por causa desse comportamento anômalo, denominamos  $\vec{a} \times \vec{b}$  de pseudovetor (ou vetor axial).

## 2 Espaço dos p-vetores

**Definição 2.1** (Espaços 0-vetor e 1-vetor). *Seja  $V$  um espaço vetorial de dimensão  $n$  cujo corpo é  $\mathbb{K}$ . Define-se o espaço 0-vetor  $\bigwedge^0 V = \mathbb{K}$  como sendo o corpo  $\mathbb{K}$ . O espaço 1-vetor  $\bigwedge^1 V = V$  é definido como sendo o próprio espaço vetorial  $V$ .*

**Definição 2.2** (Espaço 2-vetor). *Dado o espaço vetorial em (2.1), define-se  $\bigwedge^2 V$  o espaço vetorial 2-vetor formado por todos os elementos  $u$ , denominados de bi-vetores, tais que podem ser escritos como*

$$u = x \wedge y \quad \text{para algum } x, y \in V$$

*com a operação binária  $\wedge : [V \times V] \mapsto \bigwedge^2 V$ , supondo  $x, y$  e  $z$  elementos de  $V$  e  $a, b \in \mathbb{K}$ , satisfazendo os dois axiomas:*

**Axioma 1** (Linearidade à direita).  $(ax + by) \wedge z = a(x \wedge z) + b(y \wedge z)$

**Axioma 2** (Anticomutatividade).  $x \wedge y = -y \wedge x$

*Denomina-se  $x \wedge y$  de produto exterior (ou externo) dos vetores  $x$  e  $y$ .*

**Teorema 2.1** (Linearidade à esquerda).  $z \wedge (ax + by) = a(z \wedge x) + b(z \wedge y)$

*Demonstração.*

$$\begin{aligned} z \wedge (ax + by) &= -(ax + by) \wedge z && \text{(Axioma 2)} \\ &= -a(x \wedge z) - b(y \wedge z) && \text{(Axioma 1)} \\ &= a(z \wedge x) + b(z \wedge y) && \text{(Axioma 2)} \end{aligned}$$

■

**Teorema 2.2.**  $x \wedge x = 0$ , com 0 sendo o elemento nulo de  $\bigwedge^2 V$ .

*Demonstração.* Devido ao axioma da anticomutatividade (2), temos

$$x \wedge x = -x \wedge x$$

e então

$$2(x \wedge x) = 0 \implies x \wedge x = 0$$

■

Agora sejam  $\gamma$  e  $\omega$  elementos de  $V$  cujas representações na base  $\xi$  são

$$\gamma = \sum_i^n \gamma^i x_i \quad \text{e} \quad \omega = \sum_i^n \omega^i x_i$$

O produto exterior de  $\gamma$  com  $\omega$  é

$$\gamma \wedge \omega = \left( \sum_i^n \gamma^i x_i \right) \wedge \left( \sum_j^n \omega^j x_j \right) = \sum_i^n \sum_j^n \gamma^i \omega^j (x_i \wedge x_j)$$

Devido ao teorema (2.2) e ao axioma (2), temos que os termos em que  $i = j$  se anulam e os que aparecem com  $i$  e  $j$  trocados podem ser agrupados com um sinal de menos, resultando

$$\gamma \wedge \omega = \sum_{i=2}^n \sum_{j=1}^{i-1} (\gamma^i \omega^j - \gamma^j \omega^i)(x_i \wedge x_j) \quad (14)$$

onde a soma é feita de forma que cada combinação de  $i$  e  $j$  seja feita apenas uma vez ( $1 \leq j < i \leq n$ ). Consequentemente a dimensão do espaço  $\bigwedge^2 V$ , que é o número de elementos  $(x_i \wedge x_j)$  linearmente independentes, é dada por

$$\dim \bigwedge^2 V = \sum_{i=2}^n \sum_{j=1}^{i-1} 1 = \sum_{i=2}^n (i-1) = \frac{n(n-1)}{2} = \binom{n}{2}$$

Podemos generalizar criando um novo espaço vetorial  $\bigwedge^3 V$  formado pelos elementos que são a aplicação do operador  $\wedge$  entre um bi-vetor de  $\bigwedge^2 V$  e um vetor de  $V$ , resultando em um tri-vetor.

**Definição 2.3** (Espaço dos  $p$ -vetores). *Seja  $V$  um espaço vetorial de dimensão  $n$  com corpo  $\mathbb{K}$ . O espaço  $p$ -vetor  $\bigwedge^p V$ , com  $1 \leq p \leq n$ , é formado pela totalidade dos elementos  $u$  que podem ser escritos na forma*

$$u = (x_{q_1} \wedge x_{q_2} \wedge \dots \wedge x_{q_p}) \quad (15)$$

com os  $p$  índices  $q_i$  satisfazendo  $1 \leq q_1 < q_2 < \dots < q_p \leq n$ ,  $x_i \in V$  e tal operação entre vetores de  $V$  satisfazendo

1.  $y_1 \wedge y_2 \wedge \dots \wedge y_p$  troca de sinal se dois elementos  $y_i$  forem trocados;
2.  $y_1 \wedge y_2 \wedge \dots \wedge y_p$  é o elemento nulo de  $\bigwedge^p V$  se  $y_i = y_j$  para algum  $i \neq j$ ;
3.  $(ax + by) \wedge y_2 \wedge \dots \wedge y_p = a(x \wedge y_2 \wedge \dots \wedge y_p) + b(y \wedge y_2 \wedge \dots \wedge y_p)$ , e a mesma propriedade é válida se  $y_i$  for substituído por  $ax + by$ , com  $a, b \in \mathbb{K}$  e  $x, y \in V$ .

A dimensão do espaço  $\bigwedge^p V$  é o número de elementos linearmente independentes dados pelas combinações dos índices  $q_i$  em (15), ou seja

$$\dim \bigwedge^p V = \binom{n}{p}$$

Se  $p > n$ , então  $\bigwedge^p V$  é um espaço vetorial de um só elemento, o nulo, já que haverão  $n + 1$  elementos linearmente dependentes e consequentemente o item 2 da definição (2.3) se aplica.

Se  $u$  for um elemento de  $\bigwedge^p V$ , então  $u$  pode ser escrito em termos de uma base  $\xi = \{x_1, \dots, x_n\}$  de  $V$  na forma

$$u = \sum_{h_1 h_2 \dots h_p} a^{h_1 h_2 \dots h_p} (x_{h_1} \wedge x_{h_2} \wedge \dots \wedge x_{h_p})$$

onde os índices  $h_i$  satisfazem  $1 \leq h_1 < h_2 < \dots < h_p \leq n$ . Ou seja, para cada conjunto  $H = \{h_1, h_2, \dots, h_p\} \subseteq \{1, 2, \dots, n\}$  de  $p$  elementos temos uma coordenada  $a^{h_1 h_2 \dots h_p}$  associada a  $x_{h_1} \wedge x_{h_2} \wedge \dots \wedge x_{h_p}$ . Podemos compactar tudo isso usando a notação

$$u = \sum_H a^H x_H$$

onde  $u$  é a soma sobre todas as possíveis combinações de índices  $H$ , com  $a^H = a^{h_1 h_2 \dots h_p}$  e  $x_H = x_{h_1} \wedge x_{h_2} \wedge \dots \wedge x_{h_p}$ .

## 2.1 Determinantes

Dado um espaço vetorial  $V$  de dimensão  $n$  e corpo  $\mathbb{K}$  e uma transformação linear  $A : V \mapsto V$ , iremos definir uma função  $g_A$  de  $n$  variáveis como

$$\begin{aligned} g_A : \times^n V &\mapsto \bigwedge^n V \\ g_A(x_1, \dots, x_n) &= Ax_1 \wedge Ax_2 \wedge \dots \wedge Ax_n \end{aligned}$$

onde  $x_i \in V$  e  $\times^n V$  é o conjunto das  $n$ -uplas contendo elementos de  $V$  (produto cartesiano). Equivalentemente podemos definir uma função  $f_A$  de uma variável em  $\bigwedge^n V$  tal que

$$\begin{aligned} f_A : \bigwedge^n V &\mapsto \bigwedge^n V \\ f_A(x_1 \wedge x_2 \wedge \dots \wedge x_n) &= Ax_1 \wedge Ax_2 \wedge \dots \wedge Ax_n = g_A(x_1, \dots, x_n) \end{aligned} \quad (16)$$

A dimensão de  $\bigwedge^n V$  é 1, pois há somente uma única combinação de  $n$  índices em  $n$  elementos de qualquer base de  $V$ . Então suponha  $u, v \in \bigwedge^n V$ ,  $\Gamma = \{\xi_1\}$  uma base desse espaço no qual

$$u = \alpha_1 \xi_1 \quad \text{e} \quad v = \beta_1 \xi_1 \quad \alpha_1, \beta_1 \in \mathbb{K} \quad \alpha_1 \neq 0$$

e que  $T(u) = v$  para alguma transformação linear  $T : \bigwedge^n V \mapsto \bigwedge^n V$ . Temos então que

$$T(\alpha_1 \xi_1) = \alpha_1 T(\xi_1) = \beta_1 \xi_1 \implies T(\xi_1) = \frac{\beta_1}{\alpha_1} \xi_1$$

Isso significa que qualquer transformação linear em um espaço vetorial de uma dimensão para ele próprio é meramente uma multiplicação por escalar. Então podemos reescrever (16) como sendo

$$Ax_1 \wedge Ax_2 \wedge \dots \wedge Ax_n = \gamma_A (x_1 \wedge x_2 \wedge \dots \wedge x_n) \quad (17)$$

onde  $\gamma_A \in \mathbb{K}$ . Agora suponha que os elementos  $x_i$  formem uma base  $\xi$  de  $V$  e  $[a_i^j]$  seja a representação matricial de  $A$  nessa base, ou seja,

$$Ax_i = \sum_j^n a_i^j x_j$$



então

$$\begin{aligned} Ax_1 \wedge Ax_2 \wedge \dots \wedge Ax_n &= \left( \sum_j^n a_1^j x_j \right) \wedge \left( \sum_k^n a_2^k x_k \right) \wedge \dots \wedge \left( \sum_q^n a_n^q x_q \right) \\ &= \sum_{jk\dots q}^n a_1^j \cdot a_2^k \cdot \dots \cdot a_n^q (x_j \wedge x_k \wedge \dots \wedge x_q) \end{aligned}$$

Como  $\bigwedge^n V$  é um espaço unidimensional, podemos escrever todos os termos  $x_j \wedge x_k \wedge \dots \wedge x_q$  em função de  $x_1 \wedge x_2 \wedge \dots \wedge x_n$ . Os índices repetidos resultarão em termos nulos e os sinais dependerão se a permutação dos índices  $j, k, \dots, q$  for par ou ímpar em relação à sequência  $1, 2, \dots, n$ . Podemos resumir tudo isso pela equação

$$Ax_1 \wedge Ax_2 \wedge \dots \wedge Ax_n = \left( \sum_{jk\dots q}^n \epsilon_{jk\dots q} a_1^j \cdot a_2^k \cdot \dots \cdot a_n^q \right) (x_1 \wedge x_2 \wedge \dots \wedge x_n) \quad (18)$$

onde  $\epsilon_{jk\dots q}$  é a generalização do símbolo de Levi-Civita para  $n$  índices. Comparando as expressões (17) e (18), temos que

$$\gamma_A = \sum_{jk\dots q}^n \epsilon_{jk\dots q} a_1^j \cdot a_2^k \cdot \dots \cdot a_n^q \quad (19)$$

A equação (19) coincide com uma das várias definições equivalentes de determinante da matriz  $A$ . Se  $|A|$  é o determinante da matriz que representa a transformação linear  $A$  na base  $\xi$ , então  $\gamma_A = |A|$ . Isso nos motiva a fazer a seguinte definição:

**Definição 2.4** (Determinante de transformações lineares). *Seja  $V$  um espaço vetorial de dimensão  $n$ , corpo  $\mathbb{K}$  e  $x_i \in V$ . Seja também  $A$  uma transformação linear de  $V$  para  $V$ . Denominamos  $|A| \in \mathbb{K}$  de determinante de  $A$  como sendo o escalar que relaciona*

$$Ax_1 \wedge Ax_2 \wedge \dots \wedge Ax_n = |A| (x_1 \wedge x_2 \wedge \dots \wedge x_n)$$

Usando a definição (2.4), podemos mostrar que

$$\begin{aligned} |AB| (x_1 \wedge x_2 \wedge \dots \wedge x_n) &= ABx_1 \wedge ABx_2 \wedge \dots \wedge ABx_n \\ &= A(Bx_1) \wedge A(Bx_2) \wedge \dots \wedge A(Bx_n) \\ &= |A| (Bx_1 \wedge Bx_2 \wedge \dots \wedge Bx_n) \\ &= |A| \cdot |B| (x_1 \wedge x_2 \wedge \dots \wedge x_n) \end{aligned}$$

Como  $(x_1 \wedge x_2 \wedge \dots \wedge x_n) \neq 0$  se os elementos  $x_i$  forem linearmente independentes, concluímos que

$$|AB| = |A| \cdot |B|$$

Além disso, se  $A_1$  é a matriz que representa a transformação linear  $A$  na base 1 e  $A_2$  é a matriz que representa esse mesmo operador na base 2, temos que

$$A_2 = [I]_2^1 A_1 [I]_1^2$$

onde  $[I]_j^i$  é a matriz mudança de base de  $i$  para  $j$ . Mas como  $([I]_2^1)^{-1} = [I]_1^2$ , segue que  $|A_2| = |[I]_2^1 A_1 [I]_1^2| = |A_1|$ . Isso significa que o determinante de  $A$  é um escalar, pois é invariante sob mudança de base.

## 2.2 Produto externo entre p-vetores

Podemos relacionar a operação  $\wedge$  vista na definição (2.2) com as operações  $\wedge$  vistas na definição (2.3) como sendo o mesmo operador, onde agora será definido como

$$\wedge : \bigwedge^p V \times \bigwedge^q V \mapsto \bigwedge^{p+q} V$$

e que satisfaz

$$(x_1 \wedge x_2 \wedge \dots \wedge x_p) \wedge (y_1 \wedge y_2 \wedge \dots \wedge y_q) = x_1 \wedge x_2 \wedge \dots \wedge x_p \wedge y_1 \wedge y_2 \wedge \dots \wedge y_q$$

Segue imediatamente disso que

1. O operador  $\wedge$  é associativo, ou seja,  $x \wedge (y \wedge z) = x \wedge y \wedge z = (x \wedge y) \wedge z$ .
2. O operador  $\wedge$  é comutativo se  $pq$  for par e é anticomutativo se  $pq$  for ímpar, ou seja,  $x \wedge y = (-1)^{pq} y \wedge x$ .
3. O operador  $\wedge$  continua distributivo, ou seja,  $x \wedge (y + z) = x \wedge y + x \wedge z$ .

O segundo item pode ser rapidamente provado ao mover cada  $y_i$  para à esquerda, começando com  $y_1$  até  $y_q$ , introduzindo um fator  $(-1)^p$  a cada operação:

$$\begin{aligned} (x_1 \wedge x_2 \wedge \dots \wedge x_p) \wedge (y_1 \wedge y_2 \wedge \dots \wedge y_q) &= \\ (-1)^p y_1 \wedge x_1 \wedge x_2 \wedge \dots \wedge x_p \wedge y_2 \wedge \dots \wedge y_q \end{aligned}$$

$$\begin{aligned} (x_1 \wedge x_2 \wedge \dots \wedge x_p) \wedge (y_1 \wedge y_2 \wedge \dots \wedge y_q) &= \\ ((-1)^p)^2 y_1 \wedge y_2 \wedge x_1 \wedge x_2 \wedge \dots \wedge x_p \wedge y_3 \wedge \dots \wedge y_q \end{aligned}$$

$$\begin{aligned} (x_1 \wedge x_2 \wedge \dots \wedge x_p) \wedge (y_1 \wedge y_2 \wedge \dots \wedge y_q) &= \\ ((-1)^p)^q y_1 \wedge y_2 \wedge \dots \wedge y_q \wedge x_1 \wedge x_2 \wedge \dots \wedge x_p \end{aligned}$$

$$\begin{aligned} (x_1 \wedge x_2 \wedge \dots \wedge x_p) \wedge (y_1 \wedge y_2 \wedge \dots \wedge y_q) &= \\ (-1)^{pq} (y_1 \wedge y_2 \wedge \dots \wedge y_q) \wedge (x_1 \wedge x_2 \wedge \dots \wedge x_p) \end{aligned}$$

## 2.3 Produto interno

### 2.3.1 Produto entre 1-vetores

Agora suponha que o espaço vetorial  $V$  esteja munido de um produto interno, operação binária  $V \times V \mapsto \mathbb{K}$  que satisfaça os seguintes axiomas:

**Axioma 3** (Linearidade à direita).  $\langle z, ax + by \rangle = a\langle z, x \rangle + b\langle z, y \rangle \quad \forall x, y, z \in V, a, b \in \mathbb{K}$ .

**Axioma 4** (Simetria).  $\langle x, y \rangle = \langle y, x \rangle \quad \forall x, y \in V$ . Isso em conjunto com o axioma (3) implica na linearidade à esquerda.

**Axioma 5** (Não degenerado). Dado  $x \in V$ , se  $\langle x, y \rangle = 0$  para todo  $y \in V$ , então  $x = 0$ .

**Definição 2.5** (Matriz de Gram). Seja  $\xi = \{x_1, x_2, \dots, x_n\}$  um conjunto de elementos do espaço vetorial  $V$ . Definimos  $[b_{ij}] = [\langle x_i, x_j \rangle]$  de matriz de Gram de  $\xi$ :

$$[\langle x_i, x_j \rangle] = \begin{bmatrix} \langle x_1, x_1 \rangle & \langle x_1, x_2 \rangle & \dots & \langle x_1, x_n \rangle \\ \langle x_2, x_1 \rangle & \langle x_2, x_2 \rangle & \dots & \langle x_2, x_n \rangle \\ \vdots & \vdots & \ddots & \vdots \\ \langle x_n, x_1 \rangle & \langle x_n, x_2 \rangle & \dots & \langle x_n, x_n \rangle \end{bmatrix}$$

**Teorema 2.3.** Se  $\xi = \{x_1, x_2, \dots, x_n\}$  é uma base do espaço vetorial  $V$ , então o determinante da matriz de Gram de  $\xi$  é não nulo.

*Demonstração.* Se  $\det[\langle x_i, x_j \rangle]$  fosse nulo, então existiria alguma dependência linear entre duas ou mais linhas ou colunas de  $[\langle x_i, x_j \rangle]$ . Suponha que a primeira linha seja uma combinação linear das outras, ou seja, existe  $(a^2, a^3, \dots, a^n) \neq 0$  com  $a^i \in \mathbb{K}$  tal que

$$\langle x_1, x_j \rangle = \sum_{i=2}^n a^i \langle x_i, x_j \rangle$$

Subtraindo  $\langle x_1, x_j \rangle$  de ambos os lados e fazendo  $a^1 = -1$ , teremos

$$\sum_i^n a^i \langle x_i, x_j \rangle = \left\langle \sum_i^n a^i x_i, x_j \right\rangle = 0$$

Mas isso é válido para qualquer  $x_j$ , e consequentemente para qualquer elemento de  $V$ . Logo o elemento  $\sum a^i x_i$  é o elemento nulo de  $V$  devido ao axioma (5). Mas como  $(a^1, a^2, a^3, \dots, a^n) \neq 0$ , isso também significa que o conjunto  $\xi$  é linearmente dependente, o que contradiz a hipótese de  $\xi$  ser uma base. ■

Denominamos  $\beta = \{y_1, y_2, \dots, y_k\}$  de subconjunto ortonormal de  $V$  se

$$\langle y_i, y_j \rangle = \pm \delta_{ij} \quad \forall y_i, y_j \in \beta$$

**Teorema 2.4.** Todo espaço vetorial  $V$  munido de produto interno possui uma base ortonormal.

*Demonstração.* Seja  $\xi = \{x_1, \dots, x_m\}$  o conjunto com maior número de elementos de  $V$  tais que

$$\langle x_i, x_j \rangle = \pm \delta_{ij}$$

Suponha  $m$  escalares  $a^i$  tais que

$$\sum_i^m a^i x_i = 0$$

Aplicando o produto interno em ambos os lados em relação a  $x_j$ , obteremos

$$\sum_i^m a^i \langle x_i, x_j \rangle = \langle 0, x_j \rangle = 0$$

$$0 = \sum_i^m \pm a^i \delta_{ij} = \pm a^j$$

e consequentemente  $\xi$  é um conjunto linearmente independente. Logo a dimensão do subespaço vetorial gerado por  $\xi$ , que denotaremos de  $M$ , é  $m$ .

Se  $m = \dim V = n$ , então  $\xi$  é uma base ortonormal de  $V$ . Se  $m < n$ , suponha  $K$  o conjunto de todos os elementos  $y$  de  $V$  que são ortogonais a todos os elementos de  $\xi$ , ou seja,

$$\langle x_i, y \rangle = 0 \quad \forall x_i \in \xi \quad \forall y \in K$$

O conjunto  $K$  também é um subespaço vetorial, pois a soma e multiplicação por escalar de dois elementos de  $K$  continua ortogonal a  $\xi$ ,  $K$  inclui o elemento nulo. Se  $\dim V - \dim M = n - m$  é a dimensão do subespaço vetorial  $M^C$  complementar a  $M$ , segue que  $M^C \subseteq K$  (pois todos os elementos que não são combinações lineares de  $\xi$  acabam sendo ortogonais a  $\xi$ , uma vez que suas coordenadas nesses elementos, dadas pelo produto interno, serão nulas) e consequentemente

$$\dim K \geq \dim V - \dim M = n - m$$

$$n \leq m + \dim K$$

além de que a totalidade dos elementos que pertencem a  $M$  e  $K$  formam o espaço  $V$ .

Se existir algum elemento de  $V$  que pertença tanto a  $M$  quanto a  $K$ , então ele é ortogonal a todos os elementos de  $\xi$  (por pertencer a  $K$ ) assim como ortogonal a todos os elementos de  $K$  (por pertencer a  $M$ ) e consequentemente é ortogonal a todos os elementos de  $V$ . Esse elemento só pode ser 0 devido ao axioma (5). Isso implica que  $M$  e  $K$  são mutuamente exclusivos (exceto pelo 0) e então

$$n = m + \dim K$$

Além disso, como 0 é o único elemento que é ortogonal a todos de  $K$ , então também podemos definir o produto interno dentro do subespaço  $K$  idêntico ao de  $V$ .

Agora seja  $u \in K$  tal que  $\langle u, u \rangle \neq 0$ . A existência de  $u$  é garantida pelo fato de que se  $\langle u, u \rangle = 0$  para todo  $u \in K$ , então

$$\langle u + v, u + v \rangle = \langle u, u \rangle + 2\langle u, v \rangle + \langle v, v \rangle = 2\langle u, v \rangle = 0$$

para todo  $u, v \in K$ . Como  $u$  e  $v$  também são ortogonais aos elementos de  $M$ , então são ortogonais a todos de  $V$  e consequentemente  $u = v = 0$ , o que viola o axioma (5) da não-degenerescência.

Fazendo  $x_{m+1} = \frac{u}{\sqrt{\langle u, u \rangle}}$ , obteremos

$$\langle x_i, x_{m+1} \rangle = \pm \delta_{i, m+1} \quad \forall i \in \{1, 2, \dots, m, m+1\}$$

uma vez que  $u$  é ortogonal a todos de  $\xi$  por pertencer a  $K$  e está normalizado. Então conseguimos construir um novo conjunto  $\xi_0 = \{x_1, \dots, x_m, x_{m+1}\}$  tal que

$$\langle x_i, x_j \rangle = \pm \delta_{ij}$$

que tem mais elementos do que  $\xi$ , que supomos ser o máximo. A única saída para esse absurdo é que  $m = n$  e então  $\xi$  é uma base ortonormal de  $V$ . ■

**Teorema 2.5** (Produto interno como funcional). *Seja  $\alpha$  um funcional linear em  $V$ . Então existe um único  $u \in V$  tal que*

$$\alpha(v) = \langle u, v \rangle \quad \forall v \in V$$

*Demonstração.* Seja  $\xi = \{x_1, \dots, x_n\}$  uma base ortonormal de  $V$ . Podemos escrever  $v$  em termos da base  $\xi$ :

$$v = \sum_i^n v^i x_i$$

e então

$$\alpha(v) = \alpha\left(\sum_i^n v^i x_i\right) = \sum_i^n v^i \alpha(x_i)$$

Agora seja  $u$  um elemento de  $V$  cuja representação na base  $\xi$  seja  $u_i = \pm \alpha(x_i)$ , ou seja,

$$u = \sum_i^n \pm \alpha(x_i) x_i \tag{20}$$

Segue disso que

$$\begin{aligned} \langle u, v \rangle &= \left\langle \sum_i^n \pm \alpha(x_i) x_i, \sum_j^n v^j x_j \right\rangle = \sum_i^n \sum_j^n \pm v^j \alpha(x_i) \langle x_i, x_j \rangle \\ \langle u, v \rangle &= \sum_i^n \sum_j^n v^j \alpha(x_i) \delta_{ij} = \sum_i^n v^i \alpha(x_i) = \alpha(v) \end{aligned}$$

Como só há uma representação de  $u$  em uma dada base (ou equivalentemente só há um elemento  $u$  no qual as suas coordenadas na base  $\xi$  são  $u_i = \pm \alpha(x_i)$ ), segue que  $u$  é único. ■

**Teorema 2.6** (Caso particular da Lei da inércia de Sylvester). *Dada uma base ortonormal qualquer  $\xi = \{x_1, \dots, x_n\}$  de um espaço vetorial  $V$  munido de um produto interno específico, temos que se*

$$\sum_i \langle x_i, x_i \rangle = r - s$$

*onde  $r$  é a quantidade de elementos  $x_j$  de  $\xi$  tais que  $\langle x_j, x_j \rangle = 1$  e  $s$  a quantidade de elementos  $x_k$  de  $\xi$  tais que  $\langle x_k, x_k \rangle = -1$ , então para qualquer outra base ortonormal  $\beta = \{y_1, \dots, y_n\}$  é válido*

$$\sum_i \langle y_i, y_i \rangle = r - s$$

*Denominamos o valor  $t = r - s$  de assinatura do produto interno.*

*Demonstração.* Seja  $p$  o número de elementos  $y_i$  de  $\beta$  tais que  $\langle y_i, y_i \rangle = 1$  e  $q$  o número de elementos  $y_j$  de  $\beta$  tais que  $\langle y_j, y_j \rangle = -1$ . Como há  $n$  elementos nas bases  $\xi$  e  $\beta$ , temos que

$$r + s = p + q = n \quad (21)$$

Suponha que  $r \neq p$  e que, sem perda de generalidade,  $r < p$ . Suponha também que a ordem das bases  $\xi$  e  $\beta$  são tais que os positivos definidos apareçam primeiro, ou seja,  $\forall i \in \{1, \dots, r\}$ ,  $\langle x_i, x_i \rangle = 1$  e também  $\forall i \in \{1, \dots, p\}$ ,  $\langle y_i, y_i \rangle = 1$ .

Seja  $f : V \mapsto \mathbb{K}^{n+r-p}$  uma função dada por

$$f(z) = (\langle z, x_1 \rangle, \langle z, x_2 \rangle, \dots, \langle z, x_r \rangle, \langle z, y_{p+1} \rangle, \dots, \langle z, y_n \rangle) \quad \forall z \in V$$

Como  $r < p$ , temos  $n + r - p < n$  e consequentemente essa transformação (que é linear já que  $\mathbb{K}^{n+r-p}$  é um espaço vetorial e o produto interno é linear) passa de um espaço de dimensão  $n$  para outro de dimensão menor  $n + r - p = \gamma$ . A matriz  $F$  que representa essa transformação linear é de ordem  $\gamma \times n$ , com  $\gamma < n$ . Então a equação matricial  $Fz = 0$  tem soluções além da trivial<sup>7</sup>. Agora seja  $u \in V$  um elemento não-nulo que satisfaça  $Fu = 0$ , ou seja,  $f(u) = (0, 0, \dots, 0)$ . Isso é equivalente a

$$\langle u, x_i \rangle = 0 \quad \forall i \leq r \quad \text{e} \quad \langle u, y_i \rangle = 0 \quad \forall i : p < i \leq n$$

Suponha que  $u$  possa ser escrito nas formas

$$u = \sum_{j=1}^n a^j x_j = \sum_{j=1}^n b^j y_j$$

Para todo  $i \leq r$ , temos

$$\langle u, x_i \rangle = \sum_{j=1}^n a^j \langle x_j, x_i \rangle = \sum_{j=1}^n a^j \delta_{ij} \langle x_i, x_i \rangle = a^i = 0$$

<sup>7</sup>O posto da matriz  $F$  obrigatoriamente será menor do que o número de colunas, no que implica na nulidade de  $f$  maior que zero.

assim como  $b^i = 0 \forall i : p < i \leq n$ . Podemos calcular  $\langle u, u \rangle$  de duas formas, uma usando a base  $\xi$  e a outra usando a base  $\beta$ :

$$\begin{aligned}\langle u, u \rangle &= \sum_{j=1}^n \sum_{k=1}^n a^j a^k \langle x_j, x_k \rangle = \sum_{j=1}^n \sum_{k=1}^n a^j a^k \delta_{jk} \langle x_j, x_j \rangle = \sum_{j=1}^n (a^j)^2 \langle x_j, x_j \rangle \\ &= \sum_{j=r+1}^n (a^j)^2 \langle x_j, x_j \rangle < 0\end{aligned}$$

Por outro lado, temos

$$\langle u, u \rangle = \sum_{j=1}^n (b^j)^2 \langle y_j, y_j \rangle = \sum_{j=1}^p (b^j)^2 \langle y_j, y_j \rangle > 0$$

Logo temos  $\langle u, u \rangle < 0$  e  $\langle u, u \rangle > 0$ , que é um absurdo. Portanto  $p = r$  e consequentemente da equação (21) temos  $q = s$  e

$$\sum_i \langle y_i, y_i \rangle = p - q = r - s$$

■

### 2.3.2 Produto entre p-vetores

Agora sejam  $u, v \in \bigwedge^p V$  p-vetores. Iremos definir o produto interno no espaço  $\bigwedge^p V$  como sendo uma operação dada por

$$\begin{aligned}\langle, \rangle : \bigwedge^p V \times \bigwedge^p V &\mapsto \mathbb{K} \\ \langle u, v \rangle &= \det[\langle u_i, v_j \rangle]\end{aligned}\tag{22}$$

onde

$$u = u_1 \wedge u_2 \wedge \dots \wedge u_p \quad \text{e} \quad v = v_1 \wedge v_2 \wedge \dots \wedge v_p$$

com  $u_i, v_j \in V$ .

Suponha que  $v, w, z \in \bigwedge^p V$ ,  $u_i \in V$ ,  $a, b \in \mathbb{K}$  e que

$$\begin{aligned}v &= v_1 \wedge v_2 \wedge \dots \wedge v_p \\ f &= (aw + bz) \wedge u_2 \wedge \dots \wedge u_p \\ g &= w \wedge u_2 \wedge \dots \wedge u_p \\ h &= z \wedge u_2 \wedge \dots \wedge u_p\end{aligned}$$

de forma que

$$\begin{aligned}f &= (aw) \wedge u_2 \wedge \dots \wedge u_p + (bz) \wedge u_2 \wedge \dots \wedge u_p \\ &= a(w \wedge u_2 \wedge \dots \wedge u_p) + b(z \wedge u_2 \wedge \dots \wedge u_p) \\ &= ag + bh\end{aligned}$$

Segue então que

$$\begin{aligned}
\langle v, f \rangle &= \det \begin{bmatrix} \langle v_1, (aw + bz) \rangle & \langle v_1, u_2 \rangle & \dots & \langle v_1, u_p \rangle \\ \langle v_2, (aw + bz) \rangle & \langle v_2, u_2 \rangle & \dots & \langle v_2, u_p \rangle \\ \vdots & \vdots & \ddots & \vdots \\ \langle v_p, (aw + bz) \rangle & \langle v_p, u_2 \rangle & \dots & \langle v_p, u_p \rangle \end{bmatrix} \\
\langle v, f \rangle &= \det \begin{bmatrix} a\langle v_1, w \rangle + b\langle v_1, z \rangle & \langle v_1, u_2 \rangle & \dots & \langle v_1, u_p \rangle \\ a\langle v_2, w \rangle + b\langle v_2, z \rangle & \langle v_2, u_2 \rangle & \dots & \langle v_2, u_p \rangle \\ \vdots & \vdots & \ddots & \vdots \\ a\langle v_p, w \rangle + b\langle v_p, z \rangle & \langle v_p, u_2 \rangle & \dots & \langle v_p, u_p \rangle \end{bmatrix} \\
\langle v, f \rangle &= \det \begin{bmatrix} a\langle v_1, w \rangle & \langle v_1, u_2 \rangle & \dots & \langle v_1, u_p \rangle \\ a\langle v_2, w \rangle & \langle v_2, u_2 \rangle & \dots & \langle v_2, u_p \rangle \\ \vdots & \vdots & \ddots & \vdots \\ a\langle v_p, w \rangle & \langle v_p, u_2 \rangle & \dots & \langle v_p, u_p \rangle \end{bmatrix} + \\
&\quad \det \begin{bmatrix} b\langle v_1, z \rangle & \langle v_1, u_2 \rangle & \dots & \langle v_1, u_p \rangle \\ b\langle v_2, z \rangle & \langle v_2, u_2 \rangle & \dots & \langle v_2, u_p \rangle \\ \vdots & \vdots & \ddots & \vdots \\ b\langle v_p, z \rangle & \langle v_p, u_2 \rangle & \dots & \langle v_p, u_p \rangle \end{bmatrix} \\
\langle v, f \rangle &= a \cdot \det \begin{bmatrix} \langle v_1, w \rangle & \langle v_1, u_2 \rangle & \dots & \langle v_1, u_p \rangle \\ \langle v_2, w \rangle & \langle v_2, u_2 \rangle & \dots & \langle v_2, u_p \rangle \\ \vdots & \vdots & \ddots & \vdots \\ \langle v_p, w \rangle & \langle v_p, u_2 \rangle & \dots & \langle v_p, u_p \rangle \end{bmatrix} + \\
&\quad b \cdot \det \begin{bmatrix} \langle v_1, z \rangle & \langle v_1, u_2 \rangle & \dots & \langle v_1, u_p \rangle \\ \langle v_2, z \rangle & \langle v_2, u_2 \rangle & \dots & \langle v_2, u_p \rangle \\ \vdots & \vdots & \ddots & \vdots \\ \langle v_p, z \rangle & \langle v_p, u_2 \rangle & \dots & \langle v_p, u_p \rangle \end{bmatrix} \\
\langle v, f \rangle &= a\langle v, g \rangle + b\langle v, h \rangle
\end{aligned}$$

Mas como  $f = ag + bh$ , temos que

$$\langle v, ag + bh \rangle = a\langle v, g \rangle + b\langle v, h \rangle$$

O mesmo é válido se substituirmos  $u_i$  por  $(aw + bz)$ ,  $w$  e  $z$  em  $f$ ,  $g$  e  $h$  respectivamente ou então introduzir uma soma de três ou mais elementos de  $V$  em  $u_i$ . Portanto esse produto satisfaz o axioma (3) da linearidade.

Além disso, o produto continua simétrico:

$$\langle v, u \rangle = \det[\langle v_i, u_j \rangle] = \det[\langle u_j, v_i \rangle] = \det[\langle u_i, v_j \rangle] = \langle u, v \rangle$$



uma vez que o determinante é invariante sob a transposta.

Para verificar a não-degenerescência desse produto, suponha que  $\xi = \{x_1, \dots, x_n\}$  seja uma base ortonormal de  $V$  e o conjunto  $H$  seja uma das combinações de  $p$  índices  $h_i$ , com  $h_i < h_{i+1}$ . Segue que todos os elementos  $x_H$  para todos os  $H$  formam uma base de  $\bigwedge^p V$ . Sendo  $K$  uma outra combinação de  $p$  índices  $k_j$ , temos

$$\langle x_H, x_K \rangle = \det[\langle x_{h_i}, x_{k_j} \rangle]$$

com  $x_H = x_{h_1} \wedge \dots \wedge x_{h_p}$  e  $x_K = x_{k_1} \wedge \dots \wedge x_{k_p}$ . Se  $H$  e  $K$  forem a mesma combinação de índices, teremos

$$\langle x_{h_i}, x_{k_j} \rangle = \langle x_{h_i}, x_{h_j} \rangle = \pm \delta_{ij}$$

o que significa que a matriz de Gram será diagonal com elementos  $\pm 1$  e portanto o determinante será  $\pm 1$ . Isso significa que  $\langle x_H, x_K \rangle = \pm 1$ .

E se não forem a mesma combinação, existirá pelo menos um índice  $q$  que pertencerá apenas a  $H$  ou a  $K$ . Logo, supondo  $q \in H$ , temos  $\langle x_q, x_{k_j} \rangle = 0$  para todos os índices  $k_j$  e consequentemente haverá uma linha nula na matriz de Gram<sup>8</sup>. Segue disso que  $\langle x_H, x_K \rangle = 0$ .

Para quaisquer combinações  $H$  e  $K$ , temos o resultado mais geral

$$\langle x_H, x_K \rangle = \pm \delta_{H,K} \quad (23)$$

Isso significa que os p-vetores  $x_H$  formam uma base  $\Gamma$  ortonormal de  $\bigwedge^p V$ , característica herdada da ortonormalidade dos elementos  $x_i$ .

Finalmente, uma vez que garantimos a existência de uma base ortonormal de  $\bigwedge^p V$ , temos que se existir algum p-vetor  $u$  tal que seja ortogonal a todos os elementos de  $\bigwedge^p V$  e ele puder ser escrito na forma

$$u = \sum_H u^H x_H$$

então para todo elemento  $x_K$  da base  $\Gamma$  temos

$$\langle u, x_K \rangle = \left\langle \sum_H u^H x_H, x_K \right\rangle = \sum_H u^H \langle x_H, x_K \rangle = \sum_H u^H (\pm \delta_{H,K}) = \pm u^K = 0$$

o que implica  $u = 0$  e isso prova a não-degenerescência do produto interno entre p-vetores definida em (22).

Se  $\xi = \{x_1, \dots, x_n\}$  for uma base ortonormal de  $V$ , então o elemento  $x = x_1 \wedge \dots \wedge x_n$  forma uma base do espaço  $\bigwedge^n V$ . Portanto

$$\langle x, x \rangle = \langle x_1, x_1 \rangle \cdot \langle x_2, x_2 \rangle \cdot \dots \cdot \langle x_n, x_n \rangle = 1^r (-1)^s = (-1)^s$$

Mas temos que

$$\begin{aligned} s &= \frac{1}{2}(2s) = \frac{1}{2}(2(n-r)) = \frac{1}{2}(2n-2r) = \frac{1}{2}(n+n-2r) = \frac{1}{2}(n+(r+s)-2r) \\ s &= \frac{1}{2}(n+r+s-2r) = \frac{1}{2}(n-(r-s)) = \frac{1}{2}(n-t) \end{aligned}$$

<sup>8</sup>Também haverá pelo menos uma coluna nula, já que haverá um outro índice  $l$  que está em  $K$  mas não em  $H$ .

onde  $t = r - s$  é a assinatura do produto interno. Logo

$$\langle x, x \rangle = (-1)^{(n-t)/2} \quad (24)$$

## 2.4 Operador estrela

Seja  $u \in \bigwedge^p V$  e  $v \in \bigwedge^{n-p} V$ . A transformação

$$v \mapsto u \wedge v$$

é linear e transforma um elemento do espaço  $\bigwedge^{n-p} V$  para um elemento do  $\bigwedge^n V$ . Então se  $\xi = \{x_1, \dots, x_n\}$  é uma base ortonormal de  $V$ ,  $u \wedge v$  pode ser descrito como um escalar vezes um n-vetor  $x = x_1 \wedge \dots \wedge x_n$  normalizado, já que  $x$  sozinho já forma uma base do espaço  $\bigwedge^n V$ . Ou seja,

$$u \wedge v = f_u(v)x$$

onde  $f_u : \bigwedge^{n-p} V \mapsto \mathbb{K}$  é um funcional baseado no elemento  $u$ . Se  $a, b \in \mathbb{K}$  e  $w \in \bigwedge^{n-p} V$ , então

$$\begin{aligned} f_u(av + bw)x &= u \wedge (av + bw) \\ f_u(av + bw)x &= a(u \wedge v) + b(u \wedge w) = [af_u(v) + bf_u(w)]x \end{aligned}$$

o que implica que o funcional  $f_u$  é linear. Portanto o teorema (2.5) (aplicado ao espaço vetorial  $\bigwedge^{n-p} V$ ) garante que existe um único  $n - p$  vetor  $*u$  tal que

$$f_u(v) = \langle *u, v \rangle$$

e consequentemente

$$u \wedge v = \langle *u, v \rangle x \quad (25)$$

Como há apenas um elemento  $*u \in \bigwedge^{n-p} V$  para cada  $u \in \bigwedge^p V$ , podemos definir uma função, denominada de operador estrela ( $*$ ), dada por

$$\begin{aligned} * : \bigwedge^p V &\mapsto \bigwedge^{n-p} V \\ *(u) = (*u) &\implies u \wedge v = \langle *u, v \rangle x \quad \forall v \in \bigwedge^{n-p} V \end{aligned}$$

Naturalmente essa definição depende da base escolhida. Se  $y = -x$ , então  $y$  também está normalizado e também forma uma base de  $\bigwedge^n V$ . Consequentemente

$$u \wedge v = -\langle *u, v \rangle y = \langle -( *u), v \rangle y$$

no que acarreta na mudança de sinal do operador estrela. Escolheremos uma base  $x = x_1 \wedge \dots \wedge x_n$  específica que adotaremos como orientação positiva. Uma outra base  $y = y_1 \wedge \dots \wedge y_n$  de  $\bigwedge^n V$  terá orientação positiva se o determinante da matriz  $A$  que transforma a base  $x$  em  $y$  for positiva, ou seja,

$$y_1 \wedge \dots \wedge y_n = Ax_1 \wedge Ax_2 \wedge \dots \wedge Ax_n = |A| (x_1 \wedge x_2 \wedge \dots \wedge x_n)$$

com  $|A| > 0$ .

Podemos verificar que o operador estrela é linear, pois dado  $u, w \in \bigwedge^p V$ ,  $a, b \in \mathbb{K}$  e  $v \in \bigwedge^{n-p} V$ , temos

$$(au + bw) \wedge v = \langle *(au + bw), v \rangle x$$

mas também

$$\begin{aligned} (au + bw) \wedge v &= (u \wedge av) + (w \wedge bv) = \langle *u, av \rangle x + \langle *w, bv \rangle x \\ &= \langle a(*u), v \rangle x + \langle b(*w), v \rangle x = \langle a(*u) + b(*w), v \rangle x \end{aligned}$$

e portanto

$$\begin{aligned} \langle *(au + bw), v \rangle x &= \langle a(*u) + b(*w), v \rangle x \\ (\langle *(au + bw), v \rangle - \langle a(*u) + b(*w), v \rangle) x &= 0 \end{aligned}$$

Como  $x$  é uma base, temos  $x \neq 0$  e

$$\begin{aligned} \langle *(au + bw), v \rangle &= \langle a(*u) + b(*w), v \rangle \\ \langle *(au + bw) - (a(*u) + b(*w)), v \rangle &= 0 \end{aligned}$$

Como isso é válido para todo  $v \in \bigwedge^{n-p} V$ , usamos o axioma (5) de não degenerescência para concluir que

$$*(au + bw) = a(*u) + b(*w) \quad (26)$$

#### 2.4.1 Calculando o operador estrela

Agora suponha  $u = x_1 \wedge x_2 \wedge \dots \wedge x_p$ , onde  $\xi = \{x_1, \dots, x_n\}$  é uma base ortonormal  $V$  com orientação positiva. Seja  $v = x_K$ , onde  $K$  é uma combinação dos  $n - p$  índices de 1 a  $n$ . Então

$$u \wedge v = u \wedge x_K = \langle *u, x_K \rangle x \quad (27)$$

mas também

$$u \wedge v = x_1 \wedge x_2 \wedge \dots \wedge x_p \wedge x_{k_1} \wedge x_{k_2} \wedge \dots \wedge x_{k_{n-p}}$$

que pertence ao espaço  $\bigwedge^n V$ . Isso significa que se houver algum índice  $k_i$  pertencendo ao conjunto  $\{1, 2, \dots, p\}$ , então haverá índice repetido e  $u \wedge v = 0$ . O elemento  $u \wedge v$  só pode ser diferente do nulo se  $K$  for exatamente a combinação  $\{p+1, p+2, \dots, n\}$ . Por outro lado, isso também significa (pelo lado direito da equação (27)) que  $*u$  é ortogonal a todo  $x_K$  exceto se  $K = \{p+1, p+2, \dots, n\}$ . Isso significa que

$$*u = c \cdot x_K = c \cdot (x_{p+1} \wedge x_{p+2} \wedge \dots \wedge x_n)$$

onde  $c \in \mathbb{K}$  é algum escalar. Para determinar  $c$ , basta lembrar que  $x = x_1 \wedge x_2 \wedge \dots \wedge x_n$ . Então

$$u \wedge v = x = \langle *u, x_K \rangle x = c \langle x_K, x_K \rangle x = (\pm c)x$$

Segue disso que  $c = 1$  se  $\langle x_K, x_K \rangle = 1$  e  $c = -1$  se  $\langle x_K, x_K \rangle = -1$ . Ou seja,

$$c = \langle x_K, x_K \rangle$$

e então

$$*u = \langle x_K, x_K \rangle x_K$$

Esse é um caso particular onde  $u = x_{h_1} \wedge \dots \wedge x_{h_p}$  com  $h_i = i$ . Se  $H$  é uma combinação qualquer de  $p$  índices, então  $K$  será o conjunto complementar de  $H$  em relação ao conjunto de índices  $I = \{1, 2, \dots, n\}$ , de forma que  $H \cup K = I$  e  $H \cap K = \emptyset$  para que  $u \wedge v \neq 0$ . Logo

$$*(x_H) = \langle x_K, x_K \rangle x_K \quad (28)$$

Sabendo como que o operador estrela age em um elemento da base de  $\bigwedge^p V$ , então também sabemos operar em qualquer p-vetor devido à linearidade (26).

Além disso, devido à relação de comutação do produto exterior entre um p-vetor e um q-vetor, temos

$$x_K \wedge x_H = (-1)^p (-1)^{n-p} (x_H \wedge x_K) = (-1)^{p(n-p)} (x_H \wedge x_K)$$

e conseqüentemente

$$x_K \wedge x_H = (-1)^{p(n-p)} x = \langle *(x_K), x_H \rangle x$$

Novamente é necessário que  $*(x_K) = d \cdot x_H$  para algum  $d \in \mathbb{K}$  para que  $x_K \wedge x_H \neq 0$  e conseqüentemente

$$(-1)^{p(n-p)} x = d \langle x_H, x_H \rangle x$$

Segue disso que

$$(-1)^{p(n-p)} = d \langle x_H, x_H \rangle$$

Multiplicando ambos os membros por  $\langle x_H, x_H \rangle$  e sabendo que  $(\langle x_H, x_H \rangle)^2 = 1$ , obtemos

$$d = (-1)^{p(n-p)} \langle x_H, x_H \rangle$$

no que implica

$$*(x_K) = (-1)^{p(n-p)} \langle x_H, x_H \rangle x_H \quad (29)$$

Note que há uma diferença entre aplicar o operador estrela a um p-vetor (equação 28) ou a um n-p vetor (equação 29).

Agora note também que aplicando o operador estrela à equação (28) obteremos

$$**x_H = \langle x_K, x_K \rangle *(x_K) = (-1)^{p(n-p)} \langle x_K, x_K \rangle \langle x_H, x_H \rangle x_H$$

Como os vetores  $x_{h_i}$  são ortogonais, assim como  $x_{k_i}$ , segue que as matrizes de Gram  $[\langle x_{h_i}, x_{h_j} \rangle]$  e  $[\langle x_{k_i}, x_{k_j} \rangle]$  são diagonais. Além disso,  $H$  e  $K$  são conjuntos complementares entre si e conseqüentemente a multiplicação de  $\langle x_K, x_K \rangle$  com

$\langle x_H, x_H \rangle$  é totalmente equivalente ao determinante da matriz de Gram do n-vetor  $x = x_1 \wedge \dots \wedge x_n$ . Isso significa que

$$\langle x_K, x_K \rangle \langle x_H, x_H \rangle = \langle x, x \rangle \quad (30)$$

Mas da equação (24) temos  $\langle x, x \rangle = (-1)^{(n-t)/2}$ , onde  $t$  é a assinatura do produto interno e portanto

$$*(*x_H) = (-1)^{p(n-p)}(-1)^{(n-t)/2}x_H = (-1)^{p(n-p)+(n-t)/2}x_H$$

Devido à linearidade do operador estrela, segue que para qualquer p-vetor  $u$  é válido

$$*(*u) = (-1)^{p(n-p)+(n-t)/2}u$$

Por último, seja  $u \in \bigwedge^p V$ . Então

$$u \wedge (*x_H) = \langle *u, *x_H \rangle x$$

O único elemento da base de p-vetores que gera  $u$  que não anula essa equação é  $x_H$  e portanto

$$x_H \wedge (*x_H) = x_H \wedge (\langle x_K, x_K \rangle x_K) = \langle x_K, x_K \rangle (x_H \wedge x_K) = \langle x_K, x_K \rangle x$$

Mas multiplicando (30) por  $\langle x_H, x_H \rangle$  em ambos os lados, obtemos

$$\langle x_K, x_K \rangle = \langle x_H, x_H \rangle \langle x, x \rangle = \langle x_H, x_H \rangle (-1)^{(n-t)/2}$$

e então

$$x_H \wedge (*x_H) = (-1)^{(n-t)/2} \langle x_H, x_H \rangle x$$

Agora se  $u, v$  forem dois p-vetores quaisquer de forma que

$$u = \sum_H a^H x_H \quad \text{e} \quad v = \sum_{H'} b^{H'} x_{H'}$$

então

$$u \wedge (*v) = \sum_{H, H'} a^H b^{H'} (x_H \wedge *(x_{H'})) = \sum_{H, H'} a^H b^{H'} (x_H \wedge *(x_H)) \delta_{HH'}$$

$$u \wedge (*v) = \sum_H a^H b^H (-1)^{(n-t)/2} \langle x_H, x_H \rangle x$$

$$u \wedge (*v) = (-1)^{(n-t)/2} \left[ \sum_H a^H b^H \langle x_H, x_H \rangle \right] x$$

Por outro lado, temos

$$\langle u, v \rangle = \sum_{H, H'} a^H b^{H'} \langle x_H, x_{H'} \rangle = \sum_{H, H'} a^H b^{H'} \langle x_H, x_H \rangle \delta_{HH'}$$

$$\langle u, v \rangle = \sum_H a^H b^H \langle x_H, x_H \rangle$$

e portanto

$$u \wedge (*v) = (-1)^{(n-t)/2} \langle u, v \rangle x$$

Note que trocar  $u$  com  $v$  e vice-versa não altera o resultado, já que o produto interno é simétrico. Consequentemente

$$u \wedge (*v) = v \wedge (*u) \quad (31)$$

**Exemplo 2.1** (Produto vetorial). *Seja  $\mathbb{R}^3$  o espaço euclidiano real com a base canônica ortonormal  $\xi = \{\hat{\mathbf{e}}_1, \hat{\mathbf{e}}_2, \hat{\mathbf{e}}_3\}$  que convencionamos como orientação positiva e com produto interno definido por*

$$\langle \vec{x}, \vec{y} \rangle = x^1 y^1 + x^2 y^2 + x^3 y^3$$

onde

$$\vec{x} = \sum_i^3 x^i \hat{\mathbf{e}}_i \quad e \quad \vec{y} = \sum_i^3 y^i \hat{\mathbf{e}}_i$$

Definimos o produto vetorial  $\vec{x} \times \vec{y}$  pela expressão

$$\vec{x} \times \vec{y} = *(\vec{x} \wedge \vec{y})$$

Segue disso que

$$\vec{x} \times \vec{y} = * \left( \sum_{ij} x^i y^j (\hat{\mathbf{e}}_i \wedge \hat{\mathbf{e}}_j) \right)$$

$$\begin{aligned} \vec{x} \times \vec{y} = & *((x^1 y^2 - x^2 y^1) \hat{\mathbf{e}}_1 \wedge \hat{\mathbf{e}}_2) + *((x^1 y^3 - x^3 y^1) \hat{\mathbf{e}}_1 \wedge \hat{\mathbf{e}}_3) + \\ & *((x^2 y^3 - x^3 y^2) \hat{\mathbf{e}}_2 \wedge \hat{\mathbf{e}}_3) \end{aligned}$$

$$\begin{aligned} \vec{x} \times \vec{y} = & (x^1 y^2 - x^2 y^1) *(\hat{\mathbf{e}}_1 \wedge \hat{\mathbf{e}}_2) + (x^1 y^3 - x^3 y^1) *(\hat{\mathbf{e}}_1 \wedge \hat{\mathbf{e}}_3) + \\ & (x^2 y^3 - x^3 y^2) *(\hat{\mathbf{e}}_2 \wedge \hat{\mathbf{e}}_3) \end{aligned}$$

Mas também

$$\begin{aligned} *(\hat{\mathbf{e}}_1 \wedge \hat{\mathbf{e}}_2) &= \langle \hat{\mathbf{e}}_3, \hat{\mathbf{e}}_3 \rangle \hat{\mathbf{e}}_3 = \hat{\mathbf{e}}_3 \\ *(\hat{\mathbf{e}}_1 \wedge \hat{\mathbf{e}}_3) &= -\langle \hat{\mathbf{e}}_2, \hat{\mathbf{e}}_2 \rangle \hat{\mathbf{e}}_2 = -\hat{\mathbf{e}}_2 \\ *(\hat{\mathbf{e}}_2 \wedge \hat{\mathbf{e}}_3) &= \langle \hat{\mathbf{e}}_1, \hat{\mathbf{e}}_1 \rangle \hat{\mathbf{e}}_1 = \hat{\mathbf{e}}_1 \end{aligned}$$

Note o sinal trocado em  $*(\hat{\mathbf{e}}_1 \wedge \hat{\mathbf{e}}_3)$  devido à orientação da base, pois sabendo que  $*(\hat{\mathbf{e}}_1 \wedge \hat{\mathbf{e}}_3) = \gamma \hat{\mathbf{e}}_2$  com  $\gamma = \pm 1$ , então da equação (25) temos

$$\begin{aligned} (\hat{\mathbf{e}}_1 \wedge \hat{\mathbf{e}}_3) \wedge \hat{\mathbf{e}}_2 &= \langle *(\hat{\mathbf{e}}_1 \wedge \hat{\mathbf{e}}_3), \hat{\mathbf{e}}_2 \rangle (\hat{\mathbf{e}}_1 \wedge \hat{\mathbf{e}}_2 \wedge \hat{\mathbf{e}}_3) \\ (\hat{\mathbf{e}}_1 \wedge \hat{\mathbf{e}}_3 \wedge \hat{\mathbf{e}}_2) &= \langle \gamma \hat{\mathbf{e}}_2, \hat{\mathbf{e}}_2 \rangle (\hat{\mathbf{e}}_1 \wedge \hat{\mathbf{e}}_2 \wedge \hat{\mathbf{e}}_3) \\ -(\hat{\mathbf{e}}_1 \wedge \hat{\mathbf{e}}_2 \wedge \hat{\mathbf{e}}_3) &= \gamma \langle \hat{\mathbf{e}}_2, \hat{\mathbf{e}}_2 \rangle (\hat{\mathbf{e}}_1 \wedge \hat{\mathbf{e}}_2 \wedge \hat{\mathbf{e}}_3) \\ -\gamma (\hat{\mathbf{e}}_1 \wedge \hat{\mathbf{e}}_2 \wedge \hat{\mathbf{e}}_3) &= (\hat{\mathbf{e}}_1 \wedge \hat{\mathbf{e}}_2 \wedge \hat{\mathbf{e}}_3) \end{aligned}$$

Segue disso que  $\gamma$  precisa ser  $-1$ . E então

$$\vec{x} \times \vec{y} = (x^1 y^2 - x^2 y^1) \hat{\mathbf{e}}_3 + (x^3 y^1 - x^1 y^3) \hat{\mathbf{e}}_2 + (x^2 y^3 - x^3 y^2) \hat{\mathbf{e}}_1$$

**Exemplo 2.2** (Produto escalar). Dado  $\vec{x} = x_1\hat{\mathbf{i}} + x_2\hat{\mathbf{j}} + x_3\hat{\mathbf{k}}$  um elemento do  $\mathbb{R}^3$  e  $\omega_y$  o 2-vetor dado por

$$\omega_y = y_1(\hat{\mathbf{j}} \wedge \hat{\mathbf{k}}) + y_2(\hat{\mathbf{k}} \wedge \hat{\mathbf{i}}) + y_3(\hat{\mathbf{i}} \wedge \hat{\mathbf{j}})$$

com  $\vec{y} = y_1\hat{\mathbf{i}} + y_2\hat{\mathbf{j}} + y_3\hat{\mathbf{k}} \in \mathbb{R}^3$ , então

$$\vec{x} \wedge \omega_y = (x_1y_1 + x_2y_2 + x_3y_3)(\hat{\mathbf{i}} \wedge \hat{\mathbf{j}} \wedge \hat{\mathbf{k}})$$

Logo

$$*(\vec{x} \wedge \omega_y) = x_1y_1 + x_2y_2 + x_3y_3 = \vec{x} \cdot \vec{y}$$

Por outro lado, temos que  $*(\vec{y}) = \omega_y$ , já que

$$\begin{aligned} *(\hat{\mathbf{i}}) &= \hat{\mathbf{j}} \wedge \hat{\mathbf{k}} \\ *(\hat{\mathbf{j}}) &= \hat{\mathbf{k}} \wedge \hat{\mathbf{i}} \\ *(\hat{\mathbf{k}}) &= \hat{\mathbf{i}} \wedge \hat{\mathbf{j}} \end{aligned}$$

Então

$$\vec{x} \cdot \vec{y} = *(\vec{x} \wedge *(\vec{y}))$$

Note que de (31) temos

$$*(\vec{x} \wedge *(\vec{y})) = *(\vec{y} \wedge *(\vec{x})) = \vec{y} \cdot \vec{x}$$

o que implica na conhecida propriedade simétrica  $\vec{x} \cdot \vec{y} = \vec{y} \cdot \vec{x}$ .

**Exemplo 2.3** (Produto escalar triplo). Seja  $\mathbb{R}^3$  o mesmo espaço euclidiano real do exemplo (2.1). Se  $\vec{z} = \sum z^i \hat{\mathbf{e}}_i$ , então

$$\vec{x} \wedge \vec{y} \wedge \vec{z} = \sum_{ijk} x^i y^j z^k (\hat{\mathbf{e}}_i \wedge \hat{\mathbf{e}}_j \wedge \hat{\mathbf{e}}_k) = \sum_{ijk} \epsilon_{ijk} x^i y^j z^k (\hat{\mathbf{e}}_1 \wedge \hat{\mathbf{e}}_2 \wedge \hat{\mathbf{e}}_3)$$

Logo

$$*(\vec{x} \wedge \vec{y} \wedge \vec{z}) = \sum_{ijk} \epsilon_{ijk} x^i y^j z^k *(\hat{\mathbf{e}}_1 \wedge \hat{\mathbf{e}}_2 \wedge \hat{\mathbf{e}}_3) = \sum_{ijk} \epsilon_{ijk} x^i y^j z^k$$

que é exatamente o produto escalar triplo, definido pela equação (3). Logo

$$\vec{x} \cdot (\vec{y} \times \vec{z}) = *(\vec{x} \wedge \vec{y} \wedge \vec{z})$$

## 2.5 Transformações lineares

Vimos na seção (2.1) o caso particular das transformações lineares que levam um conjunto a ele próprio. Agora consideremos  $A$  uma transformação linear que leva um espaço vetorial  $M$  de dimensão  $m$  para um outro espaço vetorial  $N$

de dimensão  $n$ . Dessa forma, dado  $x = x_1 \wedge x_2 \wedge \dots \wedge x_p$ , com  $x_i \in M$ , podemos construir uma nova transformação linear  $\bigwedge^p A$  dada por

$$\begin{aligned} \left( \bigwedge^p A \right) (x) : \bigwedge^p M &\mapsto \bigwedge^p N \\ \left( \bigwedge^p A \right) (x) &= Ax_1 \wedge Ax_2 \wedge \dots \wedge Ax_p \end{aligned}$$

Denotamos  $\bigwedge^p A$  de  $p$ -ésima potência exterior de  $A$ . A linearidade de  $A$  e a multilinearidade do produto exterior garantem que  $\bigwedge^p A$  também é linear e portanto é uma transformação linear.

Considerando agora  $B$  uma transformação linear que leva o espaço vetorial  $V$  para  $V$ , temos que  $AB$  leva  $V$  para  $V$ . E então, dado  $v = v_1 \wedge v_2 \wedge \dots \wedge v_p$ , com  $v_i \in V$ , a  $p$ -ésima potência exterior de  $AB$  fica

$$\begin{aligned} \left( \bigwedge^p AB \right) (v) &= ABv_1 \wedge ABv_2 \wedge \dots \wedge ABv_p \\ \left( \bigwedge^p AB \right) (v) &= \left( \bigwedge^p A \right) (Bv_1 \wedge Bv_2 \wedge \dots \wedge Bv_p) \\ \left( \bigwedge^p AB \right) (v) &= \left( \bigwedge^p A \right) \left( \bigwedge^p B \right) (v_1 \wedge v_2 \wedge \dots \wedge v_p) \\ \left( \bigwedge^p AB \right) (v) &= \left( \bigwedge^p A \right) \left( \bigwedge^p B \right) (v) \end{aligned}$$

Como isso é válido para todo  $v \in \bigwedge^p V$ , segue que as duas transformações a seguir são equivalentes:

$$\left( \bigwedge^p AB \right) = \left( \bigwedge^p A \right) \left( \bigwedge^p B \right)$$

Dados  $u = u_1 \wedge u_2 \wedge \dots \wedge u_p$  e  $w = w_1 \wedge w_2 \wedge \dots \wedge w_q$ , com  $u \in \bigwedge^p M$  e  $w \in \bigwedge^q M$ , temos que  $u \wedge w \in \bigwedge^{p+q} M$  e portanto podemos definir uma transformação linear  $\bigwedge^{p+q} A$  usando  $A : M \mapsto N$  pela expressão

$$\left( \bigwedge^{p+q} A \right) (u \wedge w) = Au_1 \wedge Au_2 \wedge \dots \wedge Au_p \wedge Aw_1 \wedge Aw_2 \wedge \dots \wedge Aw_q$$

Como o produto exterior é associativo, podemos reescrever a expressão acima como

$$\left( \bigwedge^{p+q} A \right) (u \wedge w) = (Au_1 \wedge Au_2 \wedge \dots \wedge Au_p) \wedge (Aw_1 \wedge Aw_2 \wedge \dots \wedge Aw_q)$$



e pertanto

$$\left(\bigwedge^{p+q} A\right)(u \wedge w) = \left[\left(\bigwedge^p A\right)(u)\right] \wedge \left[\left(\bigwedge^q A\right)(w)\right] \quad (32)$$

## 3 Derivada exterior

### 3.1 Espaço dual

**Definição 3.1** (Espaço dual). *Seja  $V$  um espaço vetorial de dimensão  $n$  sobre um corpo  $\mathbb{K}$ . Definimos o espaço dual  $V^*$  como sendo o conjunto de todos os funcionais lineares  $V \mapsto \mathbb{K}$ . Se  $\alpha, \beta \in V^*$ ,  $u \in V$ ,  $c \in \mathbb{K}$ , a soma e multiplicação por escalar ficam definidos respectivamente por*

$$(\alpha + \beta)(u) = \alpha(u) + \beta(u)$$

$$(c\alpha)(u) = c(\alpha(u))$$

Pelo fato dos funcionais serem lineares e da definição de soma e multiplicação por escalar,  $V^*$  forma um espaço vetorial.

Sejam  $\alpha^i \in V^*$  e  $a_i \in \mathbb{K}$ . Suponha que

$$\sum_{i=1}^q a_i \alpha^i = 0 \quad (33)$$

onde 0 é o elemento nulo de  $V^*$ , ou seja, é o funcional que leva qualquer elemento de  $V$  para o elemento nulo de  $\mathbb{K}$ . O teorema (2.5) garante que cada funcional pode ser escrito em termos de produtos internos (desde que  $V$  esteja munido de um). Suponha que

$$\alpha^i = \langle u_i, \cdot \rangle \quad u_i \in V$$

Cada elemento  $u_i$  pode ser descrito em função de uma base  $\xi = \{x_1, \dots, x_n\}$  de  $V$ :

$$u_i = \sum_{j=1}^n b_i^j x_j$$

de forma que

$$\alpha^i = \sum_{j=1}^n b_i^j \langle x_j, \cdot \rangle$$

Logo

$$0 = \sum_{i=1}^q \sum_{j=1}^n a_i b_i^j \langle x_j, \cdot \rangle = \left\langle \sum_{j=1}^n \left( \sum_{i=1}^q a_i b_i^j \right) x_j, \cdot \right\rangle$$

Isso significa que esse produto interno com qualquer elemento de  $V$  sempre será zero. Pelo axioma da não-degenerescência, temos

$$\sum_{j=1}^n \left( \sum_{i=1}^q a_i b_i^j \right) x_j = 0$$

Como  $\xi$  é uma base,

$$\sum_{i=1}^q a_i b_i^j = 0 \quad \forall j$$

Essa é uma equação matricial do tipo

$$aB = 0$$

com  $b_i^j$  sendo o elemento da  $i$ -ésima linha e  $j$ -ésima coluna da matriz  $B$  e

$$a = \begin{bmatrix} a_1 & \dots & a_q \end{bmatrix}$$

Essa equação matricial tem  $n$  equações e  $q$  incógnitas. Se  $q > n$ , obrigatoriamente teremos soluções não triviais  $a \neq 0$ . Se  $q \leq n$ , só teremos a solução trivial  $a = 0$  se o determinante de  $B$  for diferente de zero (ou equivalentemente se os elementos  $u_i$  que definem os funcionais  $\alpha^i$  forem linearmente independentes). Isso implica, da definição de independência linear, que a dimensão do espaço dual  $V'$  é igual à dimensão do espaço  $V$ , pois  $q = n$  é o maior valor para o qual a equação (33) possa ser satisfeita apenas com a solução trivial  $a_i = 0$  e consequentemente  $\{\alpha^1, \dots, \alpha^q\}$  seja linearmente independente.

Nesse caso, satisfeita a equação (33) com  $q = n$ , o conjunto  $\{\alpha^1, \dots, \alpha^n\}$  forma uma base do espaço dual  $V^*$ .

**Definição 3.2** (Base dual). *Sejam  $\xi = \{x_1, \dots, x_n\}$  e  $\Gamma = \{\alpha^1, \dots, \alpha^n\}$  bases de  $V$  e  $V^*$  respectivamente. Denominamos  $\Gamma$  de base dual de  $\xi$  se*

$$\alpha^i(x_j) = \delta_j^i \quad \forall i, j$$

**Teorema 3.1.** *Toda base de um espaço vetorial  $V$  munido de produto interno possui uma base dual em  $V^*$  e é única.*

*Demonstração.* Suponha  $\xi = \{x_1, \dots, x_n\}$  uma base ortonormal de  $V$ . Se definirmos os funcionais

$$\alpha^i = \langle x_i, \quad \rangle$$

segue imediatamente que  $\alpha^i(x_j) = \delta_j^i$  e portanto  $\{\alpha^1, \dots, \alpha^n\}$  forma uma base dual de  $\xi$ . Se  $\{\alpha_0^1, \dots, \alpha_0^n\}$  também for uma base dual de  $\xi$ , então

$$(\alpha^i - \alpha_0^i)(x_j) = \alpha^i(x_j) - \alpha_0^i(x_j) = \delta_j^i - \delta_j^i = 0 \quad (34)$$

para qualquer  $j$ . Segue disso que o funcional  $(\alpha^i - \alpha_0^i)$  leva qualquer elemento de  $V$  a 0. Logo  $(\alpha^i - \alpha_0^i)$  é o elemento nulo de  $V^*$  e

$$\alpha^i = \alpha_0^i$$

Como a equação (34) também é válida para qualquer  $i$ , segue que a base dual é única. ■

### 3.2 Espaço cotangente

Seja  $M$  um espaço topológico (como uma superfície ou um volume) de dimensão  $m$ . Definiremos um mapa de coordenadas  $\varphi : U \mapsto \mathbb{R}^n$  com  $U$  sendo um subconjunto aberto de  $M$  e  $\varphi$  uma função bijetora, contínua e com inversa

$\varphi^{-1} : \varphi(U) \subseteq \mathbb{R}^n \mapsto U$  contínua. Cada ponto  $p$  que pertence a  $U$  pode ser levado univocamente a um vetor do espaço  $\mathbb{R}^n$  pelo mapa  $\varphi$  e vice-versa.

Fixemos  $p$  um ponto em  $U \subseteq M$ . Sejam também  $\gamma_1(t)$  e  $\gamma_2(t)$  duas curvas em  $U$  definidas em um domínio  $[-1, 1]$  tais que  $\gamma_1(0) = \gamma_2(0) = p$ . Definiremos  $\gamma_1$  e  $\gamma_2$  como sendo curvas equivalentes se  $(\varphi \circ \gamma_1)'(0) = (\varphi \circ \gamma_2)'(0)$ , ou seja,

$$\left( \frac{d}{dt} \varphi(\gamma_1(t)) \right) \Big|_{t=0} = \left( \frac{d}{dt} \varphi(\gamma_2(t)) \right) \Big|_{t=0} \in \mathbb{R}^n \quad (35)$$

Em outras palavras,  $\gamma_1$  e  $\gamma_2$  são equivalentes se o vetor tangente a  $M$  no ponto  $p$  pela curva  $\gamma_1$  for igual ao de  $\gamma_2$  no mesmo ponto  $p$ . Definiremos  $[\gamma]$  como sendo o conjunto de todas as curvas equivalentes a  $\gamma$ , também chamado de classe. Segue disso que  $[\gamma]$  está associado a um vetor  $(\varphi \circ \gamma)'(t=0)$  que denominaremos de vetor tangente de  $M$  em  $p$ . Cada classe  $[\gamma]$  fornece um vetor tangente distinto e a totalidade desses vetores formam um espaço vetorial  $T_p M$  que denominaremos de espaço tangente.

**Exemplo 3.1.** *Seja  $M$  uma esfera de raio  $r$  centrado na origem e  $U \subseteq M$  a superfície dessa esfera excluindo os polos norte e sul. Em coordenadas esféricas, o mapa  $\varphi : U \mapsto \mathbb{R}^3$  é dado por*

$$\vec{\varphi}(\theta, \phi) = r \cos(\phi) \sin(\theta) \hat{\mathbf{i}} + r \sin(\phi) \sin(\theta) \hat{\mathbf{j}} + r \cos(\theta) \hat{\mathbf{k}}$$

Agora considere o ponto  $p$  de  $U$  em  $\left(\theta = \frac{\pi}{2}, \phi = 0\right)$  e duas curvas  $\gamma_1$  e  $\gamma_2$  que passem pelo ponto  $p$  em  $t = 0$ :

$$\begin{aligned} \gamma_1(t) &= \left(\frac{\pi}{2} + t, 0\right) \\ \gamma_2(t) &= \left(\frac{\pi}{2}, t\right) \end{aligned}$$

Aplicando o mapa  $\varphi$  nessas curvas obteremos

$$\begin{aligned} \vec{\varphi}(\gamma_1(t)) &= r \cos(0) \sin\left(\frac{\pi}{2} + t\right) \hat{\mathbf{i}} + r \sin(0) \sin\left(\frac{\pi}{2} + t\right) \hat{\mathbf{j}} + r \cos\left(\frac{\pi}{2} + t\right) \hat{\mathbf{k}} \\ &= r \cos(t) \hat{\mathbf{i}} - r \sin(t) \hat{\mathbf{k}} \end{aligned}$$

$$\begin{aligned} \vec{\varphi}(\gamma_2(t)) &= r \cos(t) \sin\left(\frac{\pi}{2}\right) \hat{\mathbf{i}} + r \sin(t) \sin\left(\frac{\pi}{2}\right) \hat{\mathbf{j}} + r \cos\left(\frac{\pi}{2}\right) \hat{\mathbf{k}} \\ &= r \cos(t) \hat{\mathbf{i}} + r \sin(t) \hat{\mathbf{j}} \end{aligned}$$

e então

$$\begin{aligned} \frac{d}{dt} \vec{\varphi}(\gamma_1(t)) &= -r \sin(t) \hat{\mathbf{i}} - r \cos(t) \hat{\mathbf{k}} \\ \frac{d}{dt} \vec{\varphi}(\gamma_2(t)) &= -r \sin(t) \hat{\mathbf{i}} + r \cos(t) \hat{\mathbf{j}} \end{aligned}$$

Em  $t = 0$ , obtemos dois vetores tangentes distintos de  $U$  em  $p$ :

$$\begin{aligned}(\varphi \circ \gamma_1)'(0) &= -r\hat{\mathbf{k}} \\ (\varphi \circ \gamma_2)'(0) &= r\hat{\mathbf{j}}\end{aligned}$$

que é o esperado, já que o plano tangente da esfera no ponto  $p$  (em que  $\hat{\mathbf{i}}$  é normal à superfície) é justamente o plano  $yz$ . Portanto uma base ortogonal de  $T_p M$  é  $\{r\hat{\mathbf{j}}, -r\hat{\mathbf{k}}\}$ . Note também que

$$(\varphi \circ \gamma_1)'(0) = r\hat{\theta}\left(\frac{\pi}{2}, 0\right) \quad e \quad (\varphi \circ \gamma_2)'(0) = r\hat{\phi}\left(\frac{\pi}{2}, 0\right)$$

onde

$$\begin{aligned}\hat{\theta}(\theta, \phi) &= (\cos(\theta)\cos(\phi))\hat{\mathbf{i}} + (\cos(\theta)\sin(\phi))\hat{\mathbf{j}} - \sin(\theta)\hat{\mathbf{k}} \\ \hat{\phi}(\theta, \phi) &= -\sin(\phi)\hat{\mathbf{i}} + \cos(\phi)\hat{\mathbf{j}}\end{aligned}$$

Isso não é uma coincidência, conforme veremos a seguir.

Como estamos lidando com curvas equivalentes, iremos escolher a mais simples de  $[\gamma_i]$ . Dado um sistema de coordenadas ortogonal, iremos fazer

$$\gamma_i(t) = (p_1 + t\delta_{i1}, p_2 + t\delta_{i2}, \dots, p_m + t\delta_{im})$$

no qual passa pelo ponto  $p = (p_1, p_2, \dots, p_m)$  quando  $t = 0$ . Esse foi o caso que usamos no exemplo (3.1), onde  $\gamma_1$  e  $\gamma_2$  estão relacionados a uma mudança na coordenada  $\phi$  e  $\theta$  respectivamente. Denotando  $u_j = p_j + t\delta_{ij}$  como sendo a coordenada generalizada  $u_j$  parametrizada pela curva  $\gamma_i$  e  $x_k$  a coordenada cartesiana no  $\mathbb{R}^n$ , temos que

$$(\varphi \circ \gamma_i)(t) = \sum_{k=1}^n x_k(u_j(t))\hat{\mathbf{e}}_{\mathbf{k}}$$

Derivando em relação a  $t$  e usando a regra da cadeia, obteremos

$$\begin{aligned}(\varphi \circ \gamma_i)'(t) &= \sum_{k=1}^n \sum_{j=1}^m \frac{\partial x_k}{\partial u_j} \frac{du_j}{dt} \hat{\mathbf{e}}_{\mathbf{k}} \\ &= \sum_{k=1}^n \sum_{j=1}^m \frac{\partial x_k}{\partial u_j} \delta_{ij} \hat{\mathbf{e}}_{\mathbf{k}} \\ &= \sum_{k=1}^m \frac{\partial x_k}{\partial u_i} \hat{\mathbf{e}}_{\mathbf{k}} \\ &= \frac{\partial \vec{\varphi}}{\partial u_i}\end{aligned}$$

Mas da definição de versores em coordenadas generalizadas temos

$$\hat{\mathbf{u}}_i = \frac{1}{\lambda_i} \frac{\partial \vec{\varphi}}{\partial u_i} \quad \text{onde} \quad \lambda_i = \left| \frac{\partial \vec{\varphi}}{\partial u_i} \right|$$

Portanto, em  $t = 0$  ficamos com

$$(\varphi \circ \gamma_i)'(0) = \frac{\partial}{\partial u_i} \Big|_p \vec{\varphi} = \lambda_i(p) \hat{\mathbf{u}}_i(p) \quad (36)$$

ou seja, os versores  $\hat{\mathbf{u}}_i$  no ponto  $p$  são os vetores tangentes  $(\varphi \circ \gamma_i)'(0)$  normalizados. No caso do exemplo (3.1), fazendo  $\hat{\mathbf{u}}_1 = \hat{\theta}$  e  $\hat{\mathbf{u}}_2 = \hat{\phi}$ , temos  $\lambda_1 = \lambda_2 = r$ .

Agora seja  $f : M \mapsto \mathbb{R}$  uma função infinitamente diferenciável, ou seja,  $f \in C^\infty(M)$  (pequenos deslocamentos em  $M$  causa pequenas variações na imagem em  $\mathbb{R}$ ). A função  $f$  parametrizada pela curva  $\gamma_i$  é dada por

$$(f \circ \gamma_i)(t) = f(u_1(t), u_2(t), \dots, u_m(t))$$

Derivando em relação a  $t$  e usando a regra da cadeia,

$$(f \circ \gamma_i)'(t) = \sum_{j=1}^m \frac{\partial f}{\partial u_j} \frac{du_j}{dt} = \sum_{j=1}^m \frac{\partial f}{\partial u_j} \delta_{ij} = \frac{\partial f}{\partial u_i}$$

Agora vamos definir uma função  $\Phi_f : T_p M \mapsto \mathbb{R}$  dada por

$$\Phi_f([\gamma_i]) = (f \circ \gamma_i)'(0)$$

Isso significa que

$$\Phi_f([\gamma_i]) = \frac{\partial}{\partial u_i} \Big|_p f \quad (37)$$

ou seja,  $\Phi_f([\gamma_i])$  nos diz a variação da função  $f$  em  $p$  na direção relacionada à coordenada  $u_i$ .

Agora note das equações (36) e (37) que para cada curva  $\gamma_i$  parametrizada numa direção específica  $\hat{\mathbf{u}}_i$  no ponto  $p$  temos a aplicação de uma derivada parcial

$\frac{\partial}{\partial u_i} \Big|_p$ . Nesse sentido, podemos denotar o vetor tangente como

$$(\varphi \circ \gamma_i)'(0) = \frac{\partial}{\partial u_i} \Big|_p$$

deixando implícito que esse elemento está definido em um mapa  $\varphi$  sob uma parametrização  $[\gamma_i]$  na coordenada  $u_i$ .

Como presumimos que as coordenadas  $u_i$  são ortogonais, então os versores  $\hat{\mathbf{u}}_i$  o são e consequentemente, da equação (36), assim também são os vetores tangentes  $(\varphi \circ \gamma_i)'(0)$ . Garantida a independência linear desses vetores, podemos formar uma base do espaço tangente  $T_p M$  escrito na forma  $\left\{ \frac{\partial}{\partial u^1} \Big|_p, \dots, \frac{\partial}{\partial u^m} \Big|_p \right\}$ .

Por outro lado, sabemos que  $\Phi([\gamma_i])$  é um funcional linear, uma vez que a sua imagem é o corpo dos reais e

$$\Phi_{af+bg}([\gamma_i]) = \frac{\partial}{\partial u^i} \Big|_p (af + bg) = a \frac{\partial}{\partial u^i} \Big|_p f + b \frac{\partial}{\partial u^i} \Big|_p g = a \Phi_f([\gamma_i]) + b \Phi_g([\gamma_i])$$

para todo  $a, b \in \mathbb{R}$ . Logo os elementos  $\Phi_f$  satisfazem os requisitos da definição (3.1) e portanto formam um espaço dual de  $T_p M$ , que denominaremos de espaço cotangente, denotado por  $T_p^* M$ .

Os elementos de  $T_p^* M$  são denominados de vetores cotangentes (ou de covetores tangentes).

Além disso, também temos que

$$\Phi_{u^i}([\gamma_j]) = \Phi_{u^i} \left( \left. \frac{\partial}{\partial u^j} \right|_p \right) = \left. \frac{\partial}{\partial u^j} \right|_p u^i = \delta_j^i \quad (38)$$

Segue disso que  $\{\Phi_{u^1}, \Phi_{u^2}, \dots, \Phi_{u^m}\}$  é a base dual de  $\left\{ \left. \frac{\partial}{\partial u^1} \right|_p, \dots, \left. \frac{\partial}{\partial u^m} \right|_p \right\}$ . Mais ainda, verificamos que  $\Phi_f$  satisfaz a regra de Leibniz do produto de derivadas, pois

$$\begin{aligned} \Phi_{fg}([\gamma_i]) &= \left. \frac{\partial}{\partial u^i} \right|_p (fg) = \left. \frac{\partial f}{\partial u^i} \right|_p g + \left. \frac{\partial g}{\partial u^i} \right|_p f \\ \Phi_{fg}([\gamma_i]) &= \Phi_f([\gamma_i])g + \Phi_g([\gamma_i])f \end{aligned}$$

Isso nos motiva a reescrever  $\Phi_f$  como sendo  $(df)_p$ , denotando a diferencial de  $f$  no ponto  $p$ . Portanto  $\{(du^1)_p, (du^2)_p, \dots, (du^m)_p\}$  é a base dual de  $\left\{ \left. \frac{\partial}{\partial u^1} \right|_p, \dots, \left. \frac{\partial}{\partial u^m} \right|_p \right\}$ .

Como tudo isso é válido para qualquer ponto  $p$  em  $U$ , iremos omitir  $p$  nas notações dos vetores tangentes e cotangentes.

### 3.3 Álgebra de p-formas

**Definição 3.3** (P-forma). *Dado o espaço vetorial cotangente  $T^*M$ , definiremos os elementos do espaço  $\bigwedge^p(T^*M)$  de  $p$ -formas. O espaço das 0-formas  $\bigwedge^0(T^*M)$  será o corpo  $C^\infty(M)$ .*

As  $p$ -formas aparecem nas integrais, com a 1-forma aparecendo em integrais de linha, 2-formas em integrais de superfície e 3-formas em integrais volumétricas:

$$\int_C P(x, y) dx + Q(x, y) dy \quad \oint_{\Sigma} \sin(\theta) d\theta d\varphi \quad \iiint_V f(x, y, z) dx dy dz$$

Porém essa relação será vista mais adiante.

Sendo  $\xi = \{dx^1, dx^2, \dots, dx^n\}$  uma base de  $\bigwedge^1(T^*M)$ , então  $df$ , com  $f \in C^\infty(M)$ , pode ser escrito como uma combinação linear desses elementos:

$$df = \sum_{i=1}^n a_i dx^i$$

Lembrando que as 1-formas  $dx^i$  são funcionais lineares, podemos aplicá-los a um vetor tangente  $\left. \frac{\partial}{\partial x^j} \right|_p$ :

$$(df) \left( \left. \frac{\partial}{\partial x^j} \right|_p \right) = \sum_{i=1}^n a_i (dx^i) \left( \left. \frac{\partial}{\partial x^j} \right|_p \right)$$

Mas como  $\{dx^1, dx^2, \dots, dx^n\}$  é a base dual de  $\{\frac{\partial}{\partial x^1}, \frac{\partial}{\partial x^2}, \dots, \frac{\partial}{\partial x^n}\}$  (equação 38), temos

$$(df) \left( \frac{\partial}{\partial x^j} \right) = \sum_{i=1}^n a_i \delta_j^i = a_j$$

Mas da equação (37) sabemos que

$$(df) \left( \frac{\partial}{\partial x^j} \right) = \Phi_f([\gamma_j]) = \frac{\partial f}{\partial x^j}$$

no que implica  $a_j = \frac{\partial f}{\partial x^j}$ . Portanto ficamos com

$$df = \sum_{i=1}^n \frac{\partial f}{\partial x^i} dx^i \quad (39)$$

que é a regra da cadeia para as diferenciais.

Atentando à equação (39) podemos observar uma transformação  $d : C^\infty \mapsto T^*M$  tal que

$$d = \sum_{i=1}^n \frac{\partial}{\partial x^i} dx^i \quad (40)$$

ou equivalentemente  $d : \bigwedge^0(T^*M) \mapsto \bigwedge^1(T^*M)$ . Iremos generalizar essa ideia para uma transformação linear  $d$  que leva uma  $p$ -forma em uma  $(p+1)$ -forma,

$$d : \bigwedge^p(T^*M) \mapsto \bigwedge^{p+1}(T^*M)$$

que satisfaz quatro axiomas:

**Axioma 6** (Linearidade).  $\forall u, v \in \bigwedge^p(T^*M), \quad d(u+v) = du + dv$

$$d(au) = a du \quad \forall a \in \mathbb{R}$$

**Axioma 7** (Distribuição).  $\forall u \in \bigwedge^p(T^*M), \quad \forall v \in \bigwedge^q(T^*M)$

$$d(u \wedge v) = (du \wedge v) + (-1)^p(u \wedge dv)$$

**Axioma 8** (Lema de Poincaré).  $\forall u \in \bigwedge^p(T^*M), \quad d(du) = 0$

**Axioma 9** (Regra da cadeia).  $\forall f \in C^\infty(M), \quad df = \sum_{i=1}^n \frac{\partial f}{\partial x^i} dx^i$

Denominamos  $d$  de derivada exterior.

O axioma 6 generaliza a linearidade para  $p$ -formas além das 0-formas enquanto que o axioma 9 foi herdado da equação (40).

No axioma 7, colocamos um fator  $(-1)^p$  no segundo termo para evitar inconsistências com o axioma 6. Para verificarmos isso, suponha  $u \in \bigwedge^p(T^*M)$ ,  $v \in \bigwedge^q(T^*M)$  e que o axioma seja modificado de forma que

$$d(u \wedge v) = du \wedge v + a(u \wedge dv) \quad (41)$$



onde  $a$  é um escalar indeterminado. Trocando  $u$  e  $v$  de lugar, ganhamos um fator  $(-1)^{pq}$ , e então

$$\begin{aligned} d(u \wedge v) &= d((-1)^{pq}(v \wedge u)) = (-1)^{pq}d(v \wedge u) \\ &= (-1)^{pq}(dv \wedge u + b(v \wedge du)) = (-1)^{pq}(dv \wedge u) + (-1)^{pq}b(v \wedge du) \end{aligned}$$

onde  $b$  também é um escalar indeterminado. Sabendo que  $du$  é uma  $(p+1)$ -forma e que  $dv$  é uma  $(q+1)$ -forma, então

$$\begin{aligned} dv \wedge u &= (-1)^{p(q+1)}(u \wedge dv) = (-1)^{pq+p}(u \wedge dv) \\ v \wedge du &= (-1)^{(p+1)q}(du \wedge v) = (-1)^{pq+q}(du \wedge v) \end{aligned}$$

e então

$$\begin{aligned} d(u \wedge v) &= (-1)^{pq}(-1)^{pq+p}(u \wedge dv) + (-1)^{pq}b(-1)^{pq+q}(du \wedge v) \\ &= (-1)^p(u \wedge dv) + b(-1)^q(du \wedge v) \end{aligned}$$

Igualando essa expressão à equação (41), obtemos

$$\begin{aligned} du \wedge v + a(u \wedge dv) &= (-1)^p(u \wedge dv) + b(-1)^q(du \wedge v) \\ [1 - b(-1)^q](du \wedge v) + [a - (-1)^p](u \wedge dv) &= 0 \end{aligned}$$

Essa equação é válida para qualquer p-vetor  $u$  e q-vetor  $v$ , incluindo os casos em que  $du \wedge v$  é linearmente independente de  $u \wedge dv$ . Isso implica que

$$1 - b(-1)^q = 0 \quad \text{e} \quad a - (-1)^p = 0$$

Consequentemente  $a$  e  $b$  não podem ser quaisquer valores, eles são  $b = (-1)^q$  e  $a = (-1)^p$ , que é exatamente o axioma 7.

Um exemplo em que  $(-1)^p = -1$  no axioma 7 é o divergente do produto vetorial (item 4 do teorema 1.8), dado por

$$\nabla \cdot (\mathbf{F} \times \mathbf{G}) = \mathbf{G} \cdot (\nabla \times \mathbf{F}) - \mathbf{F} \cdot (\nabla \times \mathbf{G})$$

conforme será mostrado mais adiante (exemplo 3.5).

Considerando  $x^i \in C^\infty(M)$ , o axioma 8 implica que

$$d(x^1 \wedge dx^2 \wedge dx^3 \wedge \dots \wedge dx^p) = d(x^1 \wedge (dx^2 \wedge dx^3 \wedge \dots \wedge dx^p))$$

$$\begin{aligned} d(x^1 \wedge dx^2 \wedge dx^3 \wedge \dots \wedge dx^p) &= \\ dx^1 \wedge (dx^2 \wedge dx^3 \wedge \dots \wedge dx^p) &+ (-1)^0 d(dx^2 \wedge dx^3 \wedge \dots \wedge dx^p) \end{aligned}$$

O último termo se anula para qualquer distribuição que fizermos e então

$$d(x^1 \wedge dx^2 \wedge dx^3 \wedge \dots \wedge dx^p) = dx^1 \wedge dx^2 \wedge dx^3 \wedge \dots \wedge dx^p \quad (42)$$

Segue disso que

$$d(d(x^1 \wedge dx^2 \wedge dx^3 \wedge \dots \wedge dx^p)) = 0$$

O axioma 8 tem como consequência as propriedades

$$\nabla \cdot (\nabla \times \mathbf{F}) = 0$$

e

$$\nabla \times (\nabla f) = \mathbf{0}$$

devido a aplicações sucessivas da derivada exterior, conforme veremos na seção 3.5.

**Teorema 3.2** (Existência e unicidade da derivada exterior). *Existe apenas uma única transformação  $d$  que satisfaz simultaneamente os axiomas 6, 7, 8 e 9.*

*Demonstração.* Suponha inicialmente a existência de uma transformação  $d$  que satisfaça os quatro axiomas e seja  $\omega$  uma  $p$ -forma dada por

$$\omega = \sum_H a_H dx^H$$

com  $dx^H = dx^{h_1} \wedge dx^{h_2} \wedge \dots \wedge dx^{h_p}$  e  $H = \{h_1, h_2, \dots, h_p\}$  combinações de  $p$  índices. Iremos compactar os quatro axiomas numa só expressão aplicando todos eles em  $\omega$ :

$$\begin{aligned} d\omega &= d\left(\sum_H a_H dx^H\right) \\ d\omega &= \sum_H d(a_H dx^H) \quad (\text{Axioma 6}) \\ d\omega &= \sum_H da_H \wedge dx^H \quad (\text{Axioma 7 e 8}) \\ d\omega &= \sum_H \sum_{i=1}^n \frac{\partial a_H}{\partial x^i} dx^i \wedge dx^H \quad (\text{Axioma 9}) \end{aligned}$$

Essa transformação  $d$  então determina uma única  $(p+1)$ -forma para cada  $p$ -forma  $\omega$ . Então se  $d$  existir, ele será único. Para provar sua existência, suponha agora que  $d$  é uma nova transformação definida estritamente pela expressão

$$\omega = \sum_H a_H dx^H \implies d\omega = \sum_H \sum_{i=1}^n \frac{\partial a_H}{\partial x^i} dx^i \wedge dx^H \quad (43)$$

Então dados  $\lambda = \sum_H b_H dx^H$  uma p-forma e  $p, q \in \mathbb{R}$ , temos

$$\begin{aligned} d(p\omega + q\lambda) &= d\left(\sum_H pa_H dx^H + qb_H dx^H\right) = d\left(\sum_H (pa_H + qb_H) dx^H\right) \\ d(\omega + \lambda) &= \sum_H \sum_{i=1}^n \frac{\partial(pa_H + qb_H)}{\partial x^i} dx^i \wedge dx^H \\ d(\omega + \lambda) &= \sum_H \sum_{i=1}^n p \frac{\partial a_H}{\partial x^i} dx^i \wedge dx^H + \sum_H \sum_{i=1}^n q \frac{\partial b_H}{\partial x^i} dx^i \wedge dx^H \\ d(\omega + \lambda) &= p d\omega + q d\lambda \end{aligned}$$

o que mostra que  $d$  satisfaz o axioma 6. Além disso, agora considerando que  $\lambda$  seja uma q-forma, temos

$$\begin{aligned} \omega \wedge \lambda &= \left(\sum_H a_H dx^H\right) \wedge \left(\sum_K b_K dx^K\right) = \sum_{H,K} a_H b_K dx^H \wedge dx^K \\ d(\omega \wedge \lambda) &= \sum_{H,K} \sum_{i=1}^n \frac{\partial}{\partial x^i} (a_H b_K) dx^i \wedge dx^H \wedge dx^K \\ d(\omega \wedge \lambda) &= \sum_{H,K} \sum_{i=1}^n \frac{\partial a_H}{\partial x^i} b_K dx^i \wedge dx^H \wedge dx^K + \\ &\quad \sum_{H,K} \sum_{i=1}^n a_H \frac{\partial b_K}{\partial x^i} dx^i \wedge dx^H \wedge dx^K \\ d(\omega \wedge \lambda) &= \left(\sum_H \sum_{i=1}^n \frac{\partial a_H}{\partial x^i} dx^i \wedge dx^H\right) \wedge \left(\sum_K b_K dx^K\right) + \\ &\quad \sum_{H,K} \sum_{i=1}^n (-1)^{1-p} a_H \frac{\partial b_K}{\partial x^i} dx^H \wedge dx^i \wedge dx^K \end{aligned}$$

$$\begin{aligned} d(\omega \wedge \lambda) &= d\omega \wedge \lambda + (-1)^p \left(\sum_H a_H dx^H\right) \wedge \left(\sum_K \sum_{i=1}^n \frac{\partial b_K}{\partial x^i} dx^i \wedge dx^K\right) \\ d(\omega \wedge \lambda) &= d\omega \wedge \lambda + (-1)^p (\omega \wedge d\lambda) \end{aligned}$$

e portanto  $d$  também satisfaz o axioma 7.

Aplicando  $d$  duas vezes em  $\omega$ , temos

$$\begin{aligned} d(d\omega) &= d\left(\sum_H \sum_{i=1}^n \frac{\partial a_H}{\partial x^i} dx^i \wedge dx^H\right) \\ d(d\omega) &= \sum_H \sum_{i=1}^n \sum_{j=1}^n \frac{\partial^2 a_H}{\partial x^j \partial x^i} dx^j \wedge dx^i \wedge dx^H \end{aligned}$$

Os índices são mudos, então trocando  $i$  por  $j$ , obtemos

$$\begin{aligned} d(d\omega) &= \sum_H \sum_{i=1}^n \sum_{j=1}^n \frac{\partial^2 a_H}{\partial x^i \partial x^j} dx^i \wedge dx^j \wedge dx^H \\ d(d\omega) &= (-1)^{1 \cdot 1} \sum_H \sum_{i=1}^n \sum_{j=1}^n \frac{\partial^2 a_H}{\partial x^i \partial x^j} dx^j \wedge dx^i \wedge dx^H \end{aligned}$$

Mas como  $a_H \in C^\infty(M)$ , as derivadas parciais comutam e portanto

$$\begin{aligned} d(d\omega) &= - \sum_H \sum_{i=1}^n \sum_{j=1}^n \frac{\partial^2 a_H}{\partial x^j \partial x^i} dx^j \wedge dx^i \wedge dx^H \\ d(d\omega) &= -d(d\omega) \end{aligned}$$

O único elemento de um espaço vetorial que é simétrico dele próprio é o elemento nulo e consequentemente

$$d(d\omega) = 0$$

Logo  $d$  satisfaz o axioma 8. E finalmente, o axioma 9 é satisfeito de imediato. Isso prova a existência de uma transformação  $d$  que satisfaz os quatro axiomas. Usando a primeira parte da demonstração, concluímos que a derivada exterior  $d$  é única. ■

**Exemplo 3.2** (Gradiente). *Ao aplicar a derivada exterior a uma 0-forma  $f$  infinitamente diferenciável no espaço  $\mathbb{R}^3$ , obtemos*

$$df = \frac{\partial f}{\partial x} dx + \frac{\partial f}{\partial y} dy + \frac{\partial f}{\partial z} dz$$

As coordenadas de  $df$  na base  $\{dx, dy, dz\}$  são justamente as coordenadas do gradiente de  $f$  em coordenadas cartesianas.

Agora definamos uma transformação linear  $\Gamma : \bigwedge^1(T^*\mathbb{R}^3) \mapsto \mathbb{R}^3$  tal que

$$\Gamma(dx) = \hat{\mathbf{i}} \quad e \quad \Gamma(dy) = \hat{\mathbf{j}} \quad e \quad \Gamma(dz) = \hat{\mathbf{k}}$$

Note que essa transformação leva uma base de  $\bigwedge^1(T^*\mathbb{R}^3)$  a uma base de  $\mathbb{R}^3$  e ambos os espaços vetoriais possuem a mesma dimensão, o que implica que  $\Gamma$  é bijetora e então existe  $\Gamma^{-1} : \mathbb{R}^3 \mapsto \bigwedge^1(T^*\mathbb{R}^3)$  tal que

$$\Gamma^{-1}\hat{\mathbf{i}} = dx \quad e \quad \Gamma^{-1}\hat{\mathbf{j}} = dy \quad e \quad \Gamma^{-1}\hat{\mathbf{k}} = dz$$

Usando essa transformação em  $df$ , obtemos

$$\Gamma(df) = \nabla f$$

**Exemplo 3.3** (Rotacional). *Aplicando  $d$  em uma 1-forma  $\omega$  dada por*

$$\omega = P(x, y, z) dx + Q(x, y, z) dy + R(x, y, z) dz$$

com  $P, Q, R \in C^\infty(\mathbb{R}^3)$ , obteremos

$$\begin{aligned} d\omega &= d(P dx + Q dy + R dz) \\ d\omega &= d(P dx) + d(Q dy) + d(R dz) \\ d\omega &= dP \wedge dx + dQ \wedge dy + dR \wedge dz \end{aligned}$$

$$\begin{aligned} d\omega &= \left( \frac{\partial P}{\partial x} dx + \frac{\partial P}{\partial y} dy + \frac{\partial P}{\partial z} dz \right) \wedge dx + \\ &\quad \left( \frac{\partial Q}{\partial x} dx + \frac{\partial Q}{\partial y} dy + \frac{\partial Q}{\partial z} dz \right) \wedge dy + \\ &\quad \left( \frac{\partial R}{\partial x} dx + \frac{\partial R}{\partial y} dy + \frac{\partial R}{\partial z} dz \right) \wedge dz \end{aligned}$$

Os termos com  $dx \wedge dx$ ,  $dy \wedge dy$  e  $dz \wedge dz$  são zero e portanto

$$\begin{aligned} d\omega &= \frac{\partial P}{\partial y} dy \wedge dx + \frac{\partial P}{\partial z} dz \wedge dx + \frac{\partial Q}{\partial x} dx \wedge dy + \\ &\quad \frac{\partial Q}{\partial z} dz \wedge dy + \frac{\partial R}{\partial x} dx \wedge dz + \frac{\partial R}{\partial y} dy \wedge dz \end{aligned}$$

Uma vez que definimos  $dx \wedge dy \wedge dz$  como uma base de orientação positiva (sistema dextrogiro) de  $\bigwedge^3(T^*\mathbb{R}^3)$ , então iremos colocar em evidência as 2-formas com orientação positiva:

$$d\omega = \left( \frac{\partial R}{\partial y} - \frac{\partial Q}{\partial z} \right) dy \wedge dz + \left( \frac{\partial P}{\partial z} - \frac{\partial R}{\partial x} \right) dz \wedge dx + \left( \frac{\partial Q}{\partial x} - \frac{\partial P}{\partial y} \right) dx \wedge dy$$

Identificamos que as coordenadas de  $d\omega$  na base  $\{dy \wedge dz, dz \wedge dx, dx \wedge dy\}$  são justamente as do rotacional em coordenadas cartesianas de um campo vetorial

$$\mathbf{F}(\mathbf{r}) = P(x, y, z)\hat{\mathbf{i}} + Q(x, y, z)\hat{\mathbf{j}} + R(x, y, z)\hat{\mathbf{k}}$$

Como  $*(dx) = dy \wedge dz$  e idem para  $dy$  e  $dz$ , temos que

$$*(d\omega) = (\nabla \times \mathbf{F})_x dx + (\nabla \times \mathbf{F})_y dy + (\nabla \times \mathbf{F})_z dz$$

Usando a transformação linear  $\Gamma$  do exemplo (3.2), podemos escrever  $\omega$  como

$$\omega = \Gamma^{-1}(\mathbf{F})$$

e também

$$\Gamma(*(\omega)) = (\nabla \times \mathbf{F})_x \hat{\mathbf{i}} + (\nabla \times \mathbf{F})_y \hat{\mathbf{j}} + (\nabla \times \mathbf{F})_z \hat{\mathbf{k}} = \nabla \times \mathbf{F}$$

Finalmente temos que

$$\nabla \times \mathbf{F} = \Gamma[*d(\Gamma^{-1}(\mathbf{F}))]$$

**Exemplo 3.4** (Divergente e Laplaciano). *Dado uma 2-forma  $\omega$*

$$\omega = P(x, y, z) \, dy \wedge dz + Q(x, y, z) \, dz \wedge dx + R(x, y, z) \, dx \wedge dy$$

*com  $P, Q, R \in C^\infty(\mathbb{R}^3)$ , temos que*

$$\begin{aligned} d\omega &= d(P \, dy \wedge dz) + d(Q \, dz \wedge dx) + d(R \, dx \wedge dy) \\ d\omega &= dP \wedge dy \wedge dz + dQ \, dz \wedge dx + dR \, dx \wedge dy \end{aligned}$$

$$\begin{aligned} d\omega &= \left( \frac{\partial P}{\partial x} dx + \frac{\partial P}{\partial y} dy + \frac{\partial P}{\partial z} dz \right) \wedge dy \wedge dz + \\ &\quad \left( \frac{\partial Q}{\partial x} dx + \frac{\partial Q}{\partial y} dy + \frac{\partial Q}{\partial z} dz \right) \wedge dz \wedge dx + \\ &\quad \left( \frac{\partial R}{\partial x} dx + \frac{\partial R}{\partial y} dy + \frac{\partial R}{\partial z} dz \right) \wedge dx \wedge dy \end{aligned}$$

*Excluindo os termos com diferenciais repetidos e sabendo que*

$$dy \wedge dz \wedge dx = dz \wedge dx \wedge dy = dx \wedge dy \wedge dz$$

*concluimos que*

$$d\omega = \left( \frac{\partial P}{\partial x} + \frac{\partial Q}{\partial y} + \frac{\partial R}{\partial z} \right) dx \wedge dy \wedge dz$$

*A coordenada de  $d\omega$  na base  $\{dx \wedge dy \wedge dz\}$  é justamente o divergente em coordenadas cartesianas de um campo vetorial*

$$\mathbf{F} = P(x, y, z)\hat{\mathbf{i}} + Q(x, y, z)\hat{\mathbf{j}} + R(x, y, z)\hat{\mathbf{k}}$$

*Usando a mesma transformação linear  $\Gamma$  dos exemplos passados, devemos notar que*

$$\omega = *\lambda$$

*com*

$$\lambda = P \, dx + Q \, dy + R \, dz = \Gamma^{-1}(\mathbf{F})$$

*e também notando que*

$$*(d\omega) = \frac{\partial P}{\partial x} + \frac{\partial Q}{\partial y} + \frac{\partial R}{\partial z} = \nabla \cdot \mathbf{F}$$

*segue que*

$$\nabla \cdot \mathbf{F} = *d(*\Gamma^{-1}(\mathbf{F}))$$

*Já para o laplaciano, que é o divergente do gradiente, temos que se  $f$  é uma função real escalar, então*

$$\nabla^2 f = \nabla \cdot \nabla f = \nabla \cdot \Gamma(df) = *d(*\Gamma^{-1}(\Gamma(df)))$$

$$\nabla^2 f = *d(*df)$$

Resumindo, temos que se  $f$  é uma função real escalar e  $\mathbf{F}$  é um campo vetorial em  $\mathbb{R}^3$ , então podemos definir o gradiente, divergente, rotacional e laplaciano em coordenadas cartesianas pelas equações

$$\nabla f = \Gamma(df) \quad (44)$$

$$\nabla \cdot \mathbf{F} = *d(*\Gamma^{-1}(\mathbf{F})) \quad (45)$$

$$\nabla \times \mathbf{F} = \Gamma[*d(\Gamma^{-1}(\mathbf{F}))] \quad (46)$$

$$\nabla^2 f = *d(*df) \quad (47)$$

**Exemplo 3.5.** Se  $\lambda$  e  $\omega$  forem uma 1-forma e 2-forma respectivamente de um espaço  $T_p^*M$  de dimensão 3, então vimos anteriormente que calcular  $d\lambda$  é equivalente a calcular o rotacional do campo vetorial associado a  $\lambda$  e  $d\omega$  corresponde ao divergente do campo associado a  $\omega$ . Também vimos no exemplo (2.1) que o produto vetorial de dois campos está associado ao produto exterior entre eles (produto exterior entre dois 1-vetores). Então seja  $\gamma$  uma 1-forma e

$$\omega = \lambda \wedge \gamma$$

Segue do axioma (7) da distribuição que

$$d\omega = (d\lambda \wedge \gamma) - (\lambda \wedge d\gamma)$$

Associando  $\lambda$  com  $\mathbf{F}$  e  $\gamma$  com  $\mathbf{G}$ , então  $\omega$  está associado a  $\mathbf{F} \times \mathbf{G}$ ,  $d\lambda$  a  $\nabla \times \mathbf{F}$  e  $d\gamma$  a  $\nabla \times \mathbf{G}$ .

Mas também vimos no exemplo (2.2) que o produto escalar está associado ao produto exterior de um 2-vetor com um 1-vetor. Isso significa que  $d\lambda \wedge \gamma$  está associado a  $(\nabla \times \mathbf{F}) \cdot \mathbf{G}$  enquanto que  $\lambda \wedge d\gamma$  está associado a  $(\nabla \times \mathbf{G}) \cdot \mathbf{F}$ . E daí surge a propriedade

$$\nabla \cdot (\mathbf{F} \times \mathbf{G}) = \mathbf{G} \cdot (\nabla \times \mathbf{F}) - \mathbf{F} \cdot (\nabla \times \mathbf{G})$$

### 3.4 Mapeamento e mudança de coordenadas

Sejam  $U$  e  $V$  subconjuntos de  $\mathbb{R}^m$  e  $\mathbb{R}^n$  respectivamente. Um mapa  $\phi_0$  relaciona coordenadas em  $U$  para coordenadas em  $V$ ,

$$\begin{aligned} \phi_0 : U &\mapsto V & \phi_0(\mathbf{x}) &= \mathbf{y} \\ y^i &= y^i(x^1, x^2, \dots, x^m) \end{aligned} \quad (48)$$

com  $y^i \in C^\infty U$  para cada coordenada. Dado também  $f : V \mapsto \mathbb{R}$  uma função infinitamente diferenciável, podemos compor  $\phi_0$  e  $f$  em uma única função  $\phi_0^* f : U \mapsto \mathbb{R}$

$$\phi_0^* f = f \circ \phi_0$$

de forma que  $\phi_0^* f$  agora tem domínio em  $U$  e leva para  $\mathbb{R}$ . Ou equivalentemente  $\phi_0^*$  leva uma função de domínio  $V$  para uma função com domínio em

$U$ . Conforme vimos na seção (3.3), a função escalar  $f$  configura como uma 0-forma pertencente a  $\bigwedge^0(T^*V)$  enquanto que  $\phi_0^*f$  é uma 0-forma pertencente a  $\bigwedge^0(T^*U)$ . Então podemos afirmar que

$$\phi_0^* : \bigwedge^0(T^*V) \mapsto \bigwedge^0(T^*U)$$

Analogamente, podemos definir uma outra função  $\phi_1^*$  que leva uma 1-forma em  $V$  para uma 1-forma em  $U$  apenas realizando a substituição (48) e usando a regra da cadeia (axioma 9):

$$\phi_1^* dy^i = \sum_{j=1}^m \frac{\partial y^i}{\partial x^j} dx^j \quad (49)$$

Podemos ver que  $\phi_1^*$  é linear, pois  $dy^1 + dy^2 = d(y^1 + y^2)$  e as derivadas parciais são lineares. Então podemos afirmar que  $\phi_1^*$  configura como uma transformação linear.

Para uma 1-forma qualquer  $\omega$  em  $V$ ,

$$\omega = \sum_{i=1}^n a_i(y^1, \dots, y^n) dy^i = \sum_{i=1}^n a_i(\mathbf{y}) dy^i$$

podemos aplicar a equação (49) para obter

$$\phi_1^* \omega = \sum_{i=1}^n \sum_{j=1}^m a_i(\mathbf{y}(\mathbf{x})) \frac{\partial y^i}{\partial x^j} dx^j$$

Essa é a aplicação do mapeamento para 1-formas. Para generalizarmos  $\phi^*$  para  $p$ -formas, usaremos a propriedade (32) das transformações lineares,

$$\left( \bigwedge^{p+q} A \right) (u \wedge w) = \left[ \left( \bigwedge^p A \right) (u) \right] \wedge \left[ \left( \bigwedge^q A \right) (w) \right] \quad (50)$$

Por exemplo, para o caso das 2-formas fazemos  $p = q = 1$  na expressão acima e teremos

$$\begin{aligned} \phi_2^*(dy^1 \wedge dy^2) &= \phi_1^*(dy^1) \wedge \phi_1^*(dy^2) \\ \phi_2^*(dy^1 \wedge dy^2) &= \left( \sum_{i=1}^m \frac{\partial y^1}{\partial x^i} dx^i \right) \wedge \left( \sum_{j=1}^m \frac{\partial y^2}{\partial x^j} dx^j \right) \\ \phi_2^*(dy^1 \wedge dy^2) &= \sum_{i,j=1}^m \frac{\partial y^1}{\partial x^i} \frac{\partial y^2}{\partial x^j} dx^i \wedge dx^j \end{aligned} \quad (51)$$

Como  $i$  e  $j$  são índices mudos, podemos trocá-los de lugar:

$$\phi_2^*(dy^1 \wedge dy^2) = \sum_{i,j=1}^m \frac{\partial y^1}{\partial x^j} \frac{\partial y^2}{\partial x^i} dx^j \wedge dx^i = - \sum_{i,j=1}^m \frac{\partial y^1}{\partial x^j} \frac{\partial y^2}{\partial x^i} dx^i \wedge dx^j \quad (52)$$



Somando  $\phi_2^*(dy^1 \wedge dy^2)$  com ele próprio com as representações (51) e (52) obtemos

$$\begin{aligned}\phi_2^*(dy^1 \wedge dy^2) + \phi_2^*(dy^1 \wedge dy^2) &= \sum_{i,j=1}^m \frac{\partial y^1}{\partial x^i} \frac{\partial y^2}{\partial x^j} dx^i \wedge dx^j - \sum_{i,j=1}^m \frac{\partial y^1}{\partial x^j} \frac{\partial y^2}{\partial x^i} dx^i \wedge dx^j \\ 2\phi_2^*(dy^1 \wedge dy^2) &= \sum_{i,j=1}^m \left( \frac{\partial y^1}{\partial x^i} \frac{\partial y^2}{\partial x^j} - \frac{\partial y^1}{\partial x^j} \frac{\partial y^2}{\partial x^i} \right) dx^i \wedge dx^j\end{aligned}$$

e por fim

$$\phi_2^*(dy^1 \wedge dy^2) = \frac{1}{2} \sum_{i,j=1}^m \left( \frac{\partial y^1}{\partial x^i} \frac{\partial y^2}{\partial x^j} - \frac{\partial y^1}{\partial x^j} \frac{\partial y^2}{\partial x^i} \right) dx^i \wedge dx^j$$

O termo entre parênteses é justamente o jacobiano de  $y^1$  e  $y^2$  em relação a  $x^i$  e  $x^j$ , dado pela equação (12). Logo podemos reescrever a expressão anterior para obtermos

$$\phi_2^*(dy^1 \wedge dy^2) = \frac{1}{2} \sum_{i,j=1}^m \frac{\partial(y^1, y^2)}{\partial(x^i, x^j)} dx^i \wedge dx^j \quad (53)$$

**Teorema 3.3.** *Dados  $\phi_p^* : \bigwedge^p(T^*V) \mapsto \bigwedge^p(T^*U)$ ,  $\omega$  e  $\gamma$   $p$ -formas e  $\lambda$  uma  $q$ -forma, então*

1.  $\phi_p^*(\omega + \gamma) = \phi_p^*(\omega) + \phi_p^*(\gamma)$
2.  $\phi_{p+q}^*(\omega \wedge \lambda) = \phi_p^*(\omega) \wedge \phi_q^*(\lambda)$
3.  $d(\phi_p^*\omega) = \phi_{p+1}^*(d\omega)$
4. Se  $\phi : U \mapsto V$  e  $\psi : V \mapsto W$ , então  $(\psi \circ \phi)_p^* = \phi_p^* \circ \psi_p^*$

*Demonstração.* O item 1 para  $p = 0$  é trivial. Sabemos que  $\phi_1^*$  é linear. Para verificarmos se  $\phi_2^*$  é linear,

$$\begin{aligned}\phi_2^*(dy^1 \wedge dy^2 + dy^1 \wedge dy^3) &= \phi_2^*(dy^1 \wedge (dy^2 + dy^3)) \\ &= \phi_1^*(dy^1) \wedge \phi_1^*(dy^2 + dy^3) \\ &= \phi_1^*(dy^1) \wedge (\phi_1^*(dy^2) + \phi_1^*(dy^3)) \\ &= \phi_1^*(dy^1) \wedge \phi_1^*(dy^2) + \phi_1^*(dy^1) \wedge \phi_1^*(dy^3) \\ &= \phi_2^*(dy^1 \wedge dy^2) + \phi_2^*(dy^1 \wedge dy^3)\end{aligned}$$

e portanto  $\phi_2^*$  também é linear. Suponha que  $\phi_p^*$  é linear para um certo  $p$  e que  $\omega$  seja uma  $p$ -forma, então

$$\phi_{p+1}^*(\omega \wedge dy^{p+1}) = \phi_p^*(\omega) \wedge \phi_1^*(dy^{p+1})$$

Podemos escrever  $\omega$  como a soma de duas  $p$ -formas. Devido à linearidade do produto exterior e de  $\phi_1^*$ , segue que  $\phi_{p+1}^*$  também é linear e portanto provamos por indução o item 1.

O item 2 advém diretamente da propriedade das transformações lineares (50), conforme visto anteriormente.

Para o terceiro item, vemos que se  $f$  é uma 0-forma então

$$df = \sum_{i=1}^n \frac{\partial f(\mathbf{y})}{\partial y^i} dy^i$$

Aplicando  $\phi_1^*$  e usando sua linearidade, obtemos

$$\phi_1^*(df) = \sum_{i=1}^n \sum_{j=1}^m \frac{\partial f(\mathbf{y}(\mathbf{x}))}{\partial y^i} \frac{\partial y^i}{\partial x^j} dx^j = \sum_{j=1}^m \left( \sum_{i=1}^n \frac{\partial f(\mathbf{y}(\mathbf{x}))}{\partial y^i} \frac{\partial y^i}{\partial x^j} \right) dx^j$$

Mas da regra da cadeia temos

$$\sum_{i=1}^n \frac{\partial f(\mathbf{y}(\mathbf{x}))}{\partial y^i} \frac{\partial y^i}{\partial x^j} = \frac{\partial f(\mathbf{y}(\mathbf{x}))}{\partial x^j} = \frac{\partial(\phi_0^*(f))}{\partial x^j}$$

Logo

$$\phi_1^*(df) = \sum_{j=1}^m \frac{\partial(\phi_0^*(f))}{\partial x^j} dx^j = d(\phi_0^*(f))$$

Pela linearidade, essa propriedade é válida para quaisquer 0-formas  $f$  e portanto o par de funções  $\phi_0^*$  e  $\phi_1^*$  satisfaz o item 3. Agora suponha que essa propriedade seja válida para algum  $p$ . Usando o item 2, temos

$$\phi_{p+1}^*(\omega \wedge dy^{p+1}) = \phi_p^*(\omega) \wedge \phi_1^*(dy^{p+1})$$

Aplicando a derivada exterior em ambos os lados, obteremos

$$\begin{aligned} d(\phi_{p+1}^*(\omega \wedge dy^{p+1})) &= d(\phi_p^*(\omega) \wedge \phi_1^*(dy^{p+1})) \\ d(\phi_{p+1}^*(\omega \wedge dy^{p+1})) &= d(\phi_p^*(\omega)) \wedge \phi_1^*(dy^{p+1}) + (-1)^p (\phi_p^*(\omega) \wedge d(\phi_1^*(dy^{p+1}))) \end{aligned}$$

Uma vez que

$$d(\phi_1^*(dy^{p+1})) = \phi_2^*(d(dy^{p+1})) = \phi_2^*(0) = 0$$

e por hipótese

$$d(\phi_p^*(\omega)) = \phi_{p+1}^*(d\omega)$$

então

$$\begin{aligned} d(\phi_{p+1}^*(\omega \wedge dy^{p+1})) &= \phi_{p+1}^*(d\omega) \wedge \phi_1^*(dy^{p+1}) \\ d(\phi_{p+1}^*(\omega \wedge dy^{p+1})) &= \phi_{p+2}^*(d\omega \wedge dy^{p+1}) \end{aligned}$$

Mas também

$$d(\omega \wedge dy^{p+1}) = d\omega \wedge dy^{p+1} + (-1)^p (\omega \wedge d(dy^{p+1})) = d\omega \wedge dy^{p+1}$$

e portanto

$$d(\phi_{p+1}^*(\omega \wedge dy^{p+1})) = \phi_{p+2}^*(d(\omega \wedge dy^{p+1}))$$

o que prova por indução o item 3 de  $\phi_p^*$  para qualquer  $p$ .

Dada uma 0-forma  $g$  que possui domínio em  $W$ ,  $\psi_0^*g$  é uma 0-forma que possui domínio em  $V$ . Por sua vez,  $\phi_0^*(\psi_0^*g)$  é uma 0-forma com domínio em  $U$ . Então

$$[(\psi \circ \phi)_0^*g](\mathbf{x}) = g(\psi(\phi(\mathbf{x}))) = [\psi_0^*g](\phi(\mathbf{x})) = \phi_0^*[\psi_0^*g](\mathbf{x}) = [(\phi_0^* \circ \psi_0^*)g](\mathbf{x})$$

Para  $p = 1$ , verificamos que se  $\mathbf{z}$  denota as coordenadas em  $W$ , então

$$\begin{aligned} (\phi_1^* \circ \psi_1^*) dz &= \phi_1^* [\psi_1^* dz] = \phi_1^* \left[ \sum_{i=1}^n \frac{\partial z(\mathbf{y})}{\partial y^i} dy^i \right] \\ (\phi_1^* \circ \psi_1^*) dz &= \sum_{i=1}^n \sum_{j=1}^m \left( \frac{\partial z(\mathbf{y}(\mathbf{x}))}{\partial x^j} \frac{\partial x^j}{\partial y^i} \right) \phi_1^*(dy^i) \\ (\phi_1^* \circ \psi_1^*) dz &= \sum_{i=1}^n \sum_{j=1}^m \sum_{k=1}^m \frac{\partial z(\mathbf{y}(\mathbf{x}))}{\partial x^j} \frac{\partial x^j}{\partial y^i} \frac{\partial y^i}{\partial x^k} dx^k \end{aligned}$$

Retraindo a soma com o índice  $i$  com a regra da cadeia, obtemos

$$\begin{aligned} (\phi_1^* \circ \psi_1^*) dz &= \sum_{j=1}^m \sum_{k=1}^m \frac{\partial z(\mathbf{y}(\mathbf{x}))}{\partial x^j} \frac{\partial x^j}{\partial x^k} dx^k \\ (\phi_1^* \circ \psi_1^*) dz &= \sum_{j=1}^m \sum_{k=1}^m \frac{\partial z(\mathbf{y}(\mathbf{x}))}{\partial x^j} \delta_{jk} dx^k \\ (\phi_1^* \circ \psi_1^*) dz &= \sum_{j=1}^m \frac{\partial z(\mathbf{y}(\mathbf{x}))}{\partial x^j} dx^j \\ (\phi_1^* \circ \psi_1^*) dz &= (\psi \circ \phi)_1^* dz \end{aligned}$$

e portanto o item 4 é válido para  $p = 1$ .

Agora suponha que o item 4 seja válido para algum  $p$  e que  $\omega$  seja uma  $p$ -forma em  $T^*W$ . Então

$$\begin{aligned} [(\psi \circ \phi)_{p+1}^*(\omega \wedge dz^{p+1})](\mathbf{x}) &= [(\psi \circ \phi)_p^*(\omega)](\mathbf{x}) \wedge [(\psi \circ \phi)_1^*(dz^{p+1})](\mathbf{x}) \\ &= [(\phi_p^* \circ \psi_p^*)(\omega)](\mathbf{x}) \wedge [(\phi_1^* \circ \psi_1^*)(dz^{p+1})](\mathbf{x}) \\ &= [(\phi_{p+1}^* \circ \psi_{p+1}^*)(\omega \wedge dz^{p+1})](\mathbf{x}) \end{aligned}$$

o que completa por indução a demonstração. ■

*O item 4 do teorema (3.3) diz que mapear de  $W$  diretamente para  $U$  é equivalente a mapear de  $W$  para  $V$  e depois de  $V$  para  $U$ .*

**Exemplo 3.6.** *Sejam  $d$  e  $r$  constantes reais positivas e  $\phi$  o mapeamento  $\mathbb{R}^2 \mapsto \mathbb{R}^3$  dado por*

$$\begin{aligned} x &= d \cos(\varphi) + r \cos(\theta) \cos(\varphi) \\ y &= d \sin(\varphi) + r \cos(\theta) \sin(\varphi) \\ z &= r \sin(\theta) \end{aligned}$$

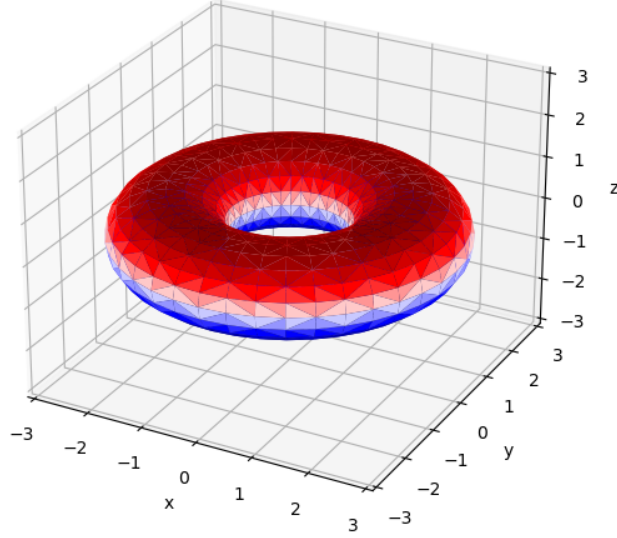


Figura 1: Toro com  $d = 2$  e  $r = 1$ .

ou seja,  $x = x(\theta, \varphi)$ ,  $y = y(\theta, \varphi)$  e  $z = z(\theta, \varphi)$ . Considerando  $\varphi$  o ângulo da projeção de um ponto  $q$  no plano  $xy$  em relação ao eixo  $x$  (ângulo azimutal) e  $\theta$  o ângulo entre  $q$  e o plano  $xy$  (a latitude) no sentido de fora para dentro da superfície, então todos os valores possíveis de  $\varphi$  e  $\theta$  formam uma superfície no  $\mathbb{R}^3$  que é denominada de toro (figura 1). Podemos verificar isso de forma mais nítida se escrevermos

$$\begin{bmatrix} x \\ y \\ z \end{bmatrix} = \begin{bmatrix} \cos(\varphi) & -\sin(\varphi) & 0 \\ \sin(\varphi) & \cos(\varphi) & 0 \\ 0 & 0 & 1 \end{bmatrix} \cdot \begin{bmatrix} d + r \cos(\theta) \\ 0 \\ r \sin(\theta) \end{bmatrix} \quad (54)$$

que é a matriz de rotação em torno do eixo  $z$  aplicada a uma circunferência de raio  $r$  no plano  $xz$  cujo centro está no eixo  $x$  mas deslocado em  $d$ .

Dada uma 1-forma  $\omega = (x^2 + y^2) dz$ , temos que

$$\phi_1^* \omega = \left[ [d + r \cos(\theta)]^2 \cos^2(\varphi) + [d + r \cos(\theta)]^2 \sin^2(\varphi) \right] \cdot \left[ \frac{\partial z}{\partial \theta} d\theta + \frac{\partial z}{\partial \varphi} d\varphi \right]$$

$$\phi_1^* \omega = [d + r \cos(\theta)]^2 \cdot r \cos(\theta) d\theta$$

No caso particular em que  $d = 0$ , o toro se transforma em uma esfera (que é uma circunferência girando em torno dela própria na equação 54) e então  $\phi_1^* \omega = r^3 \cos^3(\theta) d\theta$ .

Agora se  $\omega$  é uma 2-forma dada por  $\omega = dx \wedge dy$ , então

$$\begin{aligned}\phi_2^* \omega &= (\phi_1^* dx) \wedge (\phi_1^* dy) \\ \phi_2^* \omega &= \left[ \frac{\partial x}{\partial \theta} d\theta + \frac{\partial x}{\partial \varphi} d\varphi \right] \wedge \left[ \frac{\partial y}{\partial \theta} d\theta + \frac{\partial y}{\partial \varphi} d\varphi \right] \\ \phi_2^* \omega &= \left[ \frac{\partial x}{\partial \theta} \frac{\partial y}{\partial \varphi} - \frac{\partial y}{\partial \theta} \frac{\partial x}{\partial \varphi} \right] d\theta \wedge d\varphi\end{aligned}$$

$$\begin{aligned}\phi_2^* \omega &= \left[ -rd \sin(\theta) \cos^2(\varphi) - r^2 \cos(\theta) \sin(\theta) \cos^2(\varphi) - \right. \\ &\quad \left. rd \sin(\theta) \sin^2(\varphi) - r^2 \cos(\theta) \sin(\theta) \sin^2(\varphi) \right] d\theta \wedge d\varphi \\ \phi_2^* \omega &= [(d + r \cos(\theta))r \sin(\theta)] d\varphi \wedge d\theta\end{aligned}$$

### 3.5 Inversa do lema de Poincaré

Usando as equações (44) e (46), podemos ver que

$$\begin{aligned}\nabla \times (\nabla f) &= \nabla \times (\Gamma(df)) = \Gamma[*d(\Gamma^{-1}(\Gamma(df)))] \\ &= \Gamma[*d(df)] = \Gamma(*0) \\ &= \mathbf{0}\end{aligned}$$

ou seja, o lema de Poincaré  $d(df) = 0$  implica que o rotacional do gradiente (definidos pelas equações 44 e 46) de uma função real suave  $f$  é sempre o vetor nulo.

Usando as equações (45) e (46), também temos que

$$\begin{aligned}\nabla \cdot (\nabla \times \mathbf{F}) &= \nabla \cdot \Gamma[*d(\Gamma^{-1}(\mathbf{F}))] \\ &= *d(*\Gamma^{-1}(\Gamma[*d(\Gamma^{-1}(\mathbf{F}))])) \\ &= *d(*(*d(\Gamma^{-1}(\mathbf{F})))) \\ &= *d(d(\Gamma^{-1}(\mathbf{F}))) \\ &= 0\end{aligned}$$

onde usamos o fato de que

$$*(*\Gamma^{-1}(\mathbf{F})) = (-1)^{p(n-p)+(n-t)/2} \Gamma^{-1}(\mathbf{F})$$

com  $p = 1$ ,  $n = 3$  e  $t = 3$ , com  $t$  sendo a assinatura do produto interno (que é o produto escalar usual, no qual é positivo definido). Então o lema de Poincaré também implica que o divergente do rotacional (definidos pelas equações 45 e 46) de um campo vetorial real suave é sempre zero.

Por outro lado, vimos na seção 1.2.2 que sob certas circunstâncias, se  $\nabla \times \mathbf{F} = \mathbf{0}$  então  $\mathbf{F} = \nabla V$  para alguma função escalar  $V$  e que se  $\nabla \cdot \mathbf{F} = 0$ , então  $\mathbf{F} = \nabla \times \mathbf{A}$  para algum campo vetorial  $\mathbf{A}$ . Em outras palavras, nessas mesmas circunstâncias, se  $d\omega = 0$ , então há algum  $\alpha$  tal que  $d\alpha = \omega$ , de forma que  $d(d\alpha) = 0$ . Iremos verificar no próximo teorema quais são os requisitos para isso ser verdade.

**Teorema 3.4** (Inversa do lema de Poincaré). *Se  $\omega$  é uma  $p$ -forma ( $p \geq 1$ ) em um conjunto estrelado  $U \subseteq \mathbb{R}^n$  e  $d\omega = 0$ , então existe uma  $(p-1)$ -forma  $\alpha$  tal que*

$$d\alpha = \omega$$

*Demonstração.* Seja  $I$  o intervalo dos reais  $[0, 1]$ . Podemos montar um objeto  $(t, \mathbf{u})$  que está associado simultaneamente a um  $t \in I$  e a um elemento  $\mathbf{u} \in U$ , de forma que a totalidade desses objetos formam um conjunto  $I \times U$ .

Dada uma função escalar bem comportada  $f = f(x^i, t)$ , onde  $x^i$  são as coordenadas relacionadas a  $U$ , temos que a 1-forma

$$df = \left[ \sum_{i=1}^n \frac{\partial f}{\partial x^i} dx^i \right] + \frac{\partial f}{\partial t} dt$$

pertence ao espaço  $\bigwedge^1(T^*(I \times U))$ .

Agora seja  $j_1$  o mapa que leva  $\mathbf{u} \in U$  para  $(1, \mathbf{u})$ , dado por

$$\begin{aligned} j_1 : U &\mapsto (I \times U) \\ j_1(\mathbf{u}) &= (1, \mathbf{u}) \end{aligned}$$

De maneira similar, definimos  $j_0$ :

$$\begin{aligned} j_0 : U &\mapsto (I \times U) \\ j_0(\mathbf{u}) &= (0, \mathbf{u}) \end{aligned}$$

Conforme vimos na seção 3.4, podemos definir funções  $j_{1_p}^*$  e  $j_{0_p}^*$  que levam uma  $p$ -forma com domínio em  $I \times U$  para uma  $p$ -forma com domínio em  $U$ :

$$\begin{aligned} j_{1_p}^* : \bigwedge^p(T^*(I \times U)) &\mapsto \bigwedge^p(T^*U) \\ j_{0_p}^* : \bigwedge^p(T^*(I \times U)) &\mapsto \bigwedge^p(T^*U) \end{aligned}$$

Os mapeamentos  $j_1$  e  $j_0$  são dados por

$$\begin{aligned} j_1 : (x^1, x^2, \dots, x^n) &\mapsto (x^1, x^2, \dots, x^n, 1) \\ j_0 : (x^1, x^2, \dots, x^n) &\mapsto (x^1, x^2, \dots, x^n, 0) \end{aligned}$$

Então no caso em que  $p = 0$ , por exemplo, temos que

$$\begin{aligned} j_{1_0}^* f(x^i, t) &= f(x^i, 1) \\ j_{0_0}^* f(x^i, t) &= f(x^i, 0) \end{aligned}$$

enquanto que com  $p = 1$ ,

$$\begin{aligned} j_{1_1}^*(df) &= j_{1_1}^* \left( \left[ \sum_{i=1}^n \frac{\partial f}{\partial x^i} dx^i \right] + \frac{\partial f}{\partial t} dt \right) \\ &= \left[ \sum_{i=1}^n \frac{\partial f}{\partial x^i} \Big|_{t=1} j_{1_1}^*(dx^i) \right] + \frac{\partial f}{\partial t} \Big|_{t=1} j_{1_1}^*(dt) \\ &= \left[ \sum_{i=1}^n \sum_{j=1}^n \frac{\partial f}{\partial x^i} \Big|_{t=1} \frac{\partial x^i}{\partial x^j} dx^j \right] + \frac{\partial f}{\partial t} \Big|_{t=1} \sum_{j=1}^n \frac{\partial t}{\partial x^j} dx^j \end{aligned}$$

Como  $t$  independe das coordenadas,  $\frac{\partial t}{\partial x^j} = 0$ . Além disso, uma vez que as coordenadas  $x^i$  são linearmente independentes entre si, temos  $\frac{\partial x^i}{\partial x^j} = \delta_j^i$ . Logo

$$j_{1_1}^*(df) = \sum_{i=1}^n \frac{\partial f}{\partial x^i} \Big|_{t=1} dx^i$$

De maneira totalmente análoga,

$$j_{0_1}^*(df) = \sum_{i=1}^n \frac{\partial f}{\partial x^i} \Big|_{t=0} dx^i$$

Em geral, dada uma  $p$ -forma  $\omega$ ,  $j_{1_p}^*\omega$  faz a 1-forma  $dt$  desaparecer e fixar  $t = 1$  em  $\omega$ . Já  $j_{0_p}^*\omega$  também limpa os termos com  $dt$  mas faz  $t = 0$ . Isso é garantido pela propriedade distributiva dos mapas (item 2 do teorema 3.3), já que qualquer termo com  $dt$  resultará em um  $j_{1_1}^*(dt) = 0$  ou  $j_{0_1}^*(dt) = 0$ .

Agora iremos definir uma transformação linear  $K : \bigwedge^{p+1}(T^*(I \times U)) \mapsto \bigwedge^p(T^*U)$  da seguinte forma:  $K$  sempre levará ao elemento nulo qualquer argumento que não envolva  $dt$ , isto é, se  $dx^H \in \bigwedge^{p+1}(T^*U)$  e  $a_H \in \mathbb{R}$ , então

$$K(a_H(t, \mathbf{u}) dx^H) = 0$$

E quando há  $dt$  no argumento, se  $dx^J \in \bigwedge^p(T^*U)$  e  $a_J \in \mathbb{R}$ , definimos  $K$  pela equação

$$K(a_J(t, \mathbf{u}) dt \wedge dx^J) = \left[ \int_0^1 a_J(t, \mathbf{u}) dt \right] dx^J \quad (55)$$

Iremos primeiramente provar que

$$K(d\omega) + d(K(\omega)) = j_{1_{p+1}}^*\omega - j_{0_{p+1}}^*\omega \quad (56)$$

Para isso, suponha  $\lambda = a_J(t, \mathbf{u}) dt \wedge dx^J$  uma  $(p+1)$ -forma em  $I \times U$  que contenha  $dt$ . Então

$$d\lambda = \left[ \sum_{i=1}^n \frac{\partial a_J}{\partial x^i} dx^i \wedge dt \wedge dx^J \right] + \frac{\partial a_J}{\partial t} dt \wedge dt \wedge dx^J$$

$$d\lambda = \sum_{i=1}^n \left( -\frac{\partial a_J}{\partial x^i} \right) dt \wedge dx^i \wedge dx^J$$

Aplicando  $K$  a  $d\lambda$ , obteremos

$$K(d\lambda) = - \sum_{i=1}^n \left[ \int_0^1 \frac{\partial a_J}{\partial x^i} dt \right] dx^i \wedge dx^J$$

Agora sabendo que

$$K(\lambda) = \left[ \int_0^1 a_J(t, \mathbf{u}) dt \right] dx^J$$

podemos aplicar a derivada exterior a esse resultado para obter

$$d(K(\lambda)) = \sum_{i=1}^n \frac{\partial}{\partial x^i} \left[ \int_0^1 a_J(t, \mathbf{u}) dt \right] dx^i \wedge dx^J$$

$$d(K(\lambda)) = \sum_{i=1}^n \left[ \int_0^1 \frac{\partial a_J}{\partial x^i} dt \right] dx^i \wedge dx^J$$

que é  $K(d\lambda)$  mas com sinal trocado. Então

$$K(d\lambda) + d(K(\lambda)) = 0$$

Mas também sabemos que  $\lambda$  é um termo só e ele possui  $dt$ , o que leva  $j_{1_{p+1}}^* \lambda = 0$  e  $j_{0_{p+1}}^* \lambda = 0$ . Esse resultado mostra concordância com a equação (56).

Agora vamos para o caso da  $(p+1)$ -forma  $\omega = a_H(t, \mathbf{u}) dx^H$  que não tem  $dt$ . Então

$$d\omega = \left[ \sum_{i=1}^n \frac{\partial a_H}{\partial x^i} dx^i \wedge dx^H \right] + \frac{\partial a_H}{\partial t} dt \wedge dx^H$$

Logo  $K(d\omega)$  fará o primeiro termo com a somatória desaparecer, sobrando apenas

$$K(d\omega) = \left[ \int_0^1 \frac{\partial a_H(t, \mathbf{u})}{\partial t} dt \right] dx^H = [a_H(1, \mathbf{u}) - a_H(0, \mathbf{u})] dx^H$$

Por outro lado,  $K(\omega) = 0$  e portanto  $d(K(\omega)) = 0$ . E também sabemos que

$$a_H(1, \mathbf{u}) dx^H = j_{1_{p+1}}^* \omega \quad \text{e} \quad a_H(0, \mathbf{u}) dx^H = j_{0_{p+1}}^* \omega$$

e portanto

$$K(d\omega) + d(K(\omega)) = j_{1_{p+1}}^* \omega - j_{0_{p+1}}^* \omega \quad (57)$$

Como  $K$  é uma transformação linear, essa equação se estende para qualquer  $(p+1)$ -forma em  $I \times U$ , seja ela dependente de  $dt$  ou não.

Agora seja  $\phi$  um mapa dado por

$$\begin{aligned} \phi : I \times U &\mapsto U \\ \phi(1, \mathbf{v}) &= \mathbf{v} \\ \phi(0, \mathbf{v}) &= \mathbf{v}_0 \end{aligned}$$



onde  $\mathbf{v}_0 = (v^1, v^2, \dots, v^n)$  aponta para um ponto no conjunto  $U$  no qual  $U$  é estrelado. Segue que  $\phi$  é dado por

$$\phi : (x^1, x^2, \dots, x^n, t) \mapsto (u^1, u^2, \dots, u^n) \quad (58)$$

onde  $u^i = u^i(x^j, t)$  são coordenadas tais que satisfazem as condições de contorno

$$u^i(x^j, 1) = x^i \quad \text{e} \quad u^i(x^j, 0) = v^i$$

além de que  $u^i \in U$  e que as derivadas parciais  $\frac{\partial u^i}{\partial t}$  e  $\frac{\partial u^i}{\partial x^j}$  existam para todo  $t \in [0, 1]$ ,  $\forall i, j$  e em todo o domínio  $U$ . Exemplos de coordenada desse tipo são

$$u^i = v^i + t(x^i - v^i) \quad \text{e} \quad u^i = v^i + (x^i - v^i) \sin\left(\frac{\pi}{2}t\right)$$

Dado que o conjunto é estrelado em  $\mathbf{v}_0$ , então usaremos

$$u^i = v^i + (x^i - v^i)h(t)$$

onde  $h(0) = 0$ ,  $h(1) = 1$  e que  $\frac{dh}{dt}$  exista  $\forall t \in [0, 1]$ . Então

$$\frac{\partial u^i}{\partial x^j} = \delta_j^i \cdot h(t)$$

Dada uma função escalar  $g(u^1, u^2, \dots, u^n)$ , segue de (58) que  $\phi_0^*(g)$  leva a 0-forma  $g$  às coordenadas  $x^j$  e  $t$ :

$$\phi_0^*(g) = g(u^i(x^j, t)) \quad (59)$$

E para uma 1-forma  $dg$  dada por

$$dg = \sum_{i=1}^n \frac{\partial g}{\partial u^i} du^i$$

então

$$\begin{aligned} \phi_1^*(dg) &= \sum_{i=1}^n \left[ \sum_{j=1}^n \frac{\partial g}{\partial u^i} \frac{\partial u^i}{\partial x^j} dx^j \right] + \frac{\partial g}{\partial u^i} \frac{\partial u^i}{\partial t} dt \\ &= \sum_{i=1}^n \left[ \sum_{j=1}^n \frac{\partial g}{\partial u^i} \delta_j^i \cdot h(t) dx^j \right] + \sum_{i=1}^n \frac{\partial g}{\partial u^i} \frac{\partial u^i}{\partial t} dt \\ &= h(t) \sum_{i=1}^n \frac{\partial g}{\partial u^i} dx^i + \sum_{i=1}^n \frac{\partial g}{\partial u^i} \frac{\partial u^i}{\partial t} dt \end{aligned} \quad (60)$$

Aplicando  $j_{1_1}^*$  e  $j_{0_1}^*$  à 1-forma  $\phi_1^*(dg)$  em (60), iremos obter

$$\begin{aligned} j_{1_1}^*(\phi_1^*(dg)) &= h(1) \sum_{i=1}^n \frac{\partial g}{\partial u^i} \Big|_{t=1} dx^i = \sum_{i=1}^n \frac{\partial g}{\partial x^i} dx^i = dg \\ j_{0_1}^*(\phi_1^*(dg)) &= h(0) \sum_{i=1}^n \frac{\partial g}{\partial u^i} \Big|_{t=0} dx^i = 0 \end{aligned}$$

Então para qualquer  $p$ -forma  $\omega \in C^\infty U$ , com  $p \geq 1$  temos

$$(j_{1_p}^* \circ \phi_p^*)\omega = \omega \quad (61)$$

$$(j_{0_p}^* \circ \phi_p^*)\omega = 0 \quad (62)$$

Isso pode ser verificado por indução. Se as equações (61) e (62) são válidas para um certo  $p$ , então dada uma 1-forma  $\lambda$  e uma  $p$ -forma  $\omega$  temos

$$\begin{aligned} j_{1_{p+1}}^*(\phi_{p+1}^*(\omega \wedge \lambda)) &= j_{1_{p+1}}^*(\phi_p^*(\omega) \wedge \phi_1^*(\lambda)) \\ &= j_{1_p}^*(\phi_p^*(\omega)) \wedge j_{1_1}^*(\phi_1^*(\lambda)) \\ &= \omega \wedge \lambda \end{aligned}$$

Da mesma forma,

$$j_{0_{p+1}}^*(\phi_{p+1}^*(\omega \wedge \lambda)) = j_{0_p}^*(\phi_p^*(\omega)) \wedge j_{0_1}^*(\phi_1^*(\lambda)) = 0$$

Agora seja  $\omega$  a  $p$ -forma do enunciado, ou seja, sabe-se que  $d\omega = 0$ . Então usando  $\phi_{p+1}^*\omega$  como argumento na equação (57) obteremos

$$\begin{aligned} K(d(\phi_p^*\omega)) + d(K(\phi_p^*\omega)) &= j_{1_p}^*(\phi_p^*\omega) - j_{0_p}^*(\phi_p^*\omega) \\ K(\phi_p^*(d\omega)) + d(K(\phi_p^*\omega)) &= (j_{1_p}^* \circ \phi_p^*)\omega - (j_{0_p}^* \circ \phi_p^*)\omega \\ K(\phi_p^*0) + d(K(\phi_p^*\omega)) &= \omega - 0 \\ d(K(\phi_p^*\omega)) &= \omega \end{aligned}$$

Fazendo  $\alpha = K(\phi_p^*\omega)$ , concluímos que

$$d\alpha = \omega$$

o que completa a demonstração. ■

Note que se duas  $p$ -formas  $\beta$  e  $\alpha$  produzirem uma mesma  $(p+1)$ -forma  $\omega$  pelo operador  $d$ , então

$$d\beta = d\alpha = \omega \implies d(\beta - \alpha) = 0$$

e portanto da inversa do lema de Poincaré temos que

$$\beta - \alpha = d\gamma$$

ou equivalentemente

$$\beta = \alpha + d\gamma$$

Isso significa que  $\beta$  e  $\alpha$  podem diferir de apenas um  $d\gamma$ , com  $\gamma$  sendo uma  $(p-1)$ -forma arbitrária.

**Exemplo 3.7** (Divergente nulo e o rotacional). *Suponha  $\omega$  uma 2-forma dada por*

$$\omega = P(x, y, z) dy \wedge dz + Q(x, y, z) dz \wedge dx + R(x, y, z) dx \wedge dy$$

*de forma que em um subconjunto  $U$  de  $\mathbb{R}^3$  estrelado na origem é verdade*

$$d\omega = \left( \frac{\partial P}{\partial x} + \frac{\partial Q}{\partial y} + \frac{\partial R}{\partial z} \right) dx \wedge dy \wedge dz = 0$$

*ou equivalentemente*

$$\frac{\partial P}{\partial x} + \frac{\partial Q}{\partial y} + \frac{\partial R}{\partial z} = 0 \quad (63)$$

*Podemos construir um mapa  $\phi : ([0, 1] \times U) \mapsto U$  dado por*

$$\phi(x, y, z, t) = (tx, ty, tz)$$

*cuja imagem é a reta que conecta a origem até  $(x, y, z)$ . Pelo fato do conjunto ser estrelado na origem, toda a reta pertence a  $U$ .*

*Usando a equação (53), temos que  $\phi_2^*$  leva uma 2-forma em  $U$  para uma 2-forma em  $[0, 1] \times U$  dada por*

$$\phi_2^*(P dy \wedge dz) = \frac{P(tx, ty, tz)}{2} \left( \sum_{i,j=1}^4 \frac{\partial(ty, tz)}{\partial(x^i, x^j)} \right) dx^i \wedge dx^j$$

*com  $x^4 = t$ . Os únicos jacobianos não nulos (além das comutações de  $x^i$  e  $x^j$ ) serão*

$$\begin{aligned} \frac{\partial(ty, tz)}{\partial(y, z)} &= t^2 \\ \frac{\partial(ty, tz)}{\partial(t, z)} &= yt \\ \frac{\partial(ty, tz)}{\partial(y, t)} &= tz \\ \frac{\partial(ty, tz)}{\partial(t, t)} &= yz \end{aligned}$$

*Porém o primeiro resulta em um fator de  $dy \wedge dz$  enquanto que o último resulta em  $dt \wedge dt = 0$ . Ao aplicarmos  $K$  a  $\phi_2^*(P dy \wedge dz)$ , o primeiro desaparecerá, e então os únicos relevantes serão o segundo e o terceiro. Com as comutações de  $x^i$  e  $x^j$ , aparecerão termos iguais porém negativos, o que pode ser mudado ao comutar  $dx^i$  com  $dx^j$ , resultando em um fator 2 que cancelará com  $1/2$ , resultando*

$$\phi_2^*(P dy \wedge dz) = P(tx, ty, tz) \cdot [yt dt \wedge dz + tz dy \wedge dt + t^2 dy \wedge dz]$$

*Para deixarmos tudo com orientação positiva (primeiro  $dt$  e depois as coordenadas  $x, y$  e  $z$ ) e então usar a relação do operador  $K$  dada por (55), comutaremos  $dy$  com  $dt$ . Fazendo isso e colocando  $t$  em evidência, ficamos com*

$$\phi_2^*(P dy \wedge dz) = t \cdot P(tx, ty, tz) \cdot [y dt \wedge dz - z dt \wedge dy] + (\text{termos sem } dt)$$

De maneira análoga, encontraremos

$$\phi_2^*(Q \, dz \wedge dx) = t \cdot Q(tx, ty, tz) \cdot [z \, dt \wedge dx - x \, dt \wedge dz] + (\text{termos sem } dt)$$

$$\phi_2^*(R \, dx \wedge dy) = t \cdot R(tx, ty, tz) \cdot [x \, dt \wedge dy - y \, dt \wedge dx] + (\text{termos sem } dt)$$

Aplicando  $K$  a  $\phi_2^*\omega$ , obteremos uma 1-forma dada por

$$\begin{aligned} K(\phi_2^*\omega) = & \left[ \int_0^1 t \cdot P(tx, ty, tz) \, dt \right] (y \, dz - z \, dy) + \\ & \left[ \int_0^1 t \cdot Q(tx, ty, tz) \, dt \right] (z \, dx - x \, dz) + \\ & \left[ \int_0^1 t \cdot R(tx, ty, tz) \, dt \right] (x \, dy - y \, dx) \end{aligned}$$

Para calcularmos  $dK(\phi_2^*\omega)$ , vamos aplicar a derivada exterior para cada termo:

$$\begin{aligned} d \left( \left[ \int_0^1 t \cdot P(tx, ty, tz) \, dt \right] y \, dz \right) &= \sum_{i=1}^3 \frac{\partial}{\partial x^i} \left[ \int_0^1 yt \cdot P(tx, ty, tz) \, dt \right] dx^i \wedge dz \\ &= \frac{\partial}{\partial x} \left[ \int_0^1 yt \cdot P(tx, ty, tz) \, dt \right] dx \wedge dz + \frac{\partial}{\partial y} \left[ \int_0^1 yt \cdot P(tx, ty, tz) \, dt \right] dy \wedge dz \\ &= \left[ \int_0^1 yt \cdot \frac{\partial P}{\partial x} \, dt \right] dx \wedge dz + \left[ \int_0^1 t \cdot P + yt \frac{\partial P}{\partial y} \, dt \right] dy \wedge dz \end{aligned}$$

Mas

$$\frac{\partial P}{\partial x} = \frac{\partial P}{\partial(tx)} \frac{\partial(tx)}{\partial x} = t \frac{\partial P}{\partial(tx)}$$

e também  $\frac{\partial P}{\partial y} = t \frac{\partial P}{\partial(ty)}$ , e então

$$\begin{aligned} d \left( \left[ \int_0^1 t \cdot P \, dt \right] y \, dz \right) &= \\ & \left[ \int_0^1 yt^2 \cdot \frac{\partial P}{\partial(tx)} \, dt \right] dx \wedge dz + \left[ \int_0^1 t \cdot P + yt^2 \frac{\partial P}{\partial(ty)} \, dt \right] dy \wedge dz \end{aligned}$$

De maneira análoga, temos

$$\begin{aligned} d \left( \left[ \int_0^1 t \cdot P \, dt \right] z \, dy \right) &= \\ & \left[ \int_0^1 zt^2 \cdot \frac{\partial P}{\partial(tx)} \, dt \right] dx \wedge dy + \left[ \int_0^1 t \cdot P + zt^2 \frac{\partial P}{\partial(tz)} \, dt \right] dz \wedge dy \end{aligned}$$

$$d\left(\left[\int_0^1 t \cdot Q \, dt\right] z \, dx\right) = \left[\int_0^1 zt^2 \cdot \frac{\partial Q}{\partial(ty)} \, dt\right] dy \wedge dx + \left[\int_0^1 t \cdot Q + zt^2 \frac{\partial Q}{\partial(tz)} \, dt\right] dz \wedge dx$$

$$d\left(\left[\int_0^1 t \cdot Q \, dt\right] x \, dz\right) = \left[\int_0^1 xt^2 \cdot \frac{\partial Q}{\partial(ty)} \, dt\right] dy \wedge dz + \left[\int_0^1 t \cdot Q + xt^2 \frac{\partial Q}{\partial(tx)} \, dt\right] dx \wedge dz$$

$$d\left(\left[\int_0^1 t \cdot R \, dt\right] x \, dy\right) = \left[\int_0^1 xt^2 \cdot \frac{\partial R}{\partial(tz)} \, dt\right] dz \wedge dy + \left[\int_0^1 t \cdot R + xt^2 \frac{\partial R}{\partial(tx)} \, dt\right] dx \wedge dy$$

$$d\left(\left[\int_0^1 t \cdot R \, dt\right] y \, dx\right) = \left[\int_0^1 yt^2 \cdot \frac{\partial R}{\partial(tz)} \, dt\right] dz \wedge dx + \left[\int_0^1 t \cdot R + yt^2 \frac{\partial R}{\partial(ty)} \, dt\right] dy \wedge dx$$

*E então juntando os termos de  $dK(\phi_2^*\omega)$  que estão relacionados a  $dx \wedge dy$  ficamos com*

$$dK(\phi_2^*\omega) = \dots + \left[\int_0^1 -zt^2 \cdot \frac{\partial P}{\partial(tx)} - zt^2 \cdot \frac{\partial Q}{\partial(ty)} + 2t \cdot R + yt^2 \frac{\partial R}{\partial(ty)} + xt^2 \frac{\partial R}{\partial(tx)} \, dt\right] dx \wedge dy$$

*Mas da equação (63) sabemos que*

$$\frac{\partial R}{\partial(tz)} = -\frac{\partial P}{\partial(tx)} - \frac{\partial Q}{\partial(ty)}$$

*é verdade para todo  $t$  em  $[0, 1]$  (pois o conjunto é estrelado) e portanto*

$$dK(\phi_2^*\omega) = \dots + \left[\int_0^1 zt^2 \cdot \frac{\partial R}{\partial(tz)} + 2t \cdot R + yt^2 \frac{\partial R}{\partial(ty)} + xt^2 \frac{\partial R}{\partial(tx)} \, dt\right] dx \wedge dy$$

*Agora note que*

$$\begin{aligned} t^2 \frac{dR}{dt} &= t^2 \cdot \left( \frac{\partial R}{\partial(tx)} \frac{\partial(tx)}{\partial t} + \frac{\partial R}{\partial(ty)} \frac{\partial(ty)}{\partial t} + \frac{\partial R}{\partial(tz)} \frac{\partial(tz)}{\partial t} \right) \\ t^2 \frac{dR}{dt} &= xt^2 \frac{\partial R}{\partial(tx)} + yt^2 \frac{\partial R}{\partial(ty)} + zt^2 \cdot \frac{\partial R}{\partial(tz)} \end{aligned}$$

Logo

$$dK(\phi_2^*\omega) = \dots + \left[ \int_0^1 t^2 \frac{dR}{dt} + 2t \cdot R dt \right] dx \wedge dy$$

Note também que

$$\frac{d}{dt} [t^2 R] = t^2 \frac{dR}{dt} + 2t \cdot R$$

e portanto

$$\begin{aligned} dK(\phi_2^*\omega) &= \dots + \left[ \int_0^1 \frac{d}{dt} [t^2 R] dt \right] dx \wedge dy \\ &= \dots + t^2 R(tx, ty, tz) \Big|_0^1 dx \wedge dy \\ &= \dots + R(x, y, z) dx \wedge dy \end{aligned}$$

O raciocínio é inteiramente análogo para mostrar que isso também acontece com os termos relacionados a  $dy \wedge dz$  e  $dz \wedge dx$ , o que implica

$$dK(\phi_2^*\omega) = P(x, y, z) dy \wedge dz + Q(x, y, z) dz \wedge dx + R(x, y, z) dx \wedge dy$$

$$dK(\phi_2^*\omega) = \omega$$

Então encontramos uma 1-forma  $\alpha = K(\phi_2^*\omega)$  tal que  $d\alpha = \omega$ . Agora note que mostramos no exemplo (3.3) que calcular  $d\alpha$ , com  $\alpha$  sendo uma 1-forma é equivalente a calcular o rotacional de algum outro campo vetorial. Se reescrevermos  $\alpha$  na forma

$$\begin{aligned} \alpha &= \left[ \int_0^1 t(zQ - yR) dt \right] dx + \\ &\quad \left[ \int_0^1 t(xR - zP) dt \right] dy + \left[ \int_0^1 t(yP - xQ) dt \right] dz \end{aligned}$$

então identificamos o espaço vetorial  $\mathbf{A}$  cujo rotacional reproduz o campo vetorial  $(P, Q, R)$ :

$$\mathbf{A} = \left( \int_0^1 t(zQ - yR) dt, \int_0^1 t(xR - zP) dt, \int_0^1 t(yP - xQ) dt \right)$$

Se  $\mathbf{F} = (P, Q, R)$ , então observamos que

$$\mathbf{F}(t \cdot \mathbf{r}) \times (t \cdot \mathbf{r}) = t(zQ - yR)\hat{\mathbf{i}} + t(xR - zP)\hat{\mathbf{j}} + t(yP - xQ)\hat{\mathbf{k}}$$

e portanto

$$\mathbf{A} = \int_0^1 \mathbf{F}(t \cdot \mathbf{r}) \times (t \cdot \mathbf{r}) dt$$

que é exatamente a expressão que usamos na demonstração do teorema (1.11).

### 3.6 Coordenadas generalizadas

Sejam  $\hat{\mathbf{e}}_1(x, y, z)$ ,  $\hat{\mathbf{e}}_2(x, y, z)$  e  $\hat{\mathbf{e}}_3(x, y, z)$  um conjunto ortonormal de campos vetoriais que variam suavemente em uma região do  $\mathbb{R}^3$ . Eles podem ser escritos na forma

$$\hat{\mathbf{e}}_i = f_{i1}(x, y, z)\hat{\mathbf{i}} + f_{i2}(x, y, z)\hat{\mathbf{j}} + f_{i3}(x, y, z)\hat{\mathbf{k}}$$

Segue disso que

$$\hat{\mathbf{e}}_i \cdot \hat{\mathbf{e}}_j = f_{i1}f_{j1} + f_{i2}f_{j2} + f_{i3}f_{j3} = \delta_{ij}$$

Aplicando a derivada exterior nessa expressão, obtemos

$$\begin{aligned} d(\hat{\mathbf{e}}_i \cdot \hat{\mathbf{e}}_j) &= (df_{i1})f_{j1} + (df_{i2})f_{j2} + (df_{i3})f_{j3} + f_{i1}(df_{j1}) + f_{i2}(df_{j2}) + f_{i3}(df_{j3}) \\ d(\hat{\mathbf{e}}_i \cdot \hat{\mathbf{e}}_j) &= d\hat{\mathbf{e}}_i \cdot \hat{\mathbf{e}}_j + \hat{\mathbf{e}}_i \cdot d\hat{\mathbf{e}}_j \\ &= d\delta_{ij} \\ &= 0 \end{aligned}$$

Portanto temos

$$d\hat{\mathbf{e}}_i \cdot \hat{\mathbf{e}}_j + \hat{\mathbf{e}}_i \cdot d\hat{\mathbf{e}}_j = 0 \quad (64)$$

Cada vetor  $d\hat{\mathbf{e}}_i$  pode ser descrito usando a mesma base  $\{\hat{\mathbf{e}}_1, \hat{\mathbf{e}}_2, \hat{\mathbf{e}}_3\}$ ,

$$d\hat{\mathbf{e}}_i = \omega_{i1}\hat{\mathbf{e}}_1 + \omega_{i2}\hat{\mathbf{e}}_2 + \omega_{i3}\hat{\mathbf{e}}_3 \quad (65)$$

mas com os elementos  $\omega_{ij}$  sendo 1-formas. Segue disso que

$$d\hat{\mathbf{e}}_i \cdot \hat{\mathbf{e}}_j = \omega_{ij}$$

Por outro lado, trocando  $i$  e  $j$  de lugar obtemos

$$d\hat{\mathbf{e}}_j \cdot \hat{\mathbf{e}}_i = \omega_{ji}$$

Usando a equação (64), chegamos à conclusão que

$$\omega_{ij} + \omega_{ji} = 0$$

ou equivalentemente

$$\omega_{ji} = -\omega_{ij} \quad (66)$$

Isso significa que podemos montar uma matriz anti-simétrica  $\Omega$  com as 1-formas  $\omega_{ij}$ .

Uma variação infinitesimal no espaço  $\mathbb{R}^3$  em coordenadas cartesianas pode ser descrita com um vetor  $d\mathbf{r}$  cujas componentes são 1-formas, dado por

$$d\mathbf{r} = dx\hat{\mathbf{i}} + dy\hat{\mathbf{j}} + dz\hat{\mathbf{k}}$$

Essa mesma variação pode ser descrita usando a base ortonormal  $\{\hat{\mathbf{e}}_1, \hat{\mathbf{e}}_2, \hat{\mathbf{e}}_3\}$ :

$$d\mathbf{r} = \sigma_1\hat{\mathbf{e}}_1 + \sigma_2\hat{\mathbf{e}}_2 + \sigma_3\hat{\mathbf{e}}_3 \quad (67)$$

com  $\sigma_i$  sendo 1-formas.

Fazendo

$$\mathbf{e} = \begin{bmatrix} \hat{\mathbf{e}}_1 \\ \hat{\mathbf{e}}_2 \\ \hat{\mathbf{e}}_3 \end{bmatrix} \quad \sigma = \begin{bmatrix} \sigma_1 & \sigma_2 & \sigma_3 \end{bmatrix} \quad \text{e} \quad \Omega = [\omega_{ij}]$$

e considerando que a derivada exterior  $d$  aplicada a uma matriz é a matriz com  $d$  aplicado aos seus elementos podemos compactar as equações (65), (66) e (67) com as expressões

$$d\mathbf{e} = \Omega\mathbf{e} \quad (68)$$

$$\Omega^T = -\Omega \quad (69)$$

$$d\mathbf{r} = \sigma\mathbf{e} \quad (70)$$

Uma das utilidades dessa notação é a de que pode ser facilmente generalizada para dimensões maiores do que três.

Como os campos  $\hat{\mathbf{e}}_i$  variam suavemente no espaço, as derivadas parciais comutam e portanto como consequência vale o lema de Poincaré:

$$d(d\hat{\mathbf{e}}_i) = 0 \quad \text{e} \quad d(d\mathbf{r}) = 0$$

Da primeira igualdade, de (65) obtemos

$$d(d\hat{\mathbf{e}}_i) = (d\omega_{i1})\hat{\mathbf{e}}_1 + \dots + (d\omega_{i3})\hat{\mathbf{e}}_3 + (-1)^1(\omega_{i1} d\hat{\mathbf{e}}_1 + \dots + \omega_{i3} d\hat{\mathbf{e}}_3)$$

Usando (65) na segunda parcela, teremos

$$d(d\hat{\mathbf{e}}_i) = (d\omega_{i1})\hat{\mathbf{e}}_1 + \dots + (d\omega_{i3})\hat{\mathbf{e}}_3 - [\omega_{i1}\omega_{11} + \omega_{i2}\omega_{21} + \omega_{i3}\omega_{31}]\hat{\mathbf{e}}_1 - \\ [\omega_{i1}\omega_{12} + \omega_{i2}\omega_{22} + \omega_{i3}\omega_{32}]\hat{\mathbf{e}}_2 - [\omega_{i1}\omega_{13} + \omega_{i2}\omega_{23} + \omega_{i3}\omega_{33}]\hat{\mathbf{e}}_3$$

Note que os termos entre parênteses são os elementos da multiplicação de  $\Omega$  com ela própria. Segue disso que

$$0 = (d\Omega - \Omega^2)\mathbf{e}$$

$$d\Omega = \Omega^2$$

De maneira similar, temos

$$d(d\mathbf{r}) = (d\sigma)\mathbf{e} - \sigma d\mathbf{e}$$

$$d(d\mathbf{r}) = (d\sigma)\mathbf{e} - \sigma\Omega\mathbf{e}$$

$$0 = (d\sigma - \sigma\Omega)\mathbf{e}$$

$$d\sigma = \sigma\Omega$$

**Exemplo 3.8** (Coordenadas esféricas). *As transformações das coordenadas esféricas para cartesianas são dadas por*

$$x = r \sin(\theta) \cos(\varphi)$$

$$y = r \sin(\theta) \sin(\varphi)$$

$$z = r \cos(\theta)$$



Aplicando o operador diferencial às três coordenadas obtemos

$$\begin{aligned} dx &= \sin(\theta) \cos(\varphi) dr + r \cos(\theta) \cos(\varphi) d\theta - r \sin(\theta) \sin(\varphi) d\varphi \\ dy &= \sin(\theta) \sin(\varphi) dr + r \cos(\theta) \sin(\varphi) d\theta + r \sin(\theta) \cos(\varphi) d\varphi \\ dz &= \cos(\theta) dr - r \sin(\theta) d\theta \end{aligned}$$

e portanto o elemento infinitesimal  $d\mathbf{r}$  fica

$$\begin{aligned} d\mathbf{r} &= (\sin(\theta) \cos(\varphi), \sin(\theta) \sin(\varphi), \cos(\theta)) dr + \\ &\quad (r \cos(\theta) \cos(\varphi), r \cos(\theta) \sin(\varphi), -r \sin(\theta)) d\theta + \\ &\quad (-r \sin(\theta) \sin(\varphi), r \sin(\theta) \cos(\varphi), 0) d\varphi \end{aligned}$$

Agora sabendo que

$$\begin{aligned} \hat{\mathbf{r}} &= (\sin(\theta) \cos(\varphi), \sin(\theta) \sin(\varphi), \cos(\theta)) \\ \hat{\theta} &= (\cos(\theta) \cos(\varphi), \cos(\theta) \sin(\varphi), -\sin(\theta)) \\ \hat{\varphi} &= (-\sin(\varphi), \cos(\varphi), 0) \end{aligned}$$

podemos reescrever  $d\mathbf{r}$  na forma

$$d\mathbf{r} = dr \hat{\mathbf{r}} + r d\theta \hat{\theta} + r \sin(\theta) d\varphi \hat{\varphi}$$

Dáí identificamos

$$\begin{aligned} \mathbf{e}_1 &= \hat{\mathbf{r}} & \mathbf{e}_2 &= \hat{\theta} & e & \mathbf{e}_3 &= \hat{\varphi} \\ \sigma_1 &= dr & \sigma_2 &= r d\theta & e & \sigma_3 &= r \sin(\theta) d\varphi \end{aligned}$$

Agora note que

$$\sigma_1 \wedge \sigma_2 \wedge \sigma_3 = r^2 \sin(\theta) dr \wedge d\theta \wedge d\varphi$$

é o elemento de volume  $dx \wedge dy \wedge dz$ .

Para encontrarmos a matriz  $\Omega$ , primeiramente aplicamos a derivada exterior ao versor  $\hat{\mathbf{r}}$ :

$$\begin{aligned} d\hat{\mathbf{r}} &= (\cos(\theta) \cos(\varphi) d\theta - \sin(\theta) \sin(\varphi) d\varphi) \hat{\mathbf{i}} + \\ &\quad (\cos(\theta) \sin(\varphi) d\theta + \sin(\theta) \cos(\varphi) d\varphi) \hat{\mathbf{j}} - \sin(\theta) d\theta \hat{\mathbf{k}} \end{aligned}$$

que é

$$d\hat{\mathbf{r}} = 0 \hat{\mathbf{r}} + d\theta \hat{\theta} + \sin(\theta) d\varphi \hat{\varphi}$$

Portanto identificamos

$$\omega_{11} = 0 \quad \omega_{12} = d\theta \quad e \quad \omega_{13} = \sin(\theta) d\varphi$$

De maneira similar, para  $d\hat{\theta}$  e  $d\hat{\varphi}$  encontramos

$$\begin{aligned} d\hat{\theta} &= (-\sin(\theta) \cos(\varphi) d\theta - \cos(\theta) \sin(\varphi) d\varphi) \hat{\mathbf{i}} + \\ &\quad (-\sin(\theta) \sin(\varphi) d\theta + \cos(\theta) \cos(\varphi) d\varphi) \hat{\mathbf{j}} - \cos(\theta) d\theta \hat{\mathbf{k}} \end{aligned}$$

$$d\hat{\varphi} = -\cos(\varphi) d\varphi \hat{\mathbf{i}} - \sin(\varphi) d\varphi \hat{\mathbf{j}} + 0\hat{\mathbf{k}} \quad (71)$$

ou equivalentemente

$$d\hat{\theta} = -d\theta \hat{\mathbf{r}} + 0\hat{\theta} + \cos(\theta) d\varphi \hat{\varphi}$$

Para encontrarmos  $d\hat{\varphi}$  na base  $\{\hat{\mathbf{r}}, \hat{\theta}, \hat{\varphi}\}$ , devemos escrevê-lo em função de  $\hat{\mathbf{r}}$  e  $\hat{\theta}$  de forma que a coordenada em  $\hat{\mathbf{k}}$  se anule. Para isso, multiplicamos  $\hat{\mathbf{r}}$  por  $\sin(\theta)$  e  $\hat{\theta}$  por  $\cos(\theta)$  para então somar:

$$\begin{aligned} \sin(\theta)\hat{\mathbf{r}} + \cos(\theta)\hat{\theta} &= (\sin^2(\theta)\cos(\varphi), \sin^2(\theta)\sin(\varphi), \sin(\theta)\cos(\theta)) + \\ &\quad (\cos^2(\theta)\cos(\varphi), \cos^2(\theta)\sin(\varphi), -\sin(\theta)\cos(\theta)) \end{aligned}$$

$$\begin{aligned} \sin(\theta)\hat{\mathbf{r}} + \cos(\theta)\hat{\theta} &= ((\sin^2(\theta) + \cos^2(\theta))\cos(\varphi), (\sin^2(\theta) + \cos^2(\theta))\sin(\varphi), 0) \\ &= (\cos(\varphi), \sin(\varphi), 0) \end{aligned}$$

que é (71) a menos de um fator  $-d\varphi$  e portanto

$$d\hat{\varphi} = -\sin(\theta) d\varphi \hat{\mathbf{r}} - \cos(\theta) d\varphi \hat{\theta}$$

Com isso, a matriz  $\Omega = [\omega_{ij}]$  fica

$$\Omega = \begin{bmatrix} 0 & d\theta & \sin(\theta) d\varphi \\ -d\theta & 0 & \cos(\theta) d\varphi \\ -\sin(\theta) d\varphi & -\cos(\theta) d\varphi & 0 \end{bmatrix}$$

Note que  $\Omega$  é anti-simétrica, conforme vimos anteriormente.

Cada versor da base ortonormal  $\{\hat{\mathbf{e}}_1, \hat{\mathbf{e}}_2, \hat{\mathbf{e}}_3\}$  pode ser escrito na forma

$$\hat{\mathbf{e}}_i = b_{i1}\hat{\mathbf{i}} + b_{i2}\hat{\mathbf{j}} + b_{i3}\hat{\mathbf{k}}$$

Na notação matricial, isso é

$$\mathbf{e} = B\mathbf{i}$$

onde agora  $B = [b_{ij}]$  e

$$\mathbf{i} = \begin{bmatrix} \hat{\mathbf{i}} \\ \hat{\mathbf{j}} \\ \hat{\mathbf{k}} \end{bmatrix}$$

Dado que a base  $\{\hat{\mathbf{e}}_1, \hat{\mathbf{e}}_2, \hat{\mathbf{e}}_3\}$  é ortonormal, segue que

$$\mathbf{e} \cdot \mathbf{e}^T = [\hat{\mathbf{e}}_i \cdot \hat{\mathbf{e}}_j] = I$$

onde  $[\hat{\mathbf{e}}_i \cdot \hat{\mathbf{e}}_j]$  é a matriz de Gram dos versores  $\hat{\mathbf{e}}_i$ , com a multiplicação dos elementos sendo um produto interno. Mas por outro lado, temos

$$\mathbf{e} \cdot \mathbf{e}^T = (B\mathbf{i}) (\mathbf{i}^T B^T) = B(\mathbf{i} \cdot \mathbf{i}^T) B^T = B I B^T = B B^T$$

e portanto  $B$  é uma matriz ortogonal, ou seja,  $BB^T = I \implies B^{-1} = B^T$ .  
Da equação (70) temos que

$$d\mathbf{r} = \sigma \mathbf{e} = \sigma B \mathbf{i}$$

Entretanto também temos

$$d\mathbf{r} = dx \hat{\mathbf{i}} + dy \hat{\mathbf{j}} + dz \hat{\mathbf{k}} = \begin{bmatrix} dx & dy & dz \end{bmatrix} \cdot \begin{bmatrix} \hat{\mathbf{i}} \\ \hat{\mathbf{j}} \\ \hat{\mathbf{k}} \end{bmatrix}$$

$$d\mathbf{r} = \begin{bmatrix} dx & dy & dz \end{bmatrix} \mathbf{i}$$

Segue disso que

$$\begin{aligned} \begin{bmatrix} dx & dy & dz \end{bmatrix} \mathbf{i} &= \sigma B \mathbf{i} \\ \begin{bmatrix} dx & dy & dz \end{bmatrix} &= \sigma B \end{aligned}$$

ou equivalentemente

$$dx = \sum_{i=1}^3 b_{1i} \sigma_i \quad dy = \sum_{j=1}^3 b_{2j} \sigma_j \quad e \quad dz = \sum_{k=1}^3 b_{3k} \sigma_k$$

Logo

$$\begin{aligned} dx \wedge dy \wedge dz &= \left( \sum_{i=1}^3 b_{1i} \sigma_i \right) \wedge \left( \sum_{j=1}^3 b_{2j} \sigma_j \right) \wedge \left( \sum_{k=1}^3 b_{3k} \sigma_k \right) \\ dx \wedge dy \wedge dz &= \sum_{ijk=1}^3 b_{1i} b_{2j} b_{3k} (\sigma_i \wedge \sigma_j \wedge \sigma_k) \end{aligned}$$

Conforme já vimos na seção (2.1), essa última expressão é equivalente a  $B\sigma_1 \wedge B\sigma_2 \wedge B\sigma_3$ , que por sua vez é equivalente a  $|B|(\sigma_1 \wedge \sigma_2 \wedge \sigma_3)$ , onde  $|B|$  é o determinante de  $B$ . Mas como  $B$  é uma matriz ortogonal, então

$$1 = \det I = \det(BB^{-1}) = (\det B) \cdot (\det B^T) = (\det B)^2$$

e portanto  $\det B = \pm 1$ . Assumindo que  $\sigma_i \wedge \sigma_j \wedge \sigma_k$  forma uma base com orientação positiva, conforme vimos na seção (2.4) por definição uma base positiva se transforma em uma outra base positiva usando uma matriz com determinante positivo. Logo  $\det B = 1$ , implicando que

$$dx \wedge dy \wedge dz = \sigma_1 \wedge \sigma_2 \wedge \sigma_3 \quad (72)$$

O resultado (72) aparece no exemplo (3.8), onde encontramos

$$dx \wedge dy \wedge dz = r^2 \sin(\theta) dr \wedge d\theta \wedge d\varphi$$

Dado  $\mathbf{e} = B\mathbf{i}$ , temos também  $\mathbf{i} = B^{-1}\mathbf{e}$  e portanto

$$d\mathbf{e} = (dB)\mathbf{i} = (dB)B^{-1}\mathbf{e}$$

Mas de (68) sabemos que  $d\mathbf{e} = \Omega\mathbf{e}$  e consequentemente obtemos a matriz anti-simétrica

$$\Omega = (dB)B^{-1}$$

Esse resultado pode ser estendido pelo seguinte teorema:

**Teorema 3.5.** *Se  $A$  for uma matriz ortogonal cujos elementos são funções das coordenadas então  $(dA)A^{-1}$  será uma matriz anti-simétrica.*

*Demonstração.* Dado que  $A$  é ortogonal, então  $A^T A = I$ . Aplicando a derivada exterior em ambos os lados obteremos<sup>9</sup>

$$\begin{aligned} d(AA^T) &= dI \\ (dA)A^T + A(dA^T) &= 0 \\ (dA)A^{-1} + A(dA)^T &= 0 \\ (dA)A^{-1} + ((dA)A^T)^T &= 0 \\ ((dA)A^{-1})^T &= -(dA)A^{-1} \end{aligned}$$

o que mostra que a matriz  $(dA)A^{-1}$  é anti-simétrica. ■

**Teorema 3.6.** *Seja  $A$  for uma matriz cujos elementos são funções das coordenadas definidas em um conjunto  $U$  e  $A$  é ortogonal para um certo ponto  $\mathbf{u}_0$  em  $U$ . Então se  $dA = DA$ , onde  $D$  é uma matriz anti-simétrica, então  $A$  é ortogonal em todo  $U$ .*

*Demonstração.* Seja  $C = A^T A$ . Então

$$\begin{aligned} dC &= d(A^T A) \\ &= (dA^T)A + A^T(dA) \\ &= (DA)^T A + A^T(DA) \\ &= A^T D^T A + A^T DA \\ &= -A^T DA + A^T DA \\ &= 0 \end{aligned}$$

e portanto a matriz  $C = A^T A$  é constante em todo  $U$ . Mas como  $A^T A = I$  para um certo ponto  $\mathbf{u}_0$  em  $U$ , então segue que para qualquer ponto em  $U$  vale  $A^T A = I$  e consequentemente  $A$  é ortogonal em todo  $U$ . ■

---

<sup>9</sup>A derivada exterior se distribui num produto de matrizes semelhante ao produto de funções, já que se  $(AB)_{ij} = \sum_k a_{ik}b_{kj}$  é o elemento da  $i$ -ésima linha e  $j$ -ésima coluna de  $AB$ , então

$$d(AB)_{ij} = \sum_k d(a_{ik}b_{kj}) = \sum_k d(a_{ik})b_{kj} + \sum_k a_{ik}d(b_{kj}) = [(dA)B + A(dB)]_{ij}$$

Dada uma transformação  $\mathbf{u} = A\mathbf{u}_0$ , com  $A$  ortogonal, temos que  $\mathbf{u}_0 = A^{-1}\mathbf{u}$  e então a variação infinitesimal em  $\mathbf{u}$  é dada por

$$d\mathbf{u} = d(A\mathbf{u}_0) = (dA)\mathbf{u}_0 = (dA)A^{-1}\mathbf{u}$$

A nova posição do vetor  $\mathbf{u}$  devido a uma variação infinitesimal  $d\mathbf{u}$  é portanto

$$\mathbf{u} + d\mathbf{u} = \mathbf{u} + (dA)A^{-1}\mathbf{u} = (I + (dA)A^{-1})\mathbf{u}$$

### 3.7 Gradiente, Divergente, Rotacional e Laplaciano

De agora em diante denotaremos  $du \wedge dv$  apenas como  $du dv$ , ficando implícito o produto exterior entre as 1-formas e compactando a notação.

Seja  $\{u, v, w\}$  um conjunto de coordenadas do  $\mathbb{R}^3$ . O vetor posição  $\mathbf{r}$  pode ser descrito como

$$\mathbf{r} = x(u, v, w)\hat{\mathbf{i}} + y(u, v, w)\hat{\mathbf{j}} + z(u, v, w)\hat{\mathbf{k}}$$

Uma variação infinitesimal em uma dessas coordenadas leva  $\mathbf{r}$  a outro ponto próximo. No caso da coordenada  $u$ , o vetor de deslocamento infinitesimal é dado por

$$\frac{\partial \mathbf{r}}{\partial u} = \frac{\partial x}{\partial u}\hat{\mathbf{i}} + \frac{\partial y}{\partial u}\hat{\mathbf{j}} + \frac{\partial z}{\partial u}\hat{\mathbf{k}}$$

Iremos definir  $\hat{\mathbf{e}}_1$  como sendo o versor de  $\frac{\partial \mathbf{r}}{\partial u}$ , ou seja, o vetor que mostra a direção para onde  $\mathbf{r}$  muda quando  $u$  tem uma pequena variação. Então multiplicando essa derivada parcial por alguma função  $\lambda$  de  $u, v$  e  $w$  obteremos  $\hat{\mathbf{e}}_1$ :

$$\hat{\mathbf{e}}_1 = \frac{1}{\lambda} \frac{\partial \mathbf{r}}{\partial u} = \frac{1}{\lambda} \frac{\partial x}{\partial u}\hat{\mathbf{i}} + \frac{1}{\lambda} \frac{\partial y}{\partial u}\hat{\mathbf{j}} + \frac{1}{\lambda} \frac{\partial z}{\partial u}\hat{\mathbf{k}} \quad (73)$$

Analogamente para  $v$  e  $w$  temos

$$\hat{\mathbf{e}}_2 = \frac{1}{\mu} \frac{\partial \mathbf{r}}{\partial v} = \frac{1}{\mu} \frac{\partial x}{\partial v}\hat{\mathbf{i}} + \frac{1}{\mu} \frac{\partial y}{\partial v}\hat{\mathbf{j}} + \frac{1}{\mu} \frac{\partial z}{\partial v}\hat{\mathbf{k}} \quad (74)$$

$$\hat{\mathbf{e}}_3 = \frac{1}{\nu} \frac{\partial \mathbf{r}}{\partial w} = \frac{1}{\nu} \frac{\partial x}{\partial w}\hat{\mathbf{i}} + \frac{1}{\nu} \frac{\partial y}{\partial w}\hat{\mathbf{j}} + \frac{1}{\nu} \frac{\partial z}{\partial w}\hat{\mathbf{k}} \quad (75)$$

para certas funções  $\mu$  e  $\nu$  que respectivamente tornam  $\hat{\mathbf{e}}_2$  e  $\hat{\mathbf{e}}_3$  normais.

Agora note que aplicando a derivada exterior a  $\mathbf{r}$  obteremos

$$d\mathbf{r} = \left( \frac{\partial x}{\partial u} du + \frac{\partial x}{\partial v} dv + \frac{\partial x}{\partial w} dw \right) \hat{\mathbf{i}} + \dots + \left( \frac{\partial z}{\partial u} du + \frac{\partial z}{\partial v} dv + \frac{\partial z}{\partial w} dw \right) \hat{\mathbf{k}}$$

e portanto

$$d\mathbf{r} = \frac{\partial \mathbf{r}}{\partial u} du + \frac{\partial \mathbf{r}}{\partial v} dv + \frac{\partial \mathbf{r}}{\partial w} dw$$

Mas das equações (73), (74) e (75), temos que

$$\frac{\partial \mathbf{r}}{\partial u} = \lambda \hat{\mathbf{e}}_1 \quad \frac{\partial \mathbf{r}}{\partial v} = \mu \hat{\mathbf{e}}_2 \quad \text{e} \quad \frac{\partial \mathbf{r}}{\partial w} = \nu \hat{\mathbf{e}}_3$$

e então

$$d\mathbf{r} = (\lambda du)\hat{\mathbf{e}}_1 + (\mu dv)\hat{\mathbf{e}}_2 + (\nu dw)\hat{\mathbf{e}}_3$$

Comparando essa expressão com  $d\mathbf{r} = \sigma_1\hat{\mathbf{e}}_1 + \sigma_2\hat{\mathbf{e}}_2 + \sigma_3\hat{\mathbf{e}}_3$ , concluímos que

$$\sigma_1 = \lambda du \quad \sigma_2 = \mu dv \quad \text{e} \quad \sigma_3 = \nu dw$$

As coordenadas  $\{u, v, w\}$  são ditas ortogonais se  $\{\hat{\mathbf{e}}_1, \hat{\mathbf{e}}_2, \hat{\mathbf{e}}_3\}$  formarem uma base ortonormal do  $\mathbb{R}^3$ . Supondo que  $\sigma_1\sigma_2\sigma_3$  constitui uma base positiva do espaço das 3-formas, então segue que  $\sigma_1\sigma_2\sigma_3 = dx dy dz$  e então poderemos usar o operador estrela nas 1-formas  $\sigma_i$  da maneira usual que vimos na seção (2.4).

**Exemplo 3.9** (Gradiente). *Dada uma função escalar  $f$  e um conjunto de coordenadas  $\{u, v, w\}$ , temos que*

$$df = \frac{\partial f}{\partial u} du + \frac{\partial f}{\partial v} dv + \frac{\partial f}{\partial w} dw$$

e então

$$df = \frac{1}{\lambda} \frac{\partial f}{\partial u} \sigma_1 + \frac{1}{\mu} \frac{\partial f}{\partial v} \sigma_2 + \frac{1}{\nu} \frac{\partial f}{\partial w} \sigma_3$$

Agora iremos definir<sup>10</sup> uma transformação linear  $\Gamma$  tal que

$$\Gamma(\sigma_i) = \hat{\mathbf{e}}_i$$

Segue disso que

$$\Gamma(df) = \frac{1}{\lambda} \frac{\partial f}{\partial u} \hat{\mathbf{e}}_1 + \frac{1}{\mu} \frac{\partial f}{\partial v} \hat{\mathbf{e}}_2 + \frac{1}{\nu} \frac{\partial f}{\partial w} \hat{\mathbf{e}}_3$$

Iremos definir essa expressão como sendo o gradiente de  $f$ :

$$\nabla f = \Gamma(df) = \frac{1}{\lambda} \frac{\partial f}{\partial u} \hat{\mathbf{e}}_1 + \frac{1}{\mu} \frac{\partial f}{\partial v} \hat{\mathbf{e}}_2 + \frac{1}{\nu} \frac{\partial f}{\partial w} \hat{\mathbf{e}}_3$$

No caso particular das coordenadas esféricas,  $u = r$ ,  $v = \theta$ ,  $w = \varphi$ ,  $\lambda = 1$ ,  $\mu = r$  e  $\nu = r \sin(\theta)$ , no que leva a

$$\nabla f = \frac{\partial f}{\partial r} \hat{\mathbf{r}} + \frac{1}{r} \frac{\partial f}{\partial \theta} \hat{\boldsymbol{\theta}} + \frac{1}{r \sin(\theta)} \frac{\partial f}{\partial \varphi} \hat{\boldsymbol{\varphi}}$$

**Exemplo 3.10** (Divergente). *Seja  $\mathbf{F}$  um campo vetorial dado por*

$$\mathbf{F} = F_1\hat{\mathbf{e}}_1 + F_2\hat{\mathbf{e}}_2 + F_3\hat{\mathbf{e}}_3$$

Aplicando  $\Gamma^{-1}$ , obtemos

$$\Gamma^{-1}(\mathbf{F}) = F_1\sigma_1 + F_2\sigma_2 + F_3\sigma_3$$

---

<sup>10</sup>A transformação  $\Gamma$  está completamente determinada, já que  $du$ ,  $dv$  e  $dw$  são linearmente independentes (e consequentemente as 1-formas  $\sigma_i$  também são).

Agora aplicando o operador estrela:

$$\begin{aligned} * \Gamma^{-1}(\mathbf{F}) &= F_1 \sigma_2 \sigma_3 + F_2 \sigma_3 \sigma_1 + F_3 \sigma_1 \sigma_2 \\ &= (\mu \nu F_1) dv dw + (\lambda \nu F_2) dw du + (\lambda \mu F_3) du dv \end{aligned}$$

Calculando a derivada exterior dessa 2-forma e sabendo que apenas uma das derivadas parciais deve sobreviver em cada termo, ficamos com

$$\begin{aligned} d(*\Gamma^{-1}(\mathbf{F})) &= \frac{\partial}{\partial u}(\mu \nu F_1) du dv dw + \frac{\partial}{\partial v}(\lambda \nu F_2) dv dw du + \frac{\partial}{\partial w}(\lambda \mu F_3) dw du dv \\ &= \left( \frac{\partial}{\partial u}(\mu \nu F_1) + \frac{\partial}{\partial v}(\lambda \nu F_2) + \frac{\partial}{\partial w}(\lambda \mu F_3) \right) du dv dw \\ &= \frac{1}{\lambda \mu \nu} \left( \frac{\partial}{\partial u}(\mu \nu F_1) + \frac{\partial}{\partial v}(\lambda \nu F_2) + \frac{\partial}{\partial w}(\lambda \mu F_3) \right) \sigma_1 \sigma_2 \sigma_3 \end{aligned}$$

Aplicando novamente o operador estrela, obtemos

$$*d(*\Gamma^{-1}(\mathbf{F})) = \frac{1}{\lambda \mu \nu} \left( \frac{\partial}{\partial u}(\mu \nu F_1) + \frac{\partial}{\partial v}(\lambda \nu F_2) + \frac{\partial}{\partial w}(\lambda \mu F_3) \right)$$

Iremos definir essa expressão como sendo o divergente de  $\mathbf{F}$ :

$$\nabla \cdot \mathbf{F} = *d(*\Gamma^{-1}(\mathbf{F})) = \frac{1}{\lambda \mu \nu} \left( \frac{\partial}{\partial u}(\mu \nu F_1) + \frac{\partial}{\partial v}(\lambda \nu F_2) + \frac{\partial}{\partial w}(\lambda \mu F_3) \right)$$

Em coordenadas esféricas, ficamos com

$$\begin{aligned} \nabla \cdot \mathbf{F} &= \frac{1}{r^2 \sin(\theta)} \left( \frac{\partial}{\partial r}(r^2 \sin(\theta) F_r) + \frac{\partial}{\partial \theta}(r \sin(\theta) F_\theta) + \frac{\partial}{\partial \varphi}(r F_\varphi) \right) \\ &= \frac{1}{r^2} \frac{\partial}{\partial r}(r^2 F_r) + \frac{1}{r \sin(\theta)} \frac{\partial}{\partial \theta}(\sin(\theta) F_\theta) + \frac{1}{r \sin(\theta)} \frac{\partial F_\varphi}{\partial \varphi} \end{aligned}$$

**Exemplo 3.11** (Rotacional). Dado o mesmo campo vetorial  $\mathbf{F}$  do exemplo anterior (3.10), temos que

$$\begin{aligned} \Gamma^{-1}(\mathbf{F}) &= F_1 \sigma_1 + F_2 \sigma_2 + F_3 \sigma_3 \\ &= \lambda F_1 du + \mu F_2 dv + \nu F_3 dw \end{aligned}$$

Aplicando a derivada exterior, obtemos

$$\begin{aligned} d(\Gamma^{-1}(\mathbf{F})) &= \frac{\partial}{\partial v}(\lambda F_1) dv du + \frac{\partial}{\partial w}(\lambda F_1) dw du + \frac{\partial}{\partial u}(\mu F_2) du dv + \\ &\quad \frac{\partial}{\partial w}(\mu F_2) dw dv + \frac{\partial}{\partial u}(\nu F_3) du dw + \frac{\partial}{\partial v}(\nu F_3) dv dw \\ d(\Gamma^{-1}(\mathbf{F})) &= \left( \frac{\partial}{\partial v}(\nu F_3) - \frac{\partial}{\partial w}(\mu F_2) \right) dv dw + \left( \frac{\partial}{\partial w}(\lambda F_1) - \frac{\partial}{\partial u}(\nu F_3) \right) dw du + \\ &\quad \left( \frac{\partial}{\partial u}(\mu F_2) - \frac{\partial}{\partial v}(\lambda F_1) \right) du dv \end{aligned}$$

Voltando para as 1-formas  $\sigma_i$ ,

$$\begin{aligned} d(\Gamma^{-1}(\mathbf{F})) &= \frac{1}{\mu\nu} \left( \frac{\partial}{\partial v}(\nu F_3) - \frac{\partial}{\partial w}(\mu F_2) \right) \sigma_2 \sigma_3 + \frac{1}{\lambda\nu} \left( \frac{\partial}{\partial w}(\lambda F_1) - \frac{\partial}{\partial u}(\nu F_3) \right) \sigma_3 \sigma_1 + \\ &\quad \frac{1}{\lambda\mu} \left( \frac{\partial}{\partial u}(\mu F_2) - \frac{\partial}{\partial v}(\lambda F_1) \right) \sigma_1 \sigma_2 \end{aligned}$$

Usando o operador estrela, temos que

$$\begin{aligned} *d(\Gamma^{-1}(\mathbf{F})) &= \frac{1}{\mu\nu} \left( \frac{\partial}{\partial v}(\nu F_3) - \frac{\partial}{\partial w}(\mu F_2) \right) \sigma_1 + \frac{1}{\lambda\nu} \left( \frac{\partial}{\partial w}(\lambda F_1) - \frac{\partial}{\partial u}(\nu F_3) \right) \sigma_2 + \\ &\quad \frac{1}{\lambda\mu} \left( \frac{\partial}{\partial u}(\mu F_2) - \frac{\partial}{\partial v}(\lambda F_1) \right) \sigma_3 \end{aligned}$$

Aplicando  $\Gamma$  nessa expressão, chegamos a

$$\begin{aligned} \Gamma(*d(\Gamma^{-1}(\mathbf{F}))) &= \frac{1}{\mu\nu} \left( \frac{\partial}{\partial v}(\nu F_3) - \frac{\partial}{\partial w}(\mu F_2) \right) \mathbf{e}_1 + \frac{1}{\lambda\nu} \left( \frac{\partial}{\partial w}(\lambda F_1) - \frac{\partial}{\partial u}(\nu F_3) \right) \mathbf{e}_2 + \\ &\quad \frac{1}{\lambda\mu} \left( \frac{\partial}{\partial u}(\mu F_2) - \frac{\partial}{\partial v}(\lambda F_1) \right) \mathbf{e}_3 \end{aligned}$$

Iremos definir esse resultado como sendo o rotacional de  $\mathbf{F}$ :

$$\nabla \times \mathbf{F} = \Gamma(*d(\Gamma^{-1}(\mathbf{F})))$$

$$\begin{aligned} \nabla \times \mathbf{F} &= \frac{1}{\mu\nu} \left( \frac{\partial}{\partial v}(\nu F_3) - \frac{\partial}{\partial w}(\mu F_2) \right) \mathbf{e}_1 + \frac{1}{\lambda\nu} \left( \frac{\partial}{\partial w}(\lambda F_1) - \frac{\partial}{\partial u}(\nu F_3) \right) \mathbf{e}_2 + \\ &\quad \frac{1}{\lambda\mu} \left( \frac{\partial}{\partial u}(\mu F_2) - \frac{\partial}{\partial v}(\lambda F_1) \right) \mathbf{e}_3 \end{aligned}$$

Em coordenadas esféricas, o rotacional é dado por

$$\begin{aligned} \nabla \times \mathbf{F} &= \frac{1}{r^2 \sin(\theta)} \left( \frac{\partial}{\partial \theta}(r \sin(\theta) F_\varphi) - \frac{\partial}{\partial \varphi}(r F_\theta) \right) \hat{\mathbf{r}} + \\ &\quad \frac{1}{r \sin(\theta)} \left( \frac{\partial F_r}{\partial \varphi} - \frac{\partial}{\partial r}(r \sin(\theta) F_\varphi) \right) \hat{\theta} + \frac{1}{r} \left( \frac{\partial}{\partial r}(r F_\theta) - \frac{\partial F_r}{\partial \theta} \right) \hat{\varphi} \\ \nabla \times \mathbf{F} &= \frac{1}{r \sin(\theta)} \left( \frac{\partial}{\partial \theta}(\sin(\theta) F_\varphi) - \frac{\partial F_\theta}{\partial \varphi} \right) \hat{\mathbf{r}} + \\ &\quad \frac{1}{r} \left( \frac{1}{\sin(\theta)} \frac{\partial F_r}{\partial \varphi} - \frac{\partial}{\partial r}(r F_\varphi) \right) \hat{\theta} + \frac{1}{r} \left( \frac{\partial}{\partial r}(r F_\theta) - \frac{\partial F_r}{\partial \theta} \right) \hat{\varphi} \end{aligned}$$

**Exemplo 3.12** (Laplaciano). *Seja  $f$  uma função escalar das coordenadas  $u$ ,  $v$  e  $w$ . Vimos no exemplo (3.9) que*

$$df = \frac{1}{\lambda} \frac{\partial f}{\partial u} \sigma_1 + \frac{1}{\mu} \frac{\partial f}{\partial v} \sigma_2 + \frac{1}{\nu} \frac{\partial f}{\partial w} \sigma_3$$



Aplicando o operador estrela, obtemos

$$\begin{aligned} *df &= \frac{1}{\lambda} \frac{\partial f}{\partial u} \sigma_2 \sigma_3 + \frac{1}{\mu} \frac{\partial f}{\partial v} \sigma_3 \sigma_1 + \frac{1}{\nu} \frac{\partial f}{\partial w} \sigma_1 \sigma_2 \\ &= \frac{\nu \mu}{\lambda} \frac{\partial f}{\partial u} dv dw + \frac{\lambda \nu}{\mu} \frac{\partial f}{\partial v} dw du + \frac{\lambda \mu}{\nu} \frac{\partial f}{\partial w} du dv \end{aligned}$$

Agora usando a derivada exterior, apenas uma derivada parcial deve sobreviver em cada termo, resultando

$$\begin{aligned} d(*df) &= \frac{\partial}{\partial u} \left( \frac{\nu \mu}{\lambda} \frac{\partial f}{\partial u} \right) du dv dw + \frac{\partial}{\partial v} \left( \frac{\lambda \nu}{\mu} \frac{\partial f}{\partial v} \right) dv dw du + \frac{\partial}{\partial w} \left( \frac{\lambda \mu}{\nu} \frac{\partial f}{\partial w} \right) dw du dv \\ &= \left[ \frac{\partial}{\partial u} \left( \frac{\nu \mu}{\lambda} \frac{\partial f}{\partial u} \right) + \frac{\partial}{\partial v} \left( \frac{\lambda \nu}{\mu} \frac{\partial f}{\partial v} \right) + \frac{\partial}{\partial w} \left( \frac{\lambda \mu}{\nu} \frac{\partial f}{\partial w} \right) \right] du dv dw \\ &= \frac{1}{\lambda \mu \nu} \left[ \frac{\partial}{\partial u} \left( \frac{\nu \mu}{\lambda} \frac{\partial f}{\partial u} \right) + \frac{\partial}{\partial v} \left( \frac{\lambda \nu}{\mu} \frac{\partial f}{\partial v} \right) + \frac{\partial}{\partial w} \left( \frac{\lambda \mu}{\nu} \frac{\partial f}{\partial w} \right) \right] \sigma_1 \sigma_2 \sigma_3 \end{aligned}$$

Usando novamente o operador estrela, chegamos à expressão

$$\nabla^2 f = *d(*df) = \frac{1}{\lambda \mu \nu} \left[ \frac{\partial}{\partial u} \left( \frac{\nu \mu}{\lambda} \frac{\partial f}{\partial u} \right) + \frac{\partial}{\partial v} \left( \frac{\lambda \nu}{\mu} \frac{\partial f}{\partial v} \right) + \frac{\partial}{\partial w} \left( \frac{\lambda \mu}{\nu} \frac{\partial f}{\partial w} \right) \right]$$

no qual definiremos como laplaciano de  $f$ , denotado por  $\nabla^2 f$ .

Em coordenadas esféricas, o laplaciano é dado por

$$\begin{aligned} \nabla^2 f &= \frac{1}{r^2 \sin(\theta)} \left[ \frac{\partial}{\partial r} \left( r^2 \sin(\theta) \frac{\partial f}{\partial r} \right) + \frac{\partial}{\partial \theta} \left( \frac{r \sin(\theta)}{r} \frac{\partial f}{\partial \theta} \right) + \frac{\partial}{\partial \varphi} \left( \frac{r}{r \sin(\theta)} \frac{\partial f}{\partial \varphi} \right) \right] \\ &= \frac{1}{r^2} \frac{\partial}{\partial r} \left( r^2 \frac{\partial f}{\partial r} \right) + \frac{1}{r^2 \sin(\theta)} \frac{\partial}{\partial \theta} \left( \sin(\theta) \frac{\partial f}{\partial \theta} \right) + \frac{1}{r^2 \sin^2(\theta)} \frac{\partial^2 f}{\partial \varphi^2} \end{aligned}$$

Em suma, dada uma base ortonormal com orientação positiva  $\{\hat{\mathbf{e}}_1, \hat{\mathbf{e}}_2, \hat{\mathbf{e}}_3\}$  com coordenadas  $\{u, v, w\}$  e de forma que

$$d\mathbf{r} = \sigma_1 \hat{\mathbf{e}}_1 + \sigma_2 \hat{\mathbf{e}}_2 + \sigma_3 \hat{\mathbf{e}}_3$$

então podemos definir uma transformação linear  $\Gamma$  tal que

$$\Gamma(\sigma_i) = \hat{\mathbf{e}}_i$$

e portanto, para uma função escalar  $f$  e um campo vetorial  $\mathbf{F}$  dado por

$$\mathbf{F} = F_1 \hat{\mathbf{e}}_1 + F_2 \hat{\mathbf{e}}_2 + F_3 \hat{\mathbf{e}}_3$$

segue que

$$\nabla f = \Gamma(df) \tag{76}$$

$$\nabla \cdot \mathbf{F} = *d(*\Gamma^{-1}(\mathbf{F})) \tag{77}$$

$$\nabla \times \mathbf{F} = \Gamma[*d(\Gamma^{-1}(\mathbf{F}))] \tag{78}$$

$$\nabla^2 f = *d(*df) \tag{79}$$

Se  $\sigma_1 = \lambda du$ ,  $\sigma_2 = \mu dv$ ,  $\sigma_3 = \nu dw$ , então podemos reescrever essas equações para

$$\nabla f = \frac{1}{\lambda} \frac{\partial f}{\partial u} \hat{\mathbf{e}}_1 + \frac{1}{\mu} \frac{\partial f}{\partial v} \hat{\mathbf{e}}_2 + \frac{1}{\nu} \frac{\partial f}{\partial w} \hat{\mathbf{e}}_3 \quad (80)$$

$$\nabla \cdot \mathbf{F} = \frac{1}{\lambda\mu\nu} \left( \frac{\partial}{\partial u} (\mu\nu F_1) + \frac{\partial}{\partial v} (\lambda\nu F_2) + \frac{\partial}{\partial w} (\lambda\mu F_3) \right) \quad (81)$$

$$\begin{aligned} \nabla \times \mathbf{F} = & \frac{1}{\lambda\mu\nu} \left( \frac{\partial}{\partial v} (\nu F_3) - \frac{\partial}{\partial w} (\mu F_2) \right) \hat{\mathbf{e}}_1 + \frac{1}{\lambda\nu} \left( \frac{\partial}{\partial w} (\lambda F_1) - \frac{\partial}{\partial u} (\nu F_3) \right) \hat{\mathbf{e}}_2 + \\ & \frac{1}{\lambda\mu} \left( \frac{\partial}{\partial u} (\mu F_2) - \frac{\partial}{\partial v} (\lambda F_1) \right) \hat{\mathbf{e}}_3 \end{aligned} \quad (82)$$

$$\nabla^2 f = \frac{1}{\lambda\mu\nu} \left[ \frac{\partial}{\partial u} \left( \frac{\nu\mu}{\lambda} \frac{\partial f}{\partial u} \right) + \frac{\partial}{\partial v} \left( \frac{\lambda\nu}{\mu} \frac{\partial f}{\partial v} \right) + \frac{\partial}{\partial w} \left( \frac{\lambda\mu}{\nu} \frac{\partial f}{\partial w} \right) \right] \quad (83)$$

Uma vez que  $\Gamma$  leva o espaço das 1-formas na base  $\{\sigma_1, \sigma_2, \sigma_3\}$  para o espaço  $\mathbb{R}^3$ , se quisermos encontrar a matriz que representa  $\Gamma$  na base  $\{\hat{\mathbf{i}}, \hat{\mathbf{j}}, \hat{\mathbf{k}}\}$  basta lembrarmos que  $\hat{\mathbf{e}}_i = b_{i1}\hat{\mathbf{i}} + b_{i2}\hat{\mathbf{j}} + b_{i3}\hat{\mathbf{k}}$  e portanto

$$\begin{bmatrix} ? & ? & ? \\ ? & ? & ? \\ ? & ? & ? \end{bmatrix} \cdot \begin{bmatrix} \delta_{i1} \\ \delta_{i2} \\ \delta_{i3} \end{bmatrix} = \begin{bmatrix} b_{i1} \\ b_{i2} \\ b_{i3} \end{bmatrix}$$

Segue disso que a matriz desconhecida que representa  $\Gamma$  é

$$\begin{bmatrix} b_{11} & b_{21} & b_{31} \\ b_{12} & b_{22} & b_{32} \\ b_{13} & b_{23} & b_{33} \end{bmatrix} = B^T$$

que é ortogonal.

As equações do gradiente (76), divergente (77) e laplaciano (79) são automaticamente generalizáveis para  $n$  dimensões. Para o gradiente,  $df$  retornará uma combinação linear de  $n$  1-formas linearmente independentes, no qual  $\Gamma(df)$  será um vetor do  $\mathbb{R}^n$ . Para o divergente,  $*\Gamma^{-1}(\mathbf{F})$  será uma combinação linear de  $\binom{n}{n-1}$  (n-1)-formas, no que  $d(*\Gamma^{-1}(\mathbf{F}))$  será uma n-forma e portanto  $*d(*\Gamma^{-1}(\mathbf{F}))$  será um escalar. Idem para o laplaciano.

Já para o rotacional  $d(\Gamma^{-1}(\mathbf{F}))$  deve retornar uma combinação de linear de  $\binom{n}{2}$  2-formas linearmente independentes, no que  $*d(\Gamma^{-1}(\mathbf{F}))$  será uma combinação de  $\binom{n}{n-2}$  (n-2)-formas. Como só definimos  $\Gamma$  para agir em 1-formas  $\sigma_i$ ,  $\Gamma$  em geral não estará definido para agir em (n-2)-formas, necessitando generalização. Se definirmos  $\Gamma$  para agir usando a equação

$$\Gamma(\sigma_i \sigma_j \dots \sigma_m) = \hat{\mathbf{e}}_i \wedge \hat{\mathbf{e}}_j \wedge \dots \wedge \hat{\mathbf{e}}_m$$

então  $\nabla \times \mathbf{F}$  será um (n-2)-vetor.

Naturalmente há outras operações disponíveis, como por exemplo  $\Gamma(*d(*d(\Gamma^{-1}\mathbf{F})))$  retornará um campo vetorial do  $\mathbb{R}^n$  se  $\mathbf{F} \in \mathbb{R}^n$ . Já se  $n = 2$ , então  $*d(\Gamma^{-1}\mathbf{F})$  será um escalar:

$$\begin{aligned}\Gamma^{-1}(\mathbf{F}) &= F_1\sigma_1 + F_2\sigma_2 \\ &= \lambda F_1 du + \mu F_2 dv\end{aligned}$$

$$\begin{aligned}d(\Gamma^{-1}\mathbf{F}) &= \left[ \frac{\partial}{\partial u}(\mu F_2) - \frac{\partial}{\partial v}(\lambda F_1) \right] du dv \\ &= \frac{1}{\lambda\mu} \left[ \frac{\partial}{\partial u}(\mu F_2) - \frac{\partial}{\partial v}(\lambda F_1) \right] \sigma_1\sigma_2\end{aligned}$$

e portanto

$$*d(\Gamma^{-1}\mathbf{F}) = \frac{1}{\lambda\mu} \left[ \frac{\partial}{\partial u}(\mu F_2) - \frac{\partial}{\partial v}(\lambda F_1) \right]$$

Em coordenadas polares, podemos ver que  $\sigma_1 = dr$ ,  $\sigma_2 = r d\theta$ . Logo fazendo  $u = r$  e  $v = \theta$  então obteremos  $\lambda = 1$ ,  $\mu = r$  e

$$*d(\Gamma^{-1}\mathbf{F}) = \frac{1}{r} \left[ \frac{\partial}{\partial r}(r F_\theta) - \frac{\partial F_r}{\partial \theta} \right]$$

Essa expressão é exatamente  $(\nabla \times \mathbf{F})_z$  em coordenadas cilíndricas no  $\mathbb{R}^3$ .

### 3.8 Superfícies

Agora iremos fixar a coordenada correspondente ao versor  $\hat{\mathbf{e}}_3$ , no que resulta em um subdomínio do  $\mathbb{R}^3$  dada por uma superfície, na qual designaremos de  $\Sigma$ . Sabendo que  $d\mathbf{r}$  está dentro do plano tangente gerado por  $\hat{\mathbf{e}}_1$  e  $\hat{\mathbf{e}}_2$ , então  $d\mathbf{r}$  não tem componente na direção  $\hat{\mathbf{e}}_3$  e consequentemente  $\sigma_3 = 0$ . De  $d\mathbf{r} = \sigma\mathbf{e}$  temos

$$d\mathbf{r} = \sigma_1\hat{\mathbf{e}}_1 + \sigma_2\hat{\mathbf{e}}_2 \quad (84)$$

Uma vez que as coordenadas são ortogonais, segue que  $\hat{\mathbf{e}}_3$  será normal a toda a superfície  $\Sigma$ . Conforme  $\mathbf{r}$  se move em  $\Sigma$ , o versor  $\hat{\mathbf{e}}_3$  acompanhará a superfície. O conjunto dos versores normais à superfície  $\Sigma$  forma uma imagem com um formato esférico, denominado de imagem esférica de  $\Sigma$ . Por exemplo, na superfície cilíndrica paralela ao eixo  $z$  o versor  $\hat{\rho}$  gerará uma circunferência no plano  $xy$ .

Sabendo que a matriz  $\Omega$ , relacionada à variação dos eixos  $\hat{\mathbf{e}}_i$  em  $\Sigma$  é anti-simétrica,

$$\Omega^T = -\Omega$$

então podemos escrever essa matriz na forma

$$\Omega = \begin{bmatrix} 0 & \omega_3 & -\omega_1 \\ -\omega_3 & 0 & -\omega_2 \\ \omega_1 & \omega_2 & 0 \end{bmatrix}$$

Da equação  $d\mathbf{e} = \Omega\mathbf{e}$  vamos obter

$$\begin{bmatrix} d\hat{\mathbf{e}}_1 \\ d\hat{\mathbf{e}}_2 \\ d\hat{\mathbf{e}}_3 \end{bmatrix} = \begin{bmatrix} 0 & \omega_3 & -\omega_1 \\ -\omega_3 & 0 & -\omega_2 \\ \omega_1 & \omega_2 & 0 \end{bmatrix} \cdot \begin{bmatrix} \hat{\mathbf{e}}_1 \\ \hat{\mathbf{e}}_2 \\ \hat{\mathbf{e}}_3 \end{bmatrix}$$

que nos fornece as equações

$$d\hat{\mathbf{e}}_1 = \omega_3\hat{\mathbf{e}}_2 - \omega_1\hat{\mathbf{e}}_3 \quad (85)$$

$$d\hat{\mathbf{e}}_2 = -\omega_3\hat{\mathbf{e}}_1 - \omega_2\hat{\mathbf{e}}_3 \quad (86)$$

$$d\hat{\mathbf{e}}_3 = \omega_1\hat{\mathbf{e}}_1 + \omega_2\hat{\mathbf{e}}_2 \quad (87)$$

Já da relação  $d\Omega = \Omega^2$ , temos

$$\begin{aligned} \begin{bmatrix} 0 & d\omega_3 & -d\omega_1 \\ -d\omega_3 & 0 & -d\omega_2 \\ d\omega_1 & d\omega_2 & 0 \end{bmatrix} &= \begin{bmatrix} 0 & \omega_3 & -\omega_1 \\ -\omega_3 & 0 & -\omega_2 \\ \omega_1 & \omega_2 & 0 \end{bmatrix} \cdot \begin{bmatrix} 0 & \omega_3 & -\omega_1 \\ -\omega_3 & 0 & -\omega_2 \\ \omega_1 & \omega_2 & 0 \end{bmatrix} \\ &= \begin{bmatrix} -\omega_3\omega_3 - \omega_1\omega_1 & -\omega_1\omega_2 & -\omega_3\omega_2 \\ -\omega_2\omega_1 & -\omega_3\omega_3 - \omega_2\omega_2 & \omega_3\omega_1 \\ -\omega_2\omega_3 & \omega_1\omega_3 & -\omega_1\omega_1 - \omega_2\omega_2 \end{bmatrix} \\ &= \begin{bmatrix} 0 & -\omega_1\omega_2 & -\omega_3\omega_2 \\ -\omega_2\omega_1 & 0 & \omega_3\omega_1 \\ -\omega_2\omega_3 & \omega_1\omega_3 & 0 \end{bmatrix} \end{aligned}$$

e portanto

$$d\omega_1 = -\omega_2\omega_3 \quad (88)$$

$$d\omega_2 = \omega_1\omega_3 \quad (89)$$

$$d\omega_3 = -\omega_1\omega_2 \quad (90)$$

E quanto a  $d\sigma = \sigma\Omega$ ,

$$\begin{aligned} \begin{bmatrix} d\sigma_1 & d\sigma_2 & d\sigma_3 \end{bmatrix} &= \begin{bmatrix} \sigma_1 & \sigma_2 & \sigma_3 \end{bmatrix} \cdot \begin{bmatrix} 0 & \omega_3 & -\omega_1 \\ -\omega_3 & 0 & -\omega_2 \\ \omega_1 & \omega_2 & 0 \end{bmatrix} \\ &= \begin{bmatrix} -\sigma_2\omega_3 & \sigma_1\omega_3 & -\sigma_1\omega_1 - \sigma_2\omega_2 \end{bmatrix} \\ &= \begin{bmatrix} \omega_3\sigma_2 & -\omega_3\sigma_1 & \omega_1\sigma_1 + \omega_2\sigma_2 \end{bmatrix} \end{aligned}$$

e então

$$d\sigma_1 = \omega_3\sigma_2 \quad (91)$$

$$d\sigma_2 = -\omega_3\sigma_1 \quad (92)$$

$$0 = \omega_1\sigma_1 + \omega_2\sigma_2 \quad (93)$$

As equações (84) a (93) fornecem várias informações sobre a superfície  $\Sigma$ , tais como a sua curvatura, elemento de área, entre outras.

Uma vez que  $\sigma_1\sigma_2$  é uma base das 2-formas em  $\Sigma$ , podemos escrever  $\omega_1\omega_2$  em termos dessa base:

$$\omega_1\omega_2 = K\sigma_1\sigma_2 \quad (94)$$

A função  $K$  é denominada de curvatura gaussiana de um determinado ponto na superfície  $\Sigma$ . Essa quantidade está relacionada à curvatura intrínseca de  $\Sigma$ , ou seja, referente às medidas feitas dentro e ao longo dessa superfície, sem levar em conta o espaço onde  $\Sigma$  reside (que é o espaço  $\mathbb{R}^3$ ). Por exemplo, quando  $K \neq 0$  numa região da superfície, podemos nos deparar com uma circunferência de raio  $R$  dentro dessa região que pode ter uma circunferência e área diferentes de  $2\pi R$  e  $\pi R^2$  respectivamente quando medidos dentro da própria superfície.

Já a 2-forma  $\sigma_1\omega_2 - \sigma_2\omega_1$  também pode ser escrita na base  $\sigma_1\sigma_2$ ,

$$\sigma_1\omega_2 - \sigma_2\omega_1 = 2H\sigma_1\sigma_2 \quad (95)$$

onde a função  $H$  é denominado de curvatura média de um ponto em  $\Sigma$ . Ela está relacionada à curvatura extrínseca, isto é, associada a como  $\Sigma$  está imersa no espaço onde reside.

Analogamente, dado que  $\{\sigma_1, \sigma_2\}$  é uma base das 1-formas em  $\Sigma$ , podemos escrever  $\omega_1$  e  $\omega_2$  como combinações lineares de  $\sigma_1$  e  $\sigma_2$ :

$$\omega_1 = p\sigma_1 + q\sigma_2$$

$$\omega_2 = r\sigma_1 + s\sigma_2$$

onde  $p$ ,  $q$ ,  $r$  e  $s$  são funções em  $\Sigma$ . Mas devido à equação (93),

$$0 = \omega_1\sigma_1 + \omega_2\sigma_2$$

temos que

$$\begin{aligned} 0 &= (p\sigma_1 + q\sigma_2)\sigma_1 + (r\sigma_1 + s\sigma_2)\sigma_2 \\ &= (-q + r)\sigma_1\sigma_2 \end{aligned}$$

Como  $\sigma_1\sigma_2$  é uma base das 2-formas em  $\Sigma$ ,  $\sigma_1\sigma_2 \neq 0$  e portanto  $r = q$ . Logo

$$\omega_1 = p\sigma_1 + q\sigma_2 \quad (96)$$

$$\omega_2 = q\sigma_1 + s\sigma_2 \quad (97)$$

Substituindo essas equações em (94), vamos obter

$$\begin{aligned} K\sigma_1\sigma_2 &= (p\sigma_1 + q\sigma_2)(q\sigma_1 + s\sigma_2) \\ &= (ps - q^2)\sigma_1\sigma_2 \end{aligned}$$

e conseqüentemente

$$K = ps - q^2 \quad (98)$$

Agora substituindo  $\omega_1$  e  $\omega_2$  em (95), temos

$$\begin{aligned} 2H\sigma_1\sigma_2 &= \sigma_1(q\sigma_1 + s\sigma_2) - \sigma_2(p\sigma_1 + q\sigma_2) \\ &= (s + p)\sigma_1\sigma_2 \end{aligned}$$

e então

$$2H = p + s \quad (99)$$

Agora note que as equações (96) e (97) podem ser escritas na forma matricial

$$\begin{bmatrix} \omega_1 \\ \omega_2 \end{bmatrix} = \begin{bmatrix} p & q \\ q & s \end{bmatrix} \cdot \begin{bmatrix} \sigma_1 \\ \sigma_2 \end{bmatrix}$$

Os autovalores da matriz  $2 \times 2$  satisfazem

$$\begin{vmatrix} p - \mu & q \\ q & s - \mu \end{vmatrix} = 0 \quad (100)$$

na qual chegamos na equação do segundo grau

$$\mu^2 - (p + s)\mu + ps - q^2 = 0$$

As fórmulas de Viète afirmam que as duas soluções  $\mu_1$  e  $\mu_2$  dessa equação satisfazem

$$\mu_1 + \mu_2 = -\frac{-(p + s)}{1} = p + s$$

e

$$\mu_1 \cdot \mu_2 = \frac{ps - q^2}{1} = ps - q^2$$

Comparando esses resultados com (98) e (99), concluímos que

$$K = \mu_1 \cdot \mu_2 \quad \text{e} \quad 2H = \mu_1 + \mu_2$$

Os autovalores  $\mu_1$  e  $\mu_2$  são denominados de curvaturas principais de  $\Sigma$ .

Para encontrarmos  $\omega_3$ , usamos uma das equações (91) e (92),

$$d\sigma_1 = \omega_3\sigma_2 \quad \text{ou} \quad d\sigma_2 = -\omega_3\sigma_1$$

E da equação (90), temos

$$d\omega_3 = -\omega_1\omega_2 = -K\sigma_1\sigma_2$$

Isso significa que basta sabermos  $\sigma_1$  e  $\sigma_2$  que já temos condições de encontrar a curvatura gaussiana  $K$  da superfície  $\Sigma$ .

**Exemplo 3.13.** *Seja a curva no plano  $xy$  dada por*

$$\begin{aligned} x(\theta) &= \cos(\theta) + \ln(\tan(\theta/2)) \\ y(\theta) &= \sin(\theta) \end{aligned}$$

*onde  $\pi/2 < \theta < \pi$ . A revolução dessa curva em torno do eixo  $x$  gera uma superfície  $\Sigma$ , na qual pode ser vista na figura 2.*

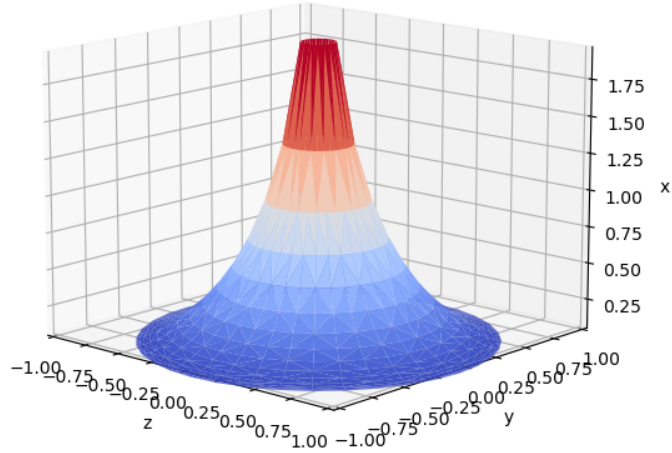


Figura 2: Superfície  $\Sigma$  no intervalo  $\pi/2 < \theta < \pi$ .

A parametrização dessa revolução pode ser dada pelo ângulo  $\varphi$  em relação ao eixo  $y$  e introduz uma nova coordenada  $z$ . Então  $z = y \sin(\varphi) = \sin(\theta) \sin(\varphi)$  e deve aparecer um fator  $\cos(\varphi)$  em  $y$ . A superfície  $\Sigma$ , portanto, é dada por

$$\begin{aligned} x(\theta, \varphi) &= \cos(\theta) + \ln(\tan(\theta/2)) \\ y(\theta, \varphi) &= \sin(\theta) \cos(\varphi) \\ z(\theta, \varphi) &= \sin(\theta) \sin(\varphi) \end{aligned}$$

onde  $\pi/2 < \theta < \pi$  e  $0 \leq \varphi \leq 2\pi$ . Conforme vimos na seção anterior, podemos encontrar  $\sigma_1$  e  $\sigma_2$  referentes a  $\theta$  e  $\varphi$  usando as equações

$$\sigma_1 = \lambda d\theta \quad e \quad \sigma_2 = \mu d\varphi$$

onde

$$\begin{aligned} \lambda &= \left| \frac{\partial \mathbf{r}}{\partial \theta} \right| \quad e \quad \mu = \left| \frac{\partial \mathbf{r}}{\partial \varphi} \right| \\ \mathbf{r} &= x(\theta, \varphi) \hat{\mathbf{i}} + y(\theta, \varphi) \hat{\mathbf{j}} + z(\theta, \varphi) \hat{\mathbf{k}} \end{aligned}$$

Portanto

$$\begin{aligned} \frac{\partial \mathbf{r}}{\partial \theta} &= \left( -\sin(\theta) + \frac{1}{2} \sec^2(\theta/2) \cot(\theta/2) \right) \hat{\mathbf{i}} + \cos(\varphi) \cos(\theta) \hat{\mathbf{j}} + \sin(\varphi) \cos(\theta) \hat{\mathbf{k}} \\ &= \cos(\theta) \cot(\theta) \hat{\mathbf{i}} + \cos(\varphi) \cos(\theta) \hat{\mathbf{j}} + \sin(\varphi) \cos(\theta) \hat{\mathbf{k}} \end{aligned}$$

$$\begin{aligned}
\lambda(\theta, \varphi) &= \sqrt{\cos^2(\theta) \cot^2(\theta) + \cos^2(\theta)(\cos^2(\varphi) + \sin^2(\varphi))} \\
&= \sqrt{\cos^2(\theta) \cot^2(\theta) + \cos^2(\theta)} \\
&= \sqrt{\cos^2(\theta)(\cot^2(\theta) + 1)} \\
&= \sqrt{\cos^2(\theta) \csc^2(\theta)} \\
&= \cot(\theta)
\end{aligned}$$

E para a coordenada  $\varphi$ ,

$$\frac{\partial \mathbf{r}}{\partial \varphi} = -\sin(\theta) \sin(\varphi) \hat{\mathbf{j}} + \sin(\theta) \cos(\varphi) \hat{\mathbf{k}}$$

$$\begin{aligned}
\mu(\theta, \varphi) &= \sqrt{\sin^2(\theta)(\sin^2(\varphi) + \cos^2(\varphi))} \\
&= \sin(\theta)
\end{aligned}$$

Logo temos

$$\sigma_1 = \cot(\theta) d\theta \quad e \quad \sigma_2 = \sin(\theta) d\varphi$$

Sabendo que  $d\sigma_2 = -\omega_3 \sigma_1$ , podemos encontrar<sup>11</sup>  $\omega_3$ :

$$\begin{aligned}
d\sigma_2 &= d(\sin(\theta) d\varphi) \\
-\omega_3 \sigma_1 &= d(\sin(\theta)) d\varphi \\
-\omega_3 \cot(\theta) d\theta &= \cos(\theta) d\theta d\varphi
\end{aligned}$$

e então  $\omega_3 = \sin(\theta) d\varphi$ . Portanto

$$\begin{aligned}
K \sigma_1 \sigma_2 &= -d\omega_3 \\
K \cot(\theta) \sin(\theta) d\theta d\varphi &= -d(\sin(\theta) d\varphi) \\
K \cos(\theta) d\theta d\varphi &= -\cos(\theta) d\theta d\varphi
\end{aligned}$$

Segue disso que a curvatura gaussiana da superfície  $\Sigma$  é  $K = -1$ .

**Exemplo 3.14.** No exemplo (3.6) vimos que um toro tem parametrização dada por

$$\begin{aligned}
x &= d \cos(\varphi) + r \cos(\theta) \cos(\varphi) \\
y &= d \sin(\varphi) + r \cos(\theta) \sin(\varphi) \\
z &= r \sin(\theta)
\end{aligned}$$

onde  $r$  é o raio do tubo e  $d$  é a distância entre o centro do tubo e a origem. A variação do vetor posição  $\mathbf{r}$  em relação a  $\theta$  é dada por

$$\frac{\partial \mathbf{r}}{\partial \theta} = -r \sin(\theta) \cos(\varphi) \hat{\mathbf{i}} - r \sin(\theta) \sin(\varphi) \hat{\mathbf{j}} + r \cos(\theta) \hat{\mathbf{k}} \quad (101)$$

---

<sup>11</sup>Poderíamos usar  $d\sigma_1 = \omega_3 \sigma_2$ , mas a única informação que obteríamos é que ou  $\omega_3 = 0$  ou  $\omega_3$  é proporcional a  $d\varphi$ , já que  $d\sigma_1 = d(\cot(\theta) d\theta) = 0$ .



Podemos verificar que

$$\lambda = \left| \frac{\partial \mathbf{r}}{\partial \theta} \right| = r$$

Também iremos encontrar que

$$\frac{\partial \mathbf{r}}{\partial \varphi} = (-d \sin(\varphi) - r \cos(\theta) \sin(\varphi)) \hat{\mathbf{i}} + (d \cos(\varphi) + r \cos(\theta) \cos(\varphi)) \hat{\mathbf{j}} \quad (102)$$

$$\mu = \left| \frac{\partial \mathbf{r}}{\partial \varphi} \right| = d + r \cos(\theta)$$

e portanto

$$\sigma_1 = r \, d\theta \quad e \quad \sigma_2 = (d + r \cos(\theta)) \, d\varphi$$

Sabendo que  $d\sigma_1 = 0$ , usaremos a equação  $d\sigma_2 = -\omega_3 \sigma_1$ :

$$\begin{aligned} -r\omega_3 \, d\theta &= d((d + r \cos(\theta)) \, d\varphi) \\ -r\omega_3 \, d\theta &= -r \sin(\theta) \, d\theta \, d\varphi \end{aligned}$$

Segue disso que  $\omega_3 = -\sin(\theta) \, d\varphi$ . Sabendo que  $K\sigma_1\sigma_2 = -d\omega_3$ ,

$$\begin{aligned} K \cdot r(d + r \cos(\theta)) \, d\theta \, d\varphi &= -d(-\sin(\theta) \, d\varphi) \\ &= \cos(\theta) \, d\theta \, d\varphi \end{aligned}$$

Logo

$$\begin{aligned} K \cdot r(d + r \cos(\theta)) &= \cos(\theta) \\ K(\theta) &= \frac{\cos(\theta)}{rd + r^2 \cos(\theta)} \end{aligned} \quad (103)$$

Lembrando que  $\theta$  é o ângulo entre a projeção do ponto em  $\Sigma$  e o plano  $xy$  (no sentido de fora para dentro do toro), temos que  $K > 0$  quando  $-\pi/2 < \theta < \pi/2$ ,  $K < 0$  quando  $\pi/2 < \theta < 3\pi/2$  e  $K = 0$  quando  $\theta = \pm\pi/2$ . Ou seja, a curvatura gaussiana do toro é negativa na parte interna, é positiva na parte externa e é zero nos pontos intermediários.

No exemplo (2.1) vimos que o produto vetorial entre dois vetores ordinários  $\mathbf{u}$  e  $\mathbf{v}$  do  $\mathbb{R}^3$  pode ser dado por

$$\mathbf{u} \times \mathbf{v} = *(\mathbf{u} \wedge \mathbf{v})$$

De maneira semelhante, o produto vetorial entre vetores cujas componentes são  $p$ -formas é dado por

$$d\mathbf{u} \times d\mathbf{v} = *(d\mathbf{u} \wedge d\mathbf{v})$$

onde o operador estrela  $*$  e o produto exterior  $\wedge$  dessa equação age apenas nos versores  $\hat{\mathbf{e}}_i$ , enquanto que a multiplicação entre as componentes é o produto exterior entre  $p$ -formas.

O produto vetorial de  $d\mathbf{r}$  com ele próprio é

$$\begin{aligned} d\mathbf{r} \times d\mathbf{r} &= *[(\sigma_1 \hat{\mathbf{e}}_1 + \sigma_2 \hat{\mathbf{e}}_2) \wedge (\sigma_1 \hat{\mathbf{e}}_1 + \sigma_2 \hat{\mathbf{e}}_2)] \\ &= *[\sigma_1 \sigma_2 \hat{\mathbf{e}}_1 \hat{\mathbf{e}}_2 + \sigma_2 \sigma_1 \hat{\mathbf{e}}_2 \hat{\mathbf{e}}_1] \\ &= *[\sigma_1 \sigma_2 \hat{\mathbf{e}}_1 \hat{\mathbf{e}}_2 + \sigma_1 \sigma_2 \hat{\mathbf{e}}_1 \hat{\mathbf{e}}_2] \\ &= *[2\sigma_1 \sigma_2 \hat{\mathbf{e}}_1 \hat{\mathbf{e}}_2] \\ &= 2\sigma_1 \sigma_2 \hat{\mathbf{e}}_3 \end{aligned}$$

A 2-forma  $\sigma_1 \sigma_2$  é o elemento de área de  $\Sigma$ , da mesma forma que  $\sigma_1 \sigma_2 \sigma_3$  era o elemento de volume no  $\mathbb{R}^3$ . Já o elemento  $\sigma_1 \sigma_2 \hat{\mathbf{e}}_3$  é o vetor de área de  $\Sigma$ , que é o elemento  $d\mathbf{a}$  que aparece nas integrais de superfície. Por exemplo, em coordenadas esféricas com  $r = R$  constante, temos

$$d\mathbf{a} = \sigma_\theta \sigma_\varphi \hat{\mathbf{r}} = R^2 \sin(\theta) d\theta d\varphi \hat{\mathbf{r}}$$

Note também que o produto vetorial de um elemento com ele próprio só é zero quando a multiplicação das componentes comuta, o que não é o desse caso.

De maneira semelhante, temos

$$\begin{aligned} d\mathbf{r} \times d\hat{\mathbf{e}}_3 &= *[(\sigma_1 \hat{\mathbf{e}}_1 + \sigma_2 \hat{\mathbf{e}}_2) \wedge (\omega_1 \hat{\mathbf{e}}_1 + \omega_2 \hat{\mathbf{e}}_2)] \\ &= (\sigma_1 \omega_2 - \sigma_2 \omega_1) \hat{\mathbf{e}}_3 \\ &= 2H \hat{\mathbf{e}}_3 \end{aligned}$$

e também

$$\begin{aligned} d\hat{\mathbf{e}}_3 \times d\hat{\mathbf{e}}_3 &= *[(\omega_1 \hat{\mathbf{e}}_1 + \omega_2 \hat{\mathbf{e}}_2) \wedge (\omega_1 \hat{\mathbf{e}}_1 + \omega_2 \hat{\mathbf{e}}_2)] \\ &= 2\omega_1 \omega_2 \hat{\mathbf{e}}_3 \\ &= 2K \hat{\mathbf{e}}_3 \end{aligned}$$

Agora seja  $f$  uma função bem comportada definida em uma superfície  $\Sigma$ . Podemos construir uma generalização do operador laplaciano que esteja restrito em  $\Sigma$ , isto é, apenas os pontos de  $\Sigma$  são avaliados na variação de  $f$ . Esse operador recebe o nome de operador de Laplace-Beltrami, denotado por  $\Delta f$ . Ele é definido da mesma maneira que o laplaciano,

$$\Delta f = (d * df)$$

mas com a diferença de que  $df$  agora é função apenas de  $\sigma_1$  e  $\sigma_2$ :

$$df = c_1 \sigma_1 + c_2 \sigma_2$$

E então

$$\begin{aligned} *df &= c_1 \sigma_2 - c_2 \sigma_1 \\ d * df &= d(c_1 \sigma_2 - c_2 \sigma_1) \end{aligned}$$

A última equação pode ser expressa em termos da base  $\sigma_1 \sigma_2$ , onde o fator multiplicativo é justamente  $\Delta f$ :

$$d * df = (\Delta f) \sigma_1 \sigma_2$$

## 4 Formas diferenciais e integração

### 4.1 Variedades

Seja o toro dado por

$$\begin{aligned}x &= d \cos(\varphi) + r \cos(\theta) \cos(\varphi) \\y &= d \sin(\varphi) + r \cos(\theta) \sin(\varphi) \\z &= r \sin(\theta)\end{aligned}$$

onde  $d$  e  $r$  são constantes positivas tais que  $d > r$ . A coordenada  $\theta$  é o ângulo entre o ponto  $(x, y, z)$  e a sua projeção no plano  $xy$ , orientado de fora para dentro do toro pelo lado superior. Já  $\varphi$  é o ângulo azimutal de  $(x, y, z)$  em relação ao eixo  $x$ . Iremos denotar  $M$  como o subconjunto do  $\mathbb{R}^3$  formado pelos pontos que constituem o toro. Agora seja  $W$  o subconjunto do  $\mathbb{R}^2$  dado por  $\{(x, y) \in \mathbb{R}^2, d - r \leq \sqrt{x^2 + y^2} \leq d + r\}$ . Em coordenadas polares,  $W$  pode ser descrito por  $(s, \beta)$ , onde  $s = \sqrt{x^2 + y^2}$ ,  $x = s \cos(\beta)$  e  $y = s \sin(\beta)$ . Vendo o toro de cima, podemos associar cada ponto de  $W$  a um ponto da parte superior do toro (incluindo os equadores interno e externo) usando a projeção dessa superfície no plano  $xy$ . Denotaremos essa parte superior de  $U$ , que é o subconjunto de  $M$  com  $z \geq 0$ . Essa associação cria um mapa que chamaremos de  $\phi_{up}$  e pode ser escrito como

$$\begin{aligned}\phi_{up} : W &\mapsto U, \\ \phi_{up}(s, \beta) &= (x(\theta^\uparrow(s, \beta), \varphi^\uparrow(s, \beta)), y(\theta^\uparrow(s, \beta), \varphi^\uparrow(s, \beta)), z(\theta^\uparrow(s, \beta), \varphi^\uparrow(s, \beta)))\end{aligned}$$

onde

$$\begin{aligned}\theta^\uparrow(s, \beta) &= \frac{\pi}{2} + \arcsin\left(\frac{d-s}{r}\right) \\ \varphi^\uparrow(s, \beta) &= \beta\end{aligned}$$

com  $d - r \leq s \leq d + r$  e  $-\pi < \beta \leq \pi$ . O toro e sua projeção pode ser vista na figura 3.

Da mesma forma, podemos criar um outro mapa  $\phi_{down}$  que associa os pontos inferiores<sup>12</sup> do toro  $V$  com o mesmo conjunto  $U$ , mas agora com

$$\begin{aligned}\theta^\downarrow(s, \beta) &= \pi + \arccos\left(\frac{d-s}{r}\right) \\ \varphi^\downarrow(s, \beta) &= \beta\end{aligned}$$

A união dos mapas  $\phi_{up}$  e  $\phi_{down}$  cobrem toda a superfície do toro e portanto formam um *atlas* dele, isto é, os dois mapas são suficientes para descrever qualquer ponto do toro. Os equadores interno e externo são comuns aos dois mapas, e como ambos usam o mesmo conjunto  $W$ , a correspondência de um para um dos pontos nesses equadores é trivial.

---

<sup>12</sup>Note que  $U \cup V = M$ .

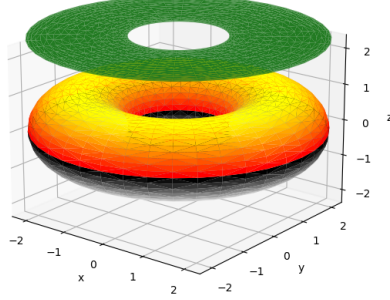


Figura 3: Toro com  $d = 2$  e  $r = 1$ . A parte superior (domínio  $U$ ) está colorida de vermelho e amarelo enquanto que a parte inferior (domínio  $V$ ) está colorido de cinza. Em cima do toro, colorido de verde, está a projeção da parte inferior ou superior do toro no plano  $xy$ , que é o subconjunto  $W$ .

Os mapas  $\phi_{up}$  e  $\phi_{down}$  também admitem inversa. No caso  $\phi_{up}^{-1} : U \mapsto W$  e  $\phi_{down}^{-1} : V \mapsto W$  são dados por

$$\begin{aligned}\phi_{up}^{-1}(x, y, z) &= (x, y) & (x, y, z) \in V^+ \\ \phi_{down}^{-1}(x, y, z) &= (x, y) & (x, y, z) \in V^-\end{aligned}$$

em coordenadas cartesianas.

O fato de conseguirmos determinar relações unívocas entre quaisquer pontos de uma sub-região do toro ( $U$  ou  $V$ ) com um subconjunto de um espaço euclidiano  $W \subseteq \mathbb{R}^2$  usando funções bijetoras contínuas  $\phi_{up}$  e  $\phi_{down}$  com inversas  $\phi_{up}^{-1}$  e  $\phi_{down}^{-1}$  também contínuas mostra que estabelecemos um *homeomorfismo* entre os dois conjuntos ( $W$  com  $U$  ou também  $W$  com  $V$ ).

Agora seja um ponto  $p$  qualquer do toro, isto é,  $p \in M$ . Se  $U$  for um subconjunto aberto de  $M$  que inclua  $p$ , então dizemos que  $U$  é uma vizinhança de  $p$ . Se a vizinhança  $U$  de  $p$  for conexa e pequena o suficiente, podemos estabelecer um homeomorfismo entre  $U$  e um subconjunto de um espaço euclidiano, que no caso é o  $\mathbb{R}^2$ . Para os pontos fora dos equadores, isso pode ser feito usando os mapas descritos anteriormente. Agora note que nenhum dos dois mapas,  $\phi_{up}$  e  $\phi_{down}$  vão sozinhos cobrir completamente uma vizinhança conexa  $U_0$  de um ponto que fica em um dos equadores. Porém nesse caso podemos sempre criar um novo mapa que é a projeção lateral da superfície no qual o equador se encontra, de forma que possa cobrir toda a vizinhança  $U_0$  e estabelecer um outro homeomorfismo com um subconjunto do  $\mathbb{R}^2$ , que seria o plano  $yz$  ou  $xz$ . Isso significa que todos os pontos do toro possuem alguma vizinhança tal que é homeomórfica com algum subconjunto aberto<sup>13</sup> de um espaço euclidiano.

<sup>13</sup>Com a adição dos mapas laterais para cada equador, podemos restringir  $W$  de forma que não cubra os equadores ( $d - r < s < d + r$ ) e assim  $W$  seja um conjunto aberto do  $\mathbb{R}^2$ .

Essa característica não é única dos toros, pois outros espaços topológicos tais como superfícies esféricas, retângulos, discos e curvas parametrizadas que não se cruzam do tipo  $(x_1(t), \dots, x_n(t))$  com  $x_i(t)$  contínuas também possuem a propriedade de que todos os pontos que os compõe possuem uma vizinhança que é homeomórfica com algum subconjunto aberto do  $\mathbb{R}^n$ . Isso nos motiva à seguinte definição:

**Definição 4.1** (Variedades). *Um espaço topológico  $M$  é denominado de variedade se todos os pontos que o compõe possuem uma vizinhança que é homeomorfa a um subconjunto aberto de um espaço euclidiano.*

*Se em um determinado ponto  $p \in M$  a menor dimensão do espaço euclidiano tal que é homeomórfica à sua vizinhança é  $n$ , então dizemos que a variedade  $M$  tem dimensão local  $n$  no ponto  $p$ . Se todos os pontos de  $M$  tiverem a mesma dimensão local  $n$ , então denominamos  $M$  de variedade  $n$ -dimensional, ou de variedade de dimensão  $n$ .*

Dada uma variedade de dimensão  $n$ , uma vez que cada ponto possui alguma vizinhança homeomórfica ao  $\mathbb{R}^n$ , segue que são necessários  $n$  parâmetros para localizar esse ponto nessa vizinhança.

O toro  $M$  descrito anteriormente é uma variedade de dimensão dois porque qualquer homeomorfismo de um espaço euclidiano com uma vizinhança de qualquer um dos pontos necessita que esse espaço seja pelo menos o  $\mathbb{R}^2$ , não sendo possível cobrir uma vizinhança usando apenas a reta real  $\mathbb{R}$  ou apenas por um ponto (dimensão zero).

#### 4.1.1 Diferenciabilidade

Dada  $M$  uma variedade de dimensão  $n$ , a junção dos mapas que fazem homeomorfismo com  $\mathbb{R}^n$  e que conjuntamente cobrem todos os pontos formam um atlas de  $M$ . Sejam  $U$  e  $V$  subconjuntos abertos de  $M$  que possuem pontos em comum (isto é,  $U \cap V \neq \emptyset$ ). Segue que dois mapas homeomórficos  $\phi : U \mapsto \mathbb{R}^n$  e  $\psi : V \mapsto \mathbb{R}^n$  pertencentes a esse atlas possuem um domínio em comum, que é  $U \cap V$ . Uma ilustração disso é mostrado na figura 4. Os mapas também são denotados por  $(U, \phi)$  e  $(V, \psi)$ .

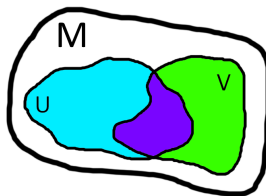


Figura 4: Dois subconjuntos  $U$  e  $V$  da variedade  $M$  possuem uma região em comum  $U \cap V$  representado pela cor violeta.

Um exemplo é o caso do toro, em que  $U$  pode ser a parte superior do toro (não incluindo os equadores) e  $V$  uma lateral da superfície externa (excluindo

os pontos em que  $z = \pm r$ ). Evidentemente há uma região em comum entre  $U$  e  $V$  que são os pontos dessa lateral com  $z \in (0, r)$ . E então  $\phi$  leva os pontos superiores do toro à projeção  $xy$  enquanto que  $\psi$  leva os pontos da lateral externa à projeção  $xz$  ou  $yz$ , se essa lateral for paralela a um dos eixos  $x$  ou  $y$  respectivamente. A região  $U \cap V$  é ilustrada na figura 5.

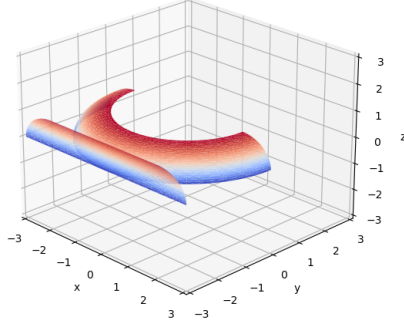


Figura 5: Região do toro no qual  $U \cap V$ . O subconjunto do  $\mathbb{R}^2$  no qual é homeomórfico no domínio  $U \cap V$  aparece ao lado esquerdo.

Qualquer ponto na região em comum  $U \cap V$  pode ser aplicado tanto por  $\phi$  quanto por  $\psi$ . De uma outra perspectiva, esses pontos podem ser uma ponte intermediária entre a imagem de  $\phi$  e de  $\psi$ . No caso  $\phi^{-1}$  leva a imagem de  $\phi$  dessa região até um ponto em  $U \cap V$  e então aplicamos  $\psi$  para levar esse ponto até a imagem de  $\psi$ . Essa passagem é representada pela composta  $\psi \circ \phi^{-1} : \phi(U \cap V) \mapsto \psi(U \cap V)$ . Como  $\phi$  e  $\psi^{-1}$  são homeomorfismos,  $\psi \circ \phi^{-1}$  também é. A função  $\psi \circ \phi^{-1}$  é denominada de *mapa de transição*.

Agora seja  $f : M \mapsto \mathbb{R}$  uma função real sobre a variedade  $M$ . Podemos levar a imagem  $\phi(U \cap V)$  até  $U \cap V$  usando  $\phi^{-1}$  e então aplicar  $f$ , no que resulta na composta  $f \circ \phi^{-1}$ . Analogamente podemos construir  $f \circ \psi^{-1}$ . Se  $M$  for uma variedade de dimensão  $n$ , então as imagens  $\phi(U \cap V)$  e  $\psi(U \cap V)$  podem ser descritas usando  $n$  parâmetros, chamados de coordenadas locais. Iremos denotar as coordenadas em  $\phi(U \cap V)$  de  $x^i$  e as coordenadas de  $\psi(U \cap V)$  de  $y^j$ . Com base no mapa de transição  $\psi \circ \phi^{-1}$ , há uma relação entre essas coordenadas locais, no qual pode ser expressa por

$$x^i = x^i(y^1, y^2, \dots, y^n) \quad \text{e} \quad y^j = y^j(x^1, x^2, \dots, x^n)$$

Disso pode surgir a necessidade de saber como que  $f$  se comporta em relação às coordenadas locais, e isso envolve derivadas de  $f$  em  $x^i$  e em  $y^j$ . Se  $f \circ \phi^{-1}$  e  $f \circ \psi^{-1}$  forem diferenciáveis pelo menos até primeira ordem, isso é possível. Mas mesmo assim, isso não garante que possa existir uma regra da cadeia entre  $x^i$  e  $y^j$ . Usando as propriedades de composição podemos escrever  $f \circ \phi^{-1}$  na forma

$$f \circ \phi^{-1} = (f \circ \psi^{-1}) \circ (\psi \circ \phi^{-1})$$

Então usar a regra da cadeia na derivada de  $f \circ \phi^{-1}$  em  $x^i$  requer que o mapa de transição  $\psi \circ \phi^{-1}$  seja diferenciável. Por exemplo, se isso for verdade até à primeira ordem, então as derivadas parciais  $\frac{\partial y^j}{\partial x^i}$  e  $\frac{\partial x^i}{\partial y^j}$  existem e a regra da cadeia (de primeira ordem) também.

Com base nisso, introduzimos o conceito de *atlas diferenciável* de  $M$ , no qual é um atlas de  $M$  composto por mapas tais que as transições entre eles sejam todos diferenciáveis (se tal atlas existir). Isso significa que se  $f$  for diferenciável nas coordenadas  $x^i$  em  $U \cap V$ , então pela regra da cadeia  $f$  também será diferenciável em  $y^j$  na região  $U \cap V$ .

Agora suponha que uma variedade  $M$  de dimensão  $n$  suporte um atlas diferenciável. Podemos adicionar um novo mapa  $(U_0, \phi_0)$  a ele. Se o novo atlas com esse mapa continua sendo um atlas diferenciável (isto é, as transições dos mapas já existentes com  $(U_0, \phi_0)$  são diferenciáveis), então dizemos que o mapa  $(U_0, \phi_0)$  é *diferencialmente compatível* com tal atlas. O conjunto de todos os mapas de  $M$  diferencialmente compatíveis formam um *atlas máximo* de  $M$ .

De agora em diante iremos trabalhar apenas em variedades que admitem um atlas máximo, o que nos motiva à seguinte definição:

**Definição 4.2** (Variedade diferenciável). *Uma variedade diferenciável é uma variedade dotada de um atlas máximo.*

Uma função  $f : M \rightarrow \mathbb{R}$  é dita ser diferenciável em um ponto  $p$  de uma variedade diferenciável  $M$  se as derivadas de  $f \circ \phi^{-1}$  existirem para qualquer mapa  $\phi$  do atlas máximo que cubra o ponto  $p$ . Uma função é dita suave se ela é diferenciável até a ordem que precisarmos.

#### 4.1.2 Orientabilidade

Seja  $M$  uma variedade diferenciável e  $(U, \phi)$  um mapa do atlas máximo com coordenadas  $x^i$ . Dado que as coordenadas  $x^i$  são independentes entre si, segue que

$$\frac{\partial x^i}{\partial x^k} = \delta_k^i$$

Usando a regra da cadeia, temos

$$\sum_j \frac{\partial x^i}{\partial y^j} \frac{\partial y^j}{\partial x^k} = \delta_k^i$$

Fazendo  $a_{ij} = \frac{\partial x^i}{\partial y^j}$  e  $b_{jk} = \frac{\partial y^j}{\partial x^k}$ , obtemos uma equação matricial

$$\sum_j a_{ij} b_{jk} = \delta_k^i$$

ou então  $AB = I$ , onde  $A = [a_{ij}]$  e  $B = [b_{jk}]$ . Isso significa que  $\det(AB) = \det(A)\det(B) = \det(I) = 1$ , ou seja,  $\det(A) \neq 0$  e  $\det(B) \neq 0$ . Mas  $A$  e  $B$  são

justamente as matrizes jacobianas

$$A = \begin{bmatrix} \frac{\partial x^1}{\partial y^1} & \cdots & \frac{\partial x^1}{\partial y^n} \\ \vdots & \ddots & \vdots \\ \frac{\partial x^n}{\partial y^1} & \cdots & \frac{\partial x^n}{\partial y^n} \end{bmatrix} \quad \text{e} \quad B = \begin{bmatrix} \frac{\partial y^1}{\partial x^1} & \cdots & \frac{\partial y^1}{\partial x^n} \\ \vdots & \ddots & \vdots \\ \frac{\partial y^n}{\partial x^1} & \cdots & \frac{\partial y^n}{\partial x^n} \end{bmatrix}$$

Segue disso que a independência entre as coordenadas locais dos mapas garante um jacobiano  $\frac{\partial(x^1, \dots, x^n)}{\partial(y^1, \dots, y^n)} = \det(A)$  não-nulo entre as coordenadas de dois mapas. Como os mapas de transição são diferenciáveis pelo menos até primeira ordem, então o jacobiano é uma função contínua que não tem raízes. Pelo teorema do valor intermediário, não é possível que o jacobiano troque de sinal, já que se isso acontecesse, teria que se anular em algum ponto. Portanto o jacobiano ou é sempre positivo ou sempre negativo.

Sabemos que o determinante muda de sinal ao trocar uma coluna pela outra, então a ordem das coordenadas é importante. Quando o jacobiano é positivo, dizemos que o mapa de transição preserva a orientação. Uma variedade dimensional é dita *orientável* quando admite um atlas composto de mapas de transição que preservam a orientação, também chamado de atlas orientado.

**Exemplo 4.1** (Circunferência). *Seja  $M$  o subconjunto do  $\mathbb{R}^2$  constituído pelos pontos  $(x, y)$  que satisfazem  $x^2 + y^2 = a^2$ . Esse conjunto forma uma circunferência de raio  $a$  centrado na origem. Agora iremos criar um mapa  $\phi_{up} : U \mapsto (-a, a)$ , onde  $U$  é o subconjunto de  $M$  cujos elementos satisfazem  $y > 0$ . Definiremos  $\phi_{up}$  por*

$$\phi_{up}(x, y) = x \quad (y > 0)$$

e que cuja inversa  $\phi_{up}^{-1}$  é dada por

$$\phi_{up}^{-1}(x) = (x, \sqrt{a^2 - x^2})$$

Como  $\phi_{up}$  é bijetora, é contínua e tem inversa contínua, então  $\phi_{up}$  forma um homeomorfismo entre  $U$  e um subconjunto aberto dos reais  $\mathbb{R}$ .

De maneira totalmente análoga, definiremos outros três mapas,  $\phi_{right}$ ,  $\phi_{down}$  e  $\phi_{left}$

$$\phi_{right}(x, y) = y \quad (x > 0)$$

$$\phi_{down}(x, y) = x \quad (y < 0)$$

$$\phi_{left}(x, y) = y \quad (x < 0)$$

com inversas dadas por

$$\phi_{right}^{-1}(y) = (\sqrt{a^2 - y^2}, y)$$

$$\phi_{down}^{-1}(x) = (x, -\sqrt{a^2 - x^2})$$

$$\phi_{left}^{-1}(y) = (-\sqrt{a^2 - y^2}, y)$$



Esses quatro mapas cobrem todo o conjunto  $M$  e portanto formam um atlas de  $M$ . E como todos são homeomórficos com algum subconjunto de  $\mathbb{R}$ , segue que  $M$  é uma variedade de dimensão 1.

Os mapas de transição são quatro e cada um corresponde a um quadrante do plano  $\mathbb{R}^2$ . Por exemplo  $\phi_{up} \circ \phi_{right}^{-1}$  é dado por

$$\phi_{up} \circ \phi_{right}^{-1}(y) = \phi_{up}(\sqrt{a^2 - y^2}, y) = \sqrt{a^2 - y^2}$$

Agora percebemos que o jacobiano

$$\frac{d}{dy} \phi_{up} \circ \phi_{right}^{-1}(y) = \frac{dx}{dy} = -\frac{y}{\sqrt{a^2 - y^2}}$$

é negativo para todo  $y$  na região de interseção  $y \in (0, a)$ . Como a circunferência possui dimensão 1, não temos o luxo de trocar coordenadas de posição, já que só existe uma. Isso significa que esse atlas não pode ser orientado, mas não implica que a circunferência seja não-orientável. Ao invés disso, iremos escolher novos mapas  $\phi_-$  e  $\phi_+$  dados por

$$\phi_-(x, y) = \frac{y}{a + x} \quad e \quad \phi_+(x, y) = -\frac{y}{a - x}$$

Denotando  $s$  a coordenada local da imagem de  $\phi_-$  e  $t$  a coordenada relacionada a  $\phi_+$ , temos

$$s = \frac{y}{a + x} \quad e \quad t = -\frac{y}{a - x} \quad (104)$$

O significado de  $s$  é a inclinação da reta (em relação ao eixo  $x$ ) que passa pelo ponto  $(-a, 0)$  e em  $(x, y) \in M$ , como pode ser visto na figura 6. Já  $t$

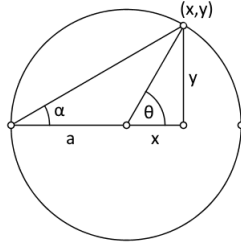


Figura 6: O parâmetro  $s$  é a tangente do ângulo  $\alpha$ .

é a inclinação da reta (em relação ao eixo  $x$ ) que passa em  $(a, 0)$  e em  $(x, y)$ . Podemos observar que  $\phi_-$  cobre todos os pontos da circunferência exceto  $(-a, 0)$  de maneira unívoca, enquanto que  $\phi_+$  faz o mesmo exceto em  $(a, 0)$ . Então ambos formam um atlas da circunferência. Em seus respectivos domínios, vemos que ambos os mapas são contínuos. Ambos  $s$  e  $t$  podem assumir quaisquer valores reais. O domínio em comum entre  $\phi_-$  e  $\phi_+$  são todos os pontos da circunferência exceto  $(-a, 0)$  e  $(a, 0)$ .

Usando o fato de que  $x^2 + y^2 = a^2$  e usando a primeira expressão de (104), chegamos na equação

$$a^2 - x^2 = s^2(a + x)^2$$

Uma das soluções da equação do segundo grau para  $x(s)$  é  $x(s) = -a$  na qual não nos serve por não ser uma inversa adequada. A outra solução é

$$x(s) = a \cdot \frac{1 - s^2}{1 + s^2}$$

Substituindo esse resultado em  $y^2 = a^2 - x^2$ , para  $y \geq 0$  obtemos

$$y(s) = a \cdot \frac{2s}{1 + s^2}$$

Portanto a inversa de  $\phi_-$  é

$$\phi_-^{-1}(s) = \left( a \cdot \frac{1 - s^2}{1 + s^2}, \quad a \cdot \frac{2s}{1 + s^2} \right)$$

que é uma função contínua. Logo concluímos que  $\phi_-$  é um homeomorfismo com  $\mathbb{R}$ . De maneira totalmente análoga, podemos mostrar que o mapa  $\phi_+$  também é.

O mapa de transição  $t(s)$  ou  $s(t)$  pode ser obtido diretamente de (104) ao multiplicar uma equação pela outra:

$$st = -\frac{y^2}{(a+x)(a-x)} = -\frac{a^2 - x^2}{a^2 - x^2} = -1$$

e portanto

$$t(s) = -\frac{1}{s}$$

O jacobiano é

$$\frac{dt}{ds} = \frac{1}{s^2}$$

que é sempre positivo na região do domínio em comum ( $t \neq 0$  e  $s \neq 0$ ). Com isso, concluímos que o atlas formado por  $\phi_-$  e  $\phi_+$  é orientado e portanto a circunferência é orientável.

### 4.1.3 Vetores tangentes

Seja  $f : M \mapsto \mathbb{R}$  uma função suave na variedade diferenciável orientável  $M$  de dimensão  $n$ . Seja também  $U$  um subconjunto aberto de  $M$  no qual um ponto  $p \in M$  lhe pertence e  $x^i$  sendo suas coordenadas locais. Uma parametrização dessas coordenadas pode ser dada por  $y^j$  em um domínio  $V$  tal que  $x^i(y^j) \in U$  e no qual a regra da cadeia entre essas coordenadas existe e é contínua. Podemos obter  $f$  pela parametrização fazendo  $f(x^i(y^j))$ . Com isso, temos que

$$\frac{\partial f}{\partial y^j} = \sum_{i=1}^n \frac{\partial f}{\partial x^i} \frac{\partial x^i}{\partial y^j} = \left( \sum_{i=1}^n \frac{\partial x^i}{\partial y^j} \frac{\partial}{\partial x^i} \right) f$$

No somatório nos deparamos com um elemento matricial  $a_j^i = \frac{\partial x^i}{\partial y^j}$ , de maneira que

$$\frac{\partial f}{\partial y^j} = \left( \sum_{i=1}^n a_j^i \frac{\partial}{\partial x^i} \right) f$$

Isso significa que o operador diferencial  $\frac{\partial}{\partial y^j}$  pode ser construído como uma combinação linear de outros operadores  $\frac{\partial}{\partial x^i}$ :

$$\frac{\partial}{\partial y^j} = \sum_{i=1}^n a_j^i \frac{\partial}{\partial x^i} \quad (105)$$

Com base nisso, podemos afirmar que os operadores diferenciais em  $x^i$  formam uma base de um espaço vetorial  $T$  de dimensão  $n^{14}$ .

Agora suponha que a parametrização  $y^j$  tenha  $n$  variáveis independentes e o seu domínio  $V$  seja um subconjunto aberto de  $M$  no qual contém o ponto  $p$  referido no início. Então os diferenciais  $\frac{\partial}{\partial y^j}$  também formam uma base de  $T$  e  $a_j^i$  se torna o jacobiano entre  $x^i$  e  $y^j$ . Com isso, suponha que as derivadas em  $y^j$  sejam dadas pela equação (105). Então a jacobiana  $A = a_j^i$  é a matriz mudança de base das derivadas em  $x^i$  para as derivadas em  $y^j$ .

Dado um operador diferencial qualquer  $\mathbf{v} \in T$ , ele pode ser escrito nas duas bases:

$$\mathbf{v} = \sum_{i=1}^n u^i \frac{\partial}{\partial x^i} = \sum_{j=1}^n w^j \frac{\partial}{\partial y^j} \quad (106)$$

onde  $u^i$  e  $w^j$  são as coordenadas de  $\mathbf{v}$  em suas respectivas bases. Usando (105), obtemos

$$\begin{aligned} \mathbf{v} &= \sum_{j=1}^n w^j \sum_{i=1}^n a_j^i \frac{\partial}{\partial x^i} \\ &= \sum_{i=1}^n \left( \sum_{j=1}^n w^j a_j^i \right) \frac{\partial}{\partial x^i} \end{aligned}$$

Comparando esse resultado com (106) e sabendo que os elementos da base são linearmente independentes entre si, chegamos na equação

$$u^i = \sum_{j=1}^n w^j a_j^i$$

---

<sup>14</sup>A independência entre as coordenadas garante que esses elementos são linearmente independentes entre si. No caso do  $\mathbb{R}^3$ , se em algum ponto de uma superfície as suas duas coordenadas forem múltiplas uma da outra, isso resulta em uma região pontiaguda e o jacobiano se anula ou fica indefinido nesse ponto.

Se  $X$  for a matriz coluna contendo as coordenadas  $u^i$  e  $Y$  a matriz com as coordenadas  $w^j$ , concluímos que

$$X = AY$$

ou então<sup>15</sup>

$$A^{-1}X = Y$$

Pela definição (1.10), temos que os vetores  $\frac{\partial}{\partial x^i}$  são contravariantes, o que justifica usarmos o índice superior para as coordenadas  $u^i$  ou  $w^j$  de  $\mathbf{v}$ .

Considere o ponto  $p$  no qual as coordenadas locais  $x^i$  são dadas por  $(x^1, \dots, x^n)|_p = (c^1, \dots, c^n)$ . Seja  $\mathbf{F}^0(M)$  o conjunto de todas as funções suaves do tipo  $M \mapsto \mathbb{R}$ . Na região  $U$  estão definidos os operadores diferenciais  $\frac{\partial}{\partial x^i}|_p$ , onde agora essas derivadas são calculadas no ponto  $p$ . Segue disso que aplicar esses operadores em alguma função  $f \in \mathbf{F}^0(M)$ ,  $\frac{\partial f}{\partial x^i}|_p$ , retornará um número real. Essas derivadas parciais em  $p$  nos lembra dos vetores tangentes da seção 3.2, o que nos motiva à seguinte definição:

**Definição 4.3** (Vetores tangentes). *Um operador  $\mathbf{v} : \mathbf{F}^0(M) \mapsto \mathbb{R}$  é denominado de vetor tangente em  $p$  se  $\mathbf{v}$  satisfazer as seguintes propriedades para quaisquer  $f$  e  $g$  de  $\mathbf{F}^0(M)$ :*

1.  $\mathbf{v}(af + bg) = a\mathbf{v}(f) + b\mathbf{v}(g)$ ,  $\forall a, b \in \mathbb{R}$ ;
2.  $\mathbf{v}(f \cdot g) = g(p)\mathbf{v}(f) + f(p)\mathbf{v}(g)$ .

Podemos observar que os operadores  $\frac{\partial}{\partial x^i}|_p$  de fato satisfazem ambas as propriedades, no que podemos chamá-los de vetores tangentes.

A totalidade dos vetores tangentes em  $p$  forma um espaço vetorial que denotaremos de  $T_p M$ . Além disso, o conjunto  $\left\{ \frac{\partial}{\partial x^i}|_p \right\}$  forma uma base desse espaço.

Se  $f = c$  for uma função de  $\mathbf{F}^0(M)$  onde  $c$  é uma constante, então para um vetor tangente  $\mathbf{v}$  e uma outra função qualquer  $g \in \mathbf{F}^0(M)$  temos

$$\mathbf{v}(f \cdot g) = g(p)\mathbf{v}(f) + f(p)\mathbf{v}(g)$$

Mas  $f$  é constante e então  $\mathbf{v}(f \cdot g) = \mathbf{v}(c \cdot g) = c\mathbf{v}(g)$ . Logo

$$\begin{aligned} c\mathbf{v}(g) &= g(p)\mathbf{v}(f) + f(p)\mathbf{v}(g) \\ &= g(p)\mathbf{v}(f) + c\mathbf{v}(g) \end{aligned}$$

$$g(p)\mathbf{v}(f) = 0$$

---

<sup>15</sup>Vimos na seção anterior que o determinante da jacobiana é diferente de zero e portanto  $A^{-1}$  existe.

Como isso é válido para qualquer função  $g$  de  $\mathbf{F}^0(M)$ , segue que

$$\mathbf{v}(f) = 0$$

Isso significa que todos os vetores tangentes em  $p$  possuem a propriedade das derivadas de que aplicá-los em uma função constante resulta em zero.

A matriz jacobiana responsável por mudar as coordenadas de uma base de vetores tangentes para outra no ponto  $p$  agora é dada por  $A = [a_j^i]$ , onde

$$a_j^i = \left. \frac{\partial x^i}{\partial y^j} \right|_p.$$

Denotando  $\mathbf{r} = (x^1, \dots, x^n)$  como sendo um ponto qualquer de  $U$  em termos das coordenadas locais  $x^i$ , a expansão em série de Taylor até primeira ordem de uma função  $f \in \mathbf{F}^0(M)$  é dada por

$$f(\mathbf{r}) = f(\mathbf{c}) + \sum_{i=1}^n \left. \frac{\partial f}{\partial x^i} \right|_p (x^i - c^i)$$

onde  $\mathbf{c} = (c^1, \dots, c^n)$  representa o ponto  $p$ . Aplicando um vetor tangente  $\mathbf{v}$  em  $f$  obteremos

$$\mathbf{v}(f) = \mathbf{v}(f(\mathbf{c})) + \sum_{i=1}^n \left. \frac{\partial f}{\partial x^i} \right|_p \mathbf{v}(x^i - c^i)$$

Denotando  $\mathbf{v}(x^i - c^i) = \mathbf{v}(x^i) = v^i$  e sabendo que  $\mathbf{v}(f(\mathbf{c})) = 0$ , temos

$$\begin{aligned} \mathbf{v}(f) &= \sum_{i=1}^n v^i \left. \frac{\partial f}{\partial x^i} \right|_p \\ &= \left( \sum_{i=1}^n v^i \left. \frac{\partial}{\partial x^i} \right|_p \right) f \end{aligned}$$

Como isso é válido para qualquer  $f$ , temos a representação do vetor tangente  $\mathbf{v}$  em  $p$  em termos da base  $\left\{ \left. \frac{\partial}{\partial x^i} \right|_p \right\}$ :

$$\mathbf{v} = \sum_{i=1}^n v^i \left. \frac{\partial}{\partial x^i} \right|_p$$

Sabendo que esse resultado é análogo para qualquer outro ponto  $p$  da variedade  $M$ , podemos definir um campo vetorial em  $M$  onde em cada ponto  $p$  da variedade está definido um vetor tangente nele e esses vetores são suaves na variedade, isto é, variações infinitesimais em um ponto de  $M$  são acompanhados por variações também infinitesimais dos vetores tangentes. Nas coordenadas locais de  $U$  podemos escrever o campo vetorial  $\mathbf{v}(\mathbf{r})$  na forma

$$\mathbf{v}(\mathbf{r}) = \sum_{i=1}^n v^i(\mathbf{r}) \frac{\partial}{\partial x^i}$$

## 4.2 Formas diferenciais

Conforme vimos na seção anterior, denotamos  $F^0(M)$  o conjunto de todas as funções suaves na variedade diferenciável  $M$ . Agora também dizemos que os elementos desse conjunto são denominados de 0-formas e que  $F^0(M)$  é o espaço das formas de grau zero em  $M$ .

Seja  $p$  um ponto em  $M$ . Sejam  $U$  e  $V$  subconjuntos abertos não-vazios de  $M$  em que ambos são uma vizinhança de  $p$  com coordenadas locais  $x^i$  e  $y^j$  respectivamente. Definimos as 1-formas em  $p$  como sendo objetos  $\omega$  que podem ser escritos nas bases  $\{dx^i\}$  e  $\{dy^j\}$ ,

$$\omega = \sum_{i=1}^n u_i dx^i = \sum_{j=1}^n w_j dy^j \quad (107)$$

onde as coordenadas  $u_i$  e  $w_j$  se transformam pela equação

$$u_i = \sum_{j=1}^n w_j b_i^j \quad (108)$$

com  $b_i^j = \frac{\partial y^j}{\partial x^i} \Big|_p = \frac{\partial}{\partial x^i} \Big|_p y^j$ .

Podemos realizar a transformação inversa de (108) ao multiplicar ambos os lados por  $a_k^i$  e aplicar um somatório em  $i$ :

$$\sum_{i=1}^n u_i a_k^i = \sum_{i=1}^n \sum_{j=1}^n w_j b_i^j a_k^i = \sum_{j=1}^n \left( \sum_{i=1}^n b_i^j a_k^i \right) w_j$$

Mas  $A = [a_k^i]$  é a matriz inversa de  $B = [b_i^j]$ , uma vez que

$$\sum_{i=1}^n b_i^j a_k^i = \sum_{i=1}^n \frac{\partial y^j}{\partial x^i} \frac{\partial x^i}{\partial y^k} \Big|_p = \frac{\partial y^j}{\partial y^k} \Big|_p = \delta_k^j$$

e portanto

$$\sum_{i=1}^n u_i a_k^i = \sum_{j=1}^n \delta_k^j w_j = w_k$$

Isso significa que a matriz  $A = [a_k^i]$  usada<sup>16</sup> para levar as bases  $\frac{\partial}{\partial x^i}$  para  $\frac{\partial}{\partial y^j}$  é a mesma usada para levar as coordenadas na base  $dx^i$  para  $dy^j$ . Ou seja, pela definição (1.11) as 1-formas em  $p$  são vetores covariantes, ou covetores.

Agora seja  $\mathbf{e}_i = \frac{\partial}{\partial x^i} \Big|_p$  um vetor tangente em  $p$ . Então

$$\mathbf{e}_i(y^j) = \frac{\partial}{\partial x^i} \Big|_p y^j = b_i^j$$

---

<sup>16</sup>Lembrando da equação (105) que  $\frac{\partial}{\partial y^j} = \sum_{i=1}^n a_j^i \frac{\partial}{\partial x^i}$ .

Da equação (108) temos

$$u_i = \sum_{j=1}^n w_j \mathbf{e}_i(y^j)$$

Substituindo em (107) na base  $dx^i$ , ficamos com

$$\omega = \sum_{i=1}^n \left( \sum_{j=1}^n w_j \mathbf{e}_i(y^j) \right) dx^i = \sum_{j=1}^n w_j \left( \sum_{i=1}^n \mathbf{e}_i(y^j) dx^i \right)$$

Comparando com (107) na base  $dy^j$  e sabendo que as 1-formas em  $p$  são linearmente independentes, então

$$dy^j = \sum_{i=1}^n \mathbf{e}_i(y^j) dx^i \quad (109)$$

Agora iremos definir uma relação bilinear dada por

$$\langle dx^k, \mathbf{e}_i \rangle = \frac{\partial}{\partial x^i} \Big|_p x^k = \delta_i^k \quad (110)$$

de maneira que a base  $\{\mathbf{e}_1, \mathbf{e}_2, \dots, \mathbf{e}_n\}$  seja o dual da base  $\{dx^1, dx^2, \dots, dx^n\}$  e vice-versa.

Além disso, aplicando essa relação na equação (109) com o vetor tangente em  $p$   $\mathbf{e}_k$  teremos

$$\langle dy^j, \mathbf{e}_k \rangle = \sum_{i=1}^n \mathbf{e}_i(y^j) \langle dx^i, \mathbf{e}_k \rangle = \sum_{i=1}^n \mathbf{e}_i(y^j) \delta_k^i = \mathbf{e}_k(y^j)$$

e portanto

$$dy^j = \sum_{i=1}^n \langle dy^j, \mathbf{e}_i \rangle dx^i$$

Multiplicando ambos os lados por  $w_j$  e aplicando uma somatória em  $j$ , iremos obter um resultado que vale para qualquer 1-forma  $\omega$  em  $p$ :

$$\omega = \sum_{j=1}^n w_j dy^j = \sum_{i=1}^n \left\langle \sum_{j=1}^n w_j dy^j, \mathbf{e}_i \right\rangle dx^i = \sum_{i=1}^n \langle \omega, \mathbf{e}_i \rangle dx^i$$

O produto exterior entre  $q$  1-formas em  $p$  geram  $q$ -formas em  $p$ . Com isso, podemos definir  $q$ -formas em uma variedade diferenciável  $M$  ao associar uma  $q$ -forma em  $p$  para cada ponto  $p$  de  $M$  de maneira que as suas coordenadas variem suavemente em  $M$ . Por exemplo, para uma  $q$ -forma  $\omega$  em  $M$  dada por

$$\omega = \sum_H u_H(\mathbf{r}) dx^H \quad H = \{h_1, \dots, h_q\}$$

necessita-se que  $u_H(\mathbf{r})$  sejam funções suaves. O conjunto desses objetos formam  $\mathbf{F}^q(M)$ , que é o espaço vetorial das  $q$ -formas em  $M$ . O produto exterior de uma

$q$ -forma com uma  $p$ -forma gera uma  $(p + q)$ -forma, que é obtida ao realizar o produto exterior entre as formas para cada ponto de  $M$ .

Sabendo que

$$dx^k = \sum_{i=1}^n \delta_i^k dx^i = \sum_{i=1}^n \frac{\partial x^k}{\partial x^i} dx^i = \left( \sum_{i=1}^n dx^i \frac{\partial}{\partial x^i} \right) x^k$$

podemos definir uma derivada exterior  $d$  dado (na base das coordenadas em  $x^i$ ) por

$$d = \sum_{i=1}^n dx^i \frac{\partial}{\partial x^i}$$

no qual leva uma  $p$ -forma para uma  $(p + 1)$ -forma do seguinte modo:

$$d(f dx^H) = \left( \sum_{i=1}^n dx^i \frac{\partial}{\partial x^i} \right) f dx^H = \sum_{i=1}^n \frac{\partial f}{\partial x^i} dx^i \wedge dx^H = df \wedge dx^H$$

Para uma  $p$ -forma mais geral  $\omega$  dada por

$$\omega = \sum_H a_H dx^H$$

temos que

$$\begin{aligned} d\omega &= \left( \sum_{i=1}^n dx^i \frac{\partial}{\partial x^i} \right) \left( \sum_H a_H dx^H \right) \\ d\omega &= \sum_H \sum_{i=1}^n \frac{\partial a_H}{\partial x^i} dx^i \wedge dx^H \end{aligned}$$

que é a mesma expressão que aparece na demonstração do teorema 3.2 e portanto a derivada exterior  $d$  satisfaz os quatro axiomas (6, 7, 8 e 9) vistos na seção 3.3.

Se  $M$  e  $N$  são variedades diferenciáveis de dimensão  $m$  e  $n$  respectivamente e  $\phi : M \mapsto N$  é um mapa suave entre as coordenadas em  $M$  e em  $N$ , então podemos definir uma função  $\phi_p^* : F^p(N) \mapsto F^p(M)$  que converte uma  $p$ -forma em  $N$  com coordenadas locais em  $N$  para uma  $p$ -forma em  $M$  com coordenadas locais de  $M$ . Conforme vimos na seção 3.4, essas funções satisfazem

1.  $\phi_p^*(\omega + \gamma) = \phi_p^*(\omega) + \phi_p^*(\gamma)$
2.  $\phi_{p+q}^*(\omega \wedge \lambda) = \phi_p^*(\omega) \wedge \phi_q^*(\lambda)$
3.  $d(\phi_p^*\omega) = \phi_{p+1}^*(d\omega)$
4. Se  $\phi : U \mapsto V$  e  $\psi : V \mapsto W$ , então  $(\psi \circ \phi)_p^* = \phi_p^* \circ \psi_p^*$



### 4.3 Simplexos

**Definição 4.4** (Envoltório convexo). *Seja  $X$  um conjunto não vazio de pontos no  $\mathbb{R}^n$ . A interseção de todos os subconjuntos convexos do  $\mathbb{R}^n$  que contém todos os pontos de  $X$  formam um envoltório convexo de  $X$ .*

Um exemplo de envoltório convexo no espaço  $\mathbb{R}^2$  é a analogia de uma coleira elástica que se molda nos pontos mais "externos" de  $X$ . Na figura 7 temos cinco pontos em azul no  $\mathbb{R}^2$  que formam um conjunto  $X$ . E então usamos três círculos (que são subconjuntos convexos) de diferentes raios e centros que englobem  $X$  e pintamos a interseção entre esses subconjuntos de amarelo. Já na figura 8 colocamos novos quatro círculos com raios maiores que englobem  $X$  e então a interseção entre os sete círculos nos dá uma noção de como seria o envoltório convexo de  $X$ . Podemos também usar outros subconjuntos convexos como retângulos, triângulos entre outros para que a região em amarelo fique ainda mais parecido com o envoltório convexo.

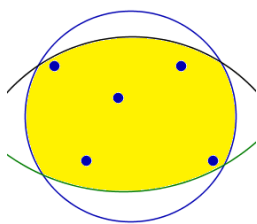


Figura 7: Três subconjuntos convexos contendo os pontos de  $X$ .

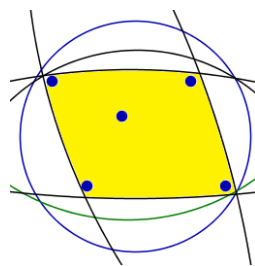


Figura 8: Sete subconjuntos convexos contendo os pontos de  $X$ .

O envoltório convexo desses pontos é um paralelogramo cujos vértices são os quatro pontos mais externos. O próprio paralelogramo é um subconjunto convexo e portanto também pode ser usado para englobar  $X$ . Esse paralelogramo acaba tornando-se o menor subconjunto convexo do  $\mathbb{R}^2$  que contém  $X$ .

Seja  $X = \{p_1, \dots, p_k\}$  um conjunto de pontos no  $\mathbb{R}^n$ . Se  $\mathbf{u}_{ij}$  são os vetores que ligam o ponto  $p_j$  até  $p_i$ ,

$$\mathbf{u}_{ij} = \mathbf{r}(p_i) - \mathbf{r}(p_j)$$

forem linearmente independentes para quaisquer  $i$  e  $j$ ,

$$\forall j : \sum_{\substack{i=1 \\ i \neq j}}^k a_i \mathbf{u}_{ij} = 0 \implies a_i = 0 \quad \forall i$$

então dizemos que  $X$  é um conjunto de pontos independentes. Por exemplo em um conjunto  $X$  com três pontos independentes, esses pontos não podem ser colineares. Com quatro pontos independentes, estes não podem pertencer a um único plano simultaneamente.

**Definição 4.5** (Simplexos). *Seja  $X = \{p_0, \dots, p_k\}$  um conjunto de  $k+1$  pontos independentes do  $\mathbb{R}^n$ . O envoltório convexo de  $X$  é denominado de  $k$ -simplexo. Esse  $k$ -simplexo é denotado pela expressão  $[p_0, \dots, p_k]$ .*

Usando combinação convexa pode-se mostrar que um  $n$ -simplexo  $\mathbf{s}^n$  que é o envoltório convexo de  $X = \{p_0, \dots, p_n\}$  pode ser expresso pelo conjunto de pontos dado por

$$\mathbf{s}^n = \left\{ t_0 p_0 + \dots + t_n p_n \quad : \quad \sum_{i=0}^n t_i = 1; \quad t_i \geq 0 \quad \forall i \right\} \quad (111)$$

Isso significa que um 1-simplexo é um ponto; um 2-simplexo é um segmento de reta; 3-simplexo é um triângulo e um 4-simplexo é um tetraedro.

Dizemos que um  $n$ -simplexo é orientado quando permutações ímpares entre os pontos inverte o seu sinal, enquanto que permutações pares mantém o sinal. Por exemplo

$$[p_0, p_1, p_2] = -[p_1, p_0, p_2] = [p_1, p_2, p_0]$$

A fronteira de um  $n$ -simplexo orientado  $\mathbf{c}$  é denotado por  $\partial \mathbf{c}$  e é definido pela expressão

$$\partial[p_0, \dots, p_n] = \sum_{j=0}^n (-1)^j [p_0, \dots, p_{j-1}, p_{j+1}, \dots, p_n] \quad (112)$$

o que significa que a fronteira de um  $n$ -simplexo é a soma<sup>17</sup> de vários  $(n-1)$ -simplexos orientados.

**Exemplo 4.2.** *Seja o 2-simplexo orientado dado por  $\mathbf{c} = [p_0, p_1, p_2]$  representado na figura 9. A ordem  $p_0, p_1$  e  $p_2$  indica que o triângulo está orientado no sentido anti-horário, mostrado pela seta circular. A fronteira desse simplexo é dado por*

$$\begin{aligned} \partial \mathbf{c} &= [p_1, p_2] - [p_0, p_2] + [p_0, p_1] \\ &= [p_1, p_2] + [p_2, p_0] + [p_0, p_1] \end{aligned}$$

*Isso significa que as fronteiras desse triângulo são segmentos de reta orientados que ligam os vértices, denotados pelas arestas com as setas.*

**Teorema 4.1.** *Se  $\mathbf{c}$  é um simplexo orientado, então  $\partial \partial \mathbf{c} = 0$ .*

*Demonstração.* Suponha que  $\mathbf{c}$  é um  $n$ -simplexo dado por

$$\mathbf{c} = [v_0, \dots, v_n]$$

---

<sup>17</sup>A soma entre simplexos deve ser entendida como a união dos subconjuntos de pontos do espaço euclidiano que compõem cada simplexo.

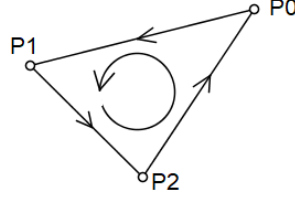


Figura 9: Um 2-simplexo orientado e suas fronteiras.

Aplicando novamente  $\partial$  na equação (112) e sabendo que a fronteira da soma de simplexos é a soma das fronteiras dos simplexos, temos que

$$\begin{aligned}\partial\partial\mathbf{c} &= \sum_{j=0}^n (-1)^j \partial[v_0, \dots, v_{j-1}, v_{j+1}, \dots, v_n] \\ &= \sum_{j=0}^n (-1)^j \sum_{i=0}^{n-1} (-1)^i [v_0, \dots, v_{j-1}, v_{j+1}, \dots, v_n]_i\end{aligned}$$

onde  $[v_0, \dots, v_{j-1}, v_{j+1}, \dots, v_n]_i$  denota que o  $i$ -ésimo ponto de  $[v_0, \dots, v_{j-1}, v_{j+1}, \dots, v_n]$  foi suprimido<sup>18</sup>. Sabemos que o resultado será uma soma de  $(n-2)$ -simplexos, ou seja, dois pontos distintos foram suprimidos do  $n$ -simplexo original em cada termo da soma. Agora suponha dois pontos  $v_p$  e  $v_q$ . Sem perda de generalidade, iremos presumir  $p < q$ . Há duas formas de obter um  $(n-2)$ -simplexo sem esses dois pontos do  $n$ -simplexo original: eliminando primeiro  $v_q$  e depois  $v_p$  ou o contrário, primeiro  $v_p$  e então  $v_q$ . Eliminando  $v_q$  primeiro, segue que o  $p$ -ésimo ponto do  $(n-1)$ -simplexo resultante será  $v_p$ . Então esse  $(n-2)$ -simplexo é gerado pelos índices  $j = q$  e  $i = p$  e deve aparecer um termo na soma do tipo

$$(-1)^{q+p} [v_0, \dots, v_{p-1}, v_{p+1}, \dots, v_{q-1}, v_{q+1}, \dots, v_n]$$

Por outro lado, se eliminarmos primeiro  $v_p$ , então o  $q$ -ésimo ponto do  $(n-1)$ -simplexo resultante será  $v_{q+1}$ . Logo o  $(q-1)$ -ésimo ponto será  $v_q$  e consequentemente um  $(n-2)$ -simplexo dado por

$$(-1)^{p+(q-1)} [v_0, \dots, v_{p-1}, v_{p+1}, \dots, v_{q-1}, v_{q+1}, \dots, v_n]$$

é gerado com os índices  $j = p$  e  $i = q-1$ . Porém um tem sinal  $(-1)^{q+p}$  e o outro  $(-1)^{p+(q-1)} = -(-1)^{p+q}$ . Como os sinais são diferentes e ambos possuem a mesma ordenação, então eles se anulam na soma. Como isso é válido para qualquer par de pontos distintos  $v_p$  e  $v_q$ , segue que a soma total é zero, isto é,  $\partial\partial\mathbf{c} = 0$ . ■

Em um  $n$ -simplexo  $\mathbf{s}^n$  dado pela expressão (111), os coeficientes  $t_i$ , cuja soma é 1, são denominados de coordenadas baricêntricas de  $\mathbf{s}^n$ .

<sup>18</sup>Note que o  $i$ -ésimo ponto desse  $(n-1)$ -simplexo não necessariamente é  $v_i$ .

Queremos estabelecer uma relação entre os pontos de dois simplexos distintos usando suas coordenadas baricêntricas. Para isso precisaremos do próximo teorema.

**Teorema 4.2** (Unicidade das coordenadas baricêntricas). *Seja  $S$  o conjunto dado por*

$$S = \left\{ t_0 p_0 + t_1 p_1 + \dots + t_n p_n \in \mathbb{R}^k : \sum_{i=0}^n t_i = 1 \right\}$$

onde  $X = \{p_0, p_1, \dots, p_n\}$  é um conjunto de pontos independentes em  $\mathbb{R}^k$ . Então existe uma correspondência biunívoca entre os pontos de  $S$  e as  $(n+1)$ -uplas

$$(t_0, t_1, \dots, t_n)$$

com

$$\sum_{i=0}^n t_i = 1 \quad (113)$$

*Demonstração.* Suponha que as  $(n+1)$ -uplas  $(t_0, t_1, \dots, t_n)$  e  $(t'_0, t'_1, \dots, t'_n)$  restritas às condições (113) representem um mesmo ponto em  $S$ , ou seja,

$$t_0 p_0 + t_1 p_1 + \dots + t_n p_n = t'_0 p_0 + t'_1 p_1 + \dots + t'_n p_n \in \mathbb{R}^k \quad (114)$$

Segue disso que

$$\sum_{i=0}^n (t_i - t'_i) p_i = 0$$

De maneira conveniente, reescreveremos essa expressão como

$$(t_0 - t'_0) p_0 + \sum_{i=1}^n (t_i - t'_i) p_i = 0 \quad (115)$$

Como os pontos de  $X$  são independentes, temos que

$$\sum_{\substack{i=0 \\ i \neq j}}^n \alpha_i (p_i - p_j) = 0 \implies \alpha_i = 0 \quad \forall i$$

Como isso é válido para todo  $j$ , sem perda de generalidade faremos  $j = 0$ . Queremos saber o valor de

$$\sum_{i=1}^n (t_i - t'_i) (p_i - p_0)$$

pois se for sempre nulo, teremos que  $t_i - t'_i = 0$ , que é o que queremos. Expandindo o produto na somatória, temos

$$\begin{aligned} \sum_{i=1}^n (t_i - t'_i) (p_i - p_0) &= \sum_{i=1}^n t_i p_i + t'_i p_0 - t_i p_0 - t'_i p_i \\ &= \sum_{i=1}^n (t_i - t'_i) p_i + p_0 \left( \sum_{i=1}^n t'_i - \sum_{i=1}^n t_i \right) \end{aligned}$$

Mas de (113) e (115) temos

$$\begin{aligned}\sum_{i=1}^n (t_i - t'_i)(p_i - p_0) &= -((t_0 - t'_0)p_0) + p_0((1 - t'_0) - (1 - t_0)) \\ &= -(t_0 - t'_0)p_0 + (t_0 - t'_0)p_0 \\ &= 0\end{aligned}$$

e portanto  $t_i - t'_i = 0 \implies t_i = t'_i \forall i = 1, 2, \dots, n$ . Isso significa que os  $n$  últimos termos de cada membro da equação (114) são idênticos e então

$$t_0 p_0 = t'_0 p_0 \implies t_0 = t'_0$$

Logo para cada ponto em  $S$  há apenas uma única  $(n+1)$ -upla  $(t_0, \dots, t_n)$  restrita às condições (113). ■

No caso particular dos simplexos em que  $t_i \geq 0 \forall i$ , o teorema (4.2) se aplica. Agora sejam dois  $n$ -simplexos orientados dados por  $\mathbf{s}^n = [p_0, \dots, p_n]$  e  $\mathbf{t}^n = [q_0, \dots, q_n]$ . Podemos criar um mapa entre os pontos de  $\mathbf{s}^n$  e de  $\mathbf{t}^n$  fazendo

$$\sum_{i=0}^n t_i p_i \iff \sum_{i=0}^n t_i q_i$$

Como as coordenadas baricêntricas são únicas para cada simplexo, então essa relação é biunívoca. Além disso, se  $t_i = \delta_{ij}$ , temos que

$$p_j \iff q_j \quad \forall j$$

Isso significa que esse mapa preserva a ordem dos vértices dos dois simplexos.

Sabendo disso, podemos definir uma integral de uma  $p$ -forma em um simplexo específico  $\Delta^n$  e então calcular essa integral em outros simplexos quaisquer com base em  $\Delta^n$ .

**Definição 4.6** (Simplexo padrão). *Um  $n$ -simplexo cujos vértices inclui a origem enquanto que os demais são representados pelos vetores da base canônica do  $\mathbb{R}^n$  é denominado de  $n$ -simplexo padrão, que é denotado por  $\Delta^n$ . O  $n$ -simplexo padrão pode ser escrito na forma*

$$\Delta^n = \left\{ (t_1, \dots, t_n) \in \mathbb{R}^n \mid \sum_{i=1}^n t_i \leq 1; \quad t_i \geq 0 \forall i \right\}$$

Note que o  $n$ -simplexo padrão é definido<sup>19</sup> apenas no espaço  $\mathbb{R}^n$ , ao contrário de outros  $n$ -simplexos que podem existir em  $\mathbb{R}^k$ , com  $k \geq n$ .

O  $n$ -simplexo padrão é o simplexo cuja origem é um de seus vértices e é a ponta de um cubo  $n$ -dimensional. Por exemplo  $\Delta^2 = [(0, 0); (1, 0); (0, 1)]$  é

<sup>19</sup>Em outros textos um  $n$ -simplexo padrão é definido substituindo  $\sum_{i=1}^n t_i \leq 1$  por  $\sum_{i=0}^n t_i = 1$  e  $\mathbb{R}^n$  por  $\mathbb{R}^{n+1}$  na definição (4.6), o que exclui a origem e diminui a dimensão em 1. Entretanto não usaremos essa definição aqui.

um triângulo retângulo com catetos unitários no  $\mathbb{R}^2$  cujo ângulo reto está na origem e portanto é a ponta de um quadrado. Podemos equivalentemente falar que  $\Delta^2$  é o subconjunto fechado do  $\mathbb{R}^2$  cujas fronteiras são os eixos  $x$  e  $y$  e a reta  $x + y = 1$ . Analogamente  $\Delta^3 = [(0, 0, 0); (1, 0, 0); (0, 1, 0); (0, 0, 1)]$  é o subconjunto fechado do  $\mathbb{R}^3$  delimitado pelos planos  $xy$ ,  $yz$ ,  $xz$  e o plano  $x + y + z = 1$ .

#### 4.4 Integração de formas diferenciais

Iremos definir a integração de uma  $n$ -forma  $\omega = f dx^1 dx^2 \dots dx^n$  em um  $n$ -simplexo padrão  $\Delta^n$  (no qual  $\omega$  está bem definida) pela equação

$$\int_{\Delta^n} \omega = \int_{\Delta^n} f(x^1, x^2, \dots, x^n) dx^1 dx^2 \dots dx^n$$

Por exemplo, se  $\omega = dx dy$  então

$$\int_{\Delta^2} \omega = \int_{\Delta^2} dx dy = \int_0^1 \int_0^{1-x} dy dx = \frac{1}{2}$$

no qual também pode ser escrito na forma

$$\int_{\Delta^2} \omega = \int_{\Delta^1} \left( \int_0^{1-x} dy \right) dx$$

Em geral, para uma  $(p+1)$ -forma do tipo  $\omega = A dx^1 \dots dx^p dx^{p+1}$  e o simplexo padrão  $\Delta^{p+1}$ , teremos

$$\int_{\Delta^{p+1}} \omega = \int_{\Delta^p} \left( \int_0^{1-\sum_{i=1}^p x^i} A dx^{p+1} \right) dx^1 \dots dx^p$$

onde  $\Delta^p$  é o  $p$ -simplexo padrão envolvendo as coordenadas  $x^1, \dots, x^p$ .

Agora sejam  $\mathbf{s}^n = [p_0, \dots, p_n]$  e  $\mathbf{t}^n = [q_0, \dots, q_n]$  dois  $n$ -simplexos orientados. Queremos uma vizinhança  $U$  que inclua o simplexo  $\mathbf{s}^n$  e uma vizinhança  $V$  de  $\mathbf{t}^n$ . Entretanto os simplexos são conjuntos fechados e necessitamos que  $U$  e  $V$  sejam conjuntos abertos para não haver problemas relacionados à derivada nas fronteiras.

Para resolver esse problema, iremos definir dois espaços planos  $W$  e  $Z$  dados por

$$W = \left\{ t_0 p_0 + \dots + t_n p_n \quad : \quad \sum_{i=0}^n t_i = 1 \right\}$$

e

$$Z = \left\{ t_0 q_0 + \dots + t_n q_n \quad : \quad \sum_{i=0}^n t_i = 1 \right\}$$

O que diferencia  $W$  e  $Z$  dos simplexos é que as coordenadas  $t_i$  podem ser quaisquer reais, não necessariamente não-negativas. Por exemplo, se  $\mathbf{s}^n$  for um

segmento de reta, então  $W$  é a reta que o inclui. Se  $\mathbf{s}^n$  for um triângulo, então  $W$  é o plano que o contém e assim por diante.

Dessa forma, definimos  $U$  e  $V$  vizinhanças abertas contidas no menor subconjunto de  $W$  e de  $Z$  que inclua  $\mathbf{s}^n$  e  $\mathbf{t}^n$  respectivamente.

Agora seja  $M$  uma variedade diferenciável de dimensão  $n$ . Podemos construir um mapa suave  $\phi$  que leva um ponto de  $U$  até  $M$ ,

$$\phi : U \mapsto M$$

e um segundo mapa também suave  $\psi$  dado por

$$\psi : V \mapsto M$$

Com isso definimos dois objetos

$$(\mathbf{s}^n, U, \phi) \quad \text{e} \quad (\mathbf{t}^n, V, \psi)$$

que relacionam os dois simplexes com a variedade  $M$ . Dizemos que ambos os objetos são equivalentes se para as mesmas coordenadas baricêntricas os mapas  $\phi$  e  $\psi$  levam  $U$  e  $V$  respectivamente ao mesmo ponto em  $M$ , ou seja,

$$\phi \left( \sum_{i=0}^n t_i p_i \right) = \psi \left( \sum_{i=0}^n t_i q_i \right)$$

Todos os objetos do tipo  $(\mathbf{s}^n, U, \phi)$  que são equivalentes entre si formam uma classe de equivalência que denotaremos por  $\sigma^n$  e chamaremos de  $n$ -simplexo em  $M$ .

Uma vez que sempre podemos estabelecer uma relação de um para um entre dois simplexes quaisquer, então para um  $n$ -simplexo  $\sigma^n$  qualquer em  $M$  sempre podemos construir um mapa  $\phi$  que mapeará os pontos da vizinhança  $U$  de um simplexo padrão  $\Delta^n$  para a variedade  $M$  e que simultaneamente  $(\Delta^n, U, \phi)$  pertença à classe  $\sigma^n$ .

Obtido tal mapa  $\phi : U \mapsto M$ , podemos construir uma função  $\phi_n^*$  que leve uma  $n$ -forma em  $M$  para uma  $n$ -forma em  $U$ ,

$$\phi_n^* : F^n(M) \mapsto F^n(U)$$

de maneira que se  $\omega$  é uma  $n$ -forma em  $M$ , então  $\phi_n^* \omega$  é uma  $n$ -forma em  $U$ . Logo temos que

$$\int_{\sigma^n} \omega = \int_{\Delta^n} \phi_n^* \omega$$

Esse é o procedimento no qual calculamos uma integral de uma  $n$ -forma  $\omega$  em um  $n$ -simplexo  $\sigma^n$  em  $M$ .

O próximo passo é aglomerar vários simplexes de maneira que cada um seja homeomorfo com um subconjunto aberto de  $M$  e englobem toda essa variedade.

Antes disso, devemos definir o que seriam as faces de um simplexo  $\mathbf{s}^n$ . As fronteiras de  $\mathbf{s}^n$  são dadas por

$$\partial \mathbf{s}^n = \sum_i \pm \mathbf{t}_i$$

e então denominamos os  $(n-1)$ -simplexos  $\mathbf{t}_i$  de faces de  $\mathbf{s}^n$ .

Seja  $(\mathbf{s}^n, U, \phi)$  um simplexo em  $M$  pertencente à classe  $\sigma^n$ . Restringindo o mapa  $\phi$  às faces  $\mathbf{t}_i$  de  $\mathbf{s}^n$  e  $V_i$  sendo uma vizinhança de  $\mathbf{t}_i$  no menor espaço plano que contém  $\mathbf{t}_i$ , então montamos um novo  $(n-1)$ -simplexo  $\tau_i$  em  $M$  dado por

$$\tau_i = (\mathbf{t}_i, V_i, \phi)$$

de maneira que podemos definir as faces  $\tau_i$  de um simplexo  $\sigma^n$  em  $M$  pela expressão

$$\partial\sigma^n = \sum_i \pm\tau_i$$

Iremos definir uma  $n$ -cadeia simplicial  $\mathbf{c}$  em uma variedade  $M$  como sendo uma combinação linear de vários  $n$ -simplexos  $\sigma_i^n$  em  $M$  dada por

$$\mathbf{c} = \sum_i a_i \sigma_i^n$$

onde  $a_i$  são constantes. A integral em uma cadeia simplicial é dada pela soma das suas partes:

$$\int_{\mathbf{c}} \omega = \sum_i a_i \int_{\sigma_i} \omega$$

Um espaço topológico  $M$  é dito triangularizável se existir pelo menos uma cadeia simplicial  $\mathbf{c}$  tal que seja possível construir um homeomorfismo entre  $M$  e  $\mathbf{c}$ .

É um resultado conhecido da topologia que todas as variedades diferenciáveis de quaisquer dimensões são triangularizáveis. Um exemplo de triangulação é ilustrado na figura 10, onde a superfície de um toro é coberta pela junção de vários 2-simplexos. Em cada simplexo  $\sigma_i$  podemos construir um conjunto aberto  $U$  em um plano  $ax + by + cz = d$  que o contém de maneira que possamos criar um mapa biunívoco entre  $U$  e uma parte da superfície do toro. E então todos os pontos da variedade são cobertos por um homeomorfismo com a cadeia de simplexos.

**Exemplo 4.3** (Integrando em um 2-simplexo no  $\mathbb{R}^3$ ). *Suponha que  $\mathbf{s}^2 = [p_0, p_1, p_2]$  seja um simplexo no  $\mathbb{R}^3$  e  $f(x, y)$  uma função diferenciável definida em  $\mathbf{s}^2$ . O simplexo padrão  $\Delta^2$  é dado por  $[(0, 0), (1, 0), (0, 1)]$ . Queremos criar um mapa entre esses dois simplexos, simbolizado pela expressão*

$$t_0 q_0 + t_1 q_1 + t_2 q_2 \iff t_0 p_0 + t_1 p_1 + t_2 p_2$$

Dados  $q_0 = (0, 0)$ ,  $q_1 = (1, 0)$  e  $q_2 = (0, 1)$  e denominando  $t_1 = u$  e  $t_2 = v$ , impomos  $t_0 = 1 - u - v$  para que as coordenadas baricêntricas  $t_i$  sejam únicas (teorema 4.2) e então

$$\begin{aligned} (u, v) &\iff (1 - u - v)p_0 + up_1 + vp_2 \\ (u, v) &\iff p_0 + u(p_1 - p_0) + v(p_2 - p_0) \end{aligned}$$



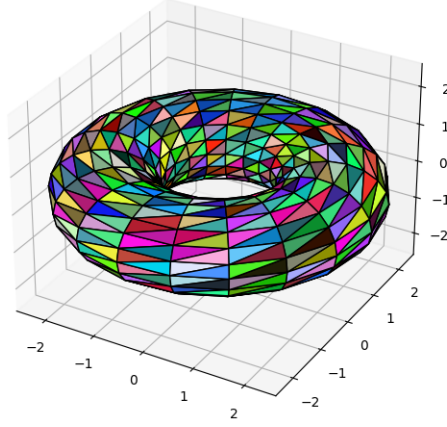


Figura 10: Triangulação de um toro com raio externo  $d = 2$  e raio interno  $r = 1$  usando 2-simplexos.

Segue disso que as transformações de coordenadas são

$$\begin{aligned}x(u, v) &= p_{0_x} + u(p_{1_x} - p_{0_x}) + v(p_{2_x} - p_{0_x}) \\y(u, v) &= p_{0_y} + u(p_{1_y} - p_{0_y}) + v(p_{2_y} - p_{0_y}) \\z(u, v) &= p_{0_z} + u(p_{1_z} - p_{0_z}) + v(p_{2_z} - p_{0_z})\end{aligned}$$

Agora suponha que o simplexo  $\mathbf{s}^2$  não seja paralelo a algum plano perpendicular ao plano  $xy$ , de maneira que possamos isolar  $z$  em função de  $x$  e  $y$ . Logo

$$\begin{aligned}dx &= (p_{1_x} - p_{0_x}) du + (p_{2_x} - p_{0_x}) dv \\dy &= (p_{1_y} - p_{0_y}) du + (p_{2_y} - p_{0_y}) dv\end{aligned}$$

e então para uma 2-forma  $f(x, y) dx dy$  temos

$$\phi_2^*(f(x, y) dx dy) = \gamma_z f(x(u, v), y(u, v)) du dv$$

onde

$$\begin{aligned}\gamma_z &= ((p_{1_x} - p_{0_x})(p_{2_y} - p_{0_y}) - (p_{2_x} - p_{0_x})(p_{1_y} - p_{0_y})) \\&= ((p_1 - p_0) \times (p_2 - p_0)) \Big|_z\end{aligned}$$

é a componente  $z$  (não-nula) do vetor normal à superfície do simplexo  $\mathbf{s}^2$ . Segue disso que a integral  $I$  da 2-forma  $f(x, y) dx dy$  em  $\mathbf{s}^2$  é

$$\begin{aligned}I &= \iint_{\mathbf{s}^2} f(x, y) dx dy = \gamma_z \iint_{\Delta^2} f(x(u, v), y(u, v)) du dv \\&= \gamma_z \int_0^1 \int_0^{1-u} f(x(u, v), y(u, v)) du dv\end{aligned}$$

## 4.5 Teorema de Stokes generalizado

Vimos na seção de revisão cinco teoremas fundamentais que relacionam uma integral em uma dimensão  $n \leq 3$  com uma integral em uma dimensão menor ao custo de uma derivada. No teorema fundamental do cálculo temos

$$\int_a^b df = f(b) - f(a)$$

no qual no membro esquerdo temos uma integral da derivada de  $f$  em um intervalo  $[a, b]$  e do lado direito temos  $f$  avaliado nas bordas desse intervalo,  $b$  e  $a$  respectivamente. O teorema do gradiente é similar, pois é a generalização do teorema fundamental para uma curva em  $\mathbb{R}^n$ .

No teorema de Green, temos uma integral unidimensional se relacionando com uma integral dupla de derivadas parciais:

$$\oint_{\partial\Sigma} P(x, y) dx + Q(x, y) dy = \iint_{\Sigma} \left( \frac{\partial Q}{\partial x} - \frac{\partial P}{\partial y} \right) dx dy$$

A sua generalização para o  $\mathbb{R}^3$ , o teorema de Stokes, também é desse tipo, onde as derivadas se tornam no rotacional.

E o teorema da divergência de Gauss temos uma integral de superfície se relacionando com uma integral tripla de um divergente:

$$\oiint_{\partial V} \mathbf{F} \cdot d\mathbf{a} = \iiint_V \nabla \cdot \mathbf{F} d\tau$$

Esses teoremas citados, que reduzem ou aumentam a dimensão de uma integral inclusive fazem parte das demonstrações das integrações por partes.

Usando tudo o que foi aprendido sobre formas diferenciais e a integração destas em variedades diferenciáveis, podemos mostrar que todos esses teoremas fundamentais são casos particulares de um único, que é o teorema de Stokes generalizado.

**Teorema 4.3** (Teorema de Stokes). *Seja  $\omega$  uma  $p$ -forma definida em uma variedade orientável  $M$  e  $\mathbf{c}$  uma  $(p+1)$ -cadeia simplicial em  $M$ . Então*

$$\int_{\partial\mathbf{c}} \omega = \int_{\mathbf{c}} d\omega$$

*Demonstração.* Sabendo que uma cadeia simplicial é uma combinação linear de vários simplexes, é suficiente provarmos que

$$\int_{\partial\sigma} \omega = \int_{\sigma} d\omega$$

onde  $\sigma$  é um  $(p+1)$ -simplexo de  $\mathbf{c}$  com uma representação em um simplexo padrão dada por

$$(\Delta^{p+1}, U, \phi)$$

para algum mapa  $\phi$ . Segue disso que

$$\int_{\partial\sigma} \omega = \int_{\partial\Delta^{p+1}} \phi_p^* \omega \quad \text{e} \quad \int_{\sigma} d\omega = \int_{\Delta^{p+1}} \phi_{p+1}^*(d\omega)$$

Definindo  $\mu = \phi_p^* \omega$  e sabendo que  $\phi_{p+1}^*(d\omega) = d(\phi_p^* \omega)$ , devemos provar que

$$\int_{\partial\Delta^{p+1}} \mu = \int_{\Delta^{p+1}} d\mu$$

A  $p$ -forma  $\mu$  pode ser representada em uma base  $dx^H$ :

$$\mu = \sum_H A_H dx^H$$

onde  $A_H = A_H(x^1, \dots, x^p, x^{p+1})$  e  $H$  são subconjuntos de  $p$  índices distintos de  $\{1, 2, \dots, p+1\}$ . Uma vez que a derivada exterior é linear, assim como a integral, nos é suficiente demonstrar apenas para o caso particular em que  $\mu$  é representado por uma única  $p$ -forma,

$$\mu = A dx^1 \dots dx^p$$

Logo

$$d\mu = \frac{\partial A}{\partial x^{p+1}} dx^{p+1} dx^1 \dots dx^p = (-1)^p \frac{\partial A}{\partial x^{p+1}} dx^1 \dots dx^{p+1}$$

Segue disso que

$$\begin{aligned} \int_{\Delta^{p+1}} d\mu &= \int_{\Delta^{p+1}} (-1)^p \frac{\partial A}{\partial x^{p+1}} dx^1 \dots dx^{p+1} \\ &= (-1)^p \int_{\Delta^p} \left( \int_0^{1-\sum_{i=1}^p x^i} \frac{\partial A}{\partial x^{p+1}} dx^{p+1} \right) dx^1 \dots dx^p \end{aligned}$$

Agora

$$\int_0^{1-\sum_{i=1}^p x^i} \frac{\partial A}{\partial x^{p+1}} dx^{p+1} = A \left( x^1, \dots, x^p, 1 - \sum_{i=1}^p x^i \right) - A(x^1, \dots, x^p, 0)$$

e então

$$\begin{aligned} \int_{\Delta^{p+1}} d\mu &= (-1)^p \int_{\Delta^p} A \left( x^1, \dots, x^p, 1 - \sum_{i=1}^p x^i \right) dx^1 \dots dx^p - \\ &\quad (-1)^p \int_{\Delta^p} A(x^1, \dots, x^p, 0) dx^1 \dots dx^p \quad (116) \end{aligned}$$

Por outro lado sabemos que  $\Delta^{p+1} = [0, \mathbf{e}_1, \dots, \mathbf{e}_{p+1}]$ , onde  $\mathbf{e}_i$  é o  $i$ -ésimo vetor da base canônica do  $\mathbb{R}^{p+1}$ . Então

$$\partial\Delta^{p+1} = [\mathbf{e}_1, \dots, \mathbf{e}_{p+1}] - [0, \mathbf{e}_2, \dots, \mathbf{e}_{p+1}] + \dots + (-1)^{p+1} [0, \mathbf{e}_1, \dots, \mathbf{e}_p]$$

Mas como  $\mu = A dx^1 \dots dx^p$  e pelo menos uma coordenada  $x^i$ ,  $i \neq p+1$  é constante<sup>20</sup> em todas as faces exceto a primeira e a última, temos que as integrais em  $\mu$  nessas faces serão nulas. Então temos que

$$\int_{\partial \Delta^{p+1}} \mu = \int_{[\mathbf{e}_1, \dots, \mathbf{e}_{p+1}]} \mu + (-1)^{p+1} \int_{[\mathbf{0}, \dots, \mathbf{e}_p]} \mu$$

no qual identificamos  $[\mathbf{0}, \dots, \mathbf{e}_p] = \Delta^p$ . Como  $x^{p+1} = 0$  em todo esse simplexo padrão, teremos

$$\begin{aligned} (-1)^{p+1} \int_{[\mathbf{0}, \dots, \mathbf{e}_p]} \mu &= (-1)^{p+1} \int_{\Delta^p} A(x^1, \dots, x^p, 0) dx^1 \dots dx^p \\ &= -(-1)^p \int_{\Delta^p} A(x^1, \dots, x^p, 0) dx^1 \dots dx^p \end{aligned}$$

que é o segundo termo da equação (116). Já na integral em  $[\mathbf{e}_1, \dots, \mathbf{e}_{p+1}]$  podemos usar um mapa entre esse simplexo e o simplexo padrão  $\Delta^p = [\mathbf{0}, \mathbf{e}_1, \dots, \mathbf{e}_p]$  usando uma generalização do exemplo 4.3:

$$x^i = p_{0_i} + \sum_{j=1}^p y^j (p_{j_i} - p_{0_i})$$

onde  $y^j$  são as coordenadas em  $\Delta^p$  e

$$\begin{aligned} p_{j_i} &= \delta_{ij} \quad \forall j \neq 0 \\ p_{0_i} &= \delta_{i(p+1)} \end{aligned}$$

de maneira que o ponto  $p_0$  seja  $\mathbf{e}_{p+1}$  enquanto que os demais pontos  $p_i$  são inalterados<sup>21</sup>. Podemos ver isso ao substituir os pontos pelos deltas de Kronecker:

$$x^i = \delta_{i(p+1)} + \sum_{j=1}^p y^j (\delta_{ij} - \delta_{i(p+1)})$$

Se  $i \neq p+1$ , temos

$$x^i = \sum_{j=1}^p y^j \delta_{ij} = y^i \quad (117)$$

<sup>20</sup>No caso do tetraedro  $\Delta^3$ , temos que uma de suas faces é  $-\mathbf{0}, \mathbf{e}_2, \mathbf{e}_3]$ , que é um triângulo retângulo no plano  $yz$  com o ângulo reto na origem e então  $x^1 = 0$  em toda essa face. Portanto se houver uma forma diferencial  $dx^1$  na integração dessa face, teremos uma integral do tipo  $\int_0^0$ , que é zero.

<sup>21</sup>No caso do simplexo  $[\mathbf{e}_1, \mathbf{e}_2, \mathbf{e}_3]$ , que é um triângulo cujos vértices são  $(1, 0, 0)$ ,  $(0, 1, 0)$  e  $(0, 0, 1)$  respectivamente, temos que  $p_0 = (0, 0, 1)$ , enquanto que  $p_1 = (1, 0, 0)$  e  $p_2 = (0, 1, 0)$ . O simplexo padrão  $\Delta^2$  terá os mesmos vértices do outro simplexo porém com  $(0, 0, 1)$  substituído por  $(0, 0, 0)$ .

Mas se  $i = p + 1$ ,

$$\begin{aligned} x^{p+1} &= 1 + \sum_{j=1}^p y^j (\delta_{ij} - 1) \\ &= 1 + \sum_{j=1}^p y^j \delta_{ij} - \sum_{j=1}^p y^j \\ &= 1 - \sum_{j=1}^p y^j \end{aligned}$$

uma vez que  $j \neq i = p + 1$  em todo o primeiro somatório. Usando o resultado (117), ficamos com

$$\begin{aligned} x^{p+1} &= 1 - \sum_{j=1}^p x^j \\ &= 1 - \sum_{i=1}^p x^i \end{aligned}$$

Além disso, temos  $dx^i = dy^i$  para todo  $i \neq p + 1$ .

Porém nesse mapa trocamos o simplexo  $[\mathbf{e}_1, \dots, \mathbf{e}_p, \mathbf{e}_{p+1}]$  por  $[\mathbf{e}_1, \dots, \mathbf{e}_p, \mathbf{0}]$  (já que usamos  $p_0$  como sendo  $\mathbf{e}_{p+1}$ ). O simplexo padrão  $\Delta^p$  é obtido ao mudar a orientação dos vértices permutando o vértice  $\mathbf{0}$  da última posição até a primeira, o que deve carregar um fator  $(-1)^p$ . Então temos que

$$\begin{aligned} \int_{[\mathbf{e}_1, \dots, \mathbf{e}_{p+1}]} \mu &= \int_{[\mathbf{e}_1, \dots, \mathbf{e}_p, \mathbf{e}_{p+1}]} A(x^1, \dots, x^p, x^{p+1}) dx^1 \dots dx^p \\ &= \int_{[\mathbf{e}_1, \dots, \mathbf{e}_p, \mathbf{0}]} A\left(x^1, \dots, x^p, 1 - \sum_{i=1}^p x^i\right) dx^1 \dots dx^p \\ &= (-1)^p \int_{[\mathbf{0}, \mathbf{e}_1, \dots, \mathbf{e}_p]} A\left(x^1, \dots, x^p, 1 - \sum_{i=1}^p x^i\right) dx^1 \dots dx^p \\ &= (-1)^p \int_{\Delta^p} A\left(x^1, \dots, x^p, 1 - \sum_{i=1}^p x^i\right) dx^1 \dots dx^p \end{aligned}$$

que é o primeiro termo da equação (116). Logo

$$\int_{\partial \Delta^{p+1}} \mu = \int_{\Delta^{p+1}} d\mu$$

o que completa a demonstração. ■

**Corolário** (Teorema Fundamental do Cálculo). *Embora tenhamos usado o Teorema Fundamental do Cálculo para demonstrar o teorema generalizado de Stokes, podemos recuperá-lo ao fazer  $\sigma = [a, b]$  um intervalo fechado em  $\mathbb{R}$ . Então*

$\partial\sigma = [b] - [a]$  e para uma função integrável  $\omega = f$  temos

$$\int_{\partial\sigma} \omega = \int_{[b]-[a]} f = f(b) - f(a)$$

enquanto que

$$\int_{\sigma} d\omega = \int_{[a,b]} df = \int_a^b df$$

Então o teorema de Stokes afirma que

$$\int_a^b df = f(b) - f(a)$$

**Corolário** (Teorema do gradiente). *Dado uma função escalar diferenciável  $V(x^1, \dots, x^n)$ , podemos fazer  $\omega = V$ , de maneira que*

$$d\omega = \sum_{i=1}^n \frac{\partial V}{\partial x^i} dx^i$$

*Sendo  $\mathbf{c}$  a cadeia 1-simplicial dada pela junção de vários segmentos de retas no  $\mathbb{R}^n$  que une dois pontos  $P$  e  $Q$ , a curva resultante entre esses dois pontos é suave por partes. Denotando essa cadeia como*

$$\mathbf{c} = [P, R_1] + [R_1, R_2] + \dots + [R_{k-1}, R_k] + [R_k, Q]$$

*onde  $R_i$  denota os pontos comuns entre dois segmentos de reta, temos que a fronteira de  $\mathbf{c}$  se torna uma soma telescópica, no que*

$$\partial\mathbf{c} = -[P] + [Q]$$

*Logo*

$$\int_{\partial\mathbf{c}} \omega = \int_{[Q]-[P]} V = V(Q) - V(P)$$

*e*

$$\int_{\mathbf{c}} d\omega = \int_{\mathbf{c}} \sum_{i=1}^n \frac{\partial V}{\partial x^i} dx^i$$

*Mas notamos que*

$$\nabla V \cdot d\mathbf{r} = \left( \sum_{i=1}^n \frac{\partial V}{\partial x^i} \mathbf{e}_i \right) \cdot \left( \sum_{j=1}^n dx^j \mathbf{e}_j \right) = \sum_{i=1}^n \frac{\partial V}{\partial x^i} dx^i$$

*Portanto o teorema generalizado de Stokes afirma que*

$$\int_{\mathbf{c}} \nabla V \cdot d\mathbf{r} = V(Q) - V(P)$$

*que é o teorema do gradiente.*

**Corolário** (Teorema de Green). *Sejam  $P(x, y)$  e  $Q(x, y)$  duas funções diferenciáveis em  $x$  e  $y$  pelo menos até primeira ordem e definidas em um subconjunto aberto  $X$  do  $\mathbb{R}^2$ . Seja  $\Sigma$  uma região fechada em  $X$  delimitada por uma curva suave por partes  $\partial\Sigma$ . Fazendo*

$$\omega = P \, dx + Q \, dy$$

*temos*

$$\begin{aligned} d\omega &= \frac{\partial P}{\partial y} dy \, dx + \frac{\partial Q}{\partial x} dx \, dy \\ d\omega &= \left( \frac{\partial Q}{\partial x} - \frac{\partial P}{\partial y} \right) dx \, dy \end{aligned}$$

*Então*

$$\int_{\partial\Sigma} \omega = \oint_{\partial\Sigma} P(x, y) \, dx + Q(x, y) \, dy$$

*enquanto que*

$$\int_{\Sigma} d\omega = \iint_{\Sigma} \left( \frac{\partial Q}{\partial x} - \frac{\partial P}{\partial y} \right) dx \, dy$$

*Logo o teorema generalizado de Stokes nos garante que*

$$\oint_{\partial\Sigma} P(x, y) \, dx + Q(x, y) \, dy = \iint_{\Sigma} \left( \frac{\partial Q}{\partial x} - \frac{\partial P}{\partial y} \right) dx \, dy$$

*que é o teorema de Green.*

**Corolário** (Teorema de Gauss da divergência). *Seja  $\mathbf{F}$  um campo vetorial definido em um subconjunto aberto  $X$  de  $\mathbb{R}^3$ . Seja  $V$  uma variedade diferenciável volumétrica em  $X$  com coordenadas locais ortonormais  $x^1 = u$ ,  $x^2 = v$  e  $x^3 = w$ . O campo  $\mathbf{F}$  pode ser dado por*

$$\mathbf{F} = F_1 \mathbf{e}_1 + F_2 \mathbf{e}_2 + F_3 \mathbf{e}_3 \quad (118)$$

*onde  $\{\mathbf{e}_i\}$  forma uma base ortonormal do  $\mathbb{R}^3$ , com  $\mathbf{e}_i$  sendo a derivada normalizada do vetor posição em função de  $x^i$ . Esse campo pode ser escrito de maneira equivalente pela 2-forma*

$$\omega = F_1 \sigma_2 \sigma_3 + F_2 \sigma_3 \sigma_1 + F_3 \sigma_1 \sigma_2 \quad (119)$$

*onde  $F_i = F_i(u, v, w)$  e o elemento  $\sigma_1 \sigma_2 \sigma_3$  forma uma base ortonormal das 3-formas em  $\mathbb{R}^3$ . As formas diferenciais  $\sigma_i$  são as mesmas calculadas na seção 3.7 sobre o operador nabla em coordenadas ortonormais:*

$$\begin{aligned} \sigma_1 &= \lambda \, du \\ \sigma_2 &= \mu \, dv \\ \sigma_3 &= \nu \, dw \end{aligned}$$

Segue da equação (119) que

$$\omega = (\mu\nu F_1) dv dw + (\lambda\nu F_2) dw du + (\lambda\mu F_3) du dv$$

e então

$$d\omega = \left( \frac{\partial(\mu\nu F_1)}{\partial u} + \frac{\partial(\lambda\nu F_2)}{\partial v} + \frac{\partial(\lambda\mu F_3)}{\partial w} \right) du dv dw$$

ou

$$d\omega = \frac{1}{\lambda\mu\nu} \left( \frac{\partial(\mu\nu F_1)}{\partial u} + \frac{\partial(\lambda\nu F_2)}{\partial v} + \frac{\partial(\lambda\mu F_3)}{\partial w} \right) \sigma_1 \sigma_2 \sigma_3$$

Também vimos na seção 3.7 que  $\sigma_1 \sigma_2 \sigma_3$  é o elemento de volume  $d\tau$  e que

$$\nabla \cdot \mathbf{F} = \frac{1}{\lambda\mu\nu} \left( \frac{\partial(\mu\nu F_1)}{\partial u} + \frac{\partial(\lambda\nu F_2)}{\partial v} + \frac{\partial(\lambda\mu F_3)}{\partial w} \right)$$

Logo

$$d\omega = \nabla \cdot \mathbf{F} d\tau$$

Por outro lado, vimos na seção 3.8 que o elemento de área infinitesimal **da** quando a coordenada  $x^3$  é constante é dado por

$$d\mathbf{a} = \sigma_1 \sigma_2 \hat{\mathbf{e}}_3$$

Em geral, o elemento de área **da** é dado por

$$d\mathbf{a} = \sigma_2 \sigma_3 \hat{\mathbf{e}}_1 + \sigma_3 \sigma_1 \hat{\mathbf{e}}_2 + \sigma_1 \sigma_2 \hat{\mathbf{e}}_3$$

e portanto

$$\begin{aligned} \mathbf{F} \cdot d\mathbf{a} &= (F_1 \hat{\mathbf{e}}_1 + F_2 \hat{\mathbf{e}}_2 + F_3 \hat{\mathbf{e}}_3) \cdot (\sigma_2 \sigma_3 \hat{\mathbf{e}}_1 + \sigma_3 \sigma_1 \hat{\mathbf{e}}_2 + \sigma_1 \sigma_2 \hat{\mathbf{e}}_3) \\ &= F_1 \sigma_2 \sigma_3 + F_2 \sigma_3 \sigma_1 + F_3 \sigma_1 \sigma_2 \\ &= \omega \end{aligned}$$

Logo

$$\int_{\partial V} \omega = \oint_{\partial V} \mathbf{F} \cdot d\mathbf{a}$$

e

$$\int_V d\omega = \iiint_V \nabla \cdot \mathbf{F} d\tau$$

Segue do teorema generalizado de Stokes que

$$\oint_{\partial V} \mathbf{F} \cdot d\mathbf{a} = \iiint_V \nabla \cdot \mathbf{F} d\tau$$

que é o teorema de Gauss da divergência.



**Corolário** (Teorema de Stokes do rotacional). *Seja  $\mathbf{F}$  um campo vetorial pelo menos uma vez diferenciável definida em um subconjunto aberto  $X$  de  $\mathbb{R}^3$  dado pela equação (118). Seja  $\Sigma$  uma variedade diferenciável em  $X$  delimitada por uma curva suave por partes  $\partial\Sigma$ . Esse campo pode ser escrito de maneira equivalente usando a 1-forma*

$$\omega = F_1\sigma_1 + F_2\sigma_2 + F_3\sigma_3$$

*nas coordenadas curvilíneas ortonormais  $x^i$  cuja base é  $\{\hat{\mathbf{e}}_1, \hat{\mathbf{e}}_2, \hat{\mathbf{e}}_3\}$ . Conforme vimos na seção 3.7, os elementos de comprimento são  $\sigma_1$ ,  $\sigma_2$  e  $\sigma_3$ , no que*

$$d\mathbf{r} = \sigma_1\hat{\mathbf{e}}_1 + \sigma_2\hat{\mathbf{e}}_2 + \sigma_3\hat{\mathbf{e}}_3$$

*e então*

$$\begin{aligned}\mathbf{F} \cdot d\mathbf{r} &= (F_1\hat{\mathbf{e}}_1 + F_2\hat{\mathbf{e}}_2 + F_3\hat{\mathbf{e}}_3) \cdot (\sigma_1\hat{\mathbf{e}}_1 + \sigma_2\hat{\mathbf{e}}_2 + \sigma_3\hat{\mathbf{e}}_3) \\ &= F_1\sigma_1 + F_2\sigma_2 + F_3\sigma_3 \\ &= \omega\end{aligned}$$

*Além disso, dado*

$$\begin{aligned}\sigma_1 &= \lambda du \\ \sigma_2 &= \mu dv \\ \sigma_3 &= \nu dw\end{aligned}$$

*temos*

$$\omega = (\lambda F_1) du + (\mu F_2) dv + (\nu F_3) dw$$

*e então*

$$d\omega = \left( \frac{\partial(\lambda F_1)}{\partial v} dv + \frac{\partial(\lambda F_1)}{\partial w} dw \right) du + \dots + \left( \frac{\partial(\nu F_3)}{\partial u} du + \frac{\partial(\nu F_3)}{\partial v} dv \right) dw$$

*Já fizemos esse cálculo na seção 3.7 e resulta em*

$$\begin{aligned}d\omega &= \frac{1}{\mu\nu} \left( \frac{\partial}{\partial v}(\nu F_3) - \frac{\partial}{\partial w}(\mu F_2) \right) \sigma_2 \sigma_3 + \frac{1}{\lambda\nu} \left( \frac{\partial}{\partial w}(\lambda F_1) - \frac{\partial}{\partial u}(\nu F_3) \right) \sigma_3 \sigma_1 + \\ &\quad \frac{1}{\lambda\mu} \left( \frac{\partial}{\partial u}(\mu F_2) - \frac{\partial}{\partial v}(\lambda F_1) \right) \sigma_1 \sigma_2\end{aligned}$$

*Por outro lado, sabemos também que*

$$\begin{aligned}\nabla \times \mathbf{F} &= \frac{1}{\mu\nu} \left( \frac{\partial}{\partial v}(\nu F_3) - \frac{\partial}{\partial w}(\mu F_2) \right) \hat{\mathbf{e}}_1 + \frac{1}{\lambda\nu} \left( \frac{\partial}{\partial w}(\lambda F_1) - \frac{\partial}{\partial u}(\nu F_3) \right) \hat{\mathbf{e}}_2 + \\ &\quad \frac{1}{\lambda\mu} \left( \frac{\partial}{\partial u}(\mu F_2) - \frac{\partial}{\partial v}(\lambda F_1) \right) \hat{\mathbf{e}}_3\end{aligned}$$

e que

$$d\mathbf{a} = \sigma_2\sigma_3\hat{\mathbf{e}}_1 + \sigma_3\sigma_1\hat{\mathbf{e}}_2 + \sigma_1\sigma_2\hat{\mathbf{e}}_3$$

Logo

$$\nabla \times \mathbf{F} \cdot d\mathbf{a} = d\omega$$

Finalmente temos que

$$\int_{\Sigma} d\omega = \iint_{\Sigma} \nabla \times \mathbf{F} \cdot d\mathbf{a}$$

e também

$$\int_{\partial\Sigma} \omega = \oint_{\partial\Sigma} \mathbf{F} \cdot d\mathbf{r}$$

Portanto o teorema generalizado de Stokes afirma que

$$\iint_{\Sigma} \nabla \times \mathbf{F} \cdot d\mathbf{a} = \oint_{\partial\Sigma} \mathbf{F} \cdot d\mathbf{r}$$

que é o teorema de Stokes no  $\mathbb{R}^3$ .

**Exemplo 4.4** (Integração por partes generalizada). Dado o teorema generalizado de Green

$$\int_{\partial\mathbf{c}} \omega = \int_{\mathbf{c}} d\omega$$

se fizermos  $\omega = \mu \wedge \lambda$  com  $\mu$  sendo uma  $p$ -forma, obteremos

$$\begin{aligned} \int_{\partial\mathbf{c}} \mu \wedge \lambda &= \int_{\mathbf{c}} d\mu \wedge \lambda + (-1)^p \mu \wedge d\lambda \\ \int_{\partial\mathbf{c}} \mu \wedge \lambda &= \int_{\mathbf{c}} d\mu \wedge \lambda + (-1)^p \int_{\mathbf{c}} \mu \wedge d\lambda \end{aligned}$$

e então

$$\int_{\mathbf{c}} d\mu \wedge \lambda = \left[ \int_{\partial\mathbf{c}} \mu \wedge \lambda \right] - (-1)^p \int_{\mathbf{c}} \mu \wedge d\lambda \quad (120)$$

A expressão (120) é a forma generalizada das seguintes integrações por partes:

1.  $\int_a^b f'(x)g(x) dx = f(x)g(x) \Big|_a^b - \int_a^b f(x)g'(x) dx$
2.  $\iiint_V \mathbf{A} \cdot (\nabla f) d\tau = \oint_{\partial V} f \mathbf{A} \cdot d\mathbf{a} - \iiint_V f(\nabla \cdot \mathbf{A}) d\tau$
3.  $\iint_{\Sigma} f(\nabla \times \mathbf{A}) \cdot d\mathbf{a} = \oint_{\partial\Sigma} f \mathbf{A} \cdot d\mathbf{r} + \iint_{\Sigma} [\mathbf{A} \times (\nabla f)] \cdot d\mathbf{a}$
4.  $\iiint_V \mathbf{B} \cdot (\nabla \times \mathbf{A}) d\tau = \oint_{\partial V} (\mathbf{A} \times \mathbf{B}) \cdot d\mathbf{a} + \iiint_V \mathbf{A} \cdot (\nabla \times \mathbf{B}) d\tau$

A primeira é obtida ao fazer  $\mu = f$ ,  $\lambda = g$  e  $\mathbf{c} = [a, b]$ . A segunda advém da escolha  $\mu = f$ ,  $\lambda = A_1\sigma_2\sigma_3 + A_2\sigma_3\sigma_1 + A_3\sigma_1\sigma_2$  e  $\mathbf{c}$  um volume. Já a terceira  $\mathbf{c}$  é uma superfície aberta,  $\mu = A_1\sigma_1 + A_2\sigma_2 + A_3\sigma_3$  e  $\lambda = f$ . Por último, a quarta integração por partes pode ser obtida usando o mesmo  $\mu$  do terceiro item além de fazer  $\lambda = B_1\sigma_1 + B_2\sigma_2 + B_3\sigma_3$  e  $\mathbf{c}$  um volume.

## 4.6 Formas exatas e fechadas

**Definição 4.7** (Formas fechadas). *Uma forma diferencial  $\omega$  em uma variedade diferencial  $M$  é dita fechada em um subconjunto  $X \subseteq M$  se  $d\omega = 0$  em  $X$ .*

**Definição 4.8** (Formas exatas). *Uma forma diferencial  $\omega$  em uma variedade diferencial  $M$  é dita ser exata em um subconjunto  $X \subseteq M$  se existir alguma forma  $\alpha$  em  $X$  tal que  $d\alpha = \omega$ .*

Das definições segue imediatamente que toda forma exata é fechada, pois  $d(d\alpha) = 0$ . Porém nem toda forma fechada é exata, apesar de existirem condições suficientes para isso ser verdade conforme vimos na inversa do lema de Poincaré.

**Teorema 4.4** (Integrais de formas fechadas). *Se  $\omega$  é uma  $p$ -forma fechada em  $F^p(M)$ , com  $M$  sendo uma variedade diferenciável, então dada duas  $n$ -cadeias simpliciais quaisquer  $\sigma_1$  e  $\sigma_2$  em  $M$  tais que  $\sigma_1 - \sigma_2$  seja a fronteira de uma  $n + 1$ -cadeia simplicial em  $M$  temos*

$$\int_{\sigma_1} \omega = \int_{\sigma_2} \omega$$

*Demonstração.* Seja  $\Sigma$  tal que  $\sigma_1 - \sigma_2 = \partial\Sigma$ . Então

$$\int_{\sigma_1} \omega - \int_{\sigma_2} \omega = \int_{\sigma_1 - \sigma_2} \omega = \int_{\partial\Sigma} \omega = \int_{\Sigma} d\omega$$

Mas como  $\omega$  é uma forma fechada em  $M$ , temos  $d\omega = 0$  em  $\Sigma$  e então

$$\int_{\sigma_1} \omega - \int_{\sigma_2} \omega = 0$$

■

**Exemplo 4.5** (Integrais de caminho em campos conservativos). *Seja  $f$  uma função escalar diferenciável pelo menos até primeira ordem definida em um conjunto  $X \subseteq \mathbb{R}^n$  assim como dois pontos  $p$  e  $q$  em  $X$ . Sejam  $\mathbf{c}_1$  e  $\mathbf{c}_2$  dois caminhos suaves por partes que começam em  $p$  e terminam em  $q$ . Fazendo  $\omega = df$ , temos que  $\omega$  é uma forma diferencial exata e portanto é também uma forma fechada. Uma vez que  $\mathbf{c}_1 - \mathbf{c}_2$  é o caminho que vai do ponto  $p$  até ele próprio passando pelo caminho  $\mathbf{c}_1$  e depois  $-\mathbf{c}_2$ , segue que  $\mathbf{c}_1 - \mathbf{c}_2$  forma um caminho fechado e consequentemente é a borda de alguma superfície  $\Sigma$  em  $X$ . Então pelo teorema (4.4) temos que*

$$\int_{\mathbf{c}_1} \omega = \int_{\mathbf{c}_2} \omega$$

*Mas também vimos que  $df = \nabla f \cdot d\mathbf{r}$  e portanto*

$$\int_{\mathbf{c}_1} \nabla f \cdot d\mathbf{r} = \int_{\mathbf{c}_2} \nabla f \cdot d\mathbf{r}$$

*Isso significa que para um campo vetorial conservativo  $\mathbf{F} = \nabla f$  a integral de um ponto  $p$  até um ponto  $q$  independe do caminho. Esse resultado é equivalente ao teorema do gradiente,*

$$\int_{\mathbf{c}} \nabla f \cdot d\mathbf{r} = f(q) - f(p)$$

*onde a integral de caminho só depende dos pontos inicial e final.*

## 5 Aplicações de formas diferenciais na Física

### 5.1 Eletromagnetismo

Para obtermos as equações de Maxwell na notação de formas diferenciais, iremos começar com a mais fácil,  $\nabla \cdot \mathbf{B} = 0$ , onde  $\mathbf{B}$  é o campo magnético. Definindo a forma

$$B = A \, dy \, dz \, dt + C \, dz \, dx \, dt + D \, dx \, dy \, dt + F \, dx \, dy \, dz \quad (121)$$

temos que

$$dB = \left( -\frac{\partial F}{\partial t} + \frac{\partial A}{\partial x} + \frac{\partial C}{\partial y} + \frac{\partial D}{\partial z} \right) dx \, dy \, dz \, dt$$

Fazendo  $F = 0$ ,  $A = B_x$ ,  $C = B_y$  e  $D = B_z$ , temos

$$dB = (\nabla \cdot \mathbf{B}) \, dx \, dy \, dz \, dt$$

Segue disso que a equação de Maxwell da não-existência de monopolos magnéticos é dado por

$$dB = 0$$

onde

$$B = B_x \, dy \, dz \, dt + B_y \, dz \, dx \, dt + B_z \, dx \, dy \, dt$$

Agora iremos verificar o que acontece se eliminarmos  $dt$  na equação (121). Seja  $\lambda$  definida por

$$\lambda_0 = B_x \, dy \, dz + B_y \, dz \, dx + B_z \, dx \, dy$$

de maneira que  $B = \lambda_0 \, dt$ . Então

$$\begin{aligned} d\lambda_0 &= (\nabla \cdot \mathbf{B}) \, dx \, dy \, dz + \frac{\partial B_x}{\partial t} \, dy \, dz \, dt + \frac{\partial B_y}{\partial t} \, dz \, dx \, dt + \frac{\partial B_z}{\partial t} \, dx \, dy \, dt \\ &= \frac{\partial B_x}{\partial t} \, dy \, dz \, dt + \frac{\partial B_y}{\partial t} \, dz \, dx \, dt + \frac{\partial B_z}{\partial t} \, dx \, dy \, dt \end{aligned}$$

Para obtermos a lei de Faraday  $\nabla \times \mathbf{E} + \frac{\partial \mathbf{B}}{\partial t} = 0$ , onde  $\mathbf{E}$  é o campo elétrico, devemos encontrar uma 2-forma  $\lambda_1$  tal que

$$d\lambda_1 = \left( \frac{\partial E_z}{\partial y} - \frac{\partial E_y}{\partial z} \right) dy \, dz \, dt + \left( \frac{\partial E_x}{\partial z} - \frac{\partial E_z}{\partial x} \right) dz \, dx \, dt + \left( \frac{\partial E_y}{\partial x} - \frac{\partial E_x}{\partial y} \right) dx \, dy \, dt \quad (122)$$

de maneira que  $d\lambda_0 + d\lambda_1 = 0$ , uma vez que essa equação de Maxwell nos dá

$$\begin{aligned} \frac{\partial E_z}{\partial y} - \frac{\partial E_y}{\partial z} + \frac{\partial B_x}{\partial t} &= 0 \\ \frac{\partial E_x}{\partial z} - \frac{\partial E_z}{\partial x} + \frac{\partial B_y}{\partial t} &= 0 \\ \frac{\partial E_y}{\partial x} - \frac{\partial E_x}{\partial y} + \frac{\partial B_z}{\partial t} &= 0 \end{aligned}$$

Naturalmente  $\lambda_1$  só pode ter as componentes do campo elétrico. Como não aparece nenhuma derivada temporal em  $d\lambda_1$ , segue que em todas as 2-formas que compõe  $\lambda_1$  possuem um  $dt$ . Além disso, não aparecem derivadas parciais de  $E_x$  em relação a  $x$  e idem para as outras coordenadas, o que significa que deve ter uma forma  $dx$  onde há  $E_x$  e assim por diante. Então intuitivamente chegamos na expressão

$$\lambda_1 = E_x dx dt + E_y dy dt + E_z dz dt$$

que cuja derivada exterior de fato reproduz (122). Portanto, denotando  $\alpha = \lambda_0 + \lambda_1$ , temos que

$$d\alpha = 0$$

com

$$\alpha = (E_x dx + E_y dy + E_z dz) dt + B_x dy dz + B_y dz dx + B_z dx dy$$

nos dá as equações homogêneas de Maxwell no sistema internacional (SI):

$$\nabla \cdot \mathbf{B} = 0$$

$$\nabla \times \mathbf{E} + \frac{\partial \mathbf{B}}{\partial t} = 0$$

No sistema gaussiano, devemos apenas substituir a coordenada  $t$  por  $ct$  em todos os passos além de considerar a forma diferencial  $c dt = d(ct)$  como um elemento da base das 1-formas.

Ainda no sistema gaussiano (que nos será útil no contexto da relatividade restrita), as duas outras equações de Maxwell são as não-homogêneas:

$$\nabla \cdot \mathbf{D} = 4\pi\rho_f$$

$$\nabla \times \mathbf{H} = \frac{1}{c} \left( 4\pi\mathbf{J}_f + \frac{\partial \mathbf{D}}{\partial t} \right)$$

onde  $\rho_f$  e  $\mathbf{J}_f$  são respectivamente a densidade de cargas livres e a densidade de corrente de cargas livres, além de  $c$  ser a velocidade da luz no vácuo,  $\mathbf{D}$  o deslocamento elétrico e  $\mathbf{H}$  o campo magnético auxiliar.

Suponha que

$$\mathbf{D} = D_x \hat{\mathbf{i}} + D_y \hat{\mathbf{j}} + D_z \hat{\mathbf{k}}$$

$$\mathbf{H} = H_x \hat{\mathbf{i}} + H_y \hat{\mathbf{j}} + H_z \hat{\mathbf{k}}$$

$$\mathbf{J}_f = J_{fx} \hat{\mathbf{i}} + J_{fy} \hat{\mathbf{j}} + J_{fz} \hat{\mathbf{k}}$$

Então a lei de Ampère-Maxwell nos dá

$$\frac{\partial H_z}{\partial y} - \frac{\partial H_y}{\partial z} - \frac{1}{c} \left( 4\pi J_{fx} + \frac{\partial D_x}{\partial t} \right) = 0$$

$$\frac{\partial H_x}{\partial z} - \frac{\partial H_z}{\partial x} - \frac{1}{c} \left( 4\pi J_{fy} + \frac{\partial D_y}{\partial t} \right) = 0$$

$$\frac{\partial H_y}{\partial x} - \frac{\partial H_x}{\partial y} - \frac{1}{c} \left( 4\pi J_{fz} + \frac{\partial D_z}{\partial t} \right) = 0$$

Como agora as derivadas parciais em  $ct$  aparecem com sinal negativo, iremos definir uma 2-forma  $\psi$  dada por

$$\psi = -D_x dy dz - D_y dz dx - D_z dx dy$$

de modo que

$$d\psi = (-\nabla \cdot \mathbf{D}) dx dy dz - \frac{1}{c} \frac{\partial D_x}{\partial t} dy dz dct - \frac{1}{c} \frac{\partial D_y}{\partial t} dz dx dct - \frac{1}{c} \frac{\partial D_z}{\partial t} dx dy dct$$

Queremos encontrar a expressão

$$\begin{aligned} (4\pi\rho_f - \nabla \cdot \mathbf{D}) dx dy dz + \left[ \frac{\partial H_z}{\partial y} - \frac{\partial H_y}{\partial z} - \frac{1}{c} \left( 4\pi J_{f_x} + \frac{\partial D_x}{\partial t} \right) \right] dy dz dct + \\ \left[ \frac{\partial H_x}{\partial z} - \frac{\partial H_z}{\partial x} - \frac{1}{c} \left( 4\pi J_{f_y} + \frac{\partial D_y}{\partial t} \right) \right] dz dx dct + \\ \left[ \frac{\partial H_y}{\partial x} - \frac{\partial H_x}{\partial y} - \frac{1}{c} \left( 4\pi J_{f_z} + \frac{\partial D_z}{\partial t} \right) \right] dx dy dct = 0 \quad (123) \end{aligned}$$

Assim como nas equações homogêneas de Maxwell, devemos somar uma 2-forma do tipo

$$H_x dx dct + H_y dy dct + H_z dz dct$$

à 2-forma  $\psi$  para que apareça  $\nabla \times \mathbf{H}$ . Então se definirmos uma 2-forma  $\beta$  dada por

$$\beta = -D_x dy dz - D_y dz dx - D_z dx dy + H_x dx dct + H_y dy dct + H_z dz dct$$

então

$$\begin{aligned} d\beta = (-\nabla \cdot \mathbf{D}) dx dy dz + \left[ \frac{\partial H_z}{\partial y} - \frac{\partial H_y}{\partial z} - \frac{1}{c} \frac{\partial D_x}{\partial t} \right] dy dz dct + \\ \left[ \frac{\partial H_x}{\partial z} - \frac{\partial H_z}{\partial x} - \frac{1}{c} \frac{\partial D_y}{\partial t} \right] dz dx dct + \\ \left[ \frac{\partial H_y}{\partial x} - \frac{\partial H_x}{\partial y} - \frac{1}{c} \frac{\partial D_z}{\partial t} \right] dx dy dct \end{aligned}$$

Para obtermos (123), devemos somar uma 3-forma  $4\pi\gamma$  dada por

$$4\pi\gamma = 4\pi\rho_f dx dy dz - \frac{1}{c} J_{f_x} dy dz dct - \frac{1}{c} J_{f_y} dz dx dct - \frac{1}{c} J_{f_z} dx dy dct$$

ou equivalentemente

$$\gamma = \rho_f dx dy dz - J_{f_x} dy dz dt - J_{f_y} dz dx dt - J_{f_z} dx dy dt \quad (124)$$

de maneira que

$$d\beta + 4\pi\gamma = 0$$

resulta em (123).

Portanto dada as formas diferenciais

$$\begin{aligned}\alpha &= (E_x dx + E_y dy + E_z dz) dct + B_x dy dz + B_y dz dx + B_z dx dy \\ \beta &= -D_x dy dz - D_y dz dx - D_z dx dy + H_x dx dct + H_y dy dct + H_z dz dct \\ \gamma &= \rho_f dx dy dz - J_{f_x} dy dz dt - J_{f_y} dz dx dt - J_{f_z} dx dy dt\end{aligned}$$

as equações

$$d\alpha = 0 \quad (125)$$

$$d\beta + 4\pi\gamma = 0 \quad (126)$$

resumem as quatro equações de Maxwell.

Aplicando a derivada exterior na equação (126), obtemos

$$d\gamma = 0$$

que após recolocar  $dct$  em (124) essa equação se torna

$$\frac{1}{c} \frac{\partial \rho_f}{\partial t} dct dx dy dz - \frac{1}{c} \frac{\partial J_{f_x}}{\partial x} dx dy dz dct - \frac{1}{c} \frac{\partial J_{f_y}}{\partial y} dy dz dx dct - \frac{1}{c} \frac{\partial J_{f_z}}{\partial z} dz dx dy dct = 0$$

ou

$$\frac{1}{c} \left( -\frac{\partial \rho_f}{\partial t} - \frac{\partial J_{f_x}}{\partial x} - \frac{\partial J_{f_y}}{\partial y} - \frac{\partial J_{f_z}}{\partial z} \right) dx dy dz dct = 0$$

e portanto

$$\frac{\partial \rho_f}{\partial t} + \nabla \cdot \mathbf{J}_f = 0$$

que é a equação de continuidade ou conservação local de cargas livres.

Uma vez que  $d\alpha = 0$ , então pela inversa do lema de Poincaré em toda região estrelada do espaço-tempo existe alguma 1-forma  $\lambda$  tal que  $d\lambda = \alpha$  em toda essa região. Denotando

$$\lambda = A_x dx + A_y dy + A_z dz + A_0 dct$$

e

$$\mathbf{A} = A_x \hat{\mathbf{i}} + A_y \hat{\mathbf{j}} + A_z \hat{\mathbf{k}}$$

temos que os termos de  $d\lambda$  que não envolvem derivadas em  $dct$  resultarão em 2-duas formas do tipo  $dx dy$ ,  $dz dx$  e  $dy dz$ , e então concluiremos que

$$\nabla \times \mathbf{A} = \mathbf{B}$$

Já nos demais termos, obteremos

$$\begin{aligned}\frac{\partial A_0}{\partial x} dx dct + \frac{\partial A_0}{\partial y} dy dct + \frac{\partial A_0}{\partial z} dz dct - \\ \frac{1}{c} \frac{\partial A_x}{\partial t} dx dct - \frac{1}{c} \frac{\partial A_y}{\partial t} dy dct - \frac{1}{c} \frac{\partial A_z}{\partial t} dz dct\end{aligned}$$



ou

$$\left(\frac{\partial A_0}{\partial x} - \frac{1}{c} \frac{\partial A_x}{\partial t}\right) dx \, dct + \left(\frac{\partial A_0}{\partial y} - \frac{1}{c} \frac{\partial A_y}{\partial t}\right) dy \, dct + \left(\frac{\partial A_0}{\partial z} - \frac{1}{c} \frac{\partial A_z}{\partial t}\right) dz \, dct$$

que pela equação  $d\lambda = \alpha$  essa última expressão é igual a

$$E_x \, dx \, dct + E_y \, dy \, dct + E_z \, dz \, dct$$

e portanto chegamos nas equações

$$\begin{aligned}\frac{\partial A_0}{\partial x} - \frac{1}{c} \frac{\partial A_x}{\partial t} &= E_x \\ \frac{\partial A_0}{\partial y} - \frac{1}{c} \frac{\partial A_y}{\partial t} &= E_y \\ \frac{\partial A_0}{\partial z} - \frac{1}{c} \frac{\partial A_z}{\partial t} &= E_z\end{aligned}$$

Denotando  $A_0 = -V$  como sendo o potencial elétrico, essas expressões se reduzem a

$$-\nabla V - \frac{1}{c} \frac{\partial \mathbf{A}}{\partial t} = \mathbf{E}$$

A forma diferencial  $\alpha$  dada por

$$\alpha = (E_x \, dx + E_y \, dy + E_z \, dz) \, dct + B_x \, dy \, dz + B_y \, dz \, dx + B_z \, dx \, dy$$

pode ser escrita na base do espaço co-vetorial das 2-formas no espaço tempo da seguinte forma:

$$\alpha = \sum_{\mu=1}^4 \sum_{\nu=1}^{\mu} F_{\mu\nu} \, du^\mu \, du^\nu$$

onde  $du^1 = dx$ ,  $du^2 = dy$ ,  $du^3 = dz$  e  $du^4 = dct$ . Então os coeficientes  $F_{\mu\nu}$  tomam a forma da matriz antissimétrica

$$F_{\mu\nu} = \begin{bmatrix} 0 & -E_x & -E_y & -E_z \\ E_x & 0 & B_z & -B_y \\ E_y & -B_z & 0 & B_x \\ E_z & B_y & -B_x & 0 \end{bmatrix}$$

que é a representação matricial do tensor eletromagnético em sua forma covariante.

### 5.1.1 Equações no vácuo

No vácuo temos  $\rho_f = 0$ ,  $\mathbf{D} = \mathbf{E}$ ,  $\mathbf{H} = \mathbf{B}$  e  $\mathbf{J} = \mathbf{0}$ . Então as formas diferenciais  $\alpha$ ,  $\beta$  e  $\gamma$  ficam

$$\begin{aligned}\alpha &= (E_x \, dx + E_y \, dy + E_z \, dz) \, dct + B_x \, dy \, dz + B_y \, dz \, dx + B_z \, dx \, dy \\ \beta &= -E_x \, dy \, dz - E_y \, dz \, dx - E_z \, dx \, dy + B_x \, dx \, dct + B_y \, dy \, dct + B_z \, dz \, dct \\ \gamma &= 0\end{aligned}$$

Escrevendo  $\beta$  pela expressão

$$\beta = \sum_{\mu=1}^4 \sum_{\nu=1}^{\mu} \tilde{F}_{\mu\nu} du^{\mu} du^{\nu}$$

temos que

$$\tilde{F}_{\mu\nu} = \begin{bmatrix} 0 & -B_x & -B_y & -B_z \\ B_x & 0 & -E_z & E_y \\ B_y & E_z & 0 & -E_x \\ B_z & -E_y & E_x & 0 \end{bmatrix}$$

que é a representação matricial do tensor dual de  $F_{\mu\nu}$ .

Definindo a norma das formas diferenciais como

$$\langle dx, dx \rangle = \langle dy, dy \rangle = \langle dz, dz \rangle = 1$$

$$\langle dxt, dxt \rangle = -1$$

e considerando que  $dx dy dz d(ct)$  tem orientação positiva, então temos que essa base das 4-formas tem outras representações com orientação positiva dadas por

$$\begin{aligned} dx dy dz d(ct) &= dx d(ct) dy dz = dy d(ct) dz dx = dz d(ct) dx dy \\ &= dx dz d(ct) dy \end{aligned}$$

dentre outras. Relembrando a equação (28) da seção 2.4 sobre o operador estrela, temos que se  $dx^H \wedge dx^K$  é uma base das  $n$ -formas de um espaço cotangente de dimensão  $n$ , então

$$*(dx^H) = \langle dx^K, dx^K \rangle dx^K$$

Isso significa que

$$*(dx dxt) = \langle dy dz, dy dz \rangle dy dz$$

Mas

$$\langle dy dz, dy dz \rangle = \det \begin{bmatrix} \langle dy, dy \rangle & \langle dy, dz \rangle \\ \langle dz, dy \rangle & \langle dz, dz \rangle \end{bmatrix} = \det \begin{bmatrix} 1 & 0 \\ 0 & 1 \end{bmatrix} = 1$$

e então

$$*(dx dxt) = dy dz$$

Analogamente, temos

$$*(dy dxt) = dz dx$$

$$*(dz dxt) = dx dy$$

Por outro lado

$$*(dx dy) = \langle dz dxt, dz dxt \rangle dy dz$$

$$\langle dz \, dct, dz \, dct \rangle = \det \begin{bmatrix} \langle dz, dz \rangle & \langle dz, dct \rangle \\ \langle dct, dz \rangle & \langle dct, dct \rangle \end{bmatrix} = \det \begin{bmatrix} 1 & 0 \\ 0 & -1 \end{bmatrix} = -1$$

ou seja,

$$*(dx \, dy) = -dz \, dct$$

Similarmente,

$$*(dy \, dz) = -dx \, dct$$

$$*(dz \, dx) = -dy \, dct$$

Com isso, temos que

$$\begin{aligned} *\alpha &= E_x \, dy \, dz + E_y \, dz \, dx + E_z \, dx \, dy - B_x \, dx \, dct - B_y \, dy \, dct - B_z \, dz \, dct \\ &= -\beta \end{aligned}$$

Portanto as equações de Maxwell no vácuo ficam

$$\begin{aligned} d\alpha &= 0 \\ d(-*\alpha) &= 0 \end{aligned}$$

ou

$$\begin{aligned} d\alpha &= 0 \\ d(*\alpha) &= 0 \end{aligned}$$

Agora note que

$$\begin{aligned} d(-\beta) &= \left( \frac{\partial E_x}{\partial x} \, dx + \frac{\partial E_x}{\partial ct} \, dct \right) dy \, dz + \left( \frac{\partial E_y}{\partial y} \, dy + \frac{\partial E_y}{\partial ct} \, dct \right) dz \, dx + \\ &\quad \left( \frac{\partial E_z}{\partial z} \, dz + \frac{\partial E_z}{\partial ct} \, dct \right) dx \, dy - \left( \frac{\partial B_x}{\partial y} \, dy + \frac{\partial B_x}{\partial z} \, dz \right) dx \, dct - \\ &\quad \left( \frac{\partial B_y}{\partial x} \, dx + \frac{\partial B_y}{\partial z} \, dz \right) dy \, dct - \left( \frac{\partial B_z}{\partial x} \, dx + \frac{\partial B_z}{\partial y} \, dy \right) dz \, dct \\ d(-\beta) &= \left( \frac{\partial E_x}{\partial ct} + \frac{\partial B_y}{\partial z} - \frac{\partial B_z}{\partial y} \right) dy \, dz \, dct + \left( \frac{\partial E_y}{\partial ct} + \frac{\partial B_z}{\partial x} - \frac{\partial B_x}{\partial z} \right) dz \, dx \, dct + \\ &\quad \left( \frac{\partial E_z}{\partial ct} + \frac{\partial B_x}{\partial y} - \frac{\partial B_y}{\partial x} \right) dx \, dy \, dct + \left( \frac{\partial E_x}{\partial x} + \frac{\partial E_y}{\partial y} + \frac{\partial E_z}{\partial z} \right) dx \, dy \, dz \end{aligned}$$

Então  $d(*\alpha) = 0$  nos leva às equações

$$\begin{aligned} \frac{1}{c} \frac{\partial \mathbf{E}}{\partial t} - \nabla \times \mathbf{B} &= \mathbf{0} \\ \nabla \cdot \mathbf{E} &= \mathbf{0} \end{aligned} \tag{127}$$

Mas também

$$\begin{aligned} *d(*\alpha) = & \left( \frac{1}{c} \frac{\partial \mathbf{E}}{\partial t} - \nabla \times \mathbf{B} \right)_x dx + \left( \frac{1}{c} \frac{\partial \mathbf{E}}{\partial t} - \nabla \times \mathbf{B} \right)_y dy + \\ & \left( \frac{1}{c} \frac{\partial \mathbf{E}}{\partial t} - \nabla \times \mathbf{B} \right)_z dz - (\nabla \cdot \mathbf{E}) dct \end{aligned}$$

e portanto

$$\begin{aligned} d(*d(*\alpha)) = & \left[ \nabla \times \left( \frac{1}{c} \frac{\partial \mathbf{E}}{\partial t} - \nabla \times \mathbf{B} \right) \right]_x dy dz + \left[ \nabla \times \left( \frac{1}{c} \frac{\partial \mathbf{E}}{\partial t} - \nabla \times \mathbf{B} \right) \right]_y dz dx + \\ & + \left[ \nabla \times \left( \frac{1}{c} \frac{\partial \mathbf{E}}{\partial t} - \nabla \times \mathbf{B} \right) \right]_z dx dy - \left( \frac{\partial}{\partial x} \nabla \cdot \mathbf{E} + \frac{\partial}{\partial ct} \left( \frac{1}{c} \frac{\partial \mathbf{E}}{\partial t} - \nabla \times \mathbf{B} \right)_x \right) dx dct - \\ & - \left( \frac{\partial}{\partial y} \nabla \cdot \mathbf{E} + \frac{\partial}{\partial ct} \left( \frac{1}{c} \frac{\partial \mathbf{E}}{\partial t} - \nabla \times \mathbf{B} \right)_y \right) dy dct - \\ & - \left( \frac{\partial}{\partial z} \nabla \cdot \mathbf{E} + \frac{\partial}{\partial ct} \left( \frac{1}{c} \frac{\partial \mathbf{E}}{\partial t} - \nabla \times \mathbf{B} \right)_z \right) dz dct \end{aligned}$$

Usando a equação (127) e sabendo que

$$\nabla \times (\nabla \times \mathbf{B}) = \nabla(\nabla \cdot \mathbf{B}) - \nabla^2 \mathbf{B} = -\nabla^2 \mathbf{B}$$

$$\nabla \times \mathbf{E} = -\frac{1}{c} \frac{\partial \mathbf{B}}{\partial t}$$

e

$$-\frac{\partial}{\partial ct}(\nabla \times \mathbf{B}) = \frac{1}{c} \nabla \times \left( -\frac{\partial \mathbf{B}}{\partial t} \right) = \nabla \times (\nabla \times \mathbf{E}) = -\nabla^2 \mathbf{E}$$

temos

$$\begin{aligned} d(*d(*\alpha)) = & \left[ -\frac{1}{c^2} \frac{\partial^2 \mathbf{B}}{\partial t^2} + \nabla^2 \mathbf{B} \right]_x dy dz + \left[ -\frac{1}{c^2} \frac{\partial^2 \mathbf{B}}{\partial t^2} + \nabla^2 \mathbf{B} \right]_y dz dx + \\ & + \left[ -\frac{1}{c^2} \frac{\partial^2 \mathbf{B}}{\partial t^2} + \nabla^2 \mathbf{B} \right]_z dx dy - \left[ \frac{1}{c^2} \frac{\partial^2 \mathbf{E}}{\partial t^2} - \nabla^2 \mathbf{E} \right]_x dx dct - \left[ \frac{1}{c^2} \frac{\partial^2 \mathbf{E}}{\partial t^2} - \nabla^2 \mathbf{E} \right]_y dy dct - \\ & - \left[ \frac{1}{c^2} \frac{\partial^2 \mathbf{E}}{\partial t^2} - \nabla^2 \mathbf{E} \right]_z dz dct \end{aligned}$$

Porém como  $d(*\alpha) = 0$  e o operador estrela é linear, segue que  $d(*d(*\alpha))$  também é zero. Então, pela independência linear das duas-formas temos

$$\begin{aligned} -\frac{1}{c^2} \frac{\partial^2 \mathbf{B}}{\partial t^2} + \nabla^2 \mathbf{B} &= \mathbf{0} \\ \frac{1}{c^2} \frac{\partial^2 \mathbf{E}}{\partial t^2} - \nabla^2 \mathbf{E} &= \mathbf{0} \end{aligned}$$

que são as equações de onda para  $\mathbf{E}$  e  $\mathbf{B}$ .

### 5.1.2 Teorema de Poynting

Agora sejam as formas diferenciais de um espaço vetorial tridimensional dadas por

$$\begin{aligned}\omega_1 &= E_x dx + E_y dy + E_z dz \\ \omega_2 &= B_x dy dz + B_y dz dx + B_z dx dy\end{aligned}$$

Denotando  $d'$  como a derivada exterior desconsiderando termos do tipo  $dct$ , temos

$$\begin{aligned}d'\omega_1 &= (\nabla \times \mathbf{E})_x dy dz + (\nabla \times \mathbf{E})_y dz dx + (\nabla \times \mathbf{E})_z dx dy \\ d'\omega_2 &= (\nabla \cdot \mathbf{B}) dx dy dz\end{aligned}$$

Também denotando a derivada temporal de uma forma diferencial pela expressão

$$\frac{\partial}{\partial t}\omega_2 = \dot{\omega}_2 = \frac{\partial B_x}{\partial t} dy dz + \frac{\partial B_y}{\partial t} dz dx + \frac{\partial B_z}{\partial t} dx dy$$

segue que as equações homogêneas de Maxwell se tornam

$$\begin{aligned}d'\omega_1 &= -\frac{1}{c}\dot{\omega}_2 \\ d'\omega_2 &= 0\end{aligned}$$

Para obtermos as outras duas equações, que são as não-homogêneas

$$\begin{aligned}\nabla \cdot \mathbf{D} &= 4\pi\rho_f \\ \nabla \times \mathbf{H} &= \frac{1}{c} \left( 4\pi\mathbf{J}_f + \frac{\partial \mathbf{D}}{\partial t} \right)\end{aligned}$$

precisaremos calcular o divergente de  $\mathbf{D}$  e o rotacional de  $\mathbf{H}$ , no que nos motiva a definir

$$\begin{aligned}\omega_3 &= H_x dx + H_y dy + H_z dz \\ \omega_4 &= D_x dy dz + D_y dz dx + D_z dx dy\end{aligned}$$

de modo que

$$\begin{aligned}d'\omega_3 &= (\nabla \times \mathbf{H})_x dy dz + (\nabla \times \mathbf{H})_y dz dx + (\nabla \times \mathbf{H})_z dx dy \\ d'\omega_4 &= (\nabla \cdot \mathbf{D}) dx dy dz\end{aligned}$$

Como a fórmula para gerar o rotacional resulta em duas-formas, também iremos definir

$$\omega_5 = J_x dy dz + J_y dz dx + J_z dx dy$$

Então as equações não-homogêneas de Maxwell ficam

$$\begin{aligned}d'\omega_3 &= \frac{4\pi}{c}\omega_5 + \frac{1}{c}\dot{\omega}_4 \\ d'\omega_4 &= *(4\pi\rho_f)\end{aligned}$$

onde as normas  $\langle dx, dx \rangle$ ,  $\langle dy, dy \rangle$  e  $\langle dz, dz \rangle$  são todas iguais a +1.

O vetor de Poynting na notação vetorial é dado por

$$\mathbf{S} = \frac{c}{4\pi} \mathbf{E} \times \mathbf{H}$$

Vimos que o produto vetorial pode ser representado pelo produto exterior das 1-formas. Nesse caso temos

$$S_x dy dz + S_y dz dx + S_z dx dy = \frac{c}{4\pi} \omega_1 \wedge \omega_3$$

Agora

$$\begin{aligned} d'(\omega_1 \wedge \omega_3) &= d'\omega_1 \wedge \omega_3 + (-1)^1(\omega_1 \wedge d'\omega_3) \\ &= -\frac{1}{c}\dot{\omega}_2 \wedge \omega_3 - \omega_1 \wedge \left( \frac{4\pi}{c}\omega_5 + \frac{1}{c}\dot{\omega}_4 \right) \\ &= -\frac{1}{c}\dot{\omega}_2 \wedge \omega_3 - \frac{4\pi}{c}\omega_1 \wedge \omega_5 - \frac{1}{c}\omega_1 \wedge \dot{\omega}_4 \end{aligned}$$

Mas por outro lado

$$d'(\omega_1 \wedge \omega_3) = * \left( \frac{4\pi}{c} \nabla \cdot \mathbf{S} \right)$$

e então

$$* \left( \frac{4\pi}{c} \nabla \cdot \mathbf{S} \right) + \frac{1}{c}\dot{\omega}_2 \wedge \omega_3 + \frac{4\pi}{c}\omega_1 \wedge \omega_5 + \frac{1}{c}\omega_1 \wedge \dot{\omega}_4 = 0 \quad (128)$$

Também vimos anteriormente que o produto escalar pode ser representado pelo produto exterior de uma 1-forma com uma 2-forma. Então a equação (128) nos fornece

$$4\pi \nabla \cdot \mathbf{S} + \dot{\mathbf{B}} \cdot \mathbf{H} + 4\pi \mathbf{E} \cdot \mathbf{J} + \mathbf{E} \cdot \dot{\mathbf{D}} = 0 \quad (129)$$

que é o teorema de Poynting.

Em um material em repouso com comportamento dielétrico e de magnetização linear temos

$$\mathbf{D} = \epsilon \mathbf{E}$$

$$\mathbf{B} = \mu \mathbf{H}$$

onde  $\epsilon$  é a permissividade elétrica e  $\mu$  a permeabilidade magnética do material, ambos constantes no tempo. Substituindo essas expressões em (129) e dividindo por  $4\pi$  iremos obter

$$\nabla \cdot \mathbf{S} + \frac{\mu}{4\pi} \dot{\mathbf{H}} \cdot \mathbf{H} + \mathbf{E} \cdot \mathbf{J} + \frac{\epsilon}{4\pi} \mathbf{E} \cdot \dot{\mathbf{E}} = 0$$

Mas

$$\begin{aligned} \mathbf{E} \cdot \dot{\mathbf{E}} &= \frac{1}{2} \frac{\partial}{\partial t} (\mathbf{E} \cdot \mathbf{E}) = \frac{1}{2} \frac{\partial E^2}{\partial t} \\ \dot{\mathbf{H}} \cdot \mathbf{H} &= \frac{1}{2} \frac{\partial H^2}{\partial t} \end{aligned}$$

e então

$$\nabla \cdot \mathbf{S} + \mathbf{E} \cdot \mathbf{J} + \frac{\partial}{\partial t} \left( \frac{1}{8\pi} (\mu H^2 + \epsilon E^2) \right) = 0$$

Denotando

$$u = \frac{1}{8\pi} (\mu H^2 + \epsilon E^2)$$

como sendo a densidade de energia nos campos eletromagnéticos, concluímos que

$$-\frac{\partial u}{\partial t} = \nabla \cdot \mathbf{S} + \mathbf{E} \cdot \mathbf{J}$$

## 5.2 Termodinâmica

### 5.2.1 Relações de Maxwell

Os potenciais termodinâmicos molares são dados por

$$\begin{aligned} u(s, v) &= \int T \, ds - p \, dv \\ f(T, v) &= u - Ts \\ h(s, p) &= u + pv \\ g(T, v) &= u + pv - Ts \end{aligned}$$

onde  $f$  é a energia livre de Helmholtz,  $h$  a entalpia e  $g$  a energia livre de Gibbs. A derivada exterior da energia interna molar é dada por

$$du = T \, ds - p \, dv$$

enquanto que para os demais temos

$$\begin{aligned} df &= du - s \, dT - T \, ds \\ df &= -s \, dT - p \, dv \end{aligned}$$

$$\begin{aligned} dh &= du + v \, dp + p \, dv \\ dh &= T \, ds + v \, dp \end{aligned}$$

$$\begin{aligned} dg &= du + v \, dp + p \, dv - s \, dT - T \, ds \\ dg &= v \, dp - s \, dT \end{aligned}$$

Pelo lema de Poincaré temos  $d(du) = 0$ ,  $d(df) = 0$ ,  $d(dh) = 0$ , e  $d(dg) = 0$ . Mas por outro lado,

$$\begin{aligned} d(du) &= \left( \frac{\partial T}{\partial s} \Big|_v \, ds + \frac{\partial T}{\partial v} \Big|_s \, dv \right) ds - \left( \frac{\partial p}{\partial s} \Big|_v \, ds + \frac{\partial p}{\partial v} \Big|_s \, dv \right) dv \\ &= \left( \frac{\partial T}{\partial v} \Big|_s + \frac{\partial p}{\partial s} \Big|_v \right) dv \, ds \end{aligned}$$

e conseqüentemente

$$\left. \frac{\partial T}{\partial v} \right|_s = - \left. \frac{\partial p}{\partial s} \right|_v \quad (130)$$

onde o traço vertical indica a variável que é constante durante a derivação parcial. A equação (130) é uma das quatro relações de Maxwell. As demais se seguem da mesma maneira:

$$\begin{aligned} d(df) &= - \left( \left. \frac{\partial s}{\partial T} \right|_v dT + \left. \frac{\partial s}{\partial v} \right|_T dv \right) dT - \left( \left. \frac{\partial p}{\partial T} \right|_v dT + \left. \frac{\partial p}{\partial v} \right|_T dv \right) dv \\ &= \left( \left. \frac{\partial s}{\partial v} \right|_T - \left. \frac{\partial p}{\partial T} \right|_v \right) dT dv \end{aligned}$$

$$d(dh) = \left( \left. \frac{\partial T}{\partial p} \right|_s - \left. \frac{\partial v}{\partial s} \right|_p \right) dp ds$$

$$d(dg) = \left( \left. \frac{\partial v}{\partial T} \right|_p + \left. \frac{\partial s}{\partial p} \right|_T \right) dT dp$$

e então

$$\left. \frac{\partial s}{\partial v} \right|_T = \left. \frac{\partial p}{\partial T} \right|_v \quad (131)$$

$$\left. \frac{\partial T}{\partial p} \right|_s = \left. \frac{\partial v}{\partial s} \right|_p \quad (132)$$

$$\left. \frac{\partial v}{\partial T} \right|_p = - \left. \frac{\partial s}{\partial p} \right|_T \quad (133)$$

Pela distribuição da derivada exterior, também temos

$$dT ds = dp dv$$

### 5.2.2 Propriedades dos materiais

Dado um material, na termodinâmica definimos as grandezas

$$c_v = T \left. \frac{\partial s}{\partial T} \right|_v \quad c_p = T \left. \frac{\partial s}{\partial T} \right|_p \quad \kappa_T = - \frac{1}{v} \left. \frac{\partial v}{\partial p} \right|_T \quad \alpha = \frac{1}{v} \left. \frac{\partial v}{\partial T} \right|_p$$

onde  $c_v$ ,  $c_p$ ,  $\kappa_T$  e  $\alpha$  são respectivamente a capacitância térmica molar a volume constante, à pressão constante, compressibilidade à temperatura constante e o coeficiente de expansão térmica.

A forma  $ds$  em termos da temperatura e do volume molar é dada por

$$\begin{aligned} ds &= \left. \frac{\partial s}{\partial T} \right|_v dT + \left. \frac{\partial s}{\partial v} \right|_T dv \\ &= \frac{c_v}{T} dT + \left. \frac{\partial s}{\partial v} \right|_T dv \end{aligned}$$



Mas escrevendo  $dv$  em termos da temperatura e da pressão temos

$$dv = \left. \frac{\partial v}{\partial T} \right|_p dT + \left. \frac{\partial v}{\partial p} \right|_T dp$$

e então

$$ds = \left( \frac{c_v}{T} + \left. \frac{\partial s}{\partial v} \right|_T \cdot \left. \frac{\partial v}{\partial T} \right|_p \right) dT + \left( \left. \frac{\partial s}{\partial v} \right|_T \cdot \left. \frac{\partial v}{\partial p} \right|_T \right) dp$$

Por outro lado, escrevendo  $ds$  diretamente em termos da temperatura e da pressão temos

$$\begin{aligned} ds &= \left. \frac{\partial s}{\partial T} \right|_p dT + \left. \frac{\partial s}{\partial p} \right|_T dp \\ &= \frac{c_p}{T} dT + \left. \frac{\partial s}{\partial p} \right|_T dp \end{aligned}$$

Como as formas  $dT$  e  $dp$  são independentes, comparando as expressões chegamos nas equações

$$\frac{c_p}{T} = \frac{c_v}{T} + \left. \frac{\partial s}{\partial v} \right|_T \cdot \left. \frac{\partial v}{\partial T} \right|_p \quad (134)$$

e

$$\left. \frac{\partial s}{\partial p} \right|_T = \left. \frac{\partial s}{\partial v} \right|_T \cdot \left. \frac{\partial v}{\partial p} \right|_T \quad (135)$$

Na equação (134) identificamos

$$\left. \frac{\partial v}{\partial T} \right|_p = v \cdot \alpha \quad (136)$$

Já na equação (135), temos que

$$\left. \frac{\partial s}{\partial v} \right|_T = \frac{\left. \frac{\partial s}{\partial p} \right|_T}{\left. \frac{\partial v}{\partial p} \right|_T}$$

Usando uma das relações de Maxwell (equação 133), obtemos

$$\left. \frac{\partial s}{\partial v} \right|_T = - \frac{\left. \frac{\partial v}{\partial T} \right|_p}{\left. \frac{\partial v}{\partial p} \right|_T} = \frac{\frac{1}{v} \left. \frac{\partial v}{\partial T} \right|_p}{-\frac{1}{v} \left. \frac{\partial v}{\partial p} \right|_T} = \frac{\alpha}{\kappa_T} \quad (137)$$

Substituindo (136) e (137) em (134), concluiremos que

$$\frac{c_p}{T} = \frac{c_v}{T} + v \frac{\alpha^2}{\kappa_T}$$

ou equivalentemente

$$c_p = c_v + Tv \frac{\alpha^2}{\kappa_T} \quad (138)$$

A equação (138) traz uma relação entre  $c_p$ ,  $c_v$ ,  $\alpha$  e  $\kappa_T$ , o que indica que pelo menos um desses parâmetros não é independente dos demais. Usando a segunda lei da termodinâmica é possível mostrar que  $c_p$ ,  $c_v$  e  $\kappa_T$  são necessariamente positivos. Portanto da relação (138) também podemos concluir que  $c_p \geq c_v$ .

De maneira análoga, começamos com

$$\begin{aligned} dv &= \left. \frac{\partial v}{\partial p} \right|_s dp + \left. \frac{\partial v}{\partial s} \right|_p ds \\ &= -v \cdot \kappa_s dp + \left. \frac{\partial v}{\partial s} \right|_p ds \end{aligned}$$

onde  $\kappa_s$  é a compressibilidade à entropia constante, dada por

$$\kappa_s = -\frac{1}{v} \left. \frac{\partial v}{\partial p} \right|_s$$

Agora fazemos uma mudança para as coordenadas termodinâmicas para  $p$  e  $T$ , obteremos

$$\begin{aligned} dv &= -v \cdot \kappa_s dp + \left. \frac{\partial v}{\partial s} \right|_p \left( \left. \frac{\partial s}{\partial p} \right|_T dp + \left. \frac{\partial s}{\partial T} \right|_p dT \right) \\ &= \left( -v \cdot \kappa_s + \left. \frac{\partial v}{\partial s} \right|_p \cdot \left. \frac{\partial s}{\partial p} \right|_T \right) dp + \left( \left. \frac{\partial v}{\partial s} \right|_p \cdot \left. \frac{\partial s}{\partial T} \right|_p \right) dT \end{aligned}$$

Mas também

$$\begin{aligned} dv &= \left. \frac{\partial v}{\partial p} \right|_T dp + \left. \frac{\partial v}{\partial T} \right|_p dT \\ &= -v \cdot \kappa_T dp + \left. \frac{\partial v}{\partial T} \right|_p dT \end{aligned}$$

Comparando as duas últimas equações, temos

$$-v \cdot \kappa_T = -v \cdot \kappa_s + \left. \frac{\partial v}{\partial s} \right|_p \cdot \left. \frac{\partial s}{\partial p} \right|_T \quad (139)$$

e

$$\left. \frac{\partial v}{\partial T} \right|_p = \left. \frac{\partial v}{\partial s} \right|_p \cdot \left. \frac{\partial s}{\partial T} \right|_p \quad (140)$$

De (140) temos

$$\left. \frac{\partial v}{\partial s} \right|_p = \frac{\left. \frac{\partial v}{\partial T} \right|_p}{\left. \frac{\partial s}{\partial T} \right|_p} = Tv \frac{\frac{1}{v} \left. \frac{\partial v}{\partial T} \right|_p}{T \left. \frac{\partial s}{\partial T} \right|_p} = Tv \frac{\alpha}{c_p}$$

Usando (133) em (139), obteremos

$$\begin{aligned} -v \cdot \kappa_T &= -v \cdot \kappa_s - Tv \frac{\alpha}{c_p} \cdot \left. \frac{\partial v}{\partial T} \right|_p \\ -v \cdot \kappa_T &= -v \cdot \kappa_s - Tv \frac{\alpha}{c_p} \cdot \alpha v \end{aligned}$$

e então

$$\kappa_T = \kappa_s + Tv \frac{\alpha^2}{c_p} \quad (141)$$

Isso significa que, pela segunda lei da termodinâmica, temos  $\kappa_T \geq \kappa_s$ .

Por fim, de (141) temos

$$(\kappa_T - \kappa_s)c_p = Tv\alpha^2$$

Por outro lado, a equação (138) nos leva a

$$(c_p - c_v)\kappa_T = Tv\alpha^2$$

e consequentemente

$$\begin{aligned} (\kappa_T - \kappa_s)c_p &= (c_p - c_v)\kappa_T \\ -\kappa_s c_p &= -c_v \kappa_T \end{aligned}$$

ou então

$$\frac{\kappa_s}{\kappa_T} = \frac{c_v}{c_p} \quad (142)$$

As grandezas em que temos mais facilidade de medir são a expansão térmica  $\alpha$ , a capacidade térmica molar à pressão constante  $c_p$  e a compressibilidade à temperatura constante  $\kappa_T$ . Usando

$$c_v = c_p - Tv \frac{\alpha^2}{\kappa_T}$$

obtemos a capacidade térmica molar com volume constante. E então, utilizando a equação (142) obtemos a compressibilidade à entropia constante  $\kappa_s$ .